



HARVARD UNIVERSITY.



LIBRARY

OF THE

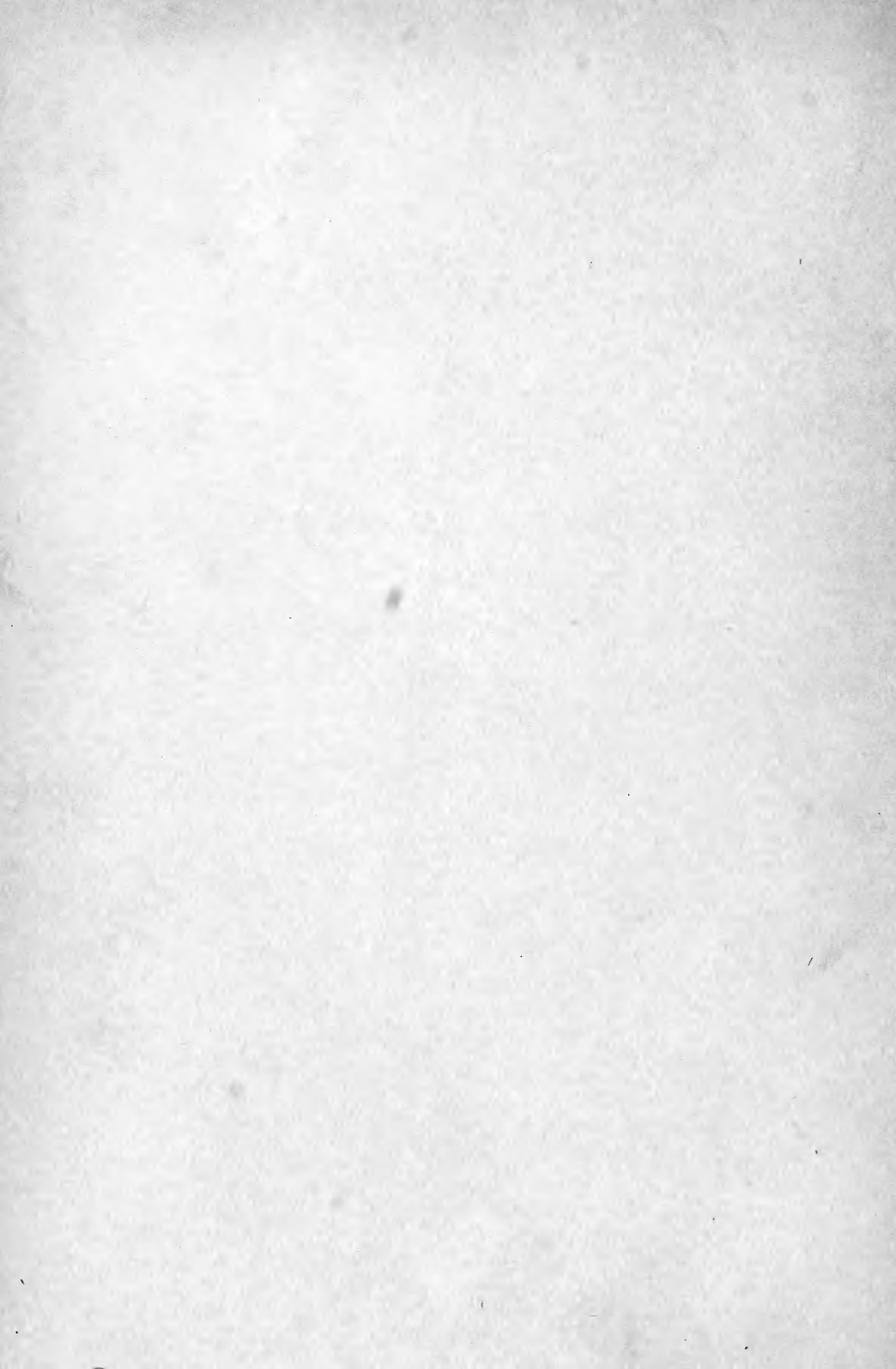
MUSEUM OF COMPARATIVE ZOOLOGY.

19.5.1882

11 Nov, 1882







BEITRÄGE ZUR KENNTNISS
DER
FOSSILEN BACILLARIEN
UNGARNS.

II. THEIL:
BRACKWASSER BACILLARIEN.

ANHANG

Analyse der marinen Depôts von **Bory**, **Bremia**, **Nagy-Kürtös** in **Ungarn**;
Ananino und **Kusnetzk** in **Russland** mit 30 Tafeln in Lichtdruck.

BEARBEITET

DURCH

Dr. JOSEF PANTOCSEK

COMITATSPHYSICUS IN TAVARNOK.

NAGY-TAPOLCSÁNY.

BUCHDRUCKEREI VON JULIUS PLATZKO
1889.

→: *Alle Rechte vorbehalten.* ←

Das Autorenrecht für U. St. N. Amerika, wurde von mir Herrn Dr.
Árpád Gerster in New-York übertragen.

EINLEITUNG.

Dem Sammeleifer unserer Geologen ist es zu verdanken, dass die Kenntniss der unsichtbaren gesteinbildenden Bacillarien in Ungarn, im stetigen erfreulichen Wachsen begriffen ist.

Einer der ersten Entdecker ungarischer Bacillarien führender Gesteine, war Professor *Zipser* in Neusohl, der schon im Jahre 1836. und 1842. an Professor *Dr. C. G. Ehrenberg* in Berlin, den Polirschiefer von *Jasstraba* und *Zamutó*, den Halbopal von *Árka*, und die pfeifenthonartige Gebirgsmasse von *Tílya*, welche daselbst angeblich Material zum Häuserbau liefert, einschickte, und deren mikroskopische Analysen, durch Professor *Ehrenberg* in den Jahren 1837., 1838. in den Abhandl. und Monatsbericht. der Berliner Akad. der Wissenschaften, 1842. in den Sitzungen der Berliner Gesellsch. Naturforsch. Freunde, und 1854. in der Mikrogeologie auf Tafel VIII. veröffentlicht wurden, welche Daten, dann auch in Pritchard's a History of Infusoria London 1860. aufgeführt werden.

Dann war es Professor *Dr. Josef von Szabó* in Budapest, der seit dem Jahre 1859., in den verschiedensten Gegenden Ungarns Bacillariengesteine sammelte.

Szabó's Material wurde im Jahre 1866. durch *Johann Neupauer* mikroskopisch analysirt und der mikroskopische Befund im Jahre 1867. durch die ungarische Akademie der Wissenschaften in den *Mathemat. és természettudományi közlemények* tom. V. pg. 184—205. unter dem Titel: „*Az ásatag Diatomaceák (oszlokokfélék) Rhyolith csiszpalában és egyéb közetekben*“*) und 3 Tafeln (nicht 4 Tafeln wie es am Titelkopfe steht) publicirt.

Da *Neupauer* vor 22 Jahren nicht über solche optische Hilfsapparate verfügte, wie solche ein gründliches und exactes Studium der Bacillarien erheischt, ferner ihm auch die manigfaltigen Methoden der Aufschliessung dieser Gesteine, behufs erfolgreicher mikroskopischer Analyse so zusagen ganz unbekannt waren und er sich mit der primitivsten Methode begnügen musste: als mikroskopische Analyse des pulverisierten Gesteines, oder aber Durchtränkung des Gesteines mit Wasser, dann Verfertigung von Dünnschnitten mit dem Rasirmesser und Aufhellung des Dünnschnittes auf dem Objectträger mit Salzsäure, darauf Einbettung in Canadabalsam; — so ist es einleuchtend,

*) Die fossilen Diatomaceen im Rhyolithpolirschiefer und anderen Gesteinen.

dass seine wenn auch verdienstvolle Arbeit, heute dringenst der Revision erheischt, zu welcher ich mich auch entschlossen und diese den Freunden der Bacillarienkunde als II-ter Theil, welcher die Analyse der fossilen Brackwasser-Bacillarien Ungarns enthaltet, überreiche, mir die Bearbeitung der fossilen Süsswasser-Bacillarien, für den recht bald zu erscheinenden III. Theil vorbehaltend.

Professor *J. von Szabó's* Material, welches *Neupauer* bearbeitete, verdanke ich dem hochgeehrten Entdecker selbst und lieferte es folgende brackische Gesteine: Den Schiefer von *Aranyos*, den Polirschiefer von *Czekeháza*, die Menilite und bituminösen Kalke von *Gyöngyös-Pata*; den Klebschiefer von *Karna*; den bituminösen Kalk u. Menilit von *Szurdok-Püspöki* und den Klebschiefer von *Tálya*. — Ausserdem verdanke ich demselben Entdecker den Schiefer von *Abauj-Szántó*, den Schiefer von *Csípkés*, den Menilitschiefer von *Szokolya*, und den Cerithiumkalk von *Szücsi*.

Das Material von *Tálya* wurde schon von *A. Grunow* analysirt und das Ergebniss in seiner Arbeit: „*Beiträge zur Kenntniss der fossilen Diatomaceen Oesterreich-Ungarns mit 2 Tafeln*“, (in *E. von Mässisovics* und *M. Neumayer* Beiträge zur Paleontologie Oesterreich-Ungarns II. B. pg. 136. Wien 1882.) veröffentlicht.

Ferner erhielt ich von meinem hochgeschätzten Freunde Herrn Sanitätsrath Dr. *C. von Chyzer* in *Sátoralja-Ujhely*, den brackischen Klebschiefer von *Erdőbénye* und Herrn Ministerialrath *Johann v. Böckh* zu *Budapest*, verdanke ich den Klebschiefer von *Felmérés* welchen Dr. *Julius von Pethő* entdeckte.

Da ich in der angenehmen Lage war, abermals neue marine Bacillariengesteine analysiren zu können, so versäumte ich es nicht, diese hochwichtigen Entdeckungen, als Anhang in diesem II. Theile zu publiciren. Es sind dies: der mergelige Andesittrachyttauff von *Bory*, welchen mein lieber Freund *Dr. Thomas von Szonthágh* entdeckte, der Trachytandesittuff von *Bremia* bei *Kurna*, welchen Herr Professor *L. von Lóczy* in Budapest entdeckte, dann der sandige Meergel von *Nagy-Kürtös*, den mein lieber Freund *Jos. Lunyacsek* in *Felső-Esztergály* entdeckte.

Ausserdem veröffentlichte ich hier auch die hochinteressanten Entdeckungen meines lieben Freundes Professor *A. P. Tschestnoff* in *Saratow*, dem es gelang, im europaeischen Russland, zwei wichtige marine Bacillariendepôts aufzudecken und zwar eines in *Ananino* im Gouvernement *Simbirsk*, das zweite eine Polycystinenerde bei *Kusnetzk* im Gouvernement *Saratow*.

Diese brackischen und marinen Gesteine aufzuschliessen und zu reinigen, bewerkstelligte mit grösster Sorgfalt und bestem Erfolge mein lieber Freund Herr Kantonsapotheke *C. C. Keller* in *Fluntern*, während ich die Aufarbeitung dieser Materialien zu Typenplatten und Einzelnpräparaten den hochberühmten Präparatoren, meinem lieben Freunde *Don Alfredo Truan y Luard* in *Gijon* und Herrn Präparator *E. Thum* in *Leipzig* verdanke.

Es gereicht mir zur höchsten Pflicht, an dieser Stelle, allen diesen Herrn meinen innigsten Dank auszusprechen.

Petrographisch-geologischer Theil.

Leider war es mir nicht möglich positive Daten über das geologische *Alter, Lagerung, Mächtigkeit, Ausbreitung* all dieser *Gesteine* zu sammeln. Eine Ausnahme bildet nur das *Depôt* von *Bory* welches ich persönlich untersuchte. Doch bezeugen die in den Gesteinen eingeschlossenen Bacillarien, das sie alle theils Brackwasser, theils Meeresablagerungen sind und glaube ich keinen Fehlschluss zu machen, wenn ich die ungarischen brackischen Ablagerungen, so auch die marin *Depôts* zu *Bory* und *Bremia*, welche sich so wie *Élesd* und *Dolje* an das Bacillarienlager von *Baldjick* bei *Varna* in *Bulgarien* enge anschliessen, der **sarmatischen Stufe** anreihen; während der Mergel von *Nagy-Kürtös* von mir zum **Mediteran** gestellt wird.

Die beiden russischen *Depôts* sind aber unzweifelhaft viel älteren Ursprunges. *Ananino* schliesst sich an *Beklemišovo* und *Archangelks-Kurojedovo*, welche alle gleichen Alters und Ursprunges sind und von mir der **Kreide** beigezählt werden. — Die Polycystinerde von *Kusnetzk* aber, ist meines Erachtens nach die älteste aller bis heute bekannten Bacillarien-Ablagerungen und sicher früher gebildet, als die bekannten ältesten zu *Barbadoes*, *Jérémie*, *Jüttland*, *Naparima*, *Nankaori*, *Oamaru* und der Cementstein von *Sendai* in *Jappan*, welcher unter den erwähnten Ablagerungen das jüngste Gebilde darstellt. Diese alle classificire ich zur Kreide, während *Kusnetzk* von mir zum **Trias** gestellt wird. — Für diese Ansicht sprechen eben die in dieser Erde vorkommenden Bacillarien, welche von den heute bekannten Fossilien gänzlich abweichen und in den aufgezählten ältesten Ablagerungen nicht aufgefunden werden.

a.) Brackische Gesteine der sarmatischen Stufe.

Saugschiefer von Abauj-Szántó im Comitate Abauj.

Dieser specifisch leichte, deutlich geschichtete, abwechselnd blendend-weise, gelblich braune, den Säuren, widerstehende, doch nicht harte Schiefer, wurde von Prf. *J. von Szabó* entdeckt und mir behufs mikroskopischer Analyse eingesendet. Derselbe enthält nur kleine Formen, vorherrschend *Nitzschia frustulum* Grun.

Saugschiefer von Aranyos im Comitate Abauj.

Derselbe wurde mir vom Entdecker Herrn Prfs. *J. von Szabó* eingesandt, hat ein geringes specifisches Gewicht, ist weiss, etwas rauh anzufühlen. Die Bruchstelle zeigt öfters bis haselnussgrosse, schwärzlich gefärbte durch Krystalldrusen erfüllte Lücken. Er ist Säuren ungemein widerstandsfähig und können die in demselben enthaltenen Bacillarien, nur durch energisches Einwirken

von concentrirten alkalischen Lösungen aufgeschlossen werden, welcher Procedur aber viele Bacillarien zum Opfer fallen. — Er enthält viele, doch meist kleine Bacillarien z. B. *Nitzschia frustulum* Grun., *Fragillaria bituminosa* n. s. etc.

Polirschiefer und Trippelgestein von Czekeháza im Comitate Abauj.

Denselben verdanke ich dem Entdecker, Herrn Professor *Jos. von Szabó*. Der Polirschiefer ist kreidehart, deutlich geschichtet, die Schichten theils blendendweiss, gelblich, bis schmutzigbraun, fühlt sich weich an und hat ein geringes specifisches Gewicht. Das Trippelgestein ist von brauner Farbe und viel härter als der Polirschiefer. Beide Gesteine widerstehen den Säuren und enthalten viele sehr schöne Bacillarien von denen besonders das *Genus Amphora*, *Navicula* und *Synedra* hervorzuheben sind. Auch trifft man in beiden Gesteinen Blatt und Fischschuppenabdrücke an.

Polirschiefer von Csípkés im Comitate Sáros.

Wurde mir vom Entdecker Professor *J. von Szabó* eingeschickt. Er stellt ein geschichtetes ziemlich leichtes, weiches Gestein dar, dessen Lagen abwechselnd weiss, bis gelblichbraun gefärbt erscheinen. Er widersteht den Säuren und enthält nur wenige und sehr kleine Bacillarien.

Klebschiefer von Erdőbénye im Comitate Zemplén.

Denselben verdanke ich meinem lieben Freunde Herrn Sánitätsrathe *Dr. Cor. von Chyzer*. — Derselbe ist von blendend weisser Farbe, leicht, kreideweich, wird von Säuren (auser Fluorwasserstoffsäure) nicht angegriffen und enthält viele schöne Bacillarien, vorherrschend *Epithemia eruciformis* Pant., *Fragillarien* und *Nitzschien*:

Klebschiefer von Felménes im Comitate Arád.

Denselben entdeckte Herr *Dr. Julius von Pethő* und wurde mir durch Herrn Ministerialrath und Director der königl. ung. geologischen Anstalt *Johann von Böckh* eingesendet. — Er wird durch den Entdecker *Dr. v. Pethő*, in den Jahresbericht für 1887. der kgl. ung. Geologischen Anstalt (A magyar kir. földtani intézet évi jelentése 1887-ről. Budapest 1888.) pg. 78, als c.) Diatomaceapala (Diatomaceenschiefer) dem Piroxen-andesit und dessen Tuffen unterstellt und über sein Vorkommen folgendes berichtet. — „Im Zusammenhange mit den unteren Schichten der Tuffe, muss ich noch jenes Diatomaceenschiefers erwähnen, welcher in *Felménes* an der rechten Seite der Thalwand am oberen Ende des Thales, aber auch im Orte selbst, zwischen den weniger rauhen Tuffschichten vorkommt. — Die zu Tage getretene Schichte, ist bei 2 Meter breit und bis 40 centm. mächtig. Die untere und obere Lage, zeigt einen graulichen sandigen Übergang, während die Mittellage, durch den schneeweissen, in dünne Lamellen zerfallenden, überauszerbrechlichen Diatomaceenschiefer gebildet wird, der eine grosse Fülle mikroskopischer Kieselspanzer von Diatomaceen zeigt.

Spongiennadeln und Diatomaceen enthalten nicht nur der Diatomaceenschiefer von Felménes, sondern sämmtliche tiefergelegenen feineren Tuffschichten, die sogenannten Palaschichten.“ — Das Aussehen dieses Schiefers ist das der Kreide, mit welcher er Farbe und Grad der Härte theilt, sein specifisches Gewicht ist aber ein leichteres. — Er enthält hauptsächlich kleine *Fragillarien*, dann *Navicula sculpta* Ehrbg. und *Epithemien*.

Die Bacillariengesteine von Gyöngyös-Pata im Comitate Heves.

Ich erhielt dieses Material vom Entdecker Herrn Professor Dr. Josef von Szabó. Es sind zu unterscheiden:

a.) Menilit.

Von blaugrauer Farbe, steinhart, schwer, den Säuren wiederstehend, seine Oberfläche von einem aschgrauen groben Detritus bedeckt, in welchem nur total zerbrochene Bacillarienschalen vorkommen.

b.) Klebschiefer.

Blendendweiss, kreidehart, den Säuren wiederstehend, in zarte Lamellen spaltbar, leicht zerreiblich, sehr leicht. Enthaltet prachtvolle, grosse Bacillarien z. B. *Navicula halionata*, *Surirella costata* Neup. etc.

c.) bituminöser Kalkmergel.

Schmutzig braunlichweiss, rauh, in Salzsäure unter starken Aufbrausen leicht löslich. Der Rückstand besteht aus prachtvollen Bacillarien, vorherrschend *Nitzschia bituminosa*, *Navicula Szabói*, *bivitata*, *interrupta* var. *fossilis*, *halionata*, *Yárensis*, *Heerii*, *bituminosa*, *Surirella rotunda*, *costata*, *Fragillaria bituminosa* etc.

d.) bituminöser Kalk.

Von brauner Farbe, steinhart, schwer, in Salzsäure unter heftigen Aufbrausen leicht löslich. Im Rückstande prachtvolle Bacillarien. Besonders charakteristisch, das massenhafte Vorkommen von *Stephanodiscus matrensis*.

Klebschiefer von Kavna im Comitate Arad.

Derselbe ist schneeweiss, kreideweich, in feine Blätter spaltbar, zerbrechlich, leicht, den Säuren wiederstehend, enthält ein Gefilz von *Synedra*-arten unter welchen sich vereinzelte *Navicula*, *Melosira*-arten und der schöne *Stephanodiscus biharensis* vorfinden. — Das Vorkommen, wird sicherlich mit dem Klebschiefer von Felménes übereinstimmen.

Klebschiefer von Szokolya im Comitate Hont.

Ich verdanke dieses Material dem Entdecker Professor Dr. Jos. von Szabó, der dasselbe im Jahre 1879. sammelte und als Meniltschiefer, behufs mikroskopischer Analyse einzusenden die Güte hatte. Es ist dies ein gelblich-weißer Klebschiefer, leicht, weich, in feine Blätter spaltbar. — Er enthält vorwaltend *Surirella striatula*.

Cerithiumkalk von Szücs im Comitate Heves.

Derselbe ist ein bituminöses Kalkgestein, mit vielen Schalen einer Cerithiumart. — Derselbe ist hart, schwer, wird von Salzsäure unter Aufbrausen gelöst und hat eine gelblich, bräunliche Farbe. Im Rückstande finden wir prachtvolle Bacillarien. Besonders vorherrschend darin *Surirella rotunda*.

Die Bacillariengesteine von Szurdok-Püspöki im Comitate Heves.

a.) Menilitschiefer.

Dieses dunkelfarbige Gestein, wird von einem feinem weissen, pulverigen Detritus gedeckt, in welchen besonders *Surirella costata* Neup. vorherrschend.

b.) bituminöser Kalkschiefer.

Dieses Gestein, welches ich wie das vorhergehende dem Entdecker Professor Dr. Jos. von Szabó verdanke, ist von lichtbräunlicher Farbe, mit blendend weisser, welliger Streifung, deutlich geschichtet, in Salzsäure leicht löslich, aufbrausend und einen Theergeruch verbreitend. Der Rückstand bietet eine Fülle herrlicher Bacillarien unter denen besonders *Navicula heteroflexa*, das Genus *Amphora* und *Surirella costata* etc. hervorzuheben sind.

Der Polir- und Klebschiefer von Tálya im Comitate Zemplin.

Der Polirschiefer ist ein hartes, geschichtetes Gebilde, von graulich-brauner Farbe, sehr oft mit prachtvollen Blatt und Fischschuppenabdrücken. Derselbe enthält nur kleine Bacillarien. — Der Klebschiefer hingegen, ist ein kreideartiges, blendend weisses Gebilde, welches auch unter dem Namen „*Gomboskai kréta*“ (Kreide von Gomboska) im Handel angetroffen wird, vom geringen specifischem Gewichte, in feine Blätter spaltbar. Derselbe enthält eine Fülle, zumeist sehr kleiner Diatomaceen, vorwaltend *Melosira bituminosa* und *Nitzschia frustulum*.

b.) Marine Sedimentgesteine in Ungarn.

a.) Trachyt-andesittuff von Bory im Comitate Hont.

Dieses Gestein welches ich zur sarmatischen Stufe stelle, wurde von meinem lieben Freunde Dr. Thomas von Szontágh entdeckt. Es ist von gelblicher Farbe, zeigt rauer Bruch, hat hohes specifisches Gewicht, ziemlich weich und widersteht den Säuren. Das Lager liegt oberhalb des Dorfes, an der rechten Thalseite und tritt etwa 1·5 Klm. vom Dorfe, in einem mächtigen Wasserrisse zu Tage, wo es als gelblich-weisses Zerwitterungsproduct, schon von Weitem zu sehen ist. Nach Entfernung dieser obersten Schichte, treffen wir auf das feste, immer feuchte Gestein, welches durch den Hauenhieb, in Form von grösseren und kleineren Getrümmern herausgehoben wird. — Dort, wo das Gestein nicht frei zu Tage tritt, wird es immer von einer spärlichen Ackerkrumme, welche dem Weinstocke besonders behagt, dann von bläulichen Tuffen, vulkanischen Aschen, Sand, Bimsstein, selbst Sandstein überdeckt. Die bläulichen Tuffe, welche sehr leicht, dabei aber ziemlich hart sind, werden allgemein statt Baustein, zum Häuserbau und zur Schotterung der Wege gebraucht. Selbe enthalten prachtvolle Blattabdrücke.

Im Bacillariantuffe habe ich auch eine Schale einer kleinen Moluske gefunden. — Die in diesem Tuffe eingeschlossenen Bacillarien, sind herrliche Meeresbewohner und charakterisiren denselben, das massenhafte Vorkommen von *Surirella fastuosa* var., der riesengrosse *Actynoptychus Szontaghii*, *Salacia boryana*, *Endictya boryana*, *Coscinodiscus boryanus*, *Hydrosera boryana* welche sich enge an das *Triceratium Javanicum Cleve* anschliesst und welches auf Java in einer heissen Quelle heute lebend vorkommt, *Mastogloja Szontaghii*, *Alloeoneis Castracanei*, *Navicula Kellerii*, *Triceratium horridum* etc., ausserdem Radiolarien, auch Foraminiferen und Spongiennadeln. — Trotz den massenhaften Vorkommen echter Meeresformen, ist die Einwirkung von Süßwasser nicht zu leugnen, denn es finden sich in diesem Tuffe, auch echte Süßwasserbacillarien, besonders aus der Gruppe *Navicula* und *Melosira* welche sich an *Navicula major* und *nobilis* enge anschliessen. — Es ist dies ein ähnliches Verhältniss, wie wir es noch heute in Meeresgrundproben beobachten, welche solchen Buchten entnommen wurden, wo auch ein Zufluss von Süßwasser stattfindet. — Ausser diesem ausgesprochenen marinen Lager, befindet sich bei Bory, östlich von diesem, ein zweites Bacillariendepôt. — Das Gestein ist eine Art Klebschiefer, welches ich aber als Bacillarienpelit bezeichne und auch zu den Trachyt-tuffen gezählt werden muss. Derselbe ist entschieden sarmatischen Ursprunges und schliessen sich die Bacillarien enge an die Formen des Klebschiefer von Dubravica, da er die für Dubravica characteristischen Arten, vor allem *Staurosira Harrisonii* var. *amphitetas* Grun., *Surirella Clementis* Grun., *Cymbella Sturii* Grun., *Navicula Hanerii* Grun., *elliptica* var. *grandis* Grun., dann *Melosira undulata* Kg. massenhaft enthalten. — Ich glaube nicht zu irren, wenn ich das Wasser, in welchem sich diese herrlichen Formen so massenhaft entwickelten, als ein warmes, aber auch salziges bezeichne, zu diesem Schlusse berechtigt mich, das massenhafte Vorkommen der prachtvollen *Nitzschia spectabilis* (Ehrb.) Grun. — Leider konnte die Analyse dieses hoch interessanten Gesteines, in diesem II. Theile nicht aufgenommen werden, da ich mit der Durchmusterung desselben noch nicht fertig geworden bin, doch wird dieselbe im III. Theile dieser Arbeit recht bald erscheinen.

b.) Trachyt-andesittuff vom Thale Bremia bei Kavna im Comitate Arad.

Derselbe wurde von meinem hochgeschätzten Correspondenten Herrn Professor *Ludwig v. Lóczy* entdeckt. Derselbe wird von ihm, der Gruppe Andesittuffe beigezählt. Er ist von gelblicher Farbe, hat ein geringeres specifisches Gewicht als das Gestein von Bory und zeigt eine deutliche Schichtung. Der Bruch ist etwass rauh. Besonders characteristisch ist das Vorkommen der prachtvollen *Navicula bacillifera*, *Lóczii*, *Cocconeis biharensis*, *Grammatophora hungarica* des mächtigen *Triceratium Lóczii* und der massenhaften *Melosira*, und *Biddulphia* arten. — Ich classificiere dieses Gestein zur sarmatischen Stufe und hoffe zuverlässiglich, das auch bei *Felménes*, ein Analogon zu diesem marinen Gebilde nachgewiesen wird.

c.) Der thonige Mergel und Andesittuff von Nagy-Kürtös im Comitate Nograd.

Derselbe wird von mir zum tiefern Mediteran gestellt und wurde von meinem lieben Freunde *Jos. Lunyacsek* entdeckt. Er ist ziemlich leicht, von lichtockergelber Farbe und ist der Mergel in Säuren leicht löslich. Der Rückstand enthaltet dieselben prachtvollen Bacillarien, wie die herrlichen Mergel v. Szt.-Péter und Kékkő, welche schon im ersten Theile publicirt wurden. Besonders hervorzuheben ist die grosse Fülle von *Aulacodiscus*arten und werden in demselben, intakte Exemplare des prachtvollen *Aulacodiscus reticulatus* Pant. öfters ange troffen. Ausserdiesem gelang es mir in demselben aber auch neue Arten zu entdecken z. B. *Coscinodiscus Weissflogii*, *Aulacodiscus Haynaldii* etc.

c.) Marine Gesteine von Russland.

Der Bacillariantuff von Ananino im Gouvernement Simbirks.

Denselben entdeckte mein Freund *A. P. Tschestnoff*. — Seine Farbe ist schmutzig gelblichweiss, er ist ziemlich schwer, leicht zerbröcklich, etwas sandig und rauh anzufühlen. Es characterisirt denselben, wie auch die Bacillarienerden von Beklemišovo und Archangelks-Kurojedovo ein angenehmer Theergeruch. — Den Säuren widerstehend, zerfällt er aber, so wie auch die Polycystinenerde von Kusnetzk, schon nach kürzestem Einwirken mit einigen Tropfen Fluorwasserstoffsäure angesäuertem destillirtem Wasser, zu einem leicht durchzusie benden Schlamm. Er ist ungemein reich an Bacillarien und sind es diejenigen welche wir aus den oben erwähnten zwei russischen Depôts, schon kennen. Zu diesen gesellen sich aber, die diesem Tuffe eigenthümlichen und selben besonders characterisirenden neuen Genera als; *Tschestnoria mirabilis*, *Wittia insignis*, *Cheloniodiscus ananinensis*, *Centroporus crassus*, *Actinodictyon antiquorum*, *Kentrodiscus rossicus* und eine grosse Anzahl herrlicher neuer Arten. — Die grosse Anzahl neuer Genera und Arten, welche mit den heute bekannten fossilen Bacillarien nicht zu vereinigen sind, weisen uns an, dieses Gestein nicht wie es üblich ist dem Tertiär anzurüthigen, sondern dasselbe zur Kreide zu zustellen.

Die Polycystinentuffe von Kusnetzk im Gouvernement Saratow.

Ein tuffartiges Gestein, von licht graubrauner Farbe, fast sammtartig anzufühlen, mit mattem Bruch, sein specifisches Gewicht ist geringer, als des Tuffes von Ananino. Den Säuren widerstehend, zerfällt er in mit Fluorwasserstoffsäure angesäuertem Wasser, zu einem zarten Brei. In diesem Materiale bilden die Kieselkette von Polycystinen das Hauptmateriale und erfordert das Aufsuchen der leider nur vereinzelt und meist als Bruch vorkommenden Bacillarienschalen viele Zeit und Mühe. Die herrlichen Bacillarien, welche alle nur diesem Materiale einzig und allein eigen sind, werden durch eine eigenthümliche Gestalt und Zeichnung characterisirt. Besonders hervorzuheben sind, der am häufigsten anzutreffende *Arachnoidiscus rossicus*, das neue Genus *Keratophora*, der sonderbare *Aulacodiscus Kellerii*, die prachtvollen *Entogonien* und *Triceratium*arten, dann der sonderbare *Hemiaulus Tschestnovi* und

die besondern *Biddulphia* und *Melosira*arten. Auch dieses herrliche Gestein entdeckte mein Freund Professor *A. P. Tschestnoff*.

Der eigentümliche, ganz abweichende Habitus aller, in diesem Gestein eingelagerten Bacillarien, lässt mich den Schluss ziehen, dass dasselbe den ältesten Formationen angereiht werden muss und sprechen alle Umstände dafür, denselben dem **Trias** beizuzählen.

Methode der Reinigung des Rohmateriales für die mikroskopische Untersuchung nach C. C. Keller.

Diese Zeilen wollen nur für Anfänger, welche sich dem mühsamen Studium der Bacillarien wiedmen, geschrieben sein und glaube ich durch Mittheilung derselben ihnen über die erste und oft sehr schwierige Klippe erfolgreiche Hilfe zu bieten. — Es ist einleuchtend, dass ich mich nur der jetzt üblichen Methoden bediente, welche von meinen hochgeschätzten Correspondenten, Herrn *E. Debes* in Leipzig in der *Hedwigia* 1885. Heft. 2. 4.; Professor *M. J. Brua* in Genf, in *Archives des Sciences Physiques et Naturelles* 1887. pg. 146. und von *M. Rataboul* 1883. in dem *Bulletin de la Société d' Histoire Naturelle de Toulouse* veröffentlicht wurden. Ausgezeichnet ist das Verfahren, dessen sich mein hochgeehrter Correspondent Herr Professor *Dr. N. O. Witt* in Charlottenburg bedient und welches er in seiner so schönen und für die Paleontologie so wichtigen Arbeit: „Über den Polierschiefer von Archangelks-Kurojedowo in Gouv. Simbirsk“, Scz.-Petersburg 1885. pg. 5. etc. publicirte. — Alle diese Methoden leiden aber an zwei nicht unwesentlichen Übeln. Vor allem ist der Praeparator den durch starkes Kochen sich energisch entwickelnden Säuredämpfen ausgesetzt, was wahrlich den menschlichen Organismus nicht zum Vortheile dient, dann aber leiden durch das intensive Kochen die Bacillarien indem die Schalen brechen und sich so noch mehr Bruch bildet, als schon vorher ein solcher im Rohmaterial vorhanden ist. — Diese beiden Calamitäten parirt am vortheilhaftesten die Reinigungsmethode meines lieben Freundes Herrn Kantonsapotheke *C. C. Keller* in Fluntern und säume ich nicht selbe ausführlich mit zutheilen.

1.) Materialien welche nicht im Wasser zerfallen, oder durch Salzsäure gelöst werden, müssen durch Sprengen mit Natriumsulfat zerkleinert werden. Dies geschieht auf die Weise, dass kleine Mengen 50—100 grm. Material mit einem genügenden Quantum Na_2SO_4 unter Zusatz von ganz wenig Wasser, in einer Nickelschale im Wasserbade erwärmt werden. Wenn alles geschmolzen ist, wird die Schale mit dem Inhalt zum Krystallisiren in Eis gestellt. Nach einer halben Stunde erhitzt man abermals, lässt am Eis auskrystallisiren, was 5—6-mal wiederholt wird, bis das Material zu Staub zerfallen ist.

2.) Auslaugen des Natriumsulfats mit Wasser.

3.) Das ausgelaugte Material, wird in einem gerüumigen Kochkolben gebracht und mit 100—200 grm. roher Salzsäure behutsam übergossen, um etwaiges zu heftiges Aufbrausen zu verhüten, dann wenn kein Aufbrausen

mehr stattfindet, wird der Kolben mit einen Kautschuckstöpsel verschlossen, und im Wasserbade durch 2—3 Stundem erwärmt. Dabei lösen sich Calciumearbonat und Eisenoxyd etc.

4.) Auslaugen der Salzsäure.

5.) Das Material wird abermals in den Kochkolben gespült so dass zu 50—100 grm. Material 100—150 grm. Wasser kommen. Man fügt nun 30—50 grm. gepulvertes Kaliumbichromat, dann mit grosser Vorsicht unter feinem Strahle 100—200 grm. gewöhnliche concentrirte englische Schwefelsäure dazu. Die Masse erhitzt sich sehr stark und es findet eine energische Oxydation statt. — Nun erwärmt man im Wasserbade das Ganze, ununterbrochen 24—48 Stunden lang, unter öfteren Umrühren und verdünnt wenn sich Chromsäure ausscheidet wieder mit Wasser. — Die Chrom-Schwefelsäure verändert die organische Substanz in eigenthümlicher Weise. Bei einiger Uebung, kann man an einer Probe, die man unter das Mikroskop bringt erkennen, ob die Einwirkung des Oxydationsprocesses lange genug gedauert hat. Die Partikeln erscheinen dann durchscheinend, während selbe zuerst ganz undurchsichtig waren.

6.) Abgiessen der über dem Material stehenden klaren Säure, dann verdünnen mit viel Wasser. Auswaschen bis die Flüssigkeit nicht mehr gelb erscheint.

7.) Es wird die gekochte Masse von 50—100 grm. in kleine Portionen (es ist vortheilhaft auf einmal nur je 20 grm. in Arbeit zu nehmen, die ganze Masse also in 2—5 Partien zu behandeln) getheilt, der Einwirkung mit Natronlauge unterzogen. Zu diesem Zwecke werden 20—30 grm. der Masse, in die Nickelschale, oder in ein Becherglas gebracht, mit 50 grm. destillirten Wasser übergossen und am Wasserbad erhitzt. — Nachdem das Ganze zum kochen gebracht wurde, giesse man in Intervallen von je 5—8 Minuten, 20 grm einer 10% Natronlauge in kleinen Portionen zu. — Der Effect dieser Operation, wenn selbe gelingt, (und das ist immer der Fall, wenn die sub 5.) beschriebene Chrom-Schwefelsäurebehandlung lang genug gedauert hat) ist ein grossartiger. Die Flüssigkeit wird mit einem Schlage milchig und während anfänglich sich das Material rasch zu Boden setzte, vertheilt es sich in der Flüssigkeit. Die organischen Substanzen zerfallen so zusagen in Moleküle, während die Diatomeen in keiner Weise angegriffen werden. — Das Kochen kann 15 Minuten andauern.

8.) Nun wird die ganze Masse aus der Nickelschale, in ein geräumiges Becherglass mit Wasser ausgespült, die Natronlauge durch öfteres Auswaschen gänzlich entfernt. Beim Verdünnen mit Wasser, sehen wir wie fein die Vertheilung der organischen Substanz ist, indem sich dieselbe stundenlang schwebend erhält dem Wasser ein milchiges Aussehen verleihend, während die Bacillarien Polycystinen, Spongiennadeln und Sand rasch zu Boden sinken.

9.) Der so erhaltene blendendweisse glitzernde Rückstand, wird nun von der ganzen Masse gesammelt, dann vor allem durch Schlemmen in 3 Partien getrennt. — Jede Partie wird dann den bekannten Siebverfahren

unterzogen und die einzelnen Nr. in separaten Gläschchen unter verdünnten Alcohol wohl verpropft aufbewahrt.

Was nun die Verarbeitung so erhaltenen gereinigten Materiale zu so genannten Massenpraeparaten, Einzelnpraeparaten und Typenplatten betrifft so verweise ich auf die Arbeit meines hochgeschätzten Correspondenten *E. Debes* in *Leipzig*, welche unter dem Titel: „*Die Herstellung von Diatomaceen-Dauer-praparaten in der „Hedwigia“ 1885.*“ Heft V. erschienen ist. — Das Aussuchen der Bacillarien bewerkstellige ich mit einer Igelhaarborste unter meinem Arbeitsmikroskope, mit Objectiv Nr. 2 und Ocular 4 der Firma *C. Reichert* in *Wien*, das Ordnen der Bacillarien zu Typenplatten, aber mit einem Praeparatormikroskope bei 10 facher Vergrößerung derselben Firma, dessen Tischplatte mit dem sinnreichen und sehr empfehlenswerthen: „*Hilfsapparat zum Aussuchen und Legen von Diatomaceen*“ — von *E. Debes* in *Leipzig* (Zeitschrieff für wissenschaftliche Mikroskopie Band III. 1886. pg. 330.) adjustirt ist und zu welchem mich Herr *E. Debes* auch mit zierlich in 0.1 mm^2 getheilte respective geritzte Glasplatten zu überraschen so gütig war, welche das Ordnen der einzelnen Kieselpanzer besonders erleichtern, wofür ich Ihm hier meinen besten Dank ausspreche.

Bei Fertigung von Einzelnpraeparaten dient mir als Haftmittel die Lösung von Gummi Traganth in Wasser und Glycerin (1 Theil gepulvertes Traganth, 10 grm Alcohol, 75 grm destillirtes Wasser und 75 grm chemisch reines Glycerin), wie solches mein hochgesetzter Correspondent Herr Professor *J. Brun* in *Genf* in seiner Arbeit: „*Notes sur microscopie technique appliquée à l'histoire naturelle*“ (Archives des Sciences physiques et naturelles Genève 1887, tom. XVII. pg. 146.) veröffentlichte.

Bei Fertigung von Typenplatten bediene ich mich als Haftmittel einer Lösung von gebleichten Schellack in Isobutylalcohol, welche Herr Dr. *N. O. Witt* in der Zeitsch. für wissenschaft. Mikroskopie 1886. tom. IV. pg. 196. „*Untersuchung über einige zu mikroskopischen Zwecken verwandten Harze*“ — publicirte.

Als Einschlüssemittel bediene ich mich ausschlieslich des von meinem hochgeschätzten Freunde Herrn Kantonsapotheke *C. C. Keller* in *Fluntern* entdeckten Tolubalsam's, dessen Herstellung er ausführlichst in der Zeitschrieff für wissenschaftliche Mikroskopie Band IV. 1887. pg. 470.: „*Die Reinigung des Tolubalsam's zu mikroskopischen Zwecken*“ — veröffentlichte.

Ich anempfehle dieses herrliche neue Medium jeden Bacillarienfreund auf das wärmste. Es ist ein Medium, welches sich nicht nur durch seine perfecte Stabilität, (ich besitze Praeparate welche schon $1\frac{1}{2}$ Jahre alt sind), hohen Brechungsindex (Tolu 1.72, Styrax 1.64), lichtes Colorit vortheilhaft auszeichnet, sondern auch ein ungemein bequemes Manipuliren gestattet, da man weder Blasenbildung wie beim Canadabalsam zu fürchten, noch auf tage-langes Austrocknen wie beim Styrax zu warten hat, auch nicht von Umständlichkeiten des flüssigen Monobrom Naphtalins aufgehalten wird. — Auf das mit

Bacillarien bedeckte Deckgläsehen wird vor allem ein Tropfen Benzol aufgetragen, um aus den Kieselpanzern die Luft zu verdrängen. Wie das Benzol zu verdunsten beginnt, kommt dazu ein Tropfen Toluolösung. Man wartet nun einige Minuten bis der anfangs trübe Tropfen sich klärt, legt nun das Deckgläsehen mit der Balsamschichte in die Mitte des gereinigten Objectträgers, erwärmt nun denselben gelinde über einer Spirituslampe bis zur Blasenbildung, lässt darauf erkalten und das Praeparat ist fertig! -- Wahrlich für die Entdeckung dieses herrlichen Mediums sind alle Mikroskopiker Herrn C. C. Keller zu grössten Danke verpflichtet.

I. Tabellarische Uebersicht der fossilen Brackwasser-Bacillarien Ungarns.

Bacillarien		Abauj-Szántó	Aranyos	Czekeháza	Csípkés	Erdőbénye	Felménes	Gyöngyös-Pata	Kávna	Szokolya	Szilási	Szurdok-Püspöki	Tálya
<i>Amphiprora</i>	<i>decussata</i> Grun.			*				*					*
"	<i>dilatata</i> n. s.			*	*			*					*
"	<i>duplex</i> (Donk.) Grun.			*	*			*					*
<i>Amphora</i>	<i>acutiuscula</i> Kg.	*	*	*	*		*	*	*	*	*	*	*
"	<i>var. fossilis</i>	*	*	*	*		*	*	*	*	*	*	*
"	<i>arcuata</i> n. s.	*	*	*	*		*	*	*	*	*	*	*
"	<i>bituminosa</i> n. s.	*	*	*	*		*	*	*	*	*	*	*
"	<i>coffeaeformis</i> (Ag.) Kg.	*	*	*	*		*	*	*	*	*	*	*
"	<i>var. fossilis</i> n. v.	*	*	*	*		*	*	*	*	*	*	*
"	<i>"</i> <i>salinarum</i> Grun.	*	*	*	*		*	*	*	*	*	*	*
"	<i>curvata</i> n. s.	*	*	*	*		*	*	*	*	*	*	*
"	<i>czekehazensis</i> n. s.	*	*	*	*		*	*	*	*	*	*	*
"	<i>Eulensteini</i> Grun. <i>var. fossilis</i> n. v.	*	*	*	*		*	*	*	*	*	*	*
"	<i>fossilis</i> n. s.	*	*	*	*		*	*	*	*	*	*	*
"	<i>hevesensis</i> n. s.	*	*	*	*		*	*	*	*	*	*	*
"	<i>libyca</i> Ehrbg. <i>var. interrupta</i> n. v.	*	*	*	*		*	*	*	*	*	*	*
"	<i>lineata</i> Greg.	*	*	*	*		*	*	*	*	*	*	*
"	<i>minuta</i> n. s.	*	*	*	*		*	*	*	*	*	*	*
"	<i>Neupauerii</i> n. s.	*	*	*	*		*	*	*	*	*	*	*
"	<i>permagna</i> n. s.	*	*	*	*		*	*	*	*	*	*	*
"	<i>protracta</i> n. s.	*	*	*	*		*	*	*	*	*	*	*
"	<i>salina</i> W. Sm. <i>var. fossilis</i> n. v.	*	*	*	*		*	*	*	*	*	*	*
"	<i>striata</i> n. s.	*	*	*	*		*	*	*	*	*	*	*
"	<i>striolata</i> n. s.	*	*	*	*		*	*	*	*	*	*	*
"	<i>Szabói</i> n. s.	*	*	*	*		*	*	*	*	*	*	*
"	<i>Wiesneri</i> n. s.	*	*	*	*		*	*	*	*	*	*	*
<i>Cocconeis</i>	<i>californica</i> Grun.	*	*	*	*		*	*	*	*	*	*	*
"	<i>var. menilitica</i> n. v.	*	*	*	*		*	*	*	*	*	*	*
"	<i>Pedicus</i> (Ehrbg.) Grun.	*	*	*	*		*	*	*	*	*	*	*
"	<i>var. salinarum</i> n. v.	*	*	*	*		*	*	*	*	*	*	*
<i>Cymbella</i>	<i>Chyzerii</i> n. s.	*	*	*	*		*	*	*	*	*	*	*
"	<i>erdőbényiana</i> n. s.	*	*	*	*		*	*	*	*	*	*	*
"	<i>hevesensis</i> n. s.	*	*	*	*		*	*	*	*	*	*	*
"	<i>hungarica</i> n. s.	*	*	*	*		*	*	*	*	*	*	*
"	<i>kavrnensis</i> n. s.	*	*	*	*		*	*	*	*	*	*	*
"	<i>Neupauerii</i> n. s.	*	*	*	*		*	*	*	*	*	*	*
"	<i>salina</i> n. s.	*	*	*	*		*	*	*	*	*	*	*
<i>Epithemia</i>	<i>erucaeformis</i> n. s.	*	*	*	*		*	*	*	*	*	*	*
"	<i>var. subcapitata</i>	*	*	*	*		*	*	*	*	*	*	*
"	<i>"</i> <i>validior</i>	*	*	*	*		*	*	*	*	*	*	*

B a c i l l a r i e n

Bacillarien

	Abaúj-Szántó	Aranyos	Czékéháza	Csípkés	Erdőbénye	Felménes	Gyöngyös-Pata	Szokolya	Szücs	Szurdok-Püspöki	Tínya
<i>Navicula</i> bituminosa var. <i>signata</i>											
” ” ” <i>stauropora</i>											
” (<i>oregonica</i> Ehr. var.?) <i>bivittata</i> n. s.											
” <i>cincta</i> n. s.		*									
” <i>Chyzerii</i> n. s.		*									
” <i>curtestriata</i> n. s.		*									
” <i>czekeházensis</i> n. s.		*									
” <i>debilis</i> n. s.		*									
” <i>discernenda</i> n. s.		*									
” <i>elongatula</i> n. s.		*									
” <i>Gálikii</i> n. s.		*									
” <i>Gorjanovičii</i> Pant. var. <i>minor</i>		*									
” <i>grata</i> n. s.		*									
” <i>halionata</i> Pant.		*									
” ” ” <i>var. directa</i>		*									
” <i>Hazslinszkyi</i> n. s.	*	*									
” <i>Heerii</i> n. s.	*	*									
” <i>heteroflexa</i> n. s.	*	*									
” ” ” <i>var. constricta</i>	*	*									
” ” ” <i>var. minor</i>	*	*									
” <i>hevesensis</i> n. s.	*	*									
” <i>hordeiformis</i> n. s.	*	*									
” <i>ignobilis</i> n. s.	*	*									
” <i>insignis</i> n. s.	*	*									
” <i>interposita</i> Lev.	*	*									
” <i>interrupta</i> Kg.	*	*									
” ” ” <i>var. fossilis</i> n. v.	*	*									
” ” ” <i>Talyana</i> Grun.	*	*									
” <i>Kochii</i> n. s.	*	*									
” <i>laevis</i> n. s.	*	*									
” <i>Makreana</i> n. s.	*	*									
” <i>menilitica</i> n. s.	*	*									
” <i>microrhynchus</i> Grun.	*	*									
” <i>notabilis</i> n. s.	*	*									
” <i>nuda</i> n. s.	*	*									
” <i>ovalis</i> Hilse	*	*									
” ” ” <i>var. fossilis</i> n. v.	*	*									
” <i>parallelistriata</i> n. s.	*	*									
” <i>procera</i> n. s.	*	*									
” <i>ramphoïdes</i> n. s.	*	*									
” <i>robusta</i> n. s.	*	*									
” <i>sculpta</i> Ehrbg.	*	*									
” <i>Szabói</i> n. s.	*	*									
” <i>tenella</i> Bréb. var. <i>fossilis</i> n. v.	*	*									

Bacillarien

Bacillarien

	Abauj-Szántó	Aranyos	Czekeháza	Csípkás	Ercébénye	Fehmérös	Gyöngyös-Pata	Kavna	Szűcső	Szurdol-Jánospáki	Talya
<i>Navicula</i> tröglodytes n. s.											
" Vukotinovičii Pant.							*				
" <i>Yarrensis</i> Grun.							*				
" " var. <i>bituminosa</i> n. v.							*				
" " " <i>valida</i> n. v.							*				
<i>Nitzschia</i> <i>bicuspidata</i> n. s.											
" <i>bituminosa</i> n. s.	*	*	*	*	*	*	*				
" " var. <i>tenuior</i> n. v.	*	*	*	*	*	*	*				
" <i>frustulum</i> (Kg.) Grun.	*	*	*	*	*	*	*				
" " var. <i>acuta</i> n. v.	*	*	*	*	*	*	*				
" " " <i>curvata</i> n. v.	*	*	*	*	*	*	*				
" " " <i>constricta</i> n. v.	*	*	*	*	*	*	*				
" " " <i>hungarica</i> n. v.	*	*	*	*	*	*	*				
" " " <i>minuta</i> n. v.	*	*	*	*	*	*	*				
" " " <i>obtusa</i> n. v.	*	*	*	*	*	*	*				
" " " <i>producta</i> n. v.	*	*	*	*	*	*	*				
" <i>fusiformis</i> Grun.	*	*	*	*	*	*	*				
" <i>hevesensis</i> n. s.	*	*	*	*	*	*	*				
" <i>Kittlii</i> Grun.	*	*	*	*	*	*	*				
" <i>neogena</i> Grun.	*	*	*	*	*	*	*				
" <i>spectabilis</i> (E.) Grun.	*	*	*	*	*	*	*				
" <i>Szabói</i> n. s.	*	*	*	*	*	*	*				
" <i>Talyana</i> Grun.	*	*	*	*	*	*	*				
<i>Podosira</i> <i>hungarica</i> n. s.							*				
" <i>robusta</i> n. s.							*				
<i>Staurosira</i> <i>kavnenensis</i> n. s.											
" <i>mormonorum</i> Grun.	*	*	*	*	*	*	*				
" <i>venter</i> (E.) Grun. var. <i>fossilis</i>	*	*	*	*	*	*	*				
<i>Stephanodiscus</i> <i>biharensis</i> n. s.											
" <i>matrensis</i> n. s.							*				
" <i>minutus</i> n. s.							*				
<i>Surirella</i> <i>costata</i> Neup.							*				
" <i>minuta</i> Bréb.	*	*	*	*	*	*	*				
" <i>Neupauerii</i> n. s.	*	*	*	*	*	*	*				
" <i>patella</i> Ehrb.	*	*	*	*	*	*	*				
" <i>rotunda</i> Pant.	*	*	*	*	*	*	*				
" " var. <i>minor</i>	*	*	*	*	*	*	*				
" <i>striatula</i> Ehrbg.	*	*	*	*	*	*	*				
" <i>subsalsa</i> W. Sm.	*	*	*	*	*	*	*				
<i>Synedra</i> <i>Demerarae</i> Grun.											
" <i>fasciculata</i> Kg. var. <i>obtusa</i> n. v.	*	*	*	*	*	*	*				
" <i>laevissima</i> Grun. var. ? <i>fossilis</i> Gr.	*	*	*	*	*	*	*				
" <i>salinarum</i> n. s.	*	*	*	*	*	*	*				
" <i>tenella</i> Grun. var. ? <i>brevis</i> Grun.	*	*	*	*	*	*	*				

II. Tabellarische Uebersicht der fossilen marinē Bacillarien Ungarn.

B a c i l l a r i e n

		Bory	Bremia	Nagy-Kurtós
Achnantes	brévipes Ag.	*	*	*
"	var. contracta Grun.	*	*	*
"	danica Grun.	*	*	*
"	Lóczii n. s.	*	*	*
Actinocyclus	bóryanus n. s.	*	*	*
"	bremanus n. s.	*	*	*
"	disseminatus n. s.	*	*	*
"	Elirenbergii Ralfs.	*	*	*
"	Ralfsii W. S.	*	*	*
"	subtilis (Greg.) Ralfs.	*	*	*
Actinoptychius	amblyoceros (E.) A. S.	*	*	*
"	areolatus E.	*	*	*
"	bifrons A. S.	*	*	*
"	boliviensis Jan.	*	*	*
"	bóryanus n. s.	*	*	*
"	Clevei A. S.	*	*	*
"	dilatatus Pant.	*	*	*
"	gemminus A. S.	*	*	*
"	Gründlerii A. S.	*	*	*
"	hungaricus Pant.	*	*	*
"	intermedius A. S.	*	*	*
"	Janischii Grun.	*	*	*
"	kymatodes Pant.	*	*	*
"	moroniensis (Grev.) Clev.	*	*	*
"	neogradensis Pant.	*	*	*
"	Petiti n. s.	*	*	*
"	Schmidti n. s.	*	*	*
"	splendens Ralfs.	*	*	*
"	var. californica Grun.	*	*	*
"	var. glabrata Grun.	*	*	*
"	var. Halionyx Grun.	*	*	*
"	var. nicobarica Grun.	*	*	*
"	Staubii n. s.	*	*	*
"	Stella A. S.	*	*	*
"	var. Thumii A. S.	*	*	*
"	Szontaghii n. s.	*	*	*
"	var. minor	*	*	*
"	undulatus E.	*	*	*
"	var. subtilis n. v.	*	*	*
"	vulgaris Schum.	*	*	*

B a c i l l a r i e n

	Bory	Bremia	Nagy-Kürtös
<i>Alloeoneis Castracaneii</i> n. s.	*		
" <i>Grunowii</i> n. s.	*	*	
<i>Amphiprora Posewitzii</i> n. s.		*	*
<i>Amphora acuta</i> Greg. var. <i>neogana</i> n. v.	*		
" <i>arenaria</i> Donk.	*	*	
" <i>cingulata</i> n. s.	*	*	*
" <i>crassa</i> Greg.	*	*	*
" " " var. <i>minor</i> n. v.	*	*	*
" " " <i>punctata</i> Grun.	*	*	*
" <i>gigantea</i> Grun. var. <i>andesitica</i> n. v.	*	*	
" <i>granulata</i> Greg.	*	*	
" <i>Gründlerii</i> Grun.	*	*	*
" " " var. <i>trachytica</i> n. v.	*	*	
" <i>incerta</i> A. S.	*	*	
" <i>Lima</i> A. S. var. <i>fossilis</i> n. v.	*	*	
" <i>litoralis</i> Donk. var. <i>fossilis</i> n. v.	*	*	
" <i>Lóczyi</i> n. s.		*	
" <i>Lunyacekii</i> n. s.		*	*
" <i>mégapora</i> n. s.	*	*	
" <i>mexicana</i> A. S. var. ? <i>boryana</i> n. v.	*	*	
" <i>(egregia</i> E. var. ?) <i>neogradensis</i> n. s.		*	
" <i>obtusa</i> Greg. var. <i>fossilis</i> n. v.	*	*	
" <i>Oculus</i> A. S. var. <i>fossilis</i> Pant.		*	
" <i>Proteus</i> Greg.	*	*	
" <i>staurophora</i> n. s.	*	*	
" <i>striata</i> Pant.		*	
" <i>Szontághii</i> n. s.		*	
" <i>tertiaria</i> n. s.		*	
" <i>vittata</i> n. s.	*	*	
<i>Arachnoidiscus Ehrenbergii</i> Bail.			
" <i>indicus</i> E.	*	*	*
" <i>ornatus</i> E.		*	
<i>Asterolampra Marylandica</i> E.		*	*
" " " var. <i>fossilis</i> n. v.	*	*	
<i>Aulacodiscus affinis</i> Grun.			*
" <i>amoenus</i> Grev. var. <i>hungarica</i> Pant.		*	
" <i>boryanus</i> n. s.		*	
" <i>(margaritaceus</i> Ralfs. var. ?) <i>Debyi</i> Pant.		*	
" <i>Grúnovii</i> Cleve		*	
" " " var. <i>subsquamosa</i> Pant.		*	
" " " <i>squamosa</i> Pant.		*	
" <i>Haynaldii</i> n. s.		*	
" <i>(angulatus</i> Grev. var. ?) <i>hungaricus</i> Pant.		*	
" <i>hyalinus</i> Pant.		*	

Bacillarien

	Bory	Bremia	Nagy-Kürtös
<i>Aulacodiscus Lunyacekii</i> Pant.			
,, " " " forma maxima			
,, " " " neogradensis Pant.			
,, " " " notabilis n. s.			
,, " " " reticulatus Pant.			
,, " " " subangulatus Pant.			
<i>Auliscus coelatus</i> Bail.			
,, confluens Grun.	*		
,, Hauckii Pant.	*		
,, moronensis Grev.	*		
,, Normanianus Grev.	*		
,, pulvinatus Cleve forma apiculata Pant.	*		
,, " " " inermis Pant.	*		
,, punctatus Bail.	*		
,, sculptus Ralfs.	*		
,, Stoeckhardtii Janisch.	*		
<i>Berkeleya hungarica</i> n. s.	*	*	
<i>Biddulphia aurita</i> Bréb.	*	*	
,, capuzina A. S.	*	*	
,, elegantula Grev.	*	*	
,, " " " var. polygibba Pant.	*	*	
,, Elesdiana n. s.	*	*	
,, homala Pant.	*	*	
,, Lóczii n. s.	*	*	
,, permagna n. s.	*	*	
,, pulchella Gray.	*	*	
,, Regina W. S.	*	*	
,, tridentata E.	*	*	
,, " " " var. andesitica n. v.	*	*	
,, " " " forma minor Pant.	*	*	
,, Tuomeyi Bail.	*	*	
,, " " " var. boryana n. v.	*	*	
,, " " " elongata Pant.	*	*	
,, " " " hungarica n. v.	*	*	
,, " " " vasta n. s.	*	*	
<i>Campylodiscus adriaticus</i> Grun.	*	*	
,, angularis Greg.	*	*	
,, " " " var. punctatus n. v.	*	*	
,, Clypeus E.	*	*	
,, Daemelianus Grun.	*	*	
,, ecclesianus Grev.	*	*	
,, Eulensteini n. s.	*	*	
,, Kilstonii n. s.	*	*	
,, limbatus Bréb.	*	*	

B a c i l l a r i e p

		Bory	Bremia	Nagy-Kürös
<i>Campylodiscus obsoletus</i> Cleve		*	*	*
"	striolatus Grun.	*	*	*
"	Thuretii Bréb.	*	*	*
"	" var. <i>baldjikiana</i> Grun.	*	*	*
<i>Cerataulus hungaricus</i> n. s.		*	*	*
"	<i>Johnsonianus</i> Grev.	*	*	*
"	<i>Kinkerii</i> A. S.	*	*	*
"	<i>polymorphus</i> Kg.	*	*	*
"	<i>turgidus</i> E.	*	*	*
"	" var. <i>hispidissima</i>	*	*	*
<i>Chaetoceros affine</i> Laud.		*	*	*
"	<i>gastridium</i> E.	*	*	*
<i>Clavicula delicatula</i> Pant.		*	*	*
"	<i>polymorpha</i> Gr. Pant. var. <i>amphylepta</i> Grun.	*	*	*
"	" var. <i>aspicephala</i> Pant.	*	*	*
"	" <i>pachycephale</i> Grun.	*	*	*
"	" <i>tumida</i> Pant.	*	*	*
<i>Climacosphaenia moniligera</i> E.		*	*	*
"	" var. <i>hungarica</i> n. v.	*	*	*
<i>Cocconeis andesitica</i> n. s.		*	*	*
"	<i>baldjikiana</i> Grun.	*	*	*
"	<i>biharensis</i> n. s.	*	*	*
"	" var. <i>minor</i> n. v.	*	*	*
"	<i>cruciata</i> Pant.	*	*	*
"	<i>Grunowii</i> n. s.	*	*	*
"	<i>neogradensis</i> Pant.	*	*	*
"	<i>pellucida</i> Grun.	*	*	*
"	<i>perpusilla</i> n. s.	*	*	*
"	<i>praecellens</i> Pant.	*	*	*
"	<i>pseudomarginata</i> Greg.	*	*	*
"	<i>Raeana</i> n. s.	*	*	*
"	<i>Scutellum</i> E.	*	*	*
"	" var. <i>baldjiklána</i> Grun.	*	*	*
"	" <i>fossilis</i> n. v.	*	*	*
"	<i>sigma</i> Pant.	*	*	*
<i>Coscinodiscus actinocyloides</i> Pant.		*	*	*
"	<i>apiculatus</i> E.	*	*	*
"	<i>argus</i> E.	*	*	*
"	<i>armatus</i> Pant.	*	*	*
"	<i>asteromphalus</i> E.	*	*	*
"	<i>Boeckhii</i> n. s.	*	*	*
"	<i>Bremianus</i> n. s.	*	*	*
"	<i>bulliens</i> A. S.	*	*	*
"	<i>clivosus</i> Pant.	*	*	*

B a c i l l a r i e n

		Bory	Bremia	Nagy-Kürtös
<i>Cosecinodiscus</i>	<i>crassus</i> Bail.			*
"	<i>curvatus</i> var. <i>inermis</i> Grün.	*		*
"	<i>Debii</i> n. s.	*		*
"	<i>eccentricus</i> E.			*
"	<i>elegans</i> Grev.			*
"	<i>entoleion</i> Grün.			*
"	<i>fimbriatus</i> E.			*
"	<i>fimbriato-limbatus</i> E.			*
"	<i>Grunowii</i> Pant.	*		*
"	<i>hispidulus</i> n. s.			*
"	<i>hungaricus</i> Pant.			*
"	<i>intumescens</i> Pant.	*	*	*
"	" var. <i>interrupta</i> n. v.	*		*
"	<i>Kochii</i> Pant.			*
"	<i>Lewisianus</i> Grev.			*
"	<i>lineatus</i> E.			*
"	<i>marginatus</i> E.	*	*	*
"	<i>moravicus</i> Grün.			*
"	<i>neogradensis</i> Pant.			*
"	<i>nitidus</i> Greg.		*	*
"	<i>nitidulus</i> Grün.			*
"	<i>Oculus</i> <i>Iridis</i> E.			*
"	<i>pulchellus</i> (Grev.) Grün. var. <i>moravica</i> Gr.	*	*	*
"	<i>radiatus</i> E.			*
"	" var. <i>heterosticta</i> Grün.	*		*
"	" " <i>subaequalis</i> Grün.			*
"	<i>robustus</i> Grev.			*
"	<i>spiraliterpunctatus</i> n. s.			*
"	<i>Stockesianus</i> (Grev.) Grün.			*
"	<i>symbolophorus</i> (E.) Grün.			*
"	<i>symetricus</i> Grev.			*
"	<i>undatus</i> (Cleve) Grün.	*		*
"	<i>Weissflogii</i> n. s.			*
<i>Craspedoporus</i>	<i>Truanii</i> Pant.			*
<i>Cymatosira?</i>	<i>biharensis</i> n. s.			*
<i>Cymbella</i>	<i>lanceolata</i> E. var. <i>fossilis</i> n. v.			*
<i>Debya</i>	<i>insignis</i> Pant.	*		*
<i>Dicladia</i>	<i>capreolus</i> E.			*
<i>Dimeregramma</i>	<i>fossile</i> Grün.			*
"	<i>boryana</i> n. s.			*
<i>Endictya</i>	<i>boryana</i> n. s.	*		*
"	<i>minor</i> A. S.	*		*
"	<i>oceanica</i> E.			*
<i>Entopyla</i>	<i>australis</i> E.			*

B a c i l l a r i e n

	Bory	Bremia	Nagy-Kürös
Entopyla hungarica n. s.	*	*	*
" Rinnboeckii n. s.	*	*	*
Epithemia gibba (E.) Kg. var. boryana n. v.	*	*	*
" gibberula Kg. var. protracta Grun.	*	*	*
" " perlonga n. v.	*	*	*
" Pethői n. s.	*	*	*
Grammatophora biharensis Pant.	*	*	*
" hungarica n. s.	*	*	*
" insignis Grun.	*	*	*
" " var. doljensis Grun.	*	*	*
" maxima Grun.	*	*	*
" oceanica E.	*	*	*
" robusta Dippel	*	*	*
" " var. gracilis	*	*	*
Gyrodiscus hungaricus n. s.	*	*	*
Haynaldia antiqua n. g. et spec.	*	*	*
Hemiaulús hungaricus Pant.	*	*	*
" polymorphus Grun. var. frigida Gr.	*	*	*
" Szabói n. s.	*	*	*
Himantidium boryanum n. s.	*	*	*
Hyalodiscus boryanus n. s.	*	*	*
" radiatus (O'M.) Grun.	*	*	*
" scoticus (Kg.) Grun.	*	*	*
" subtilis Bail.	*	*	*
" " var. australiensis Grun.	*	*	*
Hydrosera Boryana n. s.	*	*	*
" " forma hexagona	*	*	*
Isthmia Szabói Pant.	*	*	*
Ktenodiscus hungaricus n. g. et sp.	*	*	*
Mastogloia obtusa n. s.	*	*	*
" Szontaghii n. s.	*	*	*
Mastogonia Crux E.	*	*	*
Melosira arenaria Moor. var. hungarica	*	*	*
" Caput Medusae Pant.	*	*	*
" cincta Pant.	*	*	*
" clavigera Grun.	*	*	*
" granulata (E.) Ralfs.	*	*	*
" laevis (E.) Grun.	*	*	*
" Lóczyi n. s.	*	*	*
" nummuloides Ag. var. élesdiana Pant.	*	*	*
" Omma Cleve	*	*	*
" Sol (E.) Kg.	*	*	*
" undulata (E.) Kg.	*	*	*
" " var. minor n. v.	*	*	*

B a c i l l a r i e n

		Bory	Bremia	Nagy-Kürtös
Navicula andesitica n. s.		*	*	*
" aspera E. var. hungarica Pant.		*	*	*
" bacillifera n. s.		*	*	*
" Bäumlerii Pant.		*	*	*
" Beyrichiana A. S.		*	*	*
" bimaculata n. s.		*	*	*
" Bombus E.		*	*	*
" boryana n. s.		*	*	*
" brasiliensis Grun. var. fossilis Pant.		*	*	*
" cancellata Donk.		*	*	*
" clavieulus Greg.		*	*	*
" Crabro E.		*	*	*
" dactylus E.		*	*	*
" didyma E.		*	*	*
" digrediens A. S.		*	*	*
" diplosticta A. S.		*	*	*
" Dóczii n. s.		*	*	*
" élesdiana n. s.		*	*	*
" excavata Greg.		*	*	*
" formosa Grég. var. fossilis n. v.		*	*	*
" Fuchsii n. s.		*	*	*
" fusca Ralfs.		*	*	*
" var. permagna n. v.		*	*	*
" gastrum E. var. boryana		*	*	*
" gemmata Grev. var. fossilis		*	*	*
" granulata Bréb.		*	*	*
" halionata Pant.		*	*	*
" var. minor		*	*	*
" Hantkenii n. s.		*	*	*
" Haynaldii n. s.		*	*	*
" Hennedyi W. S.		*	*	*
" var. fossilis n. v.		*	*	*
" Hoffmannii n. s.		*	*	*
" humerosa Bréb.		*	*	*
" var. elongata n. v.		*	*	*
" ignobilis n. s.		*	*	*
" inflexa Greg. var. biharensis n. v.		*	*	*
" inhalata A. S.		*	*	*
" var. biharensis n. v.		*	*	*
" irregularis n. s.		*	*	*
" irrorata Grev. var. fossilis n. v.		*	*	*
" Kellérii n. s.		*	*	*
" Kinkérii n. s.		*	*	*
" Kossuthii Pant.		*	*	*

B a c i l l a r i e n

B a c i l l a r i e r

		Bory	Bremia	Nagy-Kürtös
Odontella boryana n. s.		*	*	*
" neogradensis Pant.		*	*	*
Orthoneis notata n. s.		*	*	*
" splendida Grun.		*	*	*
Pantocsekia clivosa Grun.		*	*	*
Paralia sulcata (E.) Cleve		*	*	*
" " var. biseriata Grun.		*	*	*
" " " hungarica n. v.		*	*	*
Periptera tetricladia E.		*	*	*
Plagiogramma biharensis Pant.		*	*	*
" boryanum n. s.		*	*	*
" neogradense Pant.		*	*	*
" salinaria n. s.		*	*	*
" Trüanii n. s.		*	*	*
Pleurosigma neogradense n. s.		*	*	*
Ploiaria petasiformis n. g.		*	*	*
Podosira baldjikiana Grun.		*	*	*
" boryana n. s.		*	*	*
" hungarica n. s.		*	*	*
" Lóczyi n. s.		*	*	*
Pseudoauliscus Temperei n. s.		*	*	*
Pseudotriceratum cinnamomeum Grun.		*	*	*
Pyxidicula cruciata E.		*	*	*
Pyxilla americana Grun.		*	*	*
" baltica Grun.		*	*	*
" cornuta Pant.		*	*	*
" dubia Grun.		*	*	*
Rhabdonema adriaticum Kg.		*	*	*
" " var. fossilis n. v.		*	*	*
" " hamuliferum Kitton.		*	*	*
Rhaphoneis angustata Pant.		*	*	*
" boryana n. s.		*	*	*
" Debyi Pant.		*	*	*
" gemmifera E.		*	*	*
" " var. biharensis n. v.		*	*	*
" " " elegans Grun. Pant.		*	*	*
" " " neogradensis Pant.		*	*	*
" " " parcepunctata Grun. Pant.		*	*	*
" " " subtilior n. v.		*	*	*
" " hungarica Pant.		*	*	*
" ? Lorenziana Grun. var. minorn. v.		*	*	*
" moravica Grun.		*	*	*
" rhombus E.		*	*	*
Rutillaria szakalensis n. s.		*	*	*

B a c i l l a r i e p

		Bory	Bremia	Nagy-Kürtös
Rutillaria ventricosa Grev.				*
Salacia boryana n. g. et s.		*	*	*
Scoliopleura szakalensis n. s.			*	*
Staurosira kavnenensis n. s.				*
Stephanodiscus Kanitzii Gr. Pant.			*	*
Stephanogonia actinoptychus (E.) Grun.			*	*
" aculeata n. s.			*	*
" cincta n. s.			*	*
" polygona E.			*	*
" striolata n. s.			*	*
" Szontaghii n. s.			*	*
Stephanopyxis Corona (E.) Grun.			*	*
" Turris E.			*	*
Stictodiscus boryanus n. s.		*	*	*
" californicus Grev.		*	*	*
" var. nankoorensis Grun.		*	*	*
" parallelus (E.) Pant.			*	*
" for. quadrigona Pant.			*	*
Surirella antiqua Pant.			*	*
" baldjikii Norm.		*	*	*
" fastuosa E.		*	*	*
" var. fossilis n. v.		*	*	*
" Neumayerii Janisch			*	*
" striatula Turp.			*	*
Syndendrium diadema E.			*	*
Synedra baculus Greg.			*	*
" biharensis n. s.		*	*	*
" bremiana n. s.		*	*	*
" crystallina Kg.		*	*	*
" var. fossilis n. v.		*	*	*
" nitzschiooides Grun. var. acuminata Grun.			*	*
" " obtusa Grun.			*	*
Terpsinoë americana (Bail.) Ralfs.			*	*
" intermedia Grun.		*	*	*
Triceratium acutangulum Grun.			*	*
" antiquum Pant.			*	*
" arcticum Bright.			*	*
" balearicum Cleve Grun.			*	*
" boryanum n. s.			*	*
" biquadratum Janisch			*	*
" Brunii Pant.			*	*
" condecorum (E.) Bright.			*	*
" " var. neogradensis Grun.			*	*
" elevatum n. s.			*	*

B a c i l l a r i e n

			Bory	Bremia	Nagy-Kürtös
Triceratium	Favus E.				*
"	grande Bright. for. pentagona Pant.		*		*
"	Grovei Pant.		*		*
"	horridum n. s.		*		*
"	" form: quadrigona		*		*
"	junctum A. S. var. fossilis n. v.		*		*
"	laetum Pant.		*	*	*
"	latum Grev.		*		*
"	Lóczyi n. s.		*		*
"	" var. confluens		*		*
"	lucidum Pant.		*		*
"	madagascarens Grun.		*		*
"	microtis Grun.		*		*
"	Möllerii Pant.		*		*
"	muricatum Bright. var. fossilis Grun.		*		*
"	Pantocsekii A. S.		*		*
"	" forma convexa		*		*
"	Pethői n. s.		*		*
"	Pileus E.		*		*
"	" var. robustior n. v.		*		*
"	radiato-punctatum A. S.		*		*
"	Rzehakii n. s.		*		*
"	Stockesianum Grev.		*		*
"	" var. moravica Grun.		*		*
"	Sturtii Pant.		*		*
"	Thumii A. S.		*		*
"	trisulcum Bail.		*		*
"	" var. hungarica Pant.		*		*
"	(Ditylum) undulatum E.		*		*
"	Wittii Janisch		*		*
"	" forma hexagona Pant.		*		*
Xanthiopyxis	cingulata E.		*		*
"	oblonga E.		*		*
"	panduraeformis Pant.		*		*
Zygoceros	circinus Bail.		*		*
"	quadricornis Grun.		*		*

Total-Summe 476 | 203 | 129 | 288

III. Tabellarische Uebersicht der fossilen marinen Bacillarien Russlands.

B a c i l l a r i e n		Ananino	Kusnetzk
<i>Actinodictyon antiquorum</i> n. g. et s.		*	
<i>Actinoptychus ananinensis</i> n. s.		*	
" <i>areculifer</i> A. S.		*	
" <i>heterostrophus</i> A. S.		*	*
" <i>seductilis</i> A. S.		*	*
" <i>simbirskianus</i> A. S.		*	*
" <i>Tschestnovii</i> n. s.		*	*
<i>Arachnoidiscus giganteus</i> n. s.		*	*
" <i>indicus</i> (E) A. S.		*	*
" <i>rossicus</i> n. s.		*	*
<i>Aulacodiscus acutus</i> Rattr.		*	
" <i>ananinensis</i> n. s.		*	
" <i>antiquus</i> n. s.		*	
" <i>apédicellatus</i> Rattr.		*	
" <i>Archangelskianus</i> O. W.		*	
" <i>concinus</i> Kitton		*	
" <i>cruciatus</i> n. s.		*	
" <i>Crux</i> E. var. <i>tenera</i> O. W.		*	
" <i>Darvini</i> n. s.		*	
" <i>excavatus</i> A. S.		*	
" <i>hispidus</i> n. s.		*	
" <i>hystrix</i> n. s.		*	
" <i>interruptus</i> n. s.		*	
" <i>Kellerii</i> n. s.		*	
" <i>Lahusenii</i> O. W.		*	
" " <i>var. marginalis</i> O. W.		*	
" " <i>partita</i> n. v.		*	
" " <i>punctata</i> O. W.		*	
" <i>Ledebourii</i> n. s.		*	
" <i>probabilis</i> A. S.		*	
" <i>quadrans</i> A. S.		*	
" <i>Schmidtii</i> O. W.		*	
" " <i>for. quatuor-radiata</i> Pant.		*	
" <i>septus</i> A. S.		*	
" <i>simbirskianus</i> n. s.		*	
" <i>Truanii</i> n. s.		*	
" <i>tuberculatus</i> n. s.		*	
" <i>Weissflogii</i> n. s.		*	
<i>Auliscus nanus</i> A. S.		*	
" <i>punctulatus</i> Grun.		*	

B a c i l l a r i e n

		Ananino	Kusnetzk
Biddulphia elegans Grev. var. polygibba Pant.			
" " " " " polycisticinica n. v.		*	*
" " " " " saiematica n. v.		*	*
" robusta n. s.		*	*
" rossica n. s.		*	*
" ruthenica O. W.		*	*
" saratoviana n. s.		*	*
Brightwellia rossica n. s.			
Centroporus crassus n. g. s.			
Cheloniodiscus anaminiensis n. g. s.			
Coscinodiscus simbirskianus Grun.			
" " abnor. irregularis Pant.		*	*
" symbolophorus (E.) Grun.		*	*
" vigilans A. S.		*	*
" Wittianus n. s.		*	*
Cosmiodiscus tenuis Grun.			
Entogonia saratoviana n. s.			
" Truanii n. s.		*	*
" Tscheschnovii n. s.		*	*
Eunotogramma variabile Grun.			
" Weissei E.		*	*
Goniothecium Ondontellum E.			
Gyrodiscus Vortex O. W.			
Hemialnus elegans (Hbg.) Grun.			
" includens E.		*	*
" lobatus Grev.		*	*
" perlongus n. s.		*	*
" polycystiporum E. var. siberica Grun.		*	*
" ? saratovianus n. s.		*	*
" sibericus Grun.		*	*
" Tscheschnovii n. s.		*	*
Hyalodiscus nobilis n. s.			
" subtilis Bärl.		*	*
Kentrodiscus fossilis n. g. s.			
Keratophora nitida n. g. s.			
" robusta n. s.		*	*
Lepidodiscus elegans O. W.			
Mastogonia Crux E.			
" simbirskiana n. s.		*	*
Melosira cristata n. s.			
" irregularis n. s.		*	*
" saratoviana n. s.		*	*
" sarmatica n. s.		*	*
" Thunii n. s.		*	*

B a c i l l a r i e n

		Ananino	Kusnetzk
Navicula simbirskiana n. s.	.	*	
Ondontotropis birostrata n. s.	.	*	*
" hyalina O. W.	.	*	
Paralia rossica n. s.	.	*	*
" sulcata (E.) Hb. var. biseriata Gr.	.	*	
" " var coronata Grun.	.	*	
" " siberica Grun.	.	*	
" ornata Grun.	.	*	
Porodiscus ovalis Grev.	.	*	
Pseudoauliscus Brunii n. s.	.	*	
" Rattrayi n. s.	.	*	
" Schmidti n. s.	.	*	
Pseudocerataulus Kinkerii n. s.	.	*	
Pseudostictodiscus angulatus Grun.	.	*	
Rattrayella oumaruensis (Grun.) De Toni	.	*	
Rhaphoneis Fuchsii n. s.	.	*	
" simbirskiana Grun. Pant.	.	*	
Stephanopyxis appendiculata (E.)	.	*	
" " var. intermedia Grun.	.	*	
" " " pravispina Grun.	.	*	
" deectabilis n. s.	.	*	
" ferox (Grev.) Grun.	.	*	
" gyrata n. s.	.	*	
" rossica n. s.	.	*	
" Turris E. var. cylindrus Grun.	.	*	
" " polaris Grun.	.	*	
Stictodiscus Wittii n. s.	.	*	
Triceratium abyssorum Grun. var. saratovianum n. v.	.	*	*
" ananinense n. s.	.	*	
" archangelskianum D. W.	.	*	
" arietinum A. S.	.	*	
" blandum O. W.	.	*	
" caudatum O. W.	.	*	
" cellulosum Grev. var. simbirskianum O. W.	.	*	
" concliatum n. s.	.	*	
" " var. validior	.	*	
" cucullatum n. s.	.	*	
" " var. latior	.	*	
" " " disseminate-punctatum	.	*	
" curvatovittatum A. S.	.	*	
" Debesii n. s.	.	*	
" deformatum n. s.	.	*	
" exornatum Grev.	.	*	
" " var. ananinensis n. v.	.	*	

B a c i l l a r i e p.

		Anamino	Kusnetzk
Stictodiscus	Pantosekii Tempère	*	*
Triceratium	Dutertrei Pant. Tempère	*	*
"	exornatum var. robusta O. W.	*	*
"	" simbirskiana n. v.	*	*
"	fasciatum n. s.	*	*
"	fenestratum O. W.	*	*
"	Flos E.	*	*
"	" var. intermedia Grün.	*	*
"	Heibergii Grün.	*	*
"	hystrix n. s.	*	*
"	idoneum n. s.	*	*
"	Kidstonii n. s.	*	*
"	Kinkerianum O. W.	*	*
"	kusnetzkianum n. s.	*	*
"	Lahusenii n. s.	*	*
"	lanceolatum n. s.	*	*
"	Mereškovskii n. s.	*	*
"	mucronatum A. S.	*	*
"	nobile O. W.	*	*
"	Petitii n. s.	*	*
"	Peragalloii n. s.	*	*
"	protractum n. s.	*	*
"	Rattrayi n. s.	*	*
"	renunciatum n. s.	*	*
"	saratovianum n. s.	*	*
"	sarmaticum n. s.	*	*
"	Seinseyi n. s.	*	*
"	septum n. s.	*	*
"	simplicissimum O. W.	*	*
"	Smithii n. s.	*	*
"	Soleniceros E. var. minor A. S.	*	*
"	squamatum n. s.	*	*
"	subcapitatum n. s.	*	*
"	tertiarium n. s.	*	*
"	tetragonum n. s.	*	*
"	triasicum n. s.	*	*
"	Truani n. s.	*	*
"	undatum n. s.	*	*
"	undosum n. s.	*	*
"	ventriculosum A. S.	*	*
"	venustum O. W.	*	*
"	vittatum n. s.	*	*
"	Weisseianum n. s.	*	*
"	Weissii Grün.	*	*

W a o i l l a r i e h

Total-Summe 200 | 127 | 73

Triceratium suborbiculare n. s. Nagy-Kürtös

BESCHREIBENDER THEIL.

BACILLARIACEAE.

TRIBUS RAPHIDIEAE.

FAMILIA CYMBELLEAE.

AMPHORA EHRBG.

Amphora acuta Greg. var. **neogena** n. v. — Valvulis dorso convexis, ventre planis, polis subproductis, leniter inflexis; subaeutis; striis $17\frac{1}{2}$ in 10 μ . striolatis, subradianibus ad medium valve vitta nuda interruptis. Lg. valv. 84—92 μ ; lat. 18—20 μ .

Bory.

Amphora acutiuscula Kg. Bac. pg. 108, tab. 5, fig. 32; V. H. Syn. tab. 1, fig. 18.

Abauj-Szántó, Aranyos, Czekeháza, Csípkés, Felménes, Gyöngyös-Pata, Kánya, Szokolya, Szücs, Szurdok-Püspöki, Tályáj.

Var. **fossilis** n. v. tab. 2, fig. 29. — Major et robustior quam species. Striis subradianibus striolatis 20 in 10 μ . — Long. 44 μ ; lat. $10\frac{1}{2}$ μ .

Abauj-Szántó, Aranyos, Czekeháza, Csípkés, Felménes, Gyöngyös-Pata, Kánya, Szokolya, Szücs, Szurdok-Püspöki, Tályáj.

Amphora arcuata n. s. tab. 4, fig. 70. — Valvis cymbiformibus, polis subcapitatis obtusis, subinflexis; dorso convexo, ventre planis; linea media subinflexa. Striis radianibus striolatis $12\frac{1}{2}$ in 10 μ . ad dorsum linea atra arcuata interruptis. Margo ventralis punctatus. Lg. $37\frac{1}{2}$ μ ; lat. $10\frac{1}{2}$ μ .

Gyöngyös-Pata.

Amphora arenaria Donk. T. M. S. 1858, pg. 30, tab. 3, fig. 16; A. Schm. Atlas tab. 40, fig. 9—10, 42.

Nagy-Kürtös.

Amphora bituminosa n. s. tab. 4, fig. 1, tab. 2, fig. 23. — Frustulis subellipticis, ad apicem truncatis. — Membrana connexiva cum lineis duabus longitudinalibus punctatis, ornata. Valvis arcuatis striatis, striis striolatis 15 in 10 μ , ad marginem ventralis punctatis. Lg. 16—43 μ ; lat. 12—14 μ .

Gyöngyös-Pata.

Amphora cingulata n. s. tab. 29; fig. 369. — Valvis productis oblon-

gis, polis obtusis; striis $12\frac{1}{2}$ in 10 μ . punctatis, ad medium interruptis. Long. 46 μ .; lat. 92 μ .

Bremia.

Amphora coffeaeformis (Ag.) Kg. Bac. pg. 108, tab. 5, fig. 37; Rab. S. D. pg. 31, tab. 9, fig. 5—6; A. Schm. Atlas tab. 26, fig. 56—58.

Abauj-Szántó, Aranyos, Czekeháza, Csípkés, Erdőbénye, Felménes, Gyöngyös-Pata, Kávna, Szokolya, Szücs, Szurdok-Püspöki, Tálya.

Var. **fossilis** n. v. tab. 4, fig. 69. — Validior quam species; striis inconspicue punctatis 14 in 10 μ . — Long. 32 μ .; lat. $7\frac{1}{2}$ μ .

Abauj-Szántó, Czekeháza, Felménes, Szokolya, Szücs, Szurdok-Püspöki, Tálya.

Var. **salinarum** Grun. Foss. Diat. Oest. Ung. pg. 148.

Abauj-Szántó, Aranyos, Czekeháza, Gyöngyös-Pata, Szücs, Szurdok-Püspöki, Tálya.

Amphora crassa Greg. Diat. of Clyde 1857, pg. 524, tab. 14, fig. 94; A. Schm. Atlas tab. 28, fig. 16, 30, 33; tab. 39, fig. 30.

Bory, Bremia, Nagy-Kürtös.

Var. **minor** n. v. tab. 3, fig. 51. — Minor. Valvis ad ventrem medio leniter inflatis. Striis grosse punctatis 15 in 10 μ . Long. 51 μ .; lat. 9 μ .

Bory, Brémia.

Var. **punctata** Grun. — Pant. Foss. Bac. Ung. I. pg. 21, tab. 6, fig. 46. *Bory, Bremia.*

Amphora curvata n. s. tab. 1, fig. 11. — Major. Valvis elongatis ad dorsum leniter inflexis, capitulis subacutis, ad ventrem leniter inflatis, punctatis. Linea media curvato-flexa. Striis subradiantibus, ad polos $17\frac{1}{2}$, ad medium 15 in 10 μ . Long. 65 μ .; lat. 8 μ .

Gyöngyös-Pata.

Amphora czekeházensis n. s. tab. 1, fig. 6. — Major. Valvis productis capitatis, ad dorsum striatis, convexis, ad ventrem medio leniter inflexis; capitulis obtusis, productis ad dorsum inflexis; striis 20 in 10 μ . sicut in *Navicula sculpta* E., striolatis, ad dorsum lineis duabus arcuatis nigricantibus interruptis. Long. $62\frac{1}{2}$ μ .; lat. $10\frac{1}{2}$ μ .

Czekeháza.

Amphora Eulensteini Grun. var. **fossilis** n. v. tab. 1, fig. 3; tab. 3, fig. 49. — Cum striis densioribus 20— $22\frac{1}{2}$ in 10 μ . quam in specie.

Abauj-Szántó, Czekeháza, Felménes, Kávna, Szokolya, Szücs.

Amphora fossilis n. s. — Major. Valvis elongatis, ad dorsum convexum striatis, striis 15, 16 in 10 μ . ad ventrem planum striolatis, — polis productis obtusis ad ventrem inflexis. Linea media arcuata. Lg. 71 μ .; lat. $11\frac{1}{2}$ μ .

Abauj-Szántó, Czekeháza, Gyöngyös-Pata, Szücs, Szurdok-Püspöki, Tálya.

Amphora gigantea Grun. var. **andesitica** n. var. — Probabiliter nov. spec. e maximis. Valvis dorso convexis, grosse striatiis, striis subradiantibus 7—8 in 10 μ . grosse punctatis, ventre ad medium leniter inflatis, tantum

ad polos obtusos crassos cum striis validis obliquis, grosse punctatis. — Long. 105 μ ; lat. ad medium valvæ 23 μ , ad polos 14 μ .

Bory.

Amphora granulata Greg. I. c. pg. 525, tab. 14, fig. 96; Schm. Atlas tab. 27, fig. 66.

Bremia.

Amphora Gründlerii Grun. A. Schm. Atlas tab. 28, fig. 24—27. —

Bory, Bremia, Nagy-Kürtös.

Var. *trachytica* n. v. tab. 7, fig. 132. — Recedit a specie striis dorsalisbus in lineas duas directas longitudinales dispositis. Long. 90—100 μ ; lat. ad polos obtusos ad ventrem inflexos 7 $\frac{1}{2}$ μ ; ad medium 15 μ .

Bory, Bremia, Kékéző, Nagy-Kürtös, Szakal, Szent-Péter.

Amphora hevesensis n. s. tab. 2, fig. 32, tab. 3, fig. 46; tab. 4, fig. 68 — Valvis elongatis ad dorsum convexum striatis, striis striolatis 15—16 in 10 μ . ad ventrem planum punctatis; polis validis, obtusis; linea medias ubreecta. Long. 50—60 μ ; lat. 9 $\frac{1}{2}$ —14 μ .

Gyöngyös-Pata, Szücs, Szurdok-Püspöki.

Amphora incerta A. Schm. Atlas tab. 40, fig. 1.

Bory.

Amphora libyca E. var. *interrupta* n. v. tab. 2, fig. 28. — Striis dorsalibus medio vitta lata nuda interruptis. — Long. 54 μ ; lat. 9 μ ; striae 15 in 10 μ .

Abauj-Szántó, Aranyos, Czekeháza, Erdőbénye, Felménes, Kavna, Szokolya, Szücs, Tályá.

Amphora lima n. s. — Frustula ovalis apice truncata, membrana connectiva nuda, biplicata. Valva elongata cymbiformis, polis obtusis ad ventrem flexis. Linea media curvato-flexa. Striis subradianibus 11—12 $\frac{1}{2}$ in 10 μ . striolato-punctatis. Long. frust. 84 μ ; lat. 35 μ .

Bory.

Amphora lineata Greg. Diat. Clyde pg. 40, tab. 4, fig. 70. — M. J. 1857. pg. 71, tab. 1, fig. 33. — A. Schm. Atlas tab. 26, fig. 59, 82—86; Grini, Kaspišeljes Mee in Isis 1878. pg. 8, tab. 3, fig. 5. var.

Abauj-Szántó, Aranyos, Czekeháza, Csípkés, Erdőbénye, Felménes, Kavna, Szokolya, Tályá.

Amphora litoralis Donk. var. *fossilis* n. v. — Major quam species. Long. frust. 80 μ ; lat. 34 μ . striae validiores 12—12 $\frac{1}{2}$ in 10 μ .

Bory.

Amphora Lóczyi n. s. tab. 5, fig. 93. — Frustula elongato-lanceolata, ad apicem truncata, obtusa; membrana connectiva nuda, plicata. Valva elongata, ad dorsum convexa, striata, striis subradianibus 11 in 10 μ , linea atra arcuata interruptis; polis leniter protractis, obtusis; ad ventrem plana. Linea media recta. Long. frustulae 42 μ ; lat. 12 μ .

Bremia.

Amphora Lunyácsékii n. s. — Valvis elongatis ad dorsum convexis, ad ventrem planis; polis latissimis ad ventrem inflexis; striis 9—9½ in 10 µ. subradianibus, ad polos radiantibus, punctatis. Linea media leniter curvato-flexa. Long. 129½ µ.; lat. 25½ µ.

Nagy-Kürtös.

Amphora megapora n. s. tab. 29, fig. 418. — Pulcherima species. Valvis productis, ad dorsum convexis, ad ventrem planis; polis leniter constrictis, productis, obtusis; striis subradianibus, distantibus, 5 in 10 µ. duabus lineis longitudinalibus, areolas magnas constituentibus interruptis; — linea media leniter flexa. Long. 93 µ.; lat. 24 µ.

Bory.

Amphora mexicana A. S. var.? **boryana** n. v. — Valvis elongatis, concavo-convexis, cum plica longitudinali convexa, ad polos inflexos obtusis; striis 6½ in 10 µ. subradianibus, grosse-punctatis; ad ventrem uniserialiter punctatis. Long. 202½ µ.; lat. 42 µ.

Bory.

Amphora minuta n. s. tab. 1, fig. 16. — Minor. Valvis coäretatis, ad dorsum arcuato convexum striatis, striis 15 in 10 µ. striolatis subradianibus; ad ventrem concavum punctatis. Lg. 29 µ.; lat. 13 µ.

Gyöngyös-Pata, Szücs, Szurdok-Püspöki.

Amphora (egregia E. var.?) neogradensis n. s. tab. 4, fig. 64. — Valvis productis, ad dorsum arcuatis, ad ventrem inflatis; polis inflexis, inflatis, obtusis, suberosis; striis 4 in 10 µ. distantibus, biserialiter punctatis; ad marginem ventralem uniserialiter punctatis; linea media curvato-flexa. Long. 189 µ.; lat. 15 µ.

Nagy-Kürtös, Szakál.

Amphora Neupauerii n. s. tab. 1, fig. 7. — *Amphora aponina* Neupauer (nec. Kg.) *Ásatag* *Diatom.* tab. 1, fig. 29. — *Frustulis* minoribus sublanceolatis, apice truncatis; membrana connectiva nuda; valvis productis, ad dorsum convexum striatis, striis subradianibus 20 in 10 µ., ad ventrem planis, nudis; polis productis, obtusis; linea media subrecta. Long. 28 µ.; lat. 5½ µ.

Abaúj-Szántó, Czekeháza, Szücs.

Amphora obtusa Greg. var. **fossilis** n. v. — Recedit a specie striis crassioribus subtilissime punctatis 17½—20 in 10 µ. — Long. 108—159 µ.; lat. 18—30 µ.

Bory.

Amphora Oculus A. S. var. **fossilis** Pant. Foss. Baed. Ung. I. pg. 22, tab. 14, fig. 127.

Nagy-Kürtös.

Amphora permagna n. s. tab. 6, fig. 113. — Valvis productis, ad dorsum medio inflexum recte striatis, ad ventrem subplanum cum striis subradianibus; striis 20 in 10 µ.; polis crassis obtusis; — linea media arcuata, ad medium inflexa. — Long. 112 µ.; lat. 17 µ.

Czekeháza, Tálya.

Amphora Proteus Greg. in Diat. of Clyde pg. 46; tab. 5, fig. 181; A. Schm. Atlas tab. 27, fig. 63; tab. 28, fig. 9—11.

Bory, Bremia.

Amphora protracta n. s. tab. 1, fig. 5. — Major. Valvis productis, ad dorsum convexum striatis, striis $17\frac{1}{2}$ —19 in 10 μ . subradianibus, ad ventrem leniter concavum punctatis; polis productis, subcapitatis, obtusis; linea media subrecta. Long. 80 μ ; lat. 7 μ .

Gyöngyös-Pata, Szücs, Szurdok-Püspöki.

Amphora salina W. Sm. var. **fossilis** n. v. tab. 3, fig. 47. — Länge valvae productae 32 μ ; lat. 6 μ ; striis subtilibus $22\frac{1}{2}$ in 10 μ .

Abauj-Szántó, Czekeháza, Csípkés, Gyöngyös-Pata, Szokolya, Szücs, Szurdok-Püspöki.

Amphora staurophora n. s. — Valvis productis, dorso convexo, ventre plano; polis productis, subcapitatis, obtusis; striis 10 in 10 μ . punctatis, subradianibus, ad medium valvae stáuro lato transversali interruptis; ad dorsum cum linea longitudinali atra, arcuata, totam valvam percurrente. Long. 85 μ ; lat. 13 μ .

Bory.

Amphora striata n. s. tab. 2, fig. 34. — Valvis productis, ad dorsum convexum striolatis, striis 15 in 10 μ . subradianibus; ad ventrem leniter concavis et uniserialiter punctatis; polis productis, subcapitatis, obtusis, ad dorsum cum linea atra longitudinali arcuata notatis. Long. 45 μ ; lat. 8 μ .

Abauj-Szántó, Aranyós, Czekeháza, Szücs, Tálya et in strato marino Bremia.

Amphora striolata n. s. tab. 2, fig. 25. — *Amphora Fischerii* Neup. (nec. Kg.) Ásatag. Diat. tab. 2, fig. 32. — Frustulis sublançeolatis, productis ad polos obtusis, striatis, striis subradianibus $17\frac{1}{2}$ in 10 μ ; membrana connectiva lineis longitudinalibus 5 signata. Long. $46\frac{1}{2}$ μ ; lat. $14\frac{1}{2}$ μ .

Czekeháza, Gyöngyös-Pata, Szurdok-Püspöki.

Amphora Szabói n. s. tab. 2, fig. 20. — *Coccineis limbata* Neupauer (nec. E.) Ásatag. Diat. tab 2, fig. 40. — Frustulis subellipticis, apice truncatis, striatis, striis punctatis 15—17 $\frac{1}{2}$ in 10 μ ; membrana connectiva lineis longitudinalibus punctatis 7, alternantim longioribus et brevioribus ornata.

Szücs, Szurdok-Püspöki.

Amphora Szontaghii n. s. tab. 7, fig. 138. — Valvis productis, ad dorsum arcuatis, ad ventrem planis, polis obtusis; striis crassis $9\frac{1}{2}$ —10 in 10 μ . subradianibus, ad dorsum vitta longitudinali lata interruptis; linea media arcuata. Long. 105 μ ; lat. 11 μ .

Nagy-Kürtös, Szakal.

Amphora tertiaria n. s. — Valvis ad dorsum arcuatis, ad ventrem concavis; polis crassis obtusis; striis subradianibus punctatis 8—9 in 10 μ ; linea media subarcuata. — Long. 132 μ ; lat. 18 μ .

Nagy-Kürtös.

Amphora vittata n. s. — Valvis cymbiformibus ad ventrem uniserial-

liter punctatis, ad dorsum striatis; striis 12—14 in 10 μ . subradianibus, ad medium valvae vitta nuda transversali, ad lineam medianam rectam pliea atra longitudinali interruptis; polis crassis obtusis. Long. $67\frac{1}{2}$ μ .; lat. 18 μ .

Bory, Bremia.

Amphora Wiesnerii n. s. tab. 3 fig. 45. — *Cymbella maculata* Neu-pauer (nec. Kg.) *Ásatag* Diat. tab. 2, fig. 42. — *Valvis cymbiformibus* robustis; polis subproductis, obtusis, striis $12\frac{1}{2}$ in 10 μ . subradianibus, punctatis; linea media subrecta. Long. 55 μ .; lat. 12 μ .

Gyöngyös-Pata, Szücs, Szurdok-Püspöki.

CYMBELLA AG.

Cymbella Chyzerii n. s. tab. 11. fig. 194. — *Valvis cymbiformibus*, elongatis ad ventrem parum inflatis; polis parum productis, subcapitatis, obtusis; striis ad dorsum subradianibus 10— $12\frac{1}{2}$ in 10 μ .; ad ventrem parallelis, et hic linea atra longitudinali interrumpit. Long. $82\frac{1}{2}$ μ .; lat. $14\frac{1}{2}$ μ .

Erdőbénye.

Cymbella erdőbényiana n. s. tab. 11, fig. 198. — *Valvis cymbiformibus*, coaretatis, ad ventrem parum inflatis; polis subcapitatis obtusis; striis subradianibus punctatis $12\frac{1}{2}$ —15 in 10 μ . — Long. 45—50 μ .; lat. 15—21 μ .

Erdőbénye.

Cymbella hevesensis n. s. tab. 3, fig. 53. — *Valvis cymbiformibus*; polis obtusis; striis inconspicue punctatis ad dorsum subradianibus, ad ventrem parallelis, $11\frac{1}{2}$ — $13\frac{1}{2}$ in 10 μ . polis obtusis. — Long. $62\frac{1}{2}$ μ .; lat. 13 μ .

Erdőbénye, Felménes, Gyöngyös-Pata, Szurdok-Püspöki, Tálya.

Cymbella hungarica n. s. tab. 1, fig. 14. — *Valvis cymbiformibus*, ad ventrem inflatis, striis punctatis ad dorsum subradianibus, ad ventrem subparallelis $12\frac{1}{2}$ in 10 μ .; polis subcapitatis. Long. $30\frac{1}{2}$ μ .; lat. $10\frac{1}{2}$ μ .

Abauj-Szántó, Czekeháza, Erdénye, Gyöngyös-Pata, Szokolya, Szurdok-Püspöki.

Cymbella kavensis n. s. tab. 11, fig. 186. — *Valvis parvis, coaretatis*, ad polos obtusis; striis inconspicue punctatis 15 in 10 μ .; ad dorsum areuatum subradianibus, ad ventrem planum subparallelis. — Long. 25 μ ; lat. $7\frac{1}{2}$ μ .

Kavna.

Cymbella lanceolata E. var. *fossilis* n. v. — *Subtilior quam species.* Long. valvae 127 μ .; lat. 24 μ ; striis ad dorsum subradianibus, ad ventrem medio parum inflatum subparallelis, omnibus punctatis medio 11 ad polos obtusos 8 in 10 μ .

Bory.

Cymbella Neupauerii n. s. tab. 11, fig. 187. — *Similis C. kavensis*, a qua recedit structura robustiore et striis validioribus, punctatis. Long. 27 μ .; lat. $9\frac{1}{2}$ μ .; striae 15 in 10 μ .

Erdőbénye, Gyöngyös-Pata.

Cymbella salina n. s. tab. 1, fig. 9. — *Valvis dorso areuatis, ventre*

planis; polis obtusis; striis punctatis ad dorsum subradianibus, ad ventrem parallelis, $12\frac{1}{2}$ —13 in 10 μ . — Long. $58\frac{1}{2}$ μ ; lat. 13 μ .

Erdőbénye, Gyöngyös-Pata, Szurdok-Pöspöki.

FAMILIA NAVICULACEAE.

MASTOGLOIA THWAITES.

Mastogloia lanceolata Thwait. in W. Sm. Brit. Diat. pg. 64, fig. 340; Grun. 1860. Wien. Zoolog. Bot. Gesell. X. pg. 576, tab. 5, fig. 6—7; Isis 1878, pg. 14, tab. 3, fig. 11; Danfelt Diat. of Baltic Sea Stockholm 1862, pg. 15, tab. 1, fig. 2; Van H. Synops. tab. 4, fig. 15—17.

Abauj-Szántó, Aranyos, Czekeháza, Kávna, Tálya.

Var. **hungarica** n. v. tab. 7, fig. 136. Polis subcapitatis productis; loculamentis majoribus 4 in 10 μ ; striis transversis, parallelis, punctatis $17\frac{1}{2}$ in 10 μ . — Long. 52 μ ; lat. $14\frac{1}{2}$ μ .

Czekeháza.

Mastogloia obtusa n. s. tab. 7, fig. 134. — Valvis late-ovato-lanceolatis; polis obtusis; loculamentis majoribus 5 in 10 μ ; striis transversis subradianibus, inconspicue punctatis 20 in 10 μ . — Long. 57 μ ; lat. 19 μ .

Brenia.

Mastogloia Szontághii n. s. tab. 29, fig. 416. — Valvis elongato-lanceolatis; polis subcapitatis, obtusis; loculamentis magnis $1\frac{3}{4}$ in 10 μ ; striis transversis, parallelis $11\frac{1}{2}$ in 10 μ , grosse-punctatis, punetis lineas decusatas constitutentibus 10 in 10 μ . — Long. 83 μ ; lat. 25 μ .

Bory.

NAVICULA BORY.

Navicula (gibba E. var.?) **abaujensis** n. s. tab. 3, fig. 54. — N. oblonga Neupauer (nec. Kg.) Ásatag Diatom. tab. 1, fig. 25; tab. 2, fig. 54. — Valvis elongatis medio et ad polos obtusos iuflatis; striis 8 in 10 μ , validis, abbreviatis, distantioribus, subradiatis, polos versus divergentibus, ad medium interruptis; linea media recta, polos versus redundans. — Long. 79 μ ; lat. 11 μ ; ad polos 8 μ .

Abauj-Szántó, Czekeháza.

Navicula (cancellata Donk. var.?) **ammophila** Grun. Beiträge 1882, pg. 149, tab. 30, fig. 66—70.

Abauj-Szántó, Aranyos, Czekeháza, Erdőbénye, Felménes, Kávna, Tálya.

Var. **degenerans** Grun. Beiträge 1882, pg. 149, tab. 30, fig. 74, 75. *Abauj-Szántó, Aranyos, Czekeháza, Erdőbénye, Felménes, Kávna, Tálya.*

Var. **intermedia** Grun. Beiträge 1882, pg. 149, tab. 30, fig. 71—73. — Tábor nostra II, fig. 190.

Czekeháza.

Navicula andesitica n. s. tab. 27, fig. 390. — E grege N. didymae. — Valvis panduraeformibus; polis obtusis; striis 8—10 in 10 μ . arcuato radiantibus, validis distantioribus, grosse punctatis a lineis longitudinalibus 8 panduraeformi flexis interruptis; raphide valida, inflata sublageniformi, ad marginem cum linea longitudinali punctata ornata, punctis 8 in 10 μ . minoribus, ad nodulum centralem punctis tribus majoribus transversalibus. — Long. 77 μ .; lat. ad medium constrictum 22 μ .; ad polos 31 μ .

Bory.

Navicula arenaria Donk. in M. J. 1861, pg. 10, tab. 1, fig. 8; Br. Diat. pg. 56, tab. 8, fig. 5; A. Schm. Atlas tab. 47, fig. 38—41; O'Meara Irish Diat. pag. 411, tab. 34, fig. 11; Van H. Syn. tab. 8, fig. 18. *Abauj-Szántó, Aranyos, Czekeháza, Felménes, Kavna, Tálya.*

Navicula arenariaeformis n. s. tab. 8, fig. 140. — Valvis lanceolatis, polis productis obtutis, striis subradiantibus $12\frac{1}{2}$ in 10 μ .; — Long. 20 μ .; lat. $11\frac{1}{2}$ μ .

Gyöngyös-Pata.

Navicula arenicola Grun. Beiträge 1882, pg. 149, tab. 30, fig. 76, 77; — tab. nostra 26, fig. 385.

Abauj-Szántó, Aranyos, Czekeháza, Felménes, Gyöngyös-Pata, Kavna, Szücs, Tálya.

Navicula aspera E. var. **hungarica** n. v. tab. 10, fig. 180. — Striis moniliformibus, subradiantibus $6\frac{1}{2}$ —9 in 10 μ . — Long. 85—240 μ .; lat. 18—36 μ .

Bory, Bremia, Kékkő, Nagy-Kürtös, Szakal, Szent-Péter.

Navicula bacillifera n. s. tab. 5, fig. 80. E grege Nav. Lyræ. — Valvis oblongo-ellipticis, striis transversis subradiantibus punctatis 16—18 in 10 μ .; area ad formam lyrae quasi bacillis tecta. — Long. 112—125 μ .; lat. 48—62 μ .

Bory, Bremia.

Navicula Baümkeri Pant. Fos. Bac. Ung. I, pg. 22, tab. 12, fig. 108. *Bremia, Nagy-Kürtös*

Navicula Beckii n. s. tab. 11, fig. 188. — E grege Nav. arenariae. Valvis oblongo-lanceolatis, ad polos obtutis; striis subradiantibus $12\frac{1}{2}$ —15 in 10 μ . — Long. 35 μ .; lat. 8 μ .

Gyöngyös-Pata.

Navicula Beyrichiana A. Schm. Atlas tab. 69, fig. 16, 17. *Nagy-Kürtös.*

Navicula bimaculata n. s. tab. 23, fig. 340. — Valvis lanceolato-ellipticis, striis 14—15 in 10 μ . transversis ad medium abbreviatis; area nuda, medio inflata, maculis duabus oblongis notata. — Long. 64 μ .; lat. 19 μ .

Bory.

Navicula bituminosa n. s. tab. 7, fig. 137. — Valvis elongatis, polis leniter productis, subcapitatis, obtutis; striis 10 in 10 μ . subradiantibus,

polos versus divergentibus, ad medium valde abbreviatis; area nuda, medio inflata. — Long. 65 μ ; lat. 14 $\frac{1}{2}$ μ ; ad polos 24. μ .

Abauj-Szántó, Aranyos, Czekeháza, Erdőbénye, Gyöngyös-Pata, Szokolya, Szűcs, Szurdok-Püspöki, Tálya.

Var. *latecapitata* tab. 7, fig. 133. — Polis crassis subcapitatis; striis remotioribus 8 $\frac{1}{2}$ —9 in 10 μ ; area nuda ad medium et ad polos inflata. — Long. 64 μ ; lat. 13 $\frac{1}{2}$ μ ; ad polos 6 $\frac{1}{2}$ μ .

Gyöngyös-Pata.

Var. *robusta* tab. 11, fig. 202. — Robustior 85 μ ; long.; 18 μ lati striis 10—11 in 10 μ .

Erdőbénye.

Var. *signata* tab. 5, fig. 89. — Striis ad medium maxime abbreviatis. — Long. 68 μ ; lat. 18 μ ; striis 11—12 $\frac{1}{2}$ in 10 μ .

Gyöngyös-Pata.

Var. *staurophora* tab. 5, fig. 87—88. — Striis ad medium stauropodus interruptis. — Long. 54—75 μ ; lat. 13—15 μ ; striis 10—11 in 10 μ .

Gyöngyös-Pata.

Navicula (oregonica E. var.?) **bivittata** n. s. tab. 5, fig. 83. — Valvis late lanceolato-ellipticis ad polos leniter productis subcapitatis obtusis; striis 10 $\frac{1}{2}$ —13 $\frac{1}{2}$ in 10 μ . lineis duabus longitudinalibus interruptis; radiantibus abbreviatis et hic inde area nuda valde dilatata. — Long. 80—129. μ ; lat. 31 $\frac{1}{2}$ μ .

Gyöngyös-Pata.

Navicula Bombus (Ehrbg.) Greg. Diat. Clyde tab. 9, fig. 12; Donk. Brit. D. pg. 50, tab. 7, fig. 7. A. Schm. Atlas 69; fig. 28, 29; Van H. Synops. Suppl. tab. B, fig. 22. — *Diploneis Bombus* Ehrbg. Mikrogeol. tab. 49, fig. 31. *Nagy-Kürtös.*

Navicula boryana n. s. tab. 28, fig. 407. — Valvis linearibus, elongatis, ad polos cuneatis, obtusis; striis validis abbreviatis transversis 8—9 in 10 μ . striolatis, ad marginem a linea longitudinali interruptis; area dilatata ad medium valvae leniter inflata et maculis notata. — Long. 115—130 $\frac{1}{2}$ μ ; lat. 24 μ .

Bory.

Navicula brasiliensis Grun. var. *fossilis* n. v. tab. 5, fig. 82. — Striis punctatis 12 $\frac{1}{2}$ in 10 μ . — Long. 27 μ ; lat. 14 μ .

Bremia.

Navicula cancellata Donk. Brit. D. pg. 55, tab. 8, fig. 4; A. Sélmi: Nord. Diat. tab. 2, fig. 36, 37; Atlas tab. 46, fig. 41, 42, etc. Van H. Synops. pg. 86, tab. suppl. 11, fig. 16.

Bory, Bremia, Nagy-Kürtös.

Navicula Chyzerii n. s. tab. 5, fig. 96. — *Navicula viridula* Neupauer (neq. Kg.) Ásatag Diatom. tab. 1, fig. 27. Valvis ovate-lanceolatis, elongatis, striis 8—9 in 10 μ . ad medium valve abruptis, radiantibus ad polos

divergentibus. Area nuda ad polos et praecipue ad medium inflata. — Long. 66 μ ; lat. 19 μ . — An. *Navicula* Dux E.?

Czekeháza.

Navicula cineta n. s. tab. 11, fig. 196. — Longitudo fragmenti $59\frac{1}{2}$ μ ; latitudo ad medium valve 16 μ ; striis $12\frac{1}{2}$ in 10 μ . abreviatis, marginalibus, radiantibus, ad polos leviter productos obtusos divergentibus. Area nuda permagnè dilatata.

Erődőbénye.

Navicula claviculus Greg. Diatom of Clyde pg. 6, tab. tab. 9, fig. 5.; A. Schm. Nord. See Diatom. tab. 2, fig. 28.

Bremia.

Navicula Crabro (Ehrbg.) Donk. Brit. D. pg. 46, tab. 7, fig. 1; A. Schm. N. See D. tab. 1, fig. 5, 6, tab. 2, fig. 4; Atlas tab. 69, fig. 1—4; Van H. Synops. tab. 9, fig. 1, 2. — *Diploneis Crabro* Ehrbg. Mikrogeol. tab. 19, fig. 29, tab. nost. 2, fig. 22.

Nagy-Kürtös.

Navicula (peregrina E. var.?) **curtestriata** n. s. tab. 2, fig. 19. Valvis elongatis, versus medium et ad polos inflata; striis $11\frac{1}{2}$ in 10 μ . abruptis subradiatis, ad polos divergentibus. — Long. 71 μ ; lat. $14\frac{1}{2}$ μ . ad polos $14\frac{1}{2}$ μ .

Gyöngyös-Pata.

Navicula (suspecta A. S. var.?) **czekeházensis** n. s. tab. 4, fig. 59. *Navic. didyma* Neupauer (nec. E. Kg.) Ásatag Diatom. tab. 1, fig. 26. — Valvis panduraeformibus, polis versus obtusis; striis $8\frac{1}{2}$ —9 in 10 μ . validis, striolatis; ad raphidem lageniforme inflatam, cum linea punctorum longitudinali. — Long. $46\frac{1}{2}$ μ ; lat. ad medium 11 μ , ad polos 19 μ .

Czekeháza.

Navicula Dactylus (E.) Kg. Bac. pg. 98, tab. 28, fig. 59.; A. Schm. Atlas tab. 42, fig. 6.; Van H. Synop. tab. 5, fig. 1. — *Pinularia Dactylus* E. Amerika 4—1, fig. 3.; Microgeol. tab. 17, 2, fig. 2, etc; Rabh. S. D. pg. 42, tab. 6, fig. 8; Mic. Jour. 1856, tab. 1, fig. 7; Schumann Preus. Diatom. 1864, tab. 2, fig. 20.

Bory.

Navicula debilis n. s. tab. 12, fig. 214. — Valvis linearibus, ad polos obtusos rotundatis; striis transversis 10 in 10 μ . ad medium abreviatis. — Long. $42\frac{1}{2}$ μ ; lat. $9\frac{1}{2}$ μ .

Erődőbénye; Felménes; Kavná.

Navicula didyma (Ehrbg.) Kützg. Bacill. pg. 100, tab. 4, fig. 7, tab. 28, fig. 75; W. Sm. Brit. D. I. pg. 53, tab. 17, fig. 151; Pritch. Infus. pg. 893, tab. 7, fig. 61; Donk. Brit. Diat. pg. 51, tab. 7, fig. 8; Janisch Hondur. pg. 10, tab. 4, fig. 14; A. Schm. N. See Diat. tab. 1, fig. 7; Atlas tab. 13, fig. 1—3, tab. 69, fig. 30; Van H. Synops. tab. 9, fig. 5, 6; suppl. tab. B.

fig. 20; Truan Diat. Astur. pg. 43, tab. 2, fig. 34, 32; — *Pinnularia didyma* Ehrbg. Amerika tab. 2, 4, fig. 3; Rabenh. S. Diat. pg. 46, tab. 6, fig. 26; — *Diploneis didyma* Ehrbg. Mikrogeol. tab. 19, fig. 32.

Bory, Bremia, Nagy-Kürtös, Szakal.

Navicula digrediens A. Schm. Atlas tab. 69, fig. 26, 27.

Bory, Bremia,

Navicula diplosticta Grun. in A. Schm. Atlas tab. 13, fig. 25, 26.

Nagy-Kürtös:

Navicula discernenda n. s. tab. 22, fig. 335. — *Valvis oblongo-lanceolatis; striis 12 $\frac{1}{2}$ —14 in 10 μ . radiantibus, polos versus divergentibus, ad medium abbreviatis.* — Long. 37 $\frac{1}{2}$ μ ; lat. 12 μ .

Szudok-Püspöki,

Navicula Dóczii n. s. tab. 14, fig. 247. — *E grege N. ellipticae.* — *Valvis ellipticis, ovalibus; polis obtuso-rotundatis; striis radiantibus inconspicue punctatis 14—16 $\frac{1}{2}$ in 10 μ .; ad raphidem cum linea punctorum longitudinali; arca nuda ad nodulum centralem inflata.* — Long. 52 μ ; lat. 17 μ .

Bremia.

Navicula élesdiana Pant. Foss. Bac. Ung. I. pg. 24, tab. 17, fig. 152.

Bory, Bremia.

Navicula elongatula n. s. tab. 3, fig. 40. — *Valvis oblongo-ellipticis, angustis, ad polos obtusis; striis 20 in 10 μ . transversis, ad medium abbreviatis et sic aream centralem circularem constituentibus.* — Long. 21 μ ; lat. 8 μ .

Gyöngyös-Pata.

Navicula excavata Grev. T. M. S. 1866, pg. 130, tab. 12, fig. 15; A. Schm. Atlas tab. 3, fig. 22—25.

Nagy-Kürtös.

Navicula formosa Greg. var. *fossilis* n. v. tab. 20, fig. 310. — *Striis transversis 22 $\frac{1}{2}$ —25 in 10 μ . a lineis 4 longitudinalibus interrupitis.* — Long. 76—92 μ . lat. 20—24 μ .

Bory, Bremia.

Navicula (latissima) Greg. var. (?) Fuchsii n. s. tab. 10, fig. 170. — *Valvis late-ovalibus ad polos leniter constrictis, capitatis; striis subradiantibus 10—12 $\frac{1}{2}$ in 10 μ . punctatis, punctis 12 $\frac{1}{2}$ in 10 μ . initialibus maximis, obliquis.* — Long. 88 μ ; lat. 40 μ .

Bory, Bremia.

Navicula fusca Ralfs in Pritsch. Infus. pg. 898; Greg. Diat. of Clyde pg. 14, tab. 1, fig. 5; Dónk. Bremia Diat. pg. 7, tab. 1, fig. 5; A. Schm. Atlas tab. 7, fig. 2, 4, 7, 9, tab. 8, fig. 32—37; Van. H. Synops. tab. suppl. B. fig. 24; — *Nav. hyperborea* Grun. Verhandl. der Zool. botan. Gesell 1860, pg. 29, tab. 1, fig. 16. — *Pinnularia quadrifasciata* Ehrbg. Mikrogeol. tab. 19, fig. 25.

Bory, Bremia, Nagy-Kürtös

Var. **permagna** n. v. — Valvis late-ovalibus 150—200 μ . longis, 60—70 μ . latis, areuato striatis, striis grosse punctatis $6\frac{1}{2}$ —7 in 10 μ . ad sulcum raphidealem biserialiter punctatis; raphide inflata sublageniformi.

Bory.

Navicula gastrum (E) Kg. var. **boryana** n. v. — Valvis capitatis 46—60 μ . longis, 17—20 μ . latis; striis $7\frac{1}{2}$ — $8\frac{1}{2}$ in 10 μ . radiantibus, ad medium alternaltim longioribus et brevioribus, omnibus punctatis, punctis 17—18 in 10 μ .

In stratis marinis ad *Bory*.

Navicula (gastrum (E) Kg. var.?) **Gálikii** n. s. tab. 11, fig. 192. Valvis laceolato-ovatis, capitatis; striis $7\frac{1}{2}$ —8 in 10 μ . distantioribus, radiantibus, punctatis, punctis in 10 μ . — Long. 34 μ .; lat. 15 μ .

Károly.

Navicula gemmata Grev. var. **fossilis** Pant. Foss. Bac. Ung. I. pg. 25, tab. 20, fig. 181.

Nagy-Kürtös.

Navicula Gorjanovičii Pant. var. **major** n. v. tab. 5, fig. 78. — Valvis panduraeformibus, 48—55 μ . longis, ad polos rotundatos 19—20 μ ., ad medium 10—13 μ . latis; striis validis inflatis $8\frac{1}{2}$ —10 in 10 μ .; raphide inflata.

Czekeháza.

Navicula granulata Bréb. in Pritch. Infus. pg. 903; Donk. T. M. S. vol. VI. pg. 17, tab. 3, fig. 19; Bréb. Diat. pg. 17, tab. 3, fig. 1; A. Schm. Atlas tab. 6, fig. 15, 16; Van H. Synops. tab. 11, fig. 15.

Bory.

Navicula grata n. s. tab. 1, fig. 21 — Valvis elongato-lanceolatis, polis obtusis; striis radiantibus rastriforme flexis, ad polos divergentibus 11 in 10 μ . — Long. 84 μ .; lat. 15 μ .

Szurdok-Püspöki.

Navicula halionata Paut. Beiträge I. pg. 25, tab. 11, fig. 94. — tab. 2, fig. 12.

Bory, Czekeháza, Erdőbénye, Gyöngyös-Pata, Szokolya, Szücs, Szurdok-Püspöki, Tályja.

Var. **directa** n. v. tab. 12, fig. 241. — Valvis elongatis, directis nunquam inflatis, subcapitatis. — Long. 110 μ .; lat. 24 μ . — Striis 10 in 10 μ .

Szurdok-Püspöki.

Var. **minor** n. v. tab. 26, fig. 381. — Valvis elongatis, ovalibus 90 μ . longis, 25 μ . latis; striis abbreviatis radiatis, ad polos divergentibus 10 in 10 μ .

Bory.

Navicula Hajtkenii n. s. tab. 18, fig. 150. — Valvis panduraeformibus; striis $12\frac{1}{2}$ in 10 μ . validis areuatis punctatis, sulcus raphidealis nudus tantum ad marginem raphidis inflatae uniserialiter punctatus. — Long. 36. μ .; lat. ad polos 13 μ .; ad medium $9\frac{1}{2}$ μ .

Bremia.

Navicula Haynaldii n. s. tab. 24, fig. 361. — Valvis productis panduraeformibus, polis lanceolatis, striis 10 in 10 μ . validis costatis, moniliformibus; raphide inflata, in sulco linea punctorum longitudinali cineta, punctis ad nodulum centralem dispositis majoribus dilatatis. — Long 91 μ ; lat. ad constrictione in 18 μ , ad polos 28 μ .

Bory.

Navicula Hazslinszkyi n. s. tab. 11, fig. 193. — Valvis linearibus elongatis, ad medium inflatis, ad polos rotundatis; striis 20 in 10 μ . transversis. — Long. 45 $\frac{1}{2}$ μ ; lat. ad polos 7 μ , ad medium 9 μ .

Erdőbénye.

Navicula Heerii n. s. tab. 14, fig. 195, tab. 12, fig. 210. — E grege N. interruptae — Valvis panduraeformibus, striis 8—12 $\frac{1}{2}$ in 10 μ . validis, costatis-arcuato, radiantibus; raphide inflata, valida. — Long. 22—36 μ , lat. ad polos rotundatos 11—14 μ , ad medium 8—9 μ .

Abauj-Szántó, Aranyos, Czekeháza, Gyöngyös-Pata, Szücs, Tálya.

Navicula Hennedyi W. Sm. Br. D. vol. II, pg. 93; Greg T. M. S. vol. IV, tab. 5, fig. 3; Ralfs in Pritch. Inf. pg. 898, tab. 7, fig. 69; Grun. Zool. bot. Gesell. 1860, pg. 532, tab. 1, fig. 21, 22; Janisch Guano pg. 12, tab. 2, fig. 13; Donk. Br. D. pg. 11, tab. 2, fig. 3; A. Schm. N. See D. tab. 1, fig. 41; Atlas tab. 3, fig. 3—5, 7, 8; Van H. Synops. tab. 9, fig. 14.

Bory, Bremia, Nagy-Kürtös.

Var **fossilis** n. v. tab. 12, fig. 207. — Striis densioribus, 14 in 10 μ . — Long. 76 μ , lat. 32 μ .

Bory, Bremia.

Navicula heteroflexa n. s. tab. 2, fig. 34. — Valvis lanceolato productis, polis rotundatis; striis subtilissimis 28 in 10 μ . arcuato radiantibus; raphide directa, ad polos heteroflexa. — Long. 74 μ , lat. 11 μ .

Abauj-Szántó, Czekeháza, Gyöngyös-Pata, Szokolya, Szücs, Szurdok-Püspöki, Tálya.

Var. **constricta** tab. 2, fig. 27, 33. — Valvis medio leniter constrictis; polis productis subcapitatis. — Long. 50—62 μ , lat. ad medium 11—12 μ ; striae 25—30 in 10 μ .

Szurdok-Püspöki.

Var. **minor** tab. 9, fig. 162. — Long. 48 μ , lat. 9 $\frac{1}{2}$ μ , striae 22 $\frac{1}{2}$ —25 in 10 μ .

Szurdok-Püspöki.

Navicula hevesensis n. s. tab. 4, fig. 67. — Differt a Nav. Yarrensi Grun. valvis medio leniter constrictis, ad polos productis, subcapitatis. — Long. 72 μ , lat. ad medium 15 μ , ad polos 16 $\frac{1}{2}$ μ , striae validae 6 $\frac{1}{2}$ in 10 μ .

Gyöngyös-Pata.

Navicula Hoffmannii n. s. tab. 14, fig. 245. — Valvis late-lanceolatis, polis obtusis, striis 10—12 $\frac{1}{2}$ in 10 μ arcuato, radiantibus, nudis. — Long. 43 μ , lat. 20 μ .

Bremia.

Navicula hordeiformis n. s. tab. 11, fig. 197. — Valvis lanceolatis 26 μ . longis, 8 μ . latis; striis 10—12 $\frac{1}{2}$ in 10 μ . subradianibus.

Felménes.

Navicula humerosa Bréb. in W. Sm. Br. D. vol. II, pg. 93; Grun. Zoolog. bot. Gesell. 1860, pg. 536, tab. 1, fig. 26; Donk Br. D. pg. 18, tab. 3, fig. 3; A. Schm. Atlas tab. 6, fig. 3, 5; Van H. Synops. tab. 11, fig. 20. — Nav. quadrata Greg. T. M. S. N. S. vol. IV, pg. 41, tab. 5, fig. 5.

Bory, Bremia, Nagy-Kürtös.

Var. **elongata** n. v. tab. 10, fig. 175. — Longitudo valvis productae subcapitatae 140 μ .; latitudo ad medium 46 μ .; striis 10—11 in 10 μ . radiantiibus, ad polos divergentibus, punctatis, punctis 10—11 in 10 μ .

Bory, Bremia, Nagy-Kürtös.

Navicula ignobilis n. s. tab. 25, fig. 367. — E. parvulus. Valvis ellipticis 12 μ . longis, 4 $\frac{1}{2}$ μ . latis; striis transversis 15 in 10 μ .

Kávna, et in stratis marinis vallis Bremia.

Navicula inflexa Greg. var. **biharensis** n. v. tab. 3, fig. 36. — Striis densioribus 15 in 10 μ . — Long. 25 μ .; lat. 4 $\frac{1}{2}$ μ .

Bremia.

Navicula inhalata A. Schm. Atlas tab. 2, fig. 30.

Bory, Bremia, Nagy-Kürtös.

Var. **biharensis** n. v. tab. 8, fig. 139. — Striis subtilissime punctatis 12 $\frac{1}{2}$ —13 in 10 μ .; long. 52 μ .; lat. 26 $\frac{1}{2}$ μ . Area lyraeformis maculata.

Bremia.

Navicula insignis n. s. tab. 21, fig. 324. — Valvis late-lanceolatis, striis subradianibus 7 $\frac{1}{2}$ —9 in 10 μ ., validis costatis, striolatis. — Long. 51 μ .; lat. 19 μ . — Area laevi raphidem ambiente late-lanceolata.

Szurdok-Püspöki.

Navicula interposita Levis. Proc. Phil. Acad. [of nat. sc.] 1865, tab. 2, fig. 19.

Abauj-Szántó, Aranyos, Czekeháza, Szücs, Szurdok-Püspöki, Tálya.

Navicula interrupta Kützg. Bacill. pg. 100, tab. 29, fig. 93; Grun. Zool. bot. Gesell. 1860, pg. 531, tab. 3, fig. 20; Donk. Br. D. pg. 47, tab. 7, fig. 2; A. Schm. Atlas tab. 12, fig. 10, 11; Lagerst. D. Spitzb. 1873, pg. 28, tab. 2, fig. 6; Van H. Synops. tab. 9, fig. 7, 8.

Abauj-Szántó, Aranyos, Czekeháza, Csíkás, Erdőbénye, Felménes, Gyöngyös-Pata, Kávna, Szokolya, Szücs, Szurdok-Püspöki, Tálya.

Var. **fossilis** n. v. tab. 6, fig. 112; tab. 12, fig. 208, 215. — Minor quam species. — Long. 24—32 μ .; lat. ad polos 10—14 μ .; lat. ad medium 8—12 μ . — Striae validae, arcuatae, medio interruptae 10—12 $\frac{1}{2}$ in 10 μ . — Raphidē inflata lagéniformi.

Czekeháza, Gyöngyös-Pata, Szücs, Szurdok-Püspöki, Tálya.

Var. **Talyana** Grun. — Beiträge 1882, pg. 150, tab. 30; fig. 59. *Czekeháza, Tálya.*

Navicula irregularis n. s. tab. 30, fig. 424. — Valvis elongato-lanceolatis, polis subacutis; striis 7—10 in 10 μ . transversis, validis, alternantim longioribus et brevioribus et uno latere valvae vitta lata interruptis. — Long. 126 μ .; lat. 21 μ .

Bory.

Navicula irrorata Grev. var. **fossilis** n. v. tab. 8, fig. 147 — Brevior et tumidior quam species. — Long. 51 μ .; lat. 24 μ . — Striae punctatae 12 $\frac{1}{2}$ in 10 μ . — Area lyraeformis punctata.

Bremia.

Navicula Kelleri n. s. tab. 23, fig. 351. — Valvis elongatis, lanceo-lato-ellipticis; striis 16 in 10 μ . transversis, striolatis, striolis 6 in 10 μ . lineas longitudinales 7—8 constituentes. — Long. 115 μ .; lat. 33 μ .

Bory.

Navicula Kinkerii n. s. tab. 9, fig. 169. — Valvis elongato-lanceolatis subsigmaoideis, striis validis obliquis, transversis 2—3 in 10 μ . striolatis; raphide subsigmaoidea. — Long. 109 μ .; lat. 18 μ .

Nagy-Kürtös; Szakál.

Navicula Kossuthii Pant. Foss. Bac. Ung. I. pg. 26, tab. 14, fig. 120.

Nagy-Kürtös.

Navicula Kochii n. s. tab. 4, fig. 72. — Valvis ellipticis, ad medium leniter constrictis, polis rotundatis; striis 8—12 in 10 μ . costatis; area laevis raphidem ambiente medio dilatata. — Long. 45 μ .; lat. 17 μ .

Szurdok-Püspöki.

Navicula lacrimans A. Schm. var. **fossilis** n. v. tab. 2, fig. 18. — Long. 109 $\frac{1}{2}$ μ .; lat. ad polos 36 μ .; ad medium 24 μ . — Striae costatae 4—5 in 10 μ .

Nagy-Kürtös.

Navicula latissima Greg. T. M. S. 1856, pg. 40, tab. 5, fig. 4; Pritch. Inf. pg. 903, tab. 7, fig. 70; Donk. Brit. Diat. pg. 17, tab. 3, fig. 2; A. Schm. N.-See D. tab. 1, fig. 30; Atlas tab. 6, fig. 7; Pinnularia divaricata O'Meara O. J. M. S. 1867, pg. 116, tab. 5, fig. 7; Proced. Roy. Irish Acad. II. pg. 379, tab. 32, fig. 6.

Bory.

Var. **capitata** n. v. — Valvis ovatis, polis capitatis; striis 10 $\frac{1}{2}$ in 10 μ . punctatis, punctis 10 $\frac{1}{2}$ in 10 μ . — Long. 109 μ .; lat. 48 μ .

Bory.

Var. **minor**. — Valvis ovato-oblongis, polis capitatis; striis 10 $\frac{1}{2}$ in 10 μ . inconspicue punctatis. — Long. 75 μ .; lat. 31 μ .

Bory.

Navicula Le Tourneurii n. s. tab. 24, fig. 358. — Valvis elongato-ellipticis, ad polos leniter productis, ad medium leniter constrictis; striis subradiantibus 12 $\frac{1}{2}$ in 10 μ . punctatis, punctis 15 in 10 μ . — Long. 80 μ .; lat. 32 μ . — Area lyraeformis maculata.

Bory.

Navicula *levis* n. s. tab. 25, fig. 366. — Valvis anguste-lanceolatis, ad polos productis, capitatis; striis transversis $22\frac{1}{2}$ in $10\frac{1}{2}$ μ . — Long. 24 μ ., lat. $5\frac{1}{2}$ μ .

Kavna.

Navicula *lineata* Donk. T. M. S. 1858, pg. 22, tab. 3; fig. 17; Br. D. pg. 18, tab. 1, fig. 8; A. Schm. Atlas tab. 7, fig. 44, tab. 69, fig. 31; N. See Diatom. tab. 1, fig. 16, 17; O'Meara R. J. Acad. Vol. II, pg. 364, tab. 31, fig. 22.

Bory, Bremia.

Navicula *Löczyi* n. s. tab. 6, fig. 114. — Valvis elongatis, ad polos inflatis, ad medium leniter constrictis; polis productis subcapitatis; striis transversis $17\frac{1}{2}$ in $10\frac{1}{2}$ μ , ad medium a fascia lata nuda interruptis. — Long. 81 μ ; lat. ad polos $14\frac{1}{2}$ μ , ad medium 7 μ .

Bremia.

Navicula *Lyra* Ehrbg. Amerika tab. I, 1, fig. 9a; Kütz. Bac. pg. 94, tab. 28, fig. 55; Rabenh. S. D. pg. 40, tab. 5, fig. 15; Greg. D. Clyde pg. 485, tab. 9, fig. 13; Grun. Zoolog. bot. Gesell. 1860, pg. 532, tab. 9, fig. 22, 23; Janisch. Hondur. pg. 10, tab. 3, fig. 7; Donk. Br. D. pg. 14, tab. 2, fig. 7; Janisch. Guano pg. 11, tab. 1 A, fig. 26; A. Schm. N. See Diat. tab. 1, fig. 34, 35, 38, 39; Atlas tab. 2, fig. 4, 5, 8, 9 etc.; tab. 3, fig. 11, 12, tab. 70, fig. 47; O'Meara Irish D. pg. 391, tab. 33, fig. 1, 5, 6; Van H. Synops. tab. 10, fig. 1, 2; Truan. Diat. Astur. pg. 44, tab. 2; fig. 23.

Bory, Bremia; Nagy-Kürtös.

Var. *acuta* n. s. — Valvis late-ovalibus, polis acutis; striis 12 in $10\frac{1}{2}$ μ , subradianibus punctatis. — Long. 90 μ , lat. $49\frac{1}{2}$ μ .

Nagy-Kürtös.

Var. *elliptica* in A. Schm. Atlas tab. 2, fig. 29, 34.; Van H. Synops. tab. 10, fig. 2.

Nagy-Kürtös.

Var. *producta* n. s. — Valvis ovato-elongatis; striis 12 in $10\frac{1}{2}$ μ , subradianibus punctatis. — Long. $145\frac{1}{2}$ μ , lat. 57 μ .

Nagy-Kürtös.

Navicula *macilenta* E. — sub Pinularia. — Amerika tab. 2; 1, fig. 23, etc.; Mikrogeolog. tab. 16, 1, fig. 9, etc.; Abhand. 1869, tab. 61A, fig. 19; Nordpol tab. 2, fig. 63; A. Schm. Atlas tab. 43, fig. 7—9.

In stratis marinis ad. *Bory.*

Navicula *Macraeana* n. s. tab. 8, fig. 155. — Valvis elongato-lanceolatis; striis $17\frac{1}{2}$ — $22\frac{1}{2}$ ad medium transversis, ad polos divergentibus, striolatis ad medium vita lata nuda unilateraliter interruptis. — Long. 119 μ , lat. 27 μ .

Gyöngyös-Pata.

Navicula *mastogloidea* Pant. Foss. Bac. Ung. I. pg. 27, tab. 21, fig. 192; tab. 26, fig. 387.

Bory.

Navicula maxima Greg. M. J. 1855, pg. 40; tab. 4, fig. 19; T. M. S. 1856, pg. 39, tab. 5; fig. 2; D. of Clyde pg. 487, tab. 9, fig. 18; Pritch. Inf. pg. 909, tab. 7, fig. 75; Donk. Br. D. pg. 60, tab. 9, fig. 4; A. Schm. N. See D. tab. 2, fig. 44; Atlas tab. 50, fig. 19—21 etc. O'Meara l. c. pg. 371, tab. 31, fig. 38; — Nav. excentrica Grun. l. c. 1860, pg. 546, tab. 1, fig. 1. — Nav. bicuncata Grun. l. c. 1860, pg. 546, tab. 1, fig. 4.

Bory, Bremia, Nagy-Kürtös.

Navicula menilitica n. s. tab. 2, fig. 30. — Valvis late-lanceolatis; polis subcapitatis obtusis; striis 20 in 10 μ , subradiantibus punctatis, ad medium stauro latol. interruptis. — Long. 38 $\frac{1}{2}$ μ ; lat. 16 μ .

Gyöngyös-Pata, Szurdok-Püspöki.

Navicula microrhynchus Grun. Beiträge 1882, pg. 149, tab. 30, fig. 46; — tab. nostra 3, fig. 38; tab. 8, fig. 145.

Abauj-Szántó, Aranyos, Czekeháza, Csípkés, Erdőbénye, Felménes, Gyöngyös-Pata, Kánya, Székelyföld, Szűcs, Tálya.

Navicula nebulosa Greg. D. of Clyde pg. 480, tab. 9, fig. 8, Donk. Br. D. pg. 11, tab. 2, fig. 2; A. Schm. Atlas tab. 35, fig. 14; O'Meara l. c. pg. 387, tab. 32, fig. 25, 26.

Bory, Nagy-Kürtös.

Navicula nitescens Ralfs in Pritch. Inf. pg. 808; Gregor D. of Clyde pg. 487, tab. 9, fig. 16; — Striis nudis 7 $\frac{1}{2}$ —8 $\frac{1}{2}$ in 10 μ ; A. Schm. Atlas tab. 7, fig. 37, 41; O'Meara l. c. pg. 389, tab. 32, fig. 32.

Nagy-Kürtös.

Var. **fossilis** n. s. tab. 9, fig. 163; — Striis nudis 7 $\frac{1}{2}$ —8 $\frac{1}{2}$ in 10 μ . — Long. 99 μ ; lat. 44 μ .

Nagy-Kürtös, Szent-Péter.

Navicula nobilis (E.) Kg. var. **fossilis** n. v. — Striis costatis densioribus 6 $\frac{1}{2}$ —8 in 10 μ ; area media latiore. — Long. 120—210 μ ; lat. 18—33 μ .

In stratis marinis prope *Bory*.

Navicula notabilis n. s. tab. 5, fig. 95. — Valvis anguste-lanceolatis, elongatis, ad polos subacutis; striis 12 $\frac{1}{2}$ in 10 μ , subradiantibus. — Long. 42 $\frac{1}{2}$ μ ; lat. 9 μ .

Szűcs.

Navicula nuda n. s. tab. 6, fig. 108; — Valvis anguste-lanceolatis, elongatis, ad polos leniter productis, subcapitatis; striis invisibilibus. — Long. 37 $\frac{1}{2}$ μ ; lat. 7 μ , ad polos 3 μ .

Czekeháza.

Navicula ovalis (Naegeli?) Hilse — A. Schm. Atlas tab. 30, fig. 33. — Grun. Beiträge 1882, pg. 150; tab. 30, fig. 61.

Abauj-Szántó, Aranyos, Czekeháza, Csípkés, Erdőbénye, Felménes, Gyöngyös-Pata, Kánya, Székelyföld, Szűcs, Szurdok-Püspöki, Tálya.

Var. **fossilis** n. s. tab. 6, fig. 115. Coccoeis 'salina' Neupauer' (nec.

Kg.) tab. 1, fig. 17. — Striis subtilissime punctatis $17\frac{1}{2}$ in 10 μ . — Long. $30\frac{1}{2}$ μ .; lat. 12 μ .

Czekeháza, Erdőbénye, Felménes, Kavna, Szücs, Szurdok-Püspöki, Tálya.

Navicula O'Swaldii Janisch var. **hungarica** n. v. tab. 25, fig. 370. — Striis densioribus 22 in 10 μ . subtile punctatis, punctis 20 in 10 μ . — Long. 114 μ ; lat. 60 μ . — Area dilatata, maculata.

Nagy-Kürtös.

Navicula parallelistriata n. s. tab. 2, fig. 26. N. nodosa Neupaner (nec. Kg.) Ásatag Diatom. tab. 3, fig. 59. — Valvis elongatis, ad polos rotundatis; striis $17\frac{1}{2}$ in 10 μ . transversis, parallelis; raphide ad polos heteroflexa. — Long. $69\frac{1}{2}$ μ ; lat. 17 μ .

Czekeháza.

Navicula parca A. Schm. var. **producta** n. v. tab. 8, fig. 148. — Long. $54\frac{1}{2}$ μ , lat. $14\frac{1}{2}$ μ , striae punctatae $12\frac{1}{2}$ in 10 μ .

Bory, Bremia.

Navicula perfecta Pant. Foss. Bac. Ung. I pg. 28, tab. 23, fig. 207. *Bory, Nagy-Kürtös.*

Navicula perlonga n. s. — E maximis. — Valvis elongatis ad polos lanceolatis, ad medium leniter inflatis; striis transversis 10 in 10 μ . plica longitudinali interruptis. — Long. usque ad 500 μ , lat. 50 μ .

Bory.

Navicula pinnata n. s. tab. 20, fig. 308. — Valvis elongatis, angustelanceolatis, ad polos obtusis; striis $7\frac{1}{2}$ in 10 μ , validis, striolatis, transversis, ad medium radianibus. — Long. 62 μ , lat. $12\frac{1}{2}$ μ .

Bory, Bremia, Nagy-Kürtös.

Navicula praetexta Ehrbg. Mikrogeol. tab. 19, fig. 28; Greg. D. of Clyde pg. 481, tab. 9, fig. 11; Donk. Br. D. pg. 10, tab. 2, fig. A. Schm. Atlas tab. 3, fig. 30—34; O'Meara I. c. pg. 387, tab. 32, fig. 27; Van H. Synops. tab. 8, fig. 13; Truan D. Astur. pg. 44, tab. 2, fig. 27; Pant. Foss. Bac. Ung. I, pg. 28, tab. 9, fig. 79.

Nagy-Kürtös.

Navicula porocera n. s. tab. 1, fig. 8. — Valvis elongatis polos versus rotundatis; striis 8, ad polos 10 in 10 μ , radianibus, ad polos divergentibus, abbreviatis, ad medium interruptis. Area nuda, dilatata, cruciformis. — Long. 132 μ ; lat. $20\frac{1}{2}$ μ .

Gyöngyös-Pata, Szurdok-Püspöki.

Navicula ramphoides n. s. tab. 5, fig. 97—98. — Frustulis a latere connectivo elongatis, rectis, angulis rotundatis, subcornutis; membrana connectiva striata. — Valvis elongato-lanceolatis, ad polos subacutis; striis transversis $12\frac{1}{2}$ —15 in 10 μ . — Long. $86\frac{1}{2}$ μ , lat. 13 μ .

Gyöngyös-Pata.

Navicula Rattrayi n. s. tab. 30, fig. 427. — Valvis lanceolato-ellipticis; striis medio 10, ad polos 15 in 10 μ . transversis, ad polos subradianibus,

omnibus subtilissime punctatis. Area nuda dilatata, lyraeformis. — Long. $77\frac{1}{2}$ μ ; lat. 32μ .

Bory.

Navicula robusta n. s. tab. 9, fig. 159. — Valvis elongato-late-lanceolatis, ad polos subeapitatis; striis $10-12\frac{1}{2}$ in 10μ . costatis, validis, radiantibus, polos versus divergentibus. Area nuda dilatata, late-lanceolata, ad medium inflata. — Long. $117\frac{1}{2} \mu$; lat. 36μ .

Gyöngyös-Pata.

Navicula Sandriana Grun. Neue Diatom. Wien Zoolog. bot. Gesell. Tom. XIII. 1863, pg. 153, tab. 13, fig. 5; A. Schm. Atlas tab. 3, fig. 10, tab. 70, fig. 45; O'Meara Irish D. pg. 388, tab. 32, fig. 9; Pant. Fossil. Bac. Ung. I. pg. 28, tab. 9, fig. 82.

Nagy-Kürtös.

Var. **fossilis** n. v. — Probabiliter nova species. — Valvis late-lanceolato-ellipticis; striis 20 in 10μ ., marginalibus subradiantibus, ad raphidem sitis transversis, omnibus nudis nunquam punctatis. — Portio striarum raphidem tangentium polos versus maxime elevata, quasi separata. — Area magna lyraeformis ad striae raphideas striolata; striolae pseudostriatae constituentes. — Rhaphide ad polos elevata, hamulifera. — Long. 131μ ; lat. 5μ .

Bory.

Navicula Schaarschmidii Pant. Foss. Bac. Ung. I, pg. 28, tab. 14, fig. 121.

Nagy-Kürtös.

Navicula sculpta E. Mikrogeolog. tab. 10, 1, fig. 5. Prit. pg. 900; A. Schm. Atlas tab. 44, fig. 46-48; Van H. Syn. tab. 12, fig. 1. — **Navicula rostrata** E. Beiträge 1846, pg. 18; Kg. Bac. pg. 94, tab. 3, fig. 55; Rab. Süsw. D. pg. 37, tab. 6, fig. 52; Prit. pg. 901; M. J. 1861, tab. 1, fig. 14; Grun. Zool. bot. Gesell. 1860, pg. 540; Donk. Brit. Diat. pg. 15, tab. 2, fig. 9; O'Meara Irish. Diat. pg. 359, tab. 31, fig. 8. — **Frustulia sculpta** Rab. Alg. Europ. pg. 227.

Erdőbénye, Felménes, Gyöngyös-Pata, Kavna, et in stratis marinis prope Bory.

Navicula sectilis A. Schm. Atlas tab. 50, fig. 3.

Bory, Bremia.

Var. **boryana** n. v. tab. 8, fig. 152. — Valvis elongatis, ad polos rotundatis, striis 10 in 10μ . transversis, validis, subeostatis, a vitta longitudinali interruptis et sic biseriatis. Area nuda ad centrum ob striae carentes valde dilatata. — Long. 72μ ; lat. 16μ .

Bory, Bremia.

Navicula sejuneta A. Schm. var. **baldjikiana** A. Schm. Atlas tab. 70, fig. 55, 56. — tab. nostra 4, fig. 59. — Long. 24μ ; lat. $6\frac{1}{2} \mu$, striae $12\frac{1}{2}$ in 10μ .

Bremia.

Navicula simbirskiana n. s. tab. 12, fig. 215. — E. grêge N. Yarrensis Grun. —

Valvis elongato-lanceolatis, polis productis subcapitatis; striis 8 in 10 mm., validis, distantibus, costatis, subradiatis; area nuda late-laneeolata. — Long. 48 mm.; lat. 15 mm.

Ananino.

Navicula Smithii Bréb. in W. Sm. Br. D. II, pg. 92, tab. 17, fig. 152, 154*; Donk. Br. D. pg. 6, tab. 1, fig. 4; A. Schm. N.-See D. tab. 1, fig. 19, Atlas tab. 7, fig. 12—14; O'Meara I. c. pg. 382, tab. 32, fig. 8; Grun. Diatom. Franz Josef. L. pg. 4, tab. 1, fig. 40, 41; Van H. Synops. tab. 9, fig. 12; Truan Diat. Astur. pg. 45, tab. 2, fig. 25, 26.

Bory, Bremia, Nagy-Kürtös.

Var. **minor** n. v. — Long. 27 μ ; lat. 26 μ ; striae biserialiter punctatae 9 in 10 μ .

Bory.

Navicula suborbicularis Ralfs in Pritch. Inf. pg. 898; Greg. D. of Clyde pg. 487, tab. 9, fig. 17; Donk. Br. D. pg. 9, tab. 1, fig. 9; Grun. Novara pg. 100, tab. 1, fig. 15; O'Meara I. c. pg. 396, tab. 33, fig. 15, 16; A. Schm. Atlas tab. 1, fig. 3—5; tab. 8, fig. 1, 2—6; N.-See Diatom. tab. 1, fig. 21.

Bory, Bremia.

Navicula Szaboi n. s. tab. 6, fig. 120. — Valvis elongatis, ad polos obtusis roduntatis; striis 12 in 10 μ . transversis, striolatis, area nuda stauroidea. — Long. 123 μ ; lat. 29 μ .

Gyöngyös-Pata.

Navicula Szontághii Pant. Foss. Bac. Ung. I, pg. 29, tab. 3, fig. 25, tab. 28, fig. 234.

Nagy-Kürtös.

Navicula tenella Bréb. var. **fossilis** n. v. tab. 5, fig. 91. — Long. 36 μ ; lat. 8 μ ; striae 11—12 $\frac{1}{2}$ in 10 μ .

Gyöngyös-Pata, Szurdok-Püspöki.

Navicula troglodytes n. s. tab. 11, fig. 184. — Valvis parvulis, polis productis capitatis; striis 17 $\frac{1}{2}$ —20 in 10 μ . radiantibus. — Long. 17 μ ; lat. 5 $\frac{1}{2}$ μ .

Erdőbénye.

Navicula venusta n. s. tab. 5, fig. 81. — Valvis elongatis, ad polos capitatis; striis 21—22 $\frac{1}{2}$ in 10 μ , transversis, a vitta nuda longitudinali interruptis; area nuda sublyraeformi. — Long. 37 μ ; lat. 9 $\frac{1}{2}$ μ .

Bremia.

Navicula Vukotinovičii Pant. Foss. Bac. Ung. I, pg. 29, tab. 1, fig. 7; — tab. nostra 12, fig. 220. — Long. 95 μ ; lat. 28 μ ; striae 12 $\frac{1}{2}$ —15 in 10 μ .

Gyöngyös-Pata.

Navicula Yarrensis Grun. A. Schm. Atlas. tab. 46, fig. 1—5; Pant. Foss. Bac. Ung. I, pg. 30, tab. 2, fig. 20; — tab. nostra 10, fig. 178; tab. 12, fig. 219, tab. 16 fig. 274.

Bory, Bremia, Gyöngyös-Pata, Szokolya, Szücs, Szurdok-Püspöki.

Var. **bituminosa** n. v. tab. 14, fig. 74. — Long. 56—75 μ ; lat. 16—18 $\frac{1}{2}$ μ ; striae 5—8 in 10 μ .

Gyöngyös-Pata, Szokolya, Szücs, Szürdok-Püspöki.

Var. **gracilior** n. v. tab. 21, fig. 323. — *Angustior et gracilior.* — Long. 62 μ ; lat. 46 μ ; striae 6 in 10 μ .

Bory.

Var. **valida** n. v. tab. 12, fig. 212. — *Validior.* — Long. 57 μ ; lat. 20 μ ; striae 7—8 $\frac{1}{2}$ in 10 μ .

Gyöngyös-Pata, Szürdok-Püspöki, Szücs.

ALLOEONEIS SCHUM.

Alloeoneis Castracanei n. s. tab. 23, fig. 344. — Valvis late-lanceolatis subcapitatis; striis 6—7 $\frac{1}{2}$ in 10 μ validis, biserialiter punctatis, ad raphidem et marginem in punctos magnos exentibus. — Area nuda ad medium uniserialiter dilatata. — Long. 65 μ ; lat. 24 $\frac{1}{2}$ μ .

Bory.

Alloeoneis Grunowii n. s. — Valvis elongatis, ad polos rotundatis; lateribus asimetricis, raphide recta, area nuda ad medium inflata; striis 12 in 10 μ , transversis, punctatis. — Long. 107 μ ; lat. 27 μ .

Bory.

BERKELEYA GREV.

Berkeleya hungarica n. s. tab. 9, fig. 165. — Valvis elongatis, ad polos rotundatis. Striis 11 in 10 μ punctatis, transversis. — Long. 114 μ ; lat. 12 $\frac{1}{2}$ μ .

Nagy-Kürtös, Szakál.

SCOLIOPLEURA GRUN.

Scoliopleura szakalensis n. s. tab. 8, fig. 154. — Valvis elongatis, ad polos obtusis; striis validis, costatis, obliquis, punctatis 5 in 10 μ . — Long. 80—100 μ ; lat. 14 $\frac{1}{2}$ μ .

Nagy-Kürtös, Szakál.

PLEUROSIGMA W. SM.

Pleurosigma neogradense n. s. — Valvis elongato-lanceolatis leniter sigmoideo-flexis; striis transversis et arcuato-decussatis, ad medium 12 $\frac{1}{2}$, ad polos 20 in 10 μ , grosse punctatis; punctis 12 $\frac{1}{2}$ —20 in 10 μ ; raphide valida sigmoidea; area centralis nuda circularis. — Long. 114 $\frac{1}{2}$ μ ; lat. 25 μ .

Felső-Esztérgyál, Kékkő, Nagy-Kürtös.

AMPHIPRORA E.

Amphiprora decussata Grun. Arctische Diatom. pg. 63; Van H. Synops. tab. 22, fig. 13.

Czékcházsa, Tályja.

Amphiprora dilatata n. s. tab. 10, fig. 179. — Valvis medio valde

constrictis bilobis, lobis oblongis subrostratis; striis subradianibus 25 in 10 μ .
Long. 139 μ ; lat. loborum 25 μ ; lat. constr. $10\frac{1}{2}$ μ .

Gyöngyös-Pata.

Amphiprora duplex Donk. in M. J. 1858, pg. 29, tab. 3, fig. 13;
Van H. Synops. tab. 22, fig. 15, 16.

Czekeháza, Tálya.

Amphiprora (elegans W. Sm. var.?) **Posewitzii** n. s. tab. 10, fig. 181. — Valvis fusiiformibus, ad medium unilateraliter impressis; polis subacutis; striis transversis arcuatis, punctatis $22\frac{1}{2}$ —25 in 10 μ . — Long. 108 μ , lat. $22\frac{1}{2}$ μ , ad medium $17\frac{1}{2}$ μ .

Brémia.

FAMILIA GOMPHONEMAE.

GOMPHONEMA AG.

Gomphonema intricatum Kg. var. **fossilis** n. v. tab. 11, fig. 201.
— Long. 45 μ ; lat. ad polos superiores $3\frac{1}{2}$ μ , ad polos inferiores $2\frac{1}{2}$ μ ; ad medium $7\frac{1}{2}$ μ ; striae ad medium $7\frac{1}{2}$, ad polos 10— $12\frac{1}{2}$ in 10 μ .

Erdőbénye, Felménés, Kavna.

Gomphonema olivaceum E. var. **fossilis** n. v. tab. 12, fig. 204. — Long. 40 μ ; lat. ad polos 4 μ , ad medium $7\frac{1}{2}$ μ , striae transversae 11— $12\frac{1}{2}$ in 10 μ .

Czekeháza, Gyöngyös-Pata.

Var. **salinarum** n. v. tab. 9, fig. 160; tab. 11, fig. 199; tab. 17, fig. 287. — Long. 38—51 μ ; lat. ad polos $3\frac{1}{2}$ — $4\frac{1}{2}$ μ , ad medium $7\frac{1}{2}$ —8 μ ; striae transversae 10— $12\frac{1}{2}$ in 10 μ .

Czekeháza, Erdőbénye, Gyöngyös-Pata, Szücs, Szurdok-Püspöki.

Var. **staurophora** n. v. tab. 12, fig. 206. — Striis radiantibus ad medium interruptis 11— $12\frac{1}{2}$ in 10 μ , area nuda cruciata. — Long. $36\frac{1}{2}$ μ ; lat. ad polos 4 μ , ad medium $6\frac{1}{2}$ μ .

Gönyyös-Pata.

Gomphonema salsa n. s. tab. 17, fig. 285. — Valvis elongatis, ad medium inflatis, polis rotundatis; striis subradianibus, ad medium abbreviatis 10— $12\frac{1}{2}$ in 10 μ . — Long. $37\frac{1}{2}$ μ ; lat. ad medium 8 μ .

Erdőbénye.

FAMILIA ACHNANTHEAE.

ACHNANTHES BORY.

Achnanthes brevipes Ag. Syst. pg. 1; Ehrbg. Infuss. tab. 7, fig. 11; Amerika tab. I, 3, fig. 13; Mikrogeolog. tab. 6, 2, fig. 25; Kützg. Bac. pg. 17, tab. 20, fig. 7; Rabenh. S. D. pg. 26, tab. 8, fig. 4; Pritch. Inf.

pg. 873, tab. 10, fig. 199—202; W. Sm. Br. Diatom. II, pg. 27, tab. 27, fig. 301; Van H. Synops. tab. 26, fig. 10—12; Truan D. Astur. pg. 56, tab. 4, fig. 16—18.

Bory, Bremia, Nagy-Kürtös

Var. **contracta** Grun. in Cleve Grun. Aret. D. pg. 19; Paut. Foss. Bae. Ung. I, tab. 11, fig. 99.

Bory, Bremia.

Achnanthes danica Grun. in Cleve Grun. Aret. Diatom. pg. 21, — **Cocconeis danica** Flögel Ostsee Diatom. pg. 91, fig. 14, — tab. nostra 4, fig. 66.

Bremia.

Achnanthes (subsessilis E. var.?) **Lóczyi** n. s. tab. 12, fig. 247, — **Valvis angustis elongatis, polis rotundatis; striis 8—11 in 10 μ. transversis, grosse punctatis.** — Long. 45—133 μ.; lat. 3½—8 μ.

Bory, Bremia.

FAMILIA COCCONEIDEAE.

ORTHONEIS GRUN.

Orthoneis notata n. s. tab. 27, fig. 392; — **Valvis ellipticis, ad marginem loculamentis 6 nostatis; striis subradiantibus punctatis 15 in 10 μ.** — Long. 30½ μ.; lat. 20½ μ. — An Mastogloia?

Bory.

Orthoneis splendida Grun. Novara pg. 15; Van H. Synops. pg. 145, tab. 28, fig. 1, 2; Truan Diatom. Astur. pg. 57, tab. 4, fig. 20; — **Cocconeis splendida** Greg. Diatom of Clyde pg. 493, tab. 9, fig. 29, — tab. nostra 24, fig. 352.

Bory, Bremia, Nagy-Kürtös.

COCCONEIS E.

Cocconeis andesitica n. s. — **Valvis late-ellipticis, ad polos rotundatis, late-marginatis; striis 11 in 10 μ. grosse punctatis, punctis lineas longitudinales tortuosas constituentes; area nuda lata suberecta.** — Long. 37½ μ.; lat. 30½ μ.

Bory.

Cocconeis biharensis n. s. tab. 5, fig. 90, 94; — **Valvis ellipticis, polis rotundatis; striis marginalibus, validis costatis subradiantibus, in valva superiori 11—12½ in 10 μ., in valv. inf. 8—12½ in 10 μ.; striis ad rapidoem sitis transversis 12½ in 10 μ.** — **Area nuda suberecta.** — Long. 23—26 μ.; lat. 13—16 μ.

Bory.

Var. **minor** n. v. tab. 4, fig. 75, 76; — **Valvis late-ellipticis, polis**

rotundatis, striis validis in valva inferiori (fig. 76.) usque ad raphidem pereurrentibus subradianibus 11 in 10 μ ., in valva superiori abreviatis marginalibus 11 in 10 μ ., hic area nuda valde dilatata. — Long. 16 μ ; lat. 8 μ .

Bremia.

Cocconeis californica Grun. in Van H. Synops. tab. 30, fig. 8—10. — tab. nostra 26, fig. 382. — Long. 13 μ ; lat. 8 μ ; striæ 20 in 10 μ .

Abauj-Szántó, Aranyos, Czekeháza, Csípkés, Erdőbénye, Felménes, Kavna, Tálya.

Var. **menilitica** n. v. tab. 4, fig. 71; tab. 7, fig. 123. — Subtilior striata, striis punctatis 28 in 10 μ . — Longitudo valvae ellipticæ marginatae 14 μ ; lat. 8 μ .

Gyöngyös-Pata, Szücs, Szurdok-Püspöki.

Cocconeis cruciata Pant. Foss. Bac. Ung. I, pg. 31, tab. 16, fig. 148. *Nagy-Kürtös.*

Cocconeis Grunowii n. s. tab. 25, fig. 364. — Valvis late-ellipticis, marginatis, corona guttarum marginalium cinctis, striis $11\frac{1}{2}$ in 10 μ ., debilibus arcuato radiantibus. — Long. $22\frac{1}{2}$ μ ; lat. 17 μ ; lat. marginis 1 μ .

Bory.

Cocconeis neogradensis Pant. Foss. Bac. Ung. I, pg. 31, tab. 13, fig. 111. *Nagy-Kürtös.*

Cocconeis Pediculus E. Infus. tab. 21, fig. 11; Mikrogeol. tab. 34, 12 B, fig. 1 etc.; Kg. Bac. tab. 5, fig. 9; Ann. et Mag. of. Nat. Hist. 1856, tab. 11, fig. 1—12; W. Sm. Brit. D. I, tab. 3, fig. 53; Ráb. S. D. pg. 27, tab. 3, fig. 1; Mieros. Die. tab. 12, fig. 17.; Brun D. Alp. pg. 31, tab. 3, fig. 22; Van H. Synops. tab. 30, fig. 28—30; Truan Diat. Astur. tab. 4, fig. 25. — tab. nostra 4, fig. 65.

Abauj-Szántó, Aranyos, Czekeháza, Csípkés, Erdőbénye, Felménes, Gyöngyös-Pata, Kavna, Szokolya, Szücs, Szurdok-Püspöki, Tálya.

Var. **salinarum** n. v. tab. 27, fig. 393. — Subtilior striata, striis 25 in 10 μ . — Long. $21\frac{1}{2}$ μ ; lat. $12\frac{1}{2}$ μ .

Abauj-Szántó.

Cocconeis pellucida Grun. Novara pg. 12; Hantzsch Diat. Ostindien pg. 21, tab. 6, fig. 11. *Nagy-Kürtös.*

Cocconeis perpusilla n. s. tab. 4, fig. 73. — Valvis lanceolato-ellipticis, striis $17\frac{1}{2}$ in 10 μ . subradianibus punctatis, ad medium interruptis; area nuda cruciformis. — Long. $15\frac{1}{2}$ μ ; lat. 8 μ .

Bremia.

Cocconeis praecellens Pant. Foss. Bac. Ung. I, pg. 31, tab. 8, fig. 69. *Nagy-Kürtös.*

Cocconeis pseudomarginata Greg. Diat. of. Clyde pg. 492, tab. 9,

fig. 27; Janisch et Rab. Honduras pg. 7, tab. 4; fig. 16; Van H. Synops. tab. 29, fig. 20, 21.

Nagy-Kürtös.

Cocconeis Raeana n. s. tab. 24, fig. 354. — Valvis late-ellipticis, late-marginatis, polis rotundatis; striis 10 in 10 μ . areuatis, ad marginem validis, caeterum grosse punctatis, punctis 5 in 10 μ . validis obliquis, lineas longitudinales tortuosas constituentes. Area nuda elongata. — Long. 48 μ ; lat. 36 μ ; lat. marginis 2 μ .

Bory.

Cocconeis Scutellum Ehrbg. Inf. pg. 194 tab. 14, fig. 8; Amerika tab. I, 1, fig. 11, etc.; Mikrogeol. tab. 19, fig. 33; Nordpol tab. 3, fig. 4; Kütz. Bac. pg. 73, tab. 5, fig. 6, 3—6; Rabenh. S. D. pg. 27, tab. 3, fig. 4; W. Sm. Br. D. I. pg. 22, tab. 3, fig. 34; Pritch. Inf. pg. 869, tab. 9, fig. 62; Janisch et Rab. Honduras tab. 4, fig. 3; Van H. Synops. tab. 30, fig. 1.

Bory, Bremia.

Var. **baldjikiana** Grun. in Botan. Centralblatt 1888, pg. 324. — *Cocconeis baldjikiana* Grun. in Van H. Types. Ser. 22, nr. 546.

Bory, Bremia.

Var. **fossilis** n. v. — Valvis late-ellipticis ad polos rotundatis, late marginatis; striis $7\frac{1}{2}$ —9 in 10 μ ., areuatis ad marginem validioribus, caeterum grosse punctatis, punctis compressis 6 in 10 μ . papillosis, in lineas longitudinales rectas dispositis. — Area nuda angusta, elongata. — Long. $49\frac{1}{2}$ μ ; lat. 29 μ .

Bory, Bremia.

Cocconeis sigma Paňt. Foss. Bac. Ung. I, pg. 32, tab. 8, fig. 68.

Nagy-Kürtös.

PSEUDORAPHIDIEAE.

FAMILIA FRAGILARIEAE.

EPITHÉMIA BRÉB.

Epithémia erucaeformis n. s. tab. 6, fig. 118; tab. 8, fig. 142, tab. 13, fig. 234. — Himantidium Arcus Neupauer (nec. Kg.) Ásátag Djat. tab. 1, fig. 1. — Valvis productis areuatis, dorso inflexis; polis obtusis crassis; costis validis 3—9 in 10 μ , a vitta lata areuata interruptis; striis subtilissimis, inconspicue punctatis $17\frac{1}{2}$ in 10 μ . — Long. 38—68 μ ; lat. 8— $9\frac{1}{2}$ μ .

Abauj-Szántó, Csekeháza, Csíkés, Erdőbénye, Felménes, Gyöngyös-Pata, Szokolya, Szurdok-Püspöki, Tályai.

Var. **subcapitata** n. v. tab. 15; fig. 259. — Valvis validis, polis pro-

duetis subcapitatis; ad dorsum linea atra arcuata notatis; costis validis et striis, vitta lata nuda arcuata interruptis.

Szücs.

Epithemia Debyi n. s. tab. 8, fig. 151. — E. maximis. Frustulis productis subellipticis, ad polos truncatis; membrana connectiva lineis 9 longitudinalibus punctatis ornata; valvis arcuatis, ad summum dorsum leuiter constrictis quasi erosis, ad ventrem subplanis, punctatis; margine dorsali striolato; costis 5 in 10 μ ., alternantim longioribus usque ad dorsum percurrentibus et brevioribus; striis 12 $\frac{1}{2}$ in 10 μ ; polis subcapitatis. — Long. 106 μ ; lat. frustulae 24 μ ; valvae 8 $\frac{1}{2}$ μ .

Gyöngyös-Pata.

Epithemia gibba (E.) Kg. var. **boryana** n. v. — Recedit a specie spaciis intercostalibus nudis nunquam stiatatis. — Long. 170 μ ; altit. valvae 8 μ ; costae 8—10 in 10 μ .

Bory.

Epithemia gibberula Kg. Bae. pg. 35, tab. 30, fig. 3; Grun. Oester. Diatoin. 1862, pg. 330, tab. (6) III, fig. 9 a, b; Schum. Preus. Diat. 1862, tab. 1, fig. 1; Van H. Synops. tab. 32, fig. 11—13.

Bory, Bremia.

Var. **perlonga** n. v. — Valvis 125 μ . longis, 12 μ . altis, arcuatis; pseudoraphide arcuata, ad dorsum impressa; striis transversis punctatis 14—16 in 10 μ ; costis 5—6 in 10 μ .

Bory.

Var. **protracta** Grun. in Van H. Types Series XXII. Nr. 545; Botan. Centralblatt 1888, pg. 324; — Paut. Foss. Bae. Ung. I, pg. 32, tab. 10, fig. 86.

Bory, Bremia.

Epithemia inflexa n. s. tab. 7, fig. 125. — Valvis arcuatis, ad summum dorsum sinuato: excisis, ad ventrem planis; polis productis, capitatis; costis validis longioribus, ad dorsum percurrentibus et brevioribus 5 in 10 μ ; striis 15 in 10 μ . ad dorsum vitta atra arcuata interruptis; margine striolato. — Long. 52 μ ; lat. 10 μ .

Gyöngyös-Pata.

Epithemia multicostata n. s. tab. 7, fig. 135. — E. Debyi similis, a qua recedit structura minore, dorso arcuato nunquam constricto et membrana connectiva tantum tribus lineis longitudinalibus ornata. — Long. 68 μ ; lat. frustulae 27 $\frac{1}{2}$ μ ; valvae 7 μ ; costae 6 et striae 12 $\frac{1}{2}$ in 10 μ .

Gyöngyös-Pata.

Epithemia Pethöi n. s. — Valvis productis ad summum dorsum constrictis; membrana connectiva biseriater punctata; costis arcuato confluentibus 4—6 in 10 μ ; striis transversis punctatis 14 in 10 μ . — Long. fragm. 114 μ ; lat. 16 μ ; ad constrictiōnem 13 μ .

Bory.

Epithemia salina n. s. tab. 7, fig. 131. — Valvis terassis, areuatis ad ventrem subplanis; polis rotundatis; costis validis $7\frac{1}{2}$ in 10 μ . ad marginem uniseraliter punctatis; vitta lata nuda, areuata, inflexa, interruptis. — Long. 47 μ ; lat. $13\frac{1}{2}$ μ .

Gyöngyös-Pata, Szüesi, Szurdok-Püspöki.

Var. **nuda** n. v. tab. 6, fig. 117. — Recedit a specie costis nudis nunquam punctatis. — Long. $27\frac{1}{2}$ μ ; lat. $9\frac{1}{2}$ μ .

Gyöngyös-Pata.

Epithemia subsalsa n. s. tab. 15, fig. 260. — Valvis areuatis, ad ventrem concavis, polis rotundatis; costis validis $3\frac{1}{2}$ in 10 μ . brevioribus, nunquam ad dorsum pereurrentibus, areuato-conjunetis; striis 15 in 10 μ . subradianibus punctatis; vitta mediana nuda, areuata. — Long. 44 μ ; lat. 9 μ .

Abauj-Szántó, Aranyos, Czekeháza, Csíkés, Erdőbénye, Felménes, Kavna, Szokolya, Túlya.

Var. **validior** tab. 13, fig. 230. — Validior quam species. — Costis abbreviatis nunquam conjunetis $3\frac{1}{2}$ —4 in 10 μ ; striis punctatis 15 in 10 μ . — Long. 50 μ ; lat. 10 μ .

Erdőbénye.

Epithemia succinata Bréb. — J. Q. G. 1870, pg. 42; tab. 1, fig. 7; Van H. Synops. tab. 32, fig. 16—18.

Túlya.

Epithemia vittata n. s. tab. 8, fig. 144. — Similis *E. salinae* aqua recedit: polis productis leniter constrictis, capitatis. — Long. 40 μ ; lat. 11 μ ; costae $7\frac{1}{2}$ in 10 μ .

Gyöngyös-Pata.

HIMANTIDIUM: E.

Himantidium boryanum n. s. — Frustulis in fascias breves coniunctis, a latere primario visis rectangulis, angulis obtusis; membrana connectiva striolata, striae punctatae 25 in 10 μ . et plicis tribus distinctae; valvis striolatis, striae parallelae $17\frac{1}{2}$ in 10 μ . — Long. $111\frac{1}{2}$ μ ; lat. frustulae a latere primario visae $17\frac{1}{2}$ μ .

Bory.

PLAGIOPRAGMMA GREV.

Plagiogramma biharense Pant. Foss. Bat. Ung. I, pg. 32; tab. 21, fig. 188, tab. 30, fig. 319—320.

Bory, Bremia.

Plagiogramma? boryanum n. s. — Probabiliter novum genus, cum valvis oblongis ad medium leniter inflatis et costis 5—6 in 10 μ . transversis perviis instructis. Spacium intercostale haut visible transverse striolatum. Spacium medianum, transversum nudum, ad polos rotundatos spacium nudum. Linea media inconspicua. — Long. 40 μ ; lat. 9.

Bory.

Plagiogramma neogradense Pant. Foss. Bac. Ung. I, pg. 33, tab. 8, fig. 63, 71, tab. 28, fig. 285.

Nagy-Kürtös.

Plagiogramma salinarium n. s. tab. 6, fig. 119, tab. 15, fig. 267.

— Frustulis concatenatis, a latere primario visis rectangulis; membrana connectiva nuda biplicata, angulis obtusis, polis undulatis, lateribus striolatis, striis punctatis 16—17 $\frac{1}{2}$ in 10 μ . medio interruptis. — Valvis oblongo-lanceolatis, medio spacio nudo transverso magno notatis; striis transversis subarcuatis punctatis 16—17 $\frac{1}{2}$ in 10 μ . punctis 15 in 10 μ . in lineas longitudinales rectas dispositis. — Long. 27 $\frac{1}{2}$ —29 μ .; lat. frustulae a latere primario visae 14 μ .; lat. valvae 10 $\frac{1}{2}$ μ .

Bory, Bremia.

Plagiogramma Truanii n. s. — Frustulis concatenatis, a latere primario visis rectangulis, membrana connectiva nuda biplicata, angulis obtusis, polis undulatis, lateribus striolatis, striis 15 in 10 μ . punctatis, medio interruptis, hic nodulis duabus signatis; valvis elongato-lanceolatis, ad polos obtusis rotundatis, spacio nudo magno notatis, striolatis; striis transversis arcuatis 15 in 10 μ . punctatis, punctis in lineas rectas longitudinales ordinatis; spaciū medianum nudum, magnum transversum, 6 $\frac{1}{2}$ μ . latum, quasi ocello dilatato ornatum. Linea mediana inconspicua. — Long. 71 $\frac{1}{2}$ μ .; lat. frustulae a latere secundario visae 20 μ .; lat. valvae 10 $\frac{1}{2}$ μ .

Bory.

DIMEREGRAMMA RALFS.

Dimeregramma boryanum n. s. — Frustulis concatenatis, a latere primario visis rectangulis, membrana connectiva nuda biplicata, angulis obtusis, polis quasi trigibbis; lateribus ad polos constrictis, striolatis; striis 15 in 10 μ . punctatis. — Valvis angustis elongatis, linearibus, ad polos obtusis, striolatis; striis transversis punctatis 15 in 10 μ . — Long. 45 μ .; lat. frustulae a latere secundario visae 8 μ .

Bory.

Dimeregramma fossile Grun. in Cleve et Möller Typ. 215, 216. — Pant. Foss. Bac. Ung. I, pg. 33, tab. 8, fig. 67, tab. 27, fig. 265.

Nagy-Kürtös.

RHAPHONEIS SE.

Rhaphoneis angustata Pant. Foss. Bac. I, pg. 33, tab. 11, fig. 97, tab. 30, fig. 313.

Nagy-Kürtös.

Rhaphoneis boryana n. s. tab. 28, fig. 400. — Valvis inflatis, ventricosis, ad polos subcapitatis; striis arcuatis subradiantibus punctatis 10 in 10 μ . Area nuda mediana elongata, linearis. — Long. 24 μ .; lat. 16 μ .

Bory.

Raphoneis Debyi Pant. Foss. Bac. Ung. I, pg. 34, tab. 8, fig. 70.
Nagy-Kürtös.

Raphoneis Fuchsii n. s. tab. 17, fig. 284. — Valvis lineare-elongato-lanceolatis, ad polos obtusis; striis 7—10 in 10 mm. moniliformibus, polos versus saepe tantum ad marginem uniserialiter punctis validis notatis. Area nuda mediana angustissime elongata. — Long. 155 mm.; lat. 10 mm.; versus polos $3\frac{1}{2}$ mm.

Ananino.

Raphoneis gemmifera E. Berl. 1844, pg. 87; T. M. S. 1854, tab. 6, fig. 7; Van H. Synops. tab. 36, fig. 31; Pant. Foss. Bac. Ung. I, pg. 34, tab. 12, fig. 104.

Bremia, Nagy-Kürtös.

Var. **biharensis** n. s. tab. 17, fig. 281. — Valvis latè-lanceolatis, polis parum productis, obtusis; striis transversis subarcuatis $7\frac{1}{2}$ in 10 μ . grosse punctatis, punctis $7\frac{1}{2}$ — $8\frac{1}{2}$ in 10 μ . Area mediana nuda elongata, linearis. — Lóng. 48 μ ; lat. $27\frac{1}{2}$ μ .

Bremia.

Var. **elegans** Grün. et Pant. Foss. Bac. Ung. I, pg. 34, tab. 2, fig. 21; tab. 20, fig. 179, tab. 27, fig. 264, tab. 30, fig. 317.

Nagy-Kürtös.

Var. **neogradensis** Grun. et Pant. in Foss. Bac. Ung. I, pg. 34, tab. 12, fig. 101.

Nagy-Kürtös.

Var. **parcepunctata** Grun. et Pant. in Foss. Bac. Ung. I, pg. 34, tab. 18, fig. 163, tab. 27, fig. 270.

Nagy-Kürtös.

Var. **subtilior** n. s. tab. 22, fig. 337. — Valvis elongato-lanceolatis, polis obtusis crassis; striis 9 in 10 μ . transversis punctatis, punctis 9 in 10 μ . in lineas rectas longitudinales ordinatis. — Area mediana nuda linearis angustissima.

Bremia.

Raphoneis hungarica Pant. Foss. Bac. Ung. I, pg. 34, tab. 3, fig. 30, tab. 25, fig. 225.

Nagy-Kürtös.

Raphoneis? Lorenziana Grun. Oester. Diat. 1862, pg. (381.) 67, tab. IV, (7.), fig. 5. — Rh. fluminensis Grun. I. c. pg. (471) 157, in explicazione tabularum ad tab. IV, (7.), fig. 5, et Van. H. Synops. tab. 36, fig. 34. — tab. nostra 28, fig. 401.

Bory.

Raphoneis moravica Grun. in Pant. Foss. Bac. Ung. I, pg. 34, tab. 30, fig. 322, pro variet. *Raphoneis gemmiferae*.

Nagy-Kürtös.

Raphoneis rhombus E. Mikrog. tab. 18, fig. 84 etc.; Grun. Oest.

Diat. 1862, pg. (381) 67, tab. IV, (7.), fig. 36; Van H. Synops. tab. 36, fig. 20, 21.

Nagy-Kürtös.

Raphoneis simbirskiana Grun. et Pant. in Foss. Bac. Ung. I, pg. 36, tab. 18, fig. 162. *Ananino.*

SYNEDRA E.

Synedra baculus Greg. T. M. S. 1857, pg. 81, tab. 1, fig. 54. O'Meara Irish. Diat. pg. 298, tab. 28, fig. 8; Van H. Synops. tab. 42, fig. 9. (*Ardisonia*.)

Nagy-Kürtös.

Synedra (affinis Kg. var?) *biharensis* n. s. tab. 17, fig. 288. — Valvis linearibus elongatis ad polos obtusis; striis 14—16 in 10 μ . marginalibus, transversis; area nuda elongata sat dilatata. — Long. 136 μ ; lat. 6 μ .

Bremia.

Synedra (parva Kg. var?) *bremiana* n. s. tab. 5, fig. 84. — Valvis elongatis, lanceolatis, polis inflatis rotundatis; striis 15 in 10 μ . marginalibus punctatis, transversis. — Long. 17 μ , lat. 4 μ .

Bremia.

Synedra crystallina Kg. Bac. pg. 69, tab. 16, fig. 1; W. Sm. Br. Diat. I, pg. 74, tab. 12, fig. 101; Van H. Synops. tab. 42, fig. 10.

Bory, Nagy-Kürtös.

Var. *fossilis* n. s. tab. 28, fig. 402. — Valvis elongatis marginatis, polis rotundatis crassis; striis transversis validis punctatis, 10 in 10 μ , ad polos arcuata radiantibus, area mediana elongata, punctata. — Long. 560 μ ; lat. 14 $\frac{1}{2}$ μ ; lat. marginis 14 $\frac{1}{2}$ μ .

Bory.

Synedra Demerarae Grun. in Van H. Synops. tab. 41, fig. 29. — tab. nostra 26, fig. 383, 386.

Czekeháza, Erdőbénye, Felménes, Kávna, Tálva.

Synedra fasciculata Kg. var *obtusa* n. v. tab. 26, fig. 377, 380. — Long. 100—160 μ , lat. 3—4 μ , ad polos obtusos 1 $\frac{1}{2}$ —2 μ ; striae transversae 15—17 $\frac{1}{2}$ in 10 μ .

Czekeháza, Erdőbénye, Felménes, Kávna.

Synedra laevissima Grun. var? *fossilis* Grun. Beiträge 1882, pg. 147, tab. 29, fig. 14.

Abauj-Szántó, Aranyos, Czekeháza, Csípkés, Erdőbénye, Felménes, Kávna, Tálva.

Synedra (*Thalassionema*) *nitzschioides* Grun. var. *acuminata* Grun. in Pant. Foss. Bac. Ung. I, pg. 36, tab. 26, fig. 246.

Nagy-Kürtös

Var. *obtusa* Grun. in Van H. Synops. tab. 43, fig. 6; Pant. Foss. Bac. Ung. I, pg. 36, tab. 13, fig. 117.

Nagy-Kürtös.

Synedra salinarum n. s. tab. 26, figs. 376, 379. — Valvis linearibus, angustis, ad polos rotundatis; striis 15—17½ in 10 μ. marginalibus, transversis, abreviatis. — Long. 57—82 μ., lat. 4 μ.

Abanj-Szántó, Aranyos, Czekeháza, Csípkés, Erdőbénye, Felménes, Gyöngyös-Pata, Kávna, Szokolya, Szücs, Szurdok-Püspöki, Tályá.

Synedra tenella Grun. var. **brevis** Grun. Beiträge 1882, pg. 147, tab. 29, fig. 13.

Aranyos, Czekeháza, Felménes, Kávna, Tályá.

CLAVICULA PANT.

Clavicula delicatula Pant. Foss. Bac. Ung. I, pg. 37, tab. 9, fig. 75, tab. 26, fig. 233 a, tab. 28, fig. 287. — Pro varietate Clav. polymorphae.

Nagy-Kürtös.

Clavicula polymorpha Grun. et Pant. var. **amphylepta** Grun. l. c. pg. 37, tab. 26, fig. 234.

Nagy-Kürtös.

Var. **aspicephala** Pant. l. c. pg. 37, tab. 2, fig. 15, 15. a.

Nagy-Kürtös.

Var. **pachycephala** Grun. l. c. pg. 37, tab. 26, fig. 233.

Nagy-Kürtös.

Var. **tumida** Pant. l. c. pg. 37, tab. 2, fig. 12, tab. 28, fig. 281.

Nagy-Kürtös.

FRAGILARIA LYNGBYE.

Fragilaria bituminosa n. s. — Frustulae concatenatae; lateribus planis, ad marginem grosse punctatis, ad polos obtusis; valvis oblongis, ad polos rotundatis, ad marginem cum serie punctorum oblongorum notatis. Longitudo et latitudo frustularum varians.

Abanj-Szántó, Aranyos, Czekeháza, Csípkés, Erdőbénye, Felménes, Gyöngyös-Pata, Kávna, Szokolya, Szücs, Szurdok-Püspöki, Tályá,

Discernende sequentes varietates:

Var. **curta** tab. 13, fig. 228. — Frustula a latere secundario visa subquadrigona. — Altitudo 7½ μ.; latit. 6½ μ.; punctis 10 in 10 μ.

Abanj-Szántó, Aranyos, Czekeháza, Gyöngyös-Pata, Szücs, Szurdok-Püspöki.

Var. **elongata** tab. 13, fig. 231, 233, 236. — Frustula a latere secundario visa elongata, ad polos obtusa; valvis oblongis. — Long. 20—35 μ.; lat. 4½—7½ μ.; punctis marginalibus 6½—7½ in 10 μ.

Czekeháza, Gyöngyös-Pata, Szücs, Szurdok-Püspöki.

Var. **minor** tab. 7, fig. 129. — Long. 20 μ.; lat. 5½ μ.; punctis marginalibus 7½—8½ in 10 μ.

Abanj-Szántó, Aranyos, Czekeháza, Csípkés, Erdőbénye, Felménes, Gyöngyös-Pata, Kávna, Szokolya, Szücs, Szurdok-Püspöki, Tályá.

Var. **perlonga** tab. 10, fig. 171. — Probabiliter forma regenerationalis perlonga. — Long. 61½ μ.; lat. 6½ μ.; punctis 7½ in 10 μ.

Gyöngyös-Pata.

Var. **validior** tab. 15, fig. 264, 265. — Altitudo frustulae $26\frac{1}{2}$ $\mu.$; lat. $8-10\frac{1}{2}$ $\mu.$; punctis $7\frac{1}{2}-8$ in 10 $\mu.$

Czekeháza, Gyöngyös-Pata, Szücs, Szurdok-Püspöki.

Fragilaria brevistriata Grun. var. **fossilis** n. v. tab. 7, fig. 127, tab. 13, fig. 224, tab. 15, fig. 262. — *Valvis lanceolatis, ad marginem brevistriatis; striis $12-15\frac{1}{2}$ in 10 $\mu.$* — Long. $12\frac{1}{2}-19$ $\mu.$; lat. $4-6\frac{1}{2}$ $\mu.$

Abauj-Szántó, Aranyos, Czekeháza, Erdőbénye, Felménes, Gyöngyös-Pata, Kávna, Szokolya, Szücs, Szurdok-Püspöki, Tálya.

Fragilaria microcephala n. s. tab. 13, fig. 222. — *Achnanthidium microcephalum* Neupauer (nec. Kg) Ásatag Diat. tab. 2, fig. 34. — *Valvis nudis nunquam striatis, elongatis, medio inflatis, ad polos constrictis, capitatis.* — Long. $15\frac{1}{2}$ $\mu.$; lat. $3\frac{1}{2}$ $\mu.$

Szurdok-Püspöki.

Fragilaria (lapponica Grun. var.?) minutia n. s. tab. 4, fig. 60. — *Valvis lanceolatis, polis obtusis, punctis marginalibus validis 10 in 10 $\mu.$* — Long. $8\frac{1}{2}$ $\mu.$; lat. $4\frac{1}{2}$ $\mu.$

Czekeháza, Gyöngyös-Pata, Szücs, Szurdok-Püspöki.

Fragilaria pinnata E.? Microgeol. tab. 39 II, fig. 57—58. — tab. nostra 13, fig. 238. — *Frustulis concatenatis, a latere secundario visis elongatis, ad polos obtusis; lateribus striolatis; striis $12\frac{1}{2}$ in 10 $\mu.$* — Long. 37 $\mu.$; lat. $6\frac{1}{2}$ $\mu.$

Erdőbénye, Felménes, Kávna.

STAUROSIRA E.

Staurosira Kavnensis n. s. tab. 11, fig. 200. — *Valvis lanceolatis; striis 15 in 10 $\mu.$ marginalibus.* — Long. $12-13$ $\mu.$; lat. 4 $\mu.$

Felménes, Kávna, et in stratis marinis vallis Bremia.

Staurosira (brevistriata Grun. var.) mormonorum Grun. in Van H. Synop. tab. 45, fig. 31. — Beiträge 1882, pg. 147.

Abauj-Szántó, Aranyos, Czekeháza, Erdőbénye, Felménes, Gyöngyös-Pata, Kávna, Szokolya, Szücs, Szurdok-Püspöki, Tálya.

Staurosira venter (E.) Grun. var. **fossilis** n. v. — tab. 4, fig. 62. — *Valvis lanceolato-ovatis, polis obtusis; striis $17\frac{1}{2}$ in 10 $\mu.$, transversis subtilissime punctatis.*

Abauj-Szántó, Aranyos, Czekeháza, Erdőbénye, Felménes, Gyöngyös-Pata, Kávna, Szokolya, Szücs, Szurdok-Püspöki, Tálya.

CYMATOSIRA GRUN.

Cymatosira? biharensis n. s. tab. 3, fig. 41, 42. — *Valvis lanceolatis, ad marginem serie spinularum cinctis, caeterum punctis disseminatis vel in lineas obliquas ordinatis 6 in 10 $\mu.$ ornata; polis productis subacutis.* — Long. $26-39\frac{1}{2}$ $\mu.$; lat. $8-11\frac{1}{2}$ $\mu.$

Bremia.

FAMILIA TABELLARIEAE.

CLIMACOSPHENIA EHRBG.

Climacosphenia moniligera Ehrbg. Amerika tab. II, 6, fig. 1; Kütz. Bac. tab. 29, fig. 80; Pritch. Inf. pg. 772, tab. 11, fig. 45, 46; Janisch et Rab. Honduras pg. 6, tab. 2, fig. 1; Grun. Zoolog. bot. Gesell. 1863, pg. 139, tab. 14, fig. 17.

Bory.

Var. **hungarica** n. v. tab. 30, fig. 426. — Tantum fragmenta usque ad 70 μ , longas vidi. — Recedit a specie valvis elongatis, angustis, 8—16 μ . latis; striis transversis 16—18 in 10 μ ; aperturis ovalibus spiraliter conjunctis.

Bory.

ENTOPYLA EHRBG.

Entopyla australis Ehrbg. Berl. Monatsb. 1848, pg. 8. Abhandl. 1841, tab. I, 1, fig. 9 b.; Janisch Guano pg. 6 (II), tab. I. B., fig. 8, 14, 16—20; Eupleuria incurvata Walker Arnott Mik. Jour. VI. pg. 90; Gephyra incurvata Walker Arnott M. J. 1860, pg. 20; Pritch. Infus. pg. 809; tab. 4, fig. 49; Achnanthes costata Johnston M. J. VIII, pg. 20, tab. 1, fig. 14, (secund. Janisch Guano).

Nagy-Kürtös.

Entopyla hungarica n. s. tab. 4, fig. 58. — Valvis elongatis, arcuatis, leniter repandis, ad polos lanceolate-inflatis, polis obtusis; striis validis 2 in 10 μ , subtilissime decussate-punctatis; punctis 24 in 10 μ . — Area nuda linearis angusta, ad polos maxime ovato dilatata. — Long. 185 μ ; lat. ad medium 21 μ , ad polos 31 μ ; margo 2 $\frac{1}{2}$ μ . latus.

Nagy-Kürtös, Szakal.

Entopyla Rinnboeckii n. s., tab. 20, fig. 312. — Valvis elongatis arcuatis, nunquam repandis, polis rotundatis; striis validis 7 $\frac{1}{2}$ in 10 μ . marginalibus, quasi squamosis, biserialiter punctatis; punctis 15 in 10 μ . in lineas transversas usque ad aream nudam linearem angustam longitudinalem percurrentes ordinatis. — Long. 327 μ ; lat. 22 $\frac{1}{2}$ μ .

Bory, Bremia.

GRAMMATOPHORA E.

Grammatophora (stricta E. var?) **biharensis** Pant. Foss. Bac. Ung. I, pg. 39, tab. 30, fig. 307—309.

Bory, Bremia.

Grammatophora hungarica n. s. tab. 4, fig. 63, tab. 9, fig. 168, tab. 15, fig. 261. — Valvis linearibus validis, medio leniter dilatatis, dissepimentis lageniforme inflatis; dissepimentis a latere visis aduncis; striis transversis 28—30 in μ , punctatis; punctis in lineas decussatas ordinatis. — Long. 16—25 μ ; lat. valvae 7 $\frac{1}{2}$ μ , lateris 16—19 μ .

Bremia.

Grammatophora insignis Grun. in Van H. Types Nr. 545—546, Bot. Centralblatt 1888, tom. XXXIII, pg. 324.

Bory.

Var. **doljensis** Grun. in Pant. Foss. Bae. Ung. I, pg. 38, tab. 26, fig. 238 *a, b.*

Bory.

Grammatophora maxima Grun. Oester. Diat. 1862, pg. 102 (416), tab. V. (8.), fig. 5; Van. H. Synops. tab. 53bis, fig. 12—13; Truan Diat. Astur. pg. 68, tab. 6, fig. 11.

Bory, Bremia, Nagy-Kürtös.

Grammatophora oceanica E. Mikrogeo. tab. 18, fig. 87. etc.; Pant. Foss. Bae. Ung. I, pg. 38, tab. 17, fig. 155.

Bory, Bremia.

Grammatophora robusta Dippel Probeobjekte tab. 3, fig. 9—13; Pant. Foss. Bae. Ung. I, pg. 39, tab. 30, fig. 312, 315, 316.

Nagy-Kürtös.

Var. **gracilis** n. v. tab. 21, fig. 320, 322. — Valvis elongatis, ad polos rotundatis; dissepimentis a latere visis undulatis; striis 27—28 in 10 μ . transversis, punctatis; punctis in lineas decussatas ordinatis. — Long. 72—78 μ ; lat. valvae 6 μ , lateris 16—17 μ .

Bremia.

SALACIA NOV. GEN.

Frustula a latere visa rectangula, eum angulis obtusis, valde elevata convexa, tabulata, in fascias compressas conjuncta, cum dissepimentis abbreviatis transversis, longioribus perpendicularibus inflatis et lineis perpendicularibus striolatis. — Valva elliptice-lanceolata, cum dissepimentis transversis, ad polos cum spacio hyalino nudo; spacium interseptale striolatum.

Salacia boryana n. s. tab. 23, fig. 341. — Long. valvae $70\frac{1}{2}$ μ ; lat. $35\frac{1}{2}$ μ ; dissepimentis 2 in 10 μ . — Area nuda elongata lanceolata. — Long. frustulae $55\frac{1}{2}$ μ ; lat. 39 μ ; dissepimentis marginalibus, transversis abbreviatis 2 in 10 μ , longitudinalibus 2 in 10 μ ; lineis perpendicularibus striolatis 3 in 10 μ .

Bory.

RHABDONEMA KG.

Rhabdonema adriaticum Kg. Bae. pg. 126, tab. 18, fig. 7; Pritch. Inf. pg. 805, tab. 13, fig. 27; W. Sm. Br. D. II, pg. 35, tab. 38, fig. 305; Janisch. et Rab. Hond. pg. 11, tab. 3, fig. 20; Van H. Synops. tab. 54, fig. 11—13; Truan Diat. Astur. pg. 68, tab. 6; fig. 15.

Bory, Bremia, Nagy-Kürtös.

Var. **fossilis** n. v. — Lateribus altioribus $95\frac{1}{2}$ — 153 μ ; altis; series longitudinales costarum transversalium 3—4 in 10 μ ; costis 8—9 in 10 μ ; dissepimentis $1\frac{1}{2}$ —2 in 10 μ .

Bory, Bremia.

Rhabdonema hamuliferum Kitton in J. R. M. S. 1878, pg. 244, tab. 15, fig. 22; Petit Catalog. Diatom. Camp. pg. 35, tab. 5, fig. 22; Pant. Foss. Bae. Ung. I, pg. 39, tab. 6, fig. 48.

Bory.

FAMILIA: SURIRELLAE.

SURIRELLA TURP.

Surirella (striatula Turp. var.?) **antiqua** Pant. Foss. Bae. Ung. I, pg. 39, tab. 20, fig. 185.

Bremia.

Surirella baldjikii Norm. in T. M. S. 1861, pg. 6, tab. 2, fig. 2; A. Schm. Atlas tab. 20, fig. 6, 7; Pant. Foss. Bae. Ung. I, pg. 39, tab. 30, fig. 318.

Bory, Nagy-Kürtös. — Vivat etiam in limo marino ad Neapolim.

Surirella costata Neupauer in Ásatag Diatom. pg. 193, tab. 3, fig. 77, 78; tab. nostra 1, fig. 15, tab. 8, fig. 153. — Frustulis a latere visis subconicis inflatis, maxime alatis, alis ad marginem cum linea punctorum ornatis, ad polos superiores cornutis, ad polos inferiores obtusis; costis validis $1\frac{1}{2}$ —2 in 10 μ . striolatis, striis 25 in 10 μ .; membrana connectiva plicata. — Valvis late-ovovatis vel rotundatis, polis rotundatis, margine punctato $1\frac{1}{2}$ μ . lato; costis validis $1\frac{1}{2}$ —2 in 10 μ . cuneatis, radiantibus, ad marginem areuatis, confluentibus, striolatis; striis 25 in 10 μ .; area longitudinalis angusta, nuda. — Long. valvae $86\frac{1}{2}$ — $154\frac{1}{2}$ μ .; lat. 58—150 μ . — Long. frustulae 111 μ .; lat. $72\frac{1}{2}$ μ .

Gyöngyös-Pata, Szűcs, Szurdok-Püspöki.

Surirella fastuosa E. Amerika tab. II. 4, fig. 7 etc.; Kg. Bae. pg. 62, tab. 28, fig. 19; Grun. I. c. 1862, pg. 461, tab. 9, fig. 12; Janisch Guano pg. 14, tab. I. A, fig. 37; A. Schm. Atlas tab. 4, fig. 1, 2, 8 etc.; Van H. Synops. tab. 73, fig. 18; Truan Diat. Astur. pg. 76, tab. 8, fig. 11.

Bory, Bremia, Nagy-Kürtös.

Var. **fossilis** n. v. — Area longitudinalis angusta, cum lineis duabus longitudinalibus striolatis cincta; striolis $15\frac{1}{2}$ in 10 μ .; costis validis cuneatis $1\frac{1}{2}$ —2 in 10 μ .; ad marginem areuatae conjunctis bi aut triciliatis, striolatis, striis $12\frac{1}{2}$ in 10 μ . radiantibus usque in aream percurrentibus et hic lineis inconspicuius notatis. — Long. $89\frac{1}{2}$ μ .; lat. 69 μ .

Bory, Bremia.

Surirella minuta Bréb. Considerations pg. 17; Rabh. S. D. pg. 30, tab. 3, fig. 28; W. Sim. Br. D. I, pg. 34, tab. 9, fig. 73; Grun. Oest. Diat. 1862, pg. 460; A. Schm. Atlas tab. 23, fig. 42—48; Van H. Synops. pg. 189, tab. 73, fig. 9, 10, 14, Types nr. 428.

Abauj-Szántó, Aranujos, Czékéháza, Erdőbénye, Felménes, Kávna, Tálya.

Surirella Neumayerii Janisch in A. Schm. Atlas tab. 56, fig. 1.
Nagy-Kürtös.

Surirella Neupauerii n. s. tab. 1, fig. 17. — *Valvis ovatis*; costis 3 in 10 μ . radiantibus abbreviatis, marginalibus, arcuatis, striolatis; striis $12\frac{1}{2}$ in 10 μ .; area nuda ovata, dilatata. — Long. $57\frac{1}{2}$ μ .; lat. 31 μ .

Gyöngyös-Pata, Szokolya, Szücs, Szurdok-Püspöki.

Surirella patella Kg. Bac. 61, tab. 7, fig. 5; A. Schm. Atlas tab. 23, fig. 62.

Czekeháza, Erdőbénye, Felménes, Gyöngyös-Pata, Kávna, Szokolya, Szücs, Szurdok-Püspöki, Tálya.

Surirella rotunda Pant. Foss. Bac. Ung. I, pg. 40, tab. 18, fig. 157. — tab. nostra 1, fig. 4.

Gyöngyös-Pata, Szücs, Szurdok-Püspöki.

Var. **minor** n. v. tab. 1, fig. 13. — Minor. — Long. 34 μ .; lat. $26\frac{1}{2}$ μ .; costis $1\frac{1}{2}$ —2 in 10 μ .

Gyöngyös-Pata, Szücs, Szurdok-Püspöki.

Surirella striatula Turp.; Ehrbg. Mikrogeol. tab. X. 2, fig. 10; Kg. Bac. pg. 62, tab. 7, fig. 6; Rabenh. S. D. pg. 30, tab. 3, fig. 22; Sm. Br. D. I, pg. 32, tab. 9, fig. 64; Pritch. Inf. pg. 796, tab. 9, fig. 137, 138; A. Schm. Atlas tab. 24, fig. 17—22; Van H. Synops. tab. 72, fig. 5—6; Truan Diat. Ástur. pg. 75, tab. 8, fig. 5.

Czekeháza, Erdőbénye, Felménes, Kávna, Szokolya, et in stratis marinis vallis Bremia.

Surirella subsalsa W. Sm. Br. Diat. I, pg. 34, tab. 31, fig. 259.
Abauj-Szántó, Aranyos, Czekeháza, Erdőbénye, Kávna, Tálya.

CAMPYLODISCUS E.

Campylodiscus adriaticus Grun. Oest. Diat. 1862, pg. 440, tab. 11, fig. 8; A. Schm. Atlas tab. 16, fig. 13.

Nagy-Kürtös.

Campylodiscus angularis Greg. Diat. of Clyde pg. 502, tab. 11, fig. 53; Janisch et Rab. Honduras pg. 6, tab. 1, fig. 10; A. Schm. Atlas tab. 18, fig. 7.

Bory, Bremia.

Var. **punctata** n. v. — Long. et lat. valvae 60 μ .; costis radiantibus 10 in 10 μ ., ad aream centralem medio plicatam in punctos transientibus.

Bory.

Campylodiscus Clypeus E. Microgeolog. tab. X, fig. 1 etc., Abhandlg. 1869, tab. I. 1, fig. 1; Abhandlg. 1871, tab. I. A., fig. 12 etc.; Kg. Bac. tab. 2, fig. 5; Weisse Guano tab. 1, fig. 14; A. Schm. Atlas tab. 54, fig. 7, 8; tab. 55, fig. 1—3; Van H. Synops. tab. 75, fig. 1.

Bory, Bremia.

Campylodiscus Daemelianus Grun. in A. Schm. Atlas Probetaf. fig. 4, tab. 17, fig. 11; tab. 54, fig. 12.

Bory.

Campylodiscus ecclesianus Grev. Micr. J. 1857, pg. 10, tab. 3, fig. 5; A. Schm. Atlas tab. 16, fig. 8—10; tab. 17, fig. 16; Pant. Foss. Bac. Ung. I, pg. 40; tab. 3, fig. 26.

Bory.

Campylodiscus Eulensteini n. s. — Syn. Camp. limbatus Bréb. var. astralis Eulenst. in A. Schm. Atlas tab. 17, fig. 1. — Orbicularis vix curvatus; costis abbreviatis 3—3 $\frac{1}{2}$ in 10 μ . validis, radiantibus, biserialiter punctatis; area maxime dilatata, cum plicis duabus transversis et punctis obscuris signata; margine 1 $\frac{1}{2}$ μ . lato. — Long. 94 $\frac{1}{2}$ μ ; lat. 90 μ .

Nagy-Kürfös.

Campylodiscus Kidstonii n. v. — Orbicularis, subangulatus, marginatus, margine 2 $\frac{1}{2}$ μ . lato, striolato; costis 3—5 in 10 μ . abbreviatis validis, in lineas arcuatas transientibus; area dilatata, nuda, subreniformis, corona cellularum (cellulae 7—8 in 10 μ .) dilatatarum, obliquarum cincta. — Long. 84 μ ; lat. 82 μ .

Bory.

Campylodiscus limbatus Bréb. Diat. Cherbourg pg. 12, fig. 1; Greg. Diat. of Clyde pg. 504, tab. 11, fig. 55; Grun Oest. Diat. 1862, pg. 440, tab. 9, fig. 4.

Nagy-Kürtös.

Campylodiscus obsoletus Cleve J. Q. M. Cl. 1885, pg. 168, tab. 12, fig. 2.

Nagy-Kürtös.

Campylodiscus striolatus Grun. A. Schm. Atlas tab. 53, fig. 1—2; Pant. Foss. Bac. Ung. I, pg. 41, tab. 18, fig. 159.

Bory, Bremia.

Campylodiscus Thuretii Bréb. Diat. Cherbourg pg. 13, fig. 3; A. Schm. Atlas tab. 51, fig. 15.

Bory, Bremia.

Var. **baldjikiana** Grun. in A. Schm. Atlas tab. 51, fig. 16—21.

Bory, Bremia.

FAMILIA NITZSCHIEAE.

NITZSCHIA (HASS.) GRUN.

Nitzschia andesitica n. s. tab. 14, fig. 241. — Valvis elongatis, angustis, ad polos obtusis; punctis carinalibus magnis 7 $\frac{1}{2}$ in 10 μ .; striis inconspicue punctatis, transversis 27 $\frac{1}{2}$ in 10 μ . — Long. 150 μ ; lat. 4—6 μ .

Bory, Bremia.

Nitzschia (pulcherrima Grun. var.?) **antediluviana** Pant. Foss. Bac. Ung. I, pg. 41, tab. 3, fig. 32.

Nagy-Körtös.

Nitzschia bicuspidata n. s. — Valvis elongate-lanceolatis fusiformibus, ad polos leniter productis, cuspidatis; punctis carinalibus $6\frac{1}{2}$ — $7\frac{1}{2}$ in 10 μ ; striis 20 in 10 μ . transversis, punctatis. — Long. $51\frac{1}{2}$ μ ; lat. 11 μ , ad polos 2 μ .

Aranyos, Tálya.

Nitzschia bituminosa n. s. tab. 13, fig. 239. — Valvis elongatis, supra 144 μ . longis, ad polos leniter productis et inflexis, subcapitatis; punctis carinalibus $7\frac{1}{2}$ in 10 μ ; striis $12\frac{1}{2}$ in 10 μ . transversis punctatis. — Lat. 12 μ .

Aranyos, Czekeháza, Erdőbénye, Gyöngyös-Pata, Szücs, Szurdok-Püspöki, Tálya.

Var. **tenuior** tab. 14, fig. 252. — Lat. 8—9 μ ; punctis carinalibus 5 in 10 μ ; striis 12 in 10 μ .

Aranyos, Czekeháza, Erdőbénye, Gyöngyös-Pata, Szücs, Szurdok-Püspöki, Tálya.

Nitzschia frustulum (Kg.) Grun in Van H. Synops. tab. 68, fig. 28, 29; — Synedra frustulum Kg. Bac. pg. 63, tab. 30, fig. 77.

Abauj-Szántó, Aranyos, Czekeháza, Csípkés, Erdőbénye, Felménes, Gyöngyös-Pata, Kavna, Szokolya, Szücs, Szurdok-Püspöki, Tálya.

Var. **acuta** n. v. tab. 6, fig. 107, tab. 15, fig. 257. — Valvis lanceolatis acutis, 15—20 μ . longis, 4—5 μ . latis; punctis carinalibus $7\frac{1}{2}$ —10 in 10 μ ; striis 18—20 in 10 μ .

Abauj-Szántó, Aranyos, Czekeháza, Csípkés, Erdőbénye, Felménes, Gyöngyös-Pata, Kavna, Szokolya, Szücs, Szurdok-Püspöki, Tálya.

Var. ? **curvata** n. v. tab. 3, fig. 50. — Valvis curvatis, ad polos obtusis rotundatis. — Long. 36 μ ; lat. 4—5 μ ; punctis carinalibus 10 in 10 μ ; striis 25 in 10 μ .

Czekeháza, Gyöngyös-Pata, Szücs, Szurdok-Püspöki, Tálya.

Var. **constricta** n. v. tab. 6, fig. 103. — Valvis leniter constrictis. — Long. 32—33 μ ; lat. 4 μ ; punctis carinalibus $12\frac{1}{2}$ in 10 μ ; striis 25 in 10 μ .

Czekeháza, Felménes, Szücs, Tálya.

Var. **hungarica** n. v. tab. 3, fig. 48. — Valvis anguste-lanceolatis, subacutis; punctis carinalibus $12\frac{1}{2}$ in 10 μ ; striis $27\frac{1}{2}$ in 10 μ . transversis. — Long. 35 μ ; lat. 4 μ .

Aranyos, Czekeháza, Erdőbénye, Szücs, Tálya.

Var. **minuta** n. v. tab. 6, fig. 104, 106. — Valvis 13—20 μ . longis, obtusis, $3\frac{1}{2}$ μ . latis; punctis carinalibus 10 in 10 μ ; striis 20 in 10 μ .

Abauj-Szántó, Aranyos, Czekeháza, Csípkés, Erdőbénye, Felménes, Gyöngyös-Pata, Kavna, Szokolya, Szücs, Szurdok-Püspöki, Tálya.

Var. **obtusa** n. v. tab. 6, fig. 100, tab. 11, fig. 182. — Valvis obtusis 16—25 μ . longis, $4\frac{1}{2}$ — $5\frac{1}{2}$ μ . latis; striis 19—20 in 10 μ ; punctis carinalibus 10—11 in 10 μ .

Czekeháza, Gyöngyös-Pata, Szücs, Szurdok-Püspöki, Tálya.

Var. **producta** n. v. tab. 6, fig. 101. — Valvis elongatis, lanceolatis, acutis $30\frac{1}{2}$ μ . longis, $6\frac{1}{2}$ μ . latis; punctis carinalibus 10 in 10 μ .; striis 25 in 10 μ .

Czekeháza, Gyöngyös-Pata, Szücs, Szurdok-Püspöki, Tálya.

Nitzschia fusiformis Grun. in Grun. Cleve Arct. Diat. pg. 95.

Abauj-Szántó, Aranyos, Czekeháza, Felménes, Kánya, Tálya.

Nitzschia hevesensis n. s. tab. 10, fig. 174. — Valvis elongatis, ad polos capitatis; punctis carinalibus 6— $7\frac{1}{2}$ in 10 μ .; striis transversis 30 in 10 μ . — Long. fragmenti $72\frac{1}{2}$ —178 μ .; lat. $6\frac{1}{2}$ μ ., ad polos $2\frac{1}{2}$ μ .

Gyöngyös-Pata, Szücs, Szurdok-Püspöki.

Nitzschia Kittlii Grun. Beiträge 1882, pg. 155, tab. 29, fig. 24, 25. — tab. nostra 14, fig. 248; tab. 15, fig. 268.

Abauj-Szántó, Aranyos, Czekeháza, Erdőbénye, Felménes, Gyöngyös-Pata, Kánya, et in stratibus inariinis ad Bory.

Nitzschia (panduriformis Greg. var.?) **Lóczyi** n. s. tab. 10, fig. 117. — Valvis elongatis, panduraeformibus, ad polos obtusis, cum plica longitudinali; punctis carinalibus $6\frac{1}{2}$ — $7\frac{1}{2}$ in 10 μ .; striis transversis punctatis $16\frac{1}{2}$ —18 in 10 μ . — Long. 63—126 μ .; lat. ad polos 20—31 μ ., ad constrictiōnem 18—22 μ .

Bory, Bremia.

Nitzschia (Sigma W. Sm. var.?) **neogena** Grun. Beiträge 1882, pg. 148, tab. 29, fig. 22.

Abauj-Szántó, Aranyos, Czekeháza, Csíkés, Erdőbénye, Felménes, Gyöngyös-Pata, Kánya, Szokolya, Szücs, Szurdok-Püspöki, Tálya.

Nitzschia spectabilis (E.) Ralfs. in Pritch. Inf. pg. 782. — Van H. Synops. tab. 67, fig. 89. — Synedra spectabilis E. Amerika tab. 1, 2, fig. 19 ete.; Mikrogeol. tab. 10, 1, fig. 16 ete.; Abh. 1870, pg. 59, tab. 3, 2, fig. 3; Nordpól tab. 3, fig. 9; Kgl. Bæc. pg. 67; tab. 28, fig. 34.

Aranyos, Czekeháza, Erdőbénye, Felménes, Gyöngyös-Pata, Kánya, Szücs, Szurdok-Püspöki, Tálya.

Nitzschia Szaboi n. s. tab. 15, fig. 263. — Perlonga, 8 μ . lata; punctis carinalibus 8—9 in 10 μ .; striis punctatis transversis 30—32 in 10 μ .

Gyöngyös-Pata, Szücs, Szurdok-Püspöki.

Nitzschia Tályana Grun. Beiträge 1882, pg. 148, tab. 29, fig. 21.

Aranyos, Czekeháza, Erdőbénye, Felménes, Gyöngyös-Pata, Kánya, Szokolya, Szücs, Szurdok-Püspöki, Tálya.

Nitzschia Tryblionella Hantzsch var. **biharensis** Pant. Foss. Bæc. Ung. I, pg. 41; tab. 24; fig. 222.

Bory.

TRIBUS CRYPTO-RAPHIDIEAE.

FAMILIA CHAETOCERAE.

DICLADIA E.

Dicladia capreolus E. Mikrogeol. tab. 35 A, 15, fig. 8; Weisse Guano tab. 1, fig. 29; Janisch Guano pg. 5, tab. I, B, fig. 2; tab. 2, A, fig. 2; Van H. Synops. tab. 106, fig. 14—16.

Nagy-Kürtös.

PERIPTERA E.

Periptera tetricladia E. Mikrogeol. tab. 33, 18, fig. 9; Pritch. Inf. pg. 865, tab. 6, fig. 30; Van. H. Synops. tab. 83^{ter}, fig. 7—9.

Nagy-Kürtös.

SYNDENDRIUM E.

Syndendrium Diadema E. Mikrogeolog. tab. 35 A, 18, fig. 13.

Nagy-Kürtös.

CHAETOCEROS E.

Chaetoceros affine Laud. T. M. S. 1864, pg. 78, tab. 8, fig. 5.

Nagy-Kürtös.

Chaetoceros gastridium E. — Van H. Synops. tab. 82^{bis}, fig. 12.

Nagy-Kürtös.

FAMILIA GONIOTHECIEAE.

GONITHECIUM E.

Gonithecium Odontella E. Mikrogeolog. tab. 18, fig. 94; tab. 33, 15, fig. 16 etc.; Pritch. Inf. pg. 864, tab. 6, fig. 29; Van H. Synops. tab. 105, fig. 11, 12; O. Witt Simbirsk pg. 24, tab. 7, fig. 7—8.

Ananino.

FAMILIA RUTILARIAE.

RUTILARIA GREV.

Rutilaria szakalensis n. s. tab. 24, fig. 355. — Valvis late-ovato-lanceolatis, radialiter punctatis; margine punctato et spinuloso; spinis 4 $\frac{1}{2}$ —5 $\frac{1}{2}$ in 10 μ ; centro biumbilicato. — Long. 51 μ ; lat. 28 $\frac{1}{2}$ μ .

Nagy-Kürtös, Szakal.

Rutilaria ventricosa Grev. M. J. 1863, pg. 228, tab. 9, fig. 2; Pant. Foss. Bac. Ung. I, pg. 44, tab. 9, fig. 78.

Nagy-Kürtös.

FAMILIA THAUMATODISCEAE.

PYXILLA GREV.

Pyxilla americana (Ehrbg.) Grun. in Van H. Synops. tab. 83^{bis}, fig. 1–3; Pant. Foss. Bae. Ung. I, pg. 43, tab. 28, fig. 283. Rhizosolenia americana Ehrbg. Mikrogeolög. tab. 18, fig. 98.

Nagy-Kürtös.

Pyxilla baltica Grun. in A. Schm. N. See Diat. tab. 3, fig. 25; Van H. Synops. tab. 83, fig. 1, 2; O. Witt Simbirsk pg. 30, tab. 11, fig. 12.

Nagy-Kürtös.

Pyxilla cornuta Pant. Foss. Bae. Ung. I, pg. 43, tab. 9, fig. 76. Nagy-Kürtös.

Pyxilla dubia Grun. in Van H. Synops. tab. 83, fig. 7, 8.

Nagy-Kürtös.

GYRODISCUS O. WITT.

Gyrodiscus hungarieus n. s. tab. 9, fig. 167. — Valvis orbicularibus convexis, disseminate punctatis, septatis; centro quasi umbilicato. — Diameter valvae 54 μ .

Nagy-Kürtös, Szakal.

Gyrodiscus Vortex O. Witt Simbirsk pg. 25, tab. 9, fig. 3.

Ananino.

KENTRODISCUS NOV. GEN.

Frustulis bivalvis, membrana connectiva nuda; valva superior in apiculum validum transiens; valva inferior connexa; ambis hispidissimis.

Kentrodiscus fossilis n. s. tab. 23, fig. 350. — Long. frustulae 44 mmm.; lat. 22 mmm.; latitudo membranae connectivae 9 mmm.; diameter valvae orbicularis inferioris 30 mmm.

Ananino.

KTENODISCUS NOV. GEN.

Frustulis a latere visis maxime convexis, cum pectene hyalino maxime serrato cinctis; valvis rotundatis convexis cum disseppimentis dichotome divisis, ad marginem cum spaciis hyaliniis nudis ovalibus cinctis.

Ktenodiscus hungaricus n. s. tab. 6, fig. 102, 109. — Altitudo frust. 17 μ ; altitudo pecten 8 μ ; altitudo membranae connectivae 3 μ . — Diameter valvae orbicularis 29 μ .

Nagy-Kürtös, Szakal.

MASTOGONIA E.

Mastogonia simbirskiana n. s. tab. 29, fig. 314, 315. — Valvis orbicularibus convexis; cristis elevatis; areolatis, in apicem spinulosum conjunctis; tota valva striolata. — Diameter valvae 45 mmm.; altitudo valvae 37 mmm., membranae connectivae 5 mmm.

Ananino.

Mastagonia Crux E. Mikrogeol. tab. 33, 18, fig. 8; Van H. Synops. tab. 83^{ter}, fig. 1.

Nagy-Kürtös, dí Ananino.

STEPHANOGENIA E.

Stephanogonia actinoptychus (E.) Grun. in Van H. Synops. tab. 83^{ter}, fig. 2—4. — **Mastogonia actinoptychus** E. Mikrogeol. tab. 18, fig. 19; Pritch. Infus. pg. 814, tab. 5, fig. 59; tab. nostra 29, fig. 411.

Nagy-Kürtös.

Stephanogonia aculeata n. s. tab. 13, fig. 221. — Valvis orbiculatis convexus, ad marginem cum crista aculeata. — Diameter 36—38 μ .

Nagy-Kürtös, Szakal.

Stephanogonia cincta n. s. tab. 9, fig. 161. — Frustulis bivalvis. — Valva superior $16\frac{1}{2}$ μ . alta, ad marginem corona spinularum cincta, maxime elevata, septata, ad polum aculeis patentibus 10 μ . longis ornata; valva inferior 6 μ . alta, convexa; membrana connectiva 3 μ . lata punctata. — Latitudo frust. 33 μ .

Nagy-Kürtös, Szakal.

Stephanogonia polygona E. Mikrogeol. tab. 33, 18, fig. 10; Pritch. Infus. pg. 814, tab. 5, fig. 57; Van H. Synops. tab. 83^{bis}, fig. 16.

Nagy-Kürtös.

Stephanogonia striolata n. s. tab. 18, fig. 292. — Frustulis bivalvis; valvis convexis; valva superior ad marginem corona spinarum perlongarum (27 μ . long.) cincta; valva inferior hispidula; membrana connectiva punctata. — Latitudo frustul. 45 μ .; altitudo valvae 9 μ .

Nagy-Kürtös, Szakal.

Stephanogonia Szontaghii n. s. tab. 18, fig. 294. — Frustulis bivalvis 45 μ . latis; valvis ovalibus convexis 45—55 $\frac{1}{2}$ μ . altis, 18—22 μ . latis; ad marginem corona spinularum cinctis; membrana connectiva punctata.

Nagy-Kürtös, Szakal.

FAMILIA XANTHIOPYXIDEAE.

XANTHIOPYXIS E.

Xanthiopyxis cingulata E. Mikrogeol. tab. 33, 17, fig. 18.

Nagy-Kürtös.

Xanthiopyxis oblonga E. Mikrogeol. tab. 33, 17, fig. 17; Pritch. Infus. pg. 827, tab. 5, fig. 76; Cleve in J. Q. M. Cl. 1885, pg. 175, tab. 13, fig. 18.

Nagy-Kürtös.

Xanthiopyxis panduraeformis Pant. Foss. Bac. Ung. I, pg. 43, tab. 29, fig. 297.

Nagy-Kürtös.

FAMILIA. MELOSIREAE.

MELOSIRA AG.

Melosira arenaria Moore var. **hungarica** n. v. — Recedit a specie frustulis altioribus validioribusque; striis densioribus 24 in 10 μ . decussate punctatis; costis marginalibus 7 in 10 μ . — Diameter valvae 65—70 μ .; altitudo frustulae 20 μ .

In stratis marinis ad *Bory*.

Melosira bituminosa n. s. tab. 7, fig. 130; tab. 12, fig. 218. — Valvis convexis orbicularibus, ad marginem corona punctorum majorum (10 in 10 μ .) cinctis, caeterum disseminate-punctatis. — Diameter valvae 13—15 μ .

Gyöngyös-Pata, Szücs, Szurdok-Püspöki, Tálya.

Var. **dilatata** tab. 9, fig. 158, tab. 16, fig. 272. — Diameter valvae 25—26 $\frac{1}{2}$ μ .

Gyöngyös-Pata, Szücs, Szurdok-Püspöki, Tálya.

Var. **interrupta** tab. 8, fig. 141. — Valvis tantum ad centrum elevatum convexum disseminate punctatis; punctis marginalibus 14 in 10 μ . densioribus quam in specie. — Diameter valvae 11—12 μ .

Gyöngyös-Pata.

Melosira Caput Medusae Pant. Foss. Bac. Ung. I, pg. 45, tab. 17, fig. 151. *Nagy-Kürtös.*

Melosira cincta Pant. Foss. Bac. Ung. I, pg. 46, tab. 30, fig. 306. *Nagy-Kürtös.*

Melosira clavigera Grun. in Van H. Synops. tab. 91, fig. 1—2; A. Schm. Atlas tab. 74, fig. 13—15.

Bory, Bremia, Nagy-Kürtös et in stratis marinis ad Ananino.

Melosira crenulata Kg. var. **fossilis** n. v. tab. 13, fig. 227. — Altitudo frustulae 8 $\frac{1}{2}$ —9 μ ; latitudo 8 μ ; punctis in lineas (17 $\frac{1}{2}$ in 10 μ) obliquas ordinatis.

Czekeháza.

Melosira cristata n. s. tab. 11, fig. 185. — Valva orbicularis convexa, ad marginem corona spinularum cincta, spinulae 4 mmm. altae, 5 in 10 mmm.; caeterum valva disseminate punctata. — Diameter valvae 60 $\frac{1}{2}$ mmm.

Ananino.

Melosira Dickiei Kg. Süßw. Alg. pg. 889; Pritch. Inf. pg. 820; Rab. Flor. Europ. Alg. pg. 43; Van H. Synops. tab. 90, fig. 10—12, 15—16; — Orthosira Dickiei Thwait. A. N. H. 1848, pg. 168, tab. 12 E, fig. 1—7; W. Sm. Br. D. II, pg. 60, tab. 52, fig. 335. — tab. nostra 14, fig. 243—244; tab. 23, fig. 340, 342.

Czekeháza, Szücs, Szurdok-Püspöki.

Var. **fossilis** n. v. tab. 8, fig. 146. — Valvis orbicularibus convexis, ad centrum disseminate punctatis. — Diameter valvae 16 $\frac{1}{2}$ —17 μ .

Szücs.

Melosira granulata (Ehrbg.) Ralfs. in Pritch. Inf. pg. 820; Brun. Diat. des Alp. pg. 137, tab. 9, fig. 25; Van H. Synops. tab. 87, fig. 9—11; Grun. Franz-Josets Land D. pg. 49, tab. E, fig. 42; Pant. Foss. Bac. Ung. I, pg. 46, tab. 22, fig. 202; — *Galionella granulata* Ehrbg. Amerika pg. 127; *Galionella tenerima* Ehrbg.? Mikrogeolog. tab. 39, fig. 50; *Melosira decussata* B. ordinata Kg. Baeill. pg. 56, tab. 3, fig. VII, 4; *Orthosira punctata* W. Sm. Br. Diat. tab. 53, fig. 339 etc.; tab. nostra 7, fig. 124.

Czekeháza, et in stratis marinis ad *Bory* et *Nagy-Kürtös*.

Melosira irregularis n. s. tab. 27, fig. 394. — Valvis orbicularibus ad marginem striolatis et hamulosis, caeterum valva maculis obscuris pernagatis tecta. — Diameter valvae 79—80 μ mmm.; striis 8, hamulis 2—3 in 10 μ mmm.

Kusnetzk.

Melosira laevis Ralfs. in Pritch. Inf. pg. 818; Van H. Synops. tab. 88, fig. 19; — *Galionella laevis* E. Mikrogeol. tab. 14, fig. 87 etc.

Bory.

Melosira Lóczyi n. s. tab. 5, fig. 92. — Valva orbicularis, ad marginem cum punctis (8 in 10 μ) arcuata conjunctis cincta, ad centrum cum corona striolarum. — Diameter valvae $9\frac{1}{2}$ —11 μ . — Probabiliter ad *Paralias* numeranda.

Bremia.

Melosira menilitica n. s. tab. 7, fig. 126. — *Coscinodiscus subtilis* Neupauer (nec. E.) Ásatag Diatom. tab. 3, fig. 58. — Valvis orbicularibus, marginatis, convexis, disseminate punctatis. — Diameter valva 10 $\frac{1}{2}$ μ .

Gyöngyös-Pata.

Melosira nummuloides Ag. var. *élesdiana* Pant. Foss. Bac. Ung. I, pg. 46, tab. 23, fig. 209.

Bory, Bremia, Szüesi.

Melosira Omma Cleve in J. Q. M. Cl. 1885, pg. 174, tab. 13, fig. 15.

Nagy-Kürtös

Melosira ornata Grun. in V. H. Synops. tab. 91, fig. 19—21; — *Fraúz Jos. Land.* Diat. pg. (95.) 43, tab. V, E, fig. 39, 40.

Ananino.

Melosira (ornata Grun. var.?) *saratoviana* n. s. tab. 27, fig. 388. — Valvis circularibus convexis, ad marginem cum corona spaciiorum hyalinorum 2 in 10 mmm., ad centrum cum plicis duabus circularibus elevatis et punctis disseminatis. — Diameter valvae 68—90 mmm.

Kusnetzk.

Melosira sarmatica n. s. tab. 11, fig. 183. — Valvis circularibus convexis, cum radiis validis, ad marginem arcuate-conjunctis, perlongis usque ad centrum nudum percurrentibus notatis. Valva ad marginem subtiliter striolata. — Diameter 72—75 mmm.

Kusnetzk.

Melosira Sol Kg. Stüssw. Alg. pg. 31; Van H. Synops. tab. 91, fig. 7—9; — *Galionella Sol* E. Mikrogeol. tab. 35 A. 22, fig. 12.

Bory, Bremia, Nagy-Kürtös et Kusnetzk.

Melosira Thümii n. s. tab. 30, fig. 421, 423. — Frustulis a latere yisis maxime convexis, ad marginem serratis, caeterum subtiliter punctatis, punctis in lineas decussatas ordinatis; striolis vita lata uniserialiter punctata interruptis. — Valvis orbicularibus, ad mar-

gineū striolatis et guttis lacrimaeformib⁹ ornatis, ad centrum maculis obscuris tectum, cū plicis duabus circularibus. — Diameter 49—52 mmm.; guttae lacrimaeformae 3 in 10 mmm.; striolae 30 in 10 mmm.; altitudo frustulae 22 mmm.; serratura 3½ in 10 mmm.

Ananino:

Melosira undulata (E.) Kg. Bac. pg. 54, tab. 2, fig. 9; Van H. Synops. tab. 90, fig. 5, 6, 8, 9. — *Galionella undulata* E. Mikrogeol. tab. 15 A, fig. 8 etc.

In stratis marinis ad *Bory*.

Var. **minor** n. v. — Altitudo frustulae 16 μ.; lat. 13½ μ. lineae longitudinales punctorum spiraliiter dispositae 15 in 10 μ.

In stratis marinis ad *Bory*.

PARALIA HEIBG.

Paralia rössica n. s. (alii) 27, fig. 396. — Valvis orbicularibus, margine 7½ mmm. lato, cum punctis validis papillosis cincto; discus maculis obscuris tectus. — Diameter valvae 75 mmm.

Kusnietzk.

Paralia sulcata (Ehrbg.) Cleve Diat. Arct. Sea pg. 7. — *Gaisonella sulcata* Ehrbg. Infuss. pg. 170, tab. 21, fig. 5; Mikrogeolog. tab. 18, fig. 1 etc.; Bailey Amér. Jour. 1842, tab. 2, fig. 6, 7; — *Melosira sulcata* Kützg. Bac. pg. 55, tab. 2, fig. 7; Janisch Guano pg. 10, tab. I. A, fig. 22; Van H. Synops. tab. 91, fig. 16; — *Orthosira marina* W. Sm. Br. Diat. II. pg. 60, tab. 53, fig. 388; *Paralia marina* Heibg. Conspect pg. 33.

Var. **genuina** Grun. Franz Jos. L. Diat. pg. 41.

Forma **radiata** Grun. Van H. Synops. tab. 91, fig. 16 b.

Bory, *Bremia*, *Nagy-Kürtös*.

Forma **radiolata** Grun. — tab. nostra 18, fig. 297.

Bory, *Bremia*.

Forma **coronata** Grun. in Van H. Synops. tab. 91, fig. 18.

Bory, *Bremia*.

Forma **plana** Grun. — *Gaisonella plana* E.

Ananino.

Var. **hungarica** n. v. tab. 18, fig. 295. — Margo 4 μ. latus, cū serie duplice punctorum magnorum et marginalium minorum in costam pereurrentium; ad centrum cū corona punctorum magnorum distantium. — Diameter valvae 35½ μ.

Bremia.

Var. **crenulata** Grun. Franz Jos. L. Diat. pg. 42.

Forma **radiata** Grun. in Van H. Synops. tab. 91, fig. 34.

Ananino.

Var. **biseriata** Grun. Franz Jos. L. Diat. pg. 42.

Forma **radiata** Grun. in Van H. Synops. tab. 91, fig. 23.

Ananino, Kusnietzk.

Var. **siberica** Grun. Franz Jos. L. Diat. pg. 42.

Forma **radiata** Grun. in Witt Simbirsk pg. 28, tab. 10, fig. 2.

Ananino, Kusnietzk.

Forma radiolata Grun. in Van H. Synops. tab. 91, fig. 24.
Ananino, Kusnetzk.

Forma coronata Grun. in Van H. Synops. tab. 91, fig. 22; Franz Jos. L. Diat. pg. 43, tab. 5 (E.), fig. 36;
Ananino, Kusnetzk.

CENTROPORUS NOV. GEN.

Valvis convexis, orbicularibus; margine lato, loculamentis arcuatis striolatis cincto, a disco annulo hyalino separato; caeterum discus lineis punctatis radiantibus tectus; centrum rotundatum nodum.

Centroporus crassus n. s. tab. 4, fig. 57. — *Character generis.* — Diameter valvae 78 mmm.; lat. marginis 9 mmm.; lineae punctatae 12 in 10 mmm.; loculamentis 1 in 10 mmm.; diameter pori centralis 7 mmm.

Ananino.

HYALODISCUS E.

Hyalodiscus laevis E. Mikrogeol. tab. 33, 15, fig. 17; Pant. Foss. Bac. Ung. I, pg. 44, tab. 15, fig. 131.

Bory, Bremia.

Hyalodiscus nobilis n. s. tab. 26, fig. 374. — Valvis circularibus convexis, margine 3 mmm. lato, annulo crenulato nigro cincto; discus spinulis nigricantibus disseminatis et lineis radiantibus punctatis 15 in 10 mmm. tectus; punctis in lineas spirales ordinatis; area centralis magna punctis validis tecta. — Diameter valvae 78 mmm., diameter area 22^{1/2} mmm.

Ananino.

Hyalodiscus radiatus (O'Meara) Grun. Diat. Franz Jos. L. pg. 93; Pyxidicula radiata O'Meara J. Lin. S. Bot. Vol. 40, tab. 1, fig. 9; *Hyalodiscus maximus* Petit in J. R. M. S. 1878, tab. 14, fig. 7.

Bory, Bremia, Nagy-Kürtös et Ananino.

Hyalodiscus rossicus n. s. Valvis orbicularibus convexis, margine hyalino 2 mmm. lato; discus cum maculis disseminatis tectus, ad marginem cum annulo duplice, externo angustiore 2 mmm. lato striolato et interno latiore 5 mmm. lato, irregulariter striolata-maculato. — Diameter 71—75 mmm.

Ananino.

Hyalodiscus scoticus (Kg.) Grun. in J. R. M. S. 1879, pg. 690, tab. 21, fig. 5; Van H. Synops. tab. 84, fig. 15—18; *Cyclotella scotica* Kg. Bac. pg. 50, tab. 1, fig. 23; *Podosira Hormoides* W. Sm. Br. D. II, pg. 53, tab. 43, fig. 237.

Bory, Bremia.

Hyalodiscus subtilis Bail. New. spec. pg. 10, fig. 12; M. J. 1861, pg. 179; Pritch. Inf. pg. 815, tab. 6, fig. 60, Jan. Rab. Honduras pg. 8, tab. 1, fig. 16; O. Witt Simbirsck pg. 27, tab. 7, fig. 10.

Bory, Bremia, Nagy-Kürtös et Ananino.

Var. australiensis Grun.

Bory, Bremia, Nagy-Kürtös.

PODOSIRA E.

Podosira baldjikiana Grun. in Van H. Typ. Nr. 545; Bot. Centralblatt 1888, pg. 324, A. Schm. Atlas tab. 130, fig. 40.

Bory, Bremia.

Podosira boryana n. s. tab. 25, fig. 362. — Frustulis robustis, ova-tis, ad polos truncatis; margine crasso, striolato; membrana connectiva angusta, nuda. Valvis orbicularibus convexis ad polos depresso; striis 20 in 10 μ . radiatis, punctatis; punctis in lineas decussatas ordinatis. — Diametros valvae 49—50 μ ; altitudo frustulae 76—77 μ .

Bory, Bremia.

Podosira hungarica n. s. tab. 9, fig. 156, 166. — Frustulis robustis, rectis, ad angulos excisis, ad polos planis; margine crasso, striolato, ceterum punctis in lineas radiatas ordinatis 15 in 10 μ . et maculis nigricantibus textis. Valvis orbicularibus punctatis, centro nudo. — Altitudo frustulae 33—34 μ ., latitudo 20—25 μ ; diametros valvae 20—25 μ .

Erdőbénye et in stratis marinis ad *Bory*.

Podosira Lóczyi n. s. tab. 10, fig. 172—173. — Valvis orbicularibus maxime elevatis, convexis, cum spinulis hispidis, disseminatis et punctis in lineas (26 in 10 μ) radiantes et spirales ordinatis, tectis; margine hyalino $1\frac{1}{2}$ μ . lato. — Diametros valvae 35—45 μ ; altitudo valvae 36—40 μ .

Bremia.

Podosira robusta n. s. tab. 16, fig. 270—271. — Frustulis robustis, a latere visis rectis, cum margine $1\frac{1}{2}$ μ . lato, striolato; valvis convexis; striis 28—30 in 10 μ . radiantibus, punctatis; centro nudo. — Altitudo frustulae 40—45 μ ; latitudo 33—42 μ ; diameter valvae 33—42 μ .

Gyöngyös-Pata.

PANTOCSEKIA GRUN.

Pantocsekia clivosa Grun. in Pant. Foss. Bae. Ung. I, pg. 47, tab. 27, fig. 288 a-b.

Nagy-Kürtös.

ETHMODISCUS CASTR.

Ethmodiscus rossicus n. s. — Valvis elevatis, convexis, cum punctis crassis disseminatis. — Diametros 82—105 μ mmm; altitudo 37 $\frac{1}{2}$ μ mmm.

Kusnetzk.

FAMILIA BILDÜLLPHIEAE.

ISTHMIA AG.

Isthmia Szaboi Pant. Foss. Bae. Ung. I, pg. 47, tab. 3, fig. 24 a-b.

Nagy-Kürtös.

TERPSINOË E.

Terpsinoë americana (Bail.) Ralfs. in Pritch. Inf. pg. 859; *Tetragramma americana* Bail. in Smithson. Contrib. 1854, pg. 7; fig. 1, 2; Pant. Foss. Bae. Ung. I, pg. 47, tab. 6, fig. 52 a-b.

Bory.

Terpsinoë intermedia Grun. Fr. Jos. L. Diat. pg. 59; Pant. Foss. Bac. Ung. pg. 47, tab. 17, fig. 154 a-b.

Bory, Nagy-Kürtös.

HYDROSERA WALL.

Hydrosera boryana n. s. tab. 30, fig. 428. — Valvis triangularibus; angulis productis rotundatis polos versus subtilisse punctatis, a lateribus undulatis gibbose-elevatis, per septa transvera separatis. Valva poris disseminatis crassis tecta, ad centrum elevatum disseminate punctata. — Altitudo valvae 78—87 μ , angulorum 25—28 $\frac{1}{2}$ μ ; long. lateris 78—90 μ .

Bory.

Var. **hexagona** tab. 30, fig. 420. — Valva cum undulationibus et angulis sex. — Diametros inter angulos 97 $\frac{1}{2}$ μ , inter latera 66 μ .

Bory.

EUNOTOGRAMMA WEISSE.

Eunotogramma variabile Grun. — Eunotogramma tri-quinque-septem et novem loculatum Weisse Simbirsk 1854, pg. 243, tab. 2, fig. 37 a-h.; O. Witt Simbirsk pg. 24, tab. 6, fig. 3—4.; A. Schm. Atlas tab. 144, fig. 7—9, 15—18, 22—25.

Ananino

Eunotogramma Weissei E. Monatsb. 1855, pg. 303; Grun. Fr. Jos. L. Diat. pg. (59), 7, tab. 2, fig. 21, 22; O. Witt Simbirsk pg. 24, tab. 10, fig. 7.; A. Schm. Atlas tab. 144, fig. 38, 42—43; — Triceratium? Weisse Simbirsk pg. 243, tab. 1, fig. 22; Biddulphia tridentata Weisse (nec. E.) Simbirsk pg. 243, tab. 3, fig. 36.

Ananino, Kusnetzk.

Var. **producta** Grov. et St. in J. Q. M. Cl. 1887, pg. 8, tab. 2, fig. 6, 7; A. Schm. Atlas tab. 144, fig. 39—41.

Kusnetzk.

HEMIAULUS E.

Hemiaulus elegans (Hbg.) Grun. Fr. Jos. L. Diat. pg. (66), 14, tab. 2; fig. 51, 52; Hemiaulus pulvinatus Grev. T. M. S. 1865, tab. 3, fig. 8; Corina elegans Hbg. Conspect. pg. 53, tab. 3, fig. 1—5; O. Witt Simbirsk pg. 26, tab. 9, fig. 16.

Ananino, Kusnetzk.

Hemiaulus hungaricus Pant. Foss. Bac. Ung. I, pg. 48, tab. 29, fig. 291.

Nagy-Kürtös.

Hemiaulus includens (E.) Grun. Fr. Jos. L. Diat. pg. (64), 12, tab. II, fig. 36—38; O. Witt Simbirsk pg. 26, tab. 6, fig. 5, tab. 9, fig. 6; Hemiaulus pulvinatus Grev. T. M. S. 1865, tab. 3, fig. 6; H. ornithocephalus A. Schm. Atlas tab. 142, fig. 27—28 (nec. Grev.); — Biddulphia includens E. Monatsb. 1885, pg. 301.

Ananino.

Hemiaulus lobatus Grev. T. M. S. 1865, pg. 29, tab. 3, fig. 9; O. Witt Simbirsk pg. 26, tab. 9, fig. 7—8.

Ananino.

Hemiaulus perlóngus n. s. tab. 20, fig. 315. — Valvis à latére visis grosse disseminate-punctatis, medio leniter gibbosis, a cornubus incisura obsoleta separatis; cornubus perlóngis attenuatis, divergentibus. — Long. ad basim 76 mmm.; altitudo valvae 40 $\frac{1}{2}$ mmm.; long. cornuum 66 mmm.

Kusnetzk.

Hemiaulus polymorphus Grun. Fr. Jos. L. Diat. pg. (66), 14, tab. 2, fig. 47—49.

Nagy-Kürtös.

Hemiaulus rossicus Pant. — *Hemiaulus polycystinorum* E. var. *siberica* Grun. Fr. Jos. L. Diat. pg. (65), 13, tab. 2, fig. 44, 55; O. Witt Simbirsk pg. 27, tab. 6, fig. 1, 2; *Hemiaulus polycystinorum* E. Monatsb. 1885, pg. 301; *Hemiaulus antarcticus* Weisse (nec. E.) Simbirsk pg. 242, tab. 1, fig. 18 *e,f*; A. Schm. Atlas tab. 144, fig. 28—37.

Ananino.

Hemiaulus? saratovianus n. s. tab. 13, fig. 235. — Tantum fragmenta cornuum per longorum vidi. — Cornubus rectis validis, ad polos attenuatis inflexis, areolatis; areolis validis 2 in 10 mmm., in lineas longitudinales et transversas obliquas ordinatis. — Long. fragmenti 240 mmm.; lat. 30 mmm.

Kusnetzk.

Hemiaulus sibericus Grun. Fr. Jos. L. Diat. pg. (64), 12, tab. 2, fig. 34, 35; A. Schm. Atlas tab. 118, fig. 8—9.

Hemiaulus Szabói n. s. tab. 14, fig. 250. — Valvis ad medium leniter elevatis, gibbosis, a cornubus incisura obsoleta separatis; cornubus convergentibus carinato-alatis, ad basin inflatis, ad polos attenuatis; punctatis, punctis minutis, sparsis. — Altitudo cornum cum valva 41 μ ; long. valvae 6 μ ; latitudo valvae 23 μ , cornuum 6 μ .

Bremia.

Hemiaulus Tschestnovii n. s. tab. 15, fig. 256. — Valvis media parte maxime inflatis, a cornubus incisura valida separatis; cornubus crassis margine interno carinato alatis, ad polos in hanculo obtuso lato transientibus; punctis crassis, disseminatis. — Altitudo valvae cum cornubus 70—90 mmm., ad medium 33—38 mmm.; long. valvae 82—94 mmm.

Kusnetzk.

PLOIARIA NOV. GEN.

Ploiaria petasiformis Pant. in Foss. Bae. Ung. I, pg. 48, tab. 29, fig. 295—sub *Hemiaulo?* — tab. nostra 28, fig. 403, 405.

Nagy-Kürtös.

TRINACRIA HEIBG.

Trinacria aries A. Schm. Atlas tab. 96, fig. 14—17.

Ananino.

Trinacria coronata O. Witt Simbirsk pg. 35, tab. 10, fig. 5, 8; A. Schm. Atlas tab. 110, fig. 8—10.

Ananino.

Trinacria excavata Heibg. Conspectus pg. 51, tab. 4, fig. 9; J. Q. M. C. 1870, pg. 101, tab. 3, fig. 6—9; A. Schm. Atlas tab. 96, fig. 6—8, tab. 97, fig. 6—10.

Ananino.

Var. *archangelskiana* O. Witt Simbirsk pg. 35, tab. 10, fig. 11.

Ananino.

Var. *producta* n. v. — Angulis maxime productis, punctis crassis, papillosum, disseminatis. — Altitudo valvae 130 $\frac{1}{2}$ mmm.; long. lateris 180 mmm.

Ananino.

Trinacria Grevillei O. Witt Simbirsk pg. 35, tab. 12, fig. 5; A. Schm. Atlas tab. 96, fig. 32, tab. 110, fig. 6.

Ananino.

Trinacria Grunowii O. Witt Simbirsk pg. 35, tab. 12, fig. 1; A. Schm. tab. 110, fig. 5.
Ananino.

Trinacria insipiens O. Witt Simbirsk pg. 36, tab. 11, fig. 5, 7, 11, tab. 12, fig. 2; A. Schm. Atlas tab. 97, fig. 16, tab. 110, fig. 11—13.
Ananino.

Trinacria Pachtii n. s. tab. 19, fig. 298. — Valvis triangularibus convexis, lateribus leniter concavis, late marginatis; cornibus validis obtusis, ad summum spinulosis; punctis 4—5 in 10 mmm. papillosis, in lineas radiantes ordinatis et nonnullis aculeis validis interrup-
tis. — Altitudo valvae 81 mmm.; long. 96 $\frac{1}{2}$ mmm.

Ananino.

Trinacria Pileolus (E.) Grun. Fr. Jos. L. Diat. pg. (68.) 16, tab. 2, fig. 59, 60; O. Witt Simbirsk pg. 36, tab. 9, fig. 15, tab. 10, fig. 4, tab. 11, fig. 6, 9; A. Schm. Atlas tab. 97, fig. 11—14; — Triceratium Pileolus E. Abh. 1844, pg. 205; Mikrogeol. tab. 35 A, 21, fig. 17; Pritch. Inf. pg. 856; Weisse Simbirsk 1854, pg. 242, tab. 1, fig. 20.

Nagy-Kürtös et *Ananino.*

Trinacria princeps O. Witt Simbirsk pg. 36. tab. 10, fig. 9; A. Schm. Atlas tab. 110, fig. 15—17.

Ananino.

Trinacria Semseyi n. s. — Valvis triangularibus convexis; lateribus leniter arcuatis, late marginatis, margine 3 mmm. lato; cornibus validis, elevatis, apiculatis; punctis majoribus et minoribus subradiantibus, majoribus ovalibus papillosis. — Altitudo valvae 56 mmm.; long. lateris 61 mmm.

Kusnetzk.

Trinacria Tschestnovii n. s. — Valvis triangularibus convexis; lateribus late marginatis; margine 5 mmm. lato, punctato; cornibus validis quasi capitatis, apiculatis; punctis in lineas radiantes ordinatis, centro subnudo. — Altitudo valvae 127 $\frac{1}{2}$ mmm.; long. lateris 139 $\frac{1}{2}$ mmm.

Kusnetzk.

Trinacria Weissflogii O. Witt Simbirsk pg. 37. tab. 11, fig. 2; A. Schm. Atlas tab. 110, fig. 4.

Ananino.

Trinacria Wittii A. Schm. Atlas tab. 96, fig. 1; Trinacria Regina Hbg. var. obtusa O. Witt Simbirsk pg. 37, tab. 11, fig. 1; — tab. nostra 28, fig. 399;

Ananino.

ODONTOTROPIS GRUN.

Odontotropis birostrata n. s. tab. 17, fig. 286. — Valvis elongato-lanceolatis hispidulis, ad polos acutis, cum plica longitudinali atra; a latere vasis subrectis reticulatis, in parte superiori cum carina alata birostrata, in parte inferiore cum margine concavo et angulis pro-
tuberantibus obtusis. — Altitudo lateris 40 $\frac{1}{2}$ mmm., cornuum 42 mmm.; long. valvae 127 $\frac{1}{2}$ —145 mmm.; latit. valvae 34—37 mmm.

Ananino, Kusnetzk.

Odontotropis hyalina O. Witt Simbirsk pg. 29, tab. 9, fig. 2.
Ananino.

ZYGOCEROS E.

Zygoceros circinus Bail. Smiths. Contrib. 1854, pg. 11, fig. 19, 20; Van H. Synops. tab. 105, fig. 13; Paut. Foss. Bae. Ung. I, pg. 49, tab. 26, fig. 244.

Nagy-Kürtös.

Zygoceros quadricornis Grun. in Van H. Synops. tab. 105, fig. 5—7; Pant. Foss. Bae. Ung. I, pg. 49; tab. 26, fig. 248.

Nagy-Kürtös.

KERATOPHORA NOV. GEN.

Valvis biddulphoideis cum cornibus duabus validis tortuosis perlongis plerumque bifurcatis. Valva obovalis hispida.

Keratophora nitida n. s. tab. 17, fig. 280. — Diametros major valvae hispidulae 102 mm; diametros minor 85 mm.

Kusnetzk.

Keratophora robusta n. s. tab. 16, fig. 277. — Diametros major valvae hispidissimae, rotundatae, ovoideae, convexae, 95 mm. Cornua valida 55 mm, longa bifurca, ad apicem crenulata.

Kusnetzk.

CHELONIODISCUS NOV. GEN.

Frustulis bivalvis subcircularibus convexis, ad polos mucronulatis. — Valva superior inconspicue striolata, flammæa et cum elevationibus confluentibus crassis, marginem tangentibus, una longitudinali ad polum supremum semilunaliter incisa et duabus transversalibus notatis. Valva inferior tantum inéconspicue striolata, flammæa.

Cheloniodiscus ananensis n. s. tab. 17, fig. 282. — Character generis. — Diametros longit. 49—73 mm.; diametros transversalis 41—66 mm.

Ananino.

BIDDULPHIA GRAY.

Biddulphia aurita Bréb. Cons. pg. 12; W. Sm. Br. D. II, pg. 49, tab. 45, fig. 319; An. Mag. of Nat. Hist. 1843, pg. 274, tab. 8, fig. 4; J. M. S. 1859, pg. 10; Pritch. Inf. pg. 840; Rab. Alg. Europ. pg. 30; Janisch Guanot tab. T. A, fig. 9; Janisch et Rab. Honduras pg. 5, tab. 3, fig. 14; O'Meara Irish D. pg. 274, tab. 27, fig. 8; Mic. Dic. tab. 14, fig. 9; Van H. Synops. tab. 98, fig. 4—13; A. Schm. Atlas tab. 122, fig. 1—8.

Bory, Brémia, Nagy-Kürtös.

Biddulphia Capuzina A. Schm. Atlas tab. 119, fig. 13—14; tab. nostra 16, fig. 275.

Bory, Brémia, Nagy-Kürtös.

Biddulphia elegantula Grev. T. M. S. 1865, pg. 50, tab. 6, fig. 12—14.

Bory, Brémia, Nagy-Kürtös.

Var. **polygibba** Pant. Foss. Bae. Ung. I, pg. 50, tab. 30, fig. 303. — tab. nostra 16, fig. 279.

Nagy-Kürtös et in stratis marinis ad *Ananino*.

Var. **polycystinica** n. v. tab. 16, fig. 278. — Probabiliter nov. spec. — Valvis elongatis triseptatis et trigibbis, disseminate punctatis, punctis crassis papilloso. — Long. 122 mm.; lat. ad polos 11 mm.; ad medium 39 mm.

Kusnetzk.

Var. **sarmatica** n. v. tab. 22, fig. 331. — Valvis cum cornibus duabus attenuatis elongatis et gibbo medio crasso maxime prominente. Punctis parvis, disseminatis. — Long. valvae 148 $\frac{1}{2}$ mm.; altitudo gibbi inedi 39 mm.; long. cornuum 27 mm.

Kusnetzk.

Biddulphia élesdiana n. s. tab. 3, fig. 37; A. Schm. Atlas tab. 120, fig. 4. — Valvis bicornutis et unigibbis; cornubus crassis obtusis, gibbo cum setis elongatis armato; punctis disseminatis ad gibbum validis ad cornua parvulis. — Latitudo valvae a laterae 23 μ ; altitudo gibbi 19 μ . cornuum 25 μ .

Élesd, Bremia.

Biddulphia homala Pant. Foss. Bac. Ung. I, pg. 50, tab. 6, fig. 15. *Nagy-Kürtös.*

Biddulphia Lóczyi n. s. tab. 15, fig. 255. — Valvis curtis, crassis, disseminate-punctatis, unigibbis; gibbo crasso elevato, ad verticem spinuloso, unius altitudine cum cornubus crassis obtusis, ad summum inconspicue punctato. — Latitudo valvae a latere visae 25 μ ; altitudo cornubus et gibbi 25 μ .

Bremia.

Biddulphia permagna n. s. tab. 25, fig. 372. — Valvis lanceolato-ellipticis, undulato marginatis, grosse punctatis; punctis 5—6 in 10 μ . crassis papillosis, in parte media valvae subradianibus et setis validis intermixtis, caeterum in lineas subrectas ordinatis; dissepinentis transversis latis; cornubus crassis, ad summum subtilissime punctatis. — Frustulis a latere visis rectangularis, gibbosis, gibbo medio crasso, cornubus crassis; tota frustula et membrana connectiva cum punctis crassis papillosis tecta; puncta in lineas longitudinales rectas ordinata. — Long. valvae 85—184 μ . lat. ad medium 58—88. — Diametros cornuum 13—22 μ .

Bory.

Biddulphia pulchella Gray. — Ehrbg. Amerika tab. I, 3, fig. 25, tab. II, 6, fig. 18; W. Sm. Br. D. II, pg. 48, tab. 44, fig. 321; tab. 46, fig. 321; Pritch. Inf. 848, tab. 2, fig. 46—50; Janisch et Rab. Hondur. pg. 5, tab. 3, fig. 18; O'Meara Irish D. pg. 275, tab. 27, fig. 9; Van H. Synops. tab. 91, fig. 1—5; Pant. Foss. Bac. Ung. I, pg. 50, tab. 15, fig. 137 a-b; A. Schm. Atlas tab. 118, fig. 29—31.

Bory, Bremia, Nagy-Kürtös.

Biddulphia Regina W. Sm. Br. D. II, pg. 50, tab. 46, fig. 323; Van H. Synops. tab. 98, fig. 1; A. Schm. Atlas tab. 119, fig. 18.

Nagy-Kürtös.

Biddulphia robusta n. s. tab. 12, fig. 203, 205. — Frustulis a latere visis cum cornubus duobus robustis, ad marginem internum maxime volvatis et plicatis, ad summum dissipate-granulosis. — Valvis ovate-ellipticis late-marginatis, dissepinentis duobus transversis crassis, ad polos punctatis, ad medium cum nonnullis granulis magnis. — Long. valvae 73 mmm.; lat. 40 mmm.; altitudo cornuum 68 mmm.

Ananino.

Biddulphia? rossica n. s. tab. 20, fig. 316. — Probabiliter Keratophora. Valvis ovato-ellipticis, convexis, granulosis; cornubus ad summum infundibuliforme dilatatis. — Long. valvae 91 $\frac{1}{2}$ mmm.; lat. 76 $\frac{1}{2}$ mmm.

Kusnetzk.

Biddulphia ruthenica O. Witt Simbirsk pg. 22, tab. 9, fig. 9, 10; A. Schm. Atlas tab. 121, fig. 22, 23.

Ananino.

Biddulphia saratoviana n. s. tab. 16, fig. 276. — Valvis elongate-lanceolatis, polygibbis (7—11) polyseptis (8—12), late marginatis, disseminate granulosis, ad polos acutis, cum cornubus abbreviatis; — Long. valvae 106—121 mmm.; lat. 21—24 mmm.

Kusnetzk.

Biddulphia tridentata E. Abh. 1844; Mikrogeol. tab. 18, fig. 52, tab. 21, fig. 24; Pritch. Infus. pg. 848; A. Schm. Atlas tab. 118, fig. 13—21; — tab. nostra 15, fig. 253.

Bory, Brémia.

Var. **andesitica** n. v. — Cum 3 aperturis ovalibus lateralibus; cornua subrecta, valida, gibbus medianus cum setis validis, elongatis armatus. — Lat. frustulæ 58 μ .; altitudo cornuum 27 μ ., gibbi 24 μ .; puncta 8 in 10 μ . in lineas rectas ordinatis.

Bory.

Forma **minor** tab. 21, fig. 326. — Latit. 37 μ .; altitudo 23 $\frac{1}{2}$ μ .

Bory, Brémia.

Biddulphia Tuomeyi (Bail.) Rop. T. M. S. 1859, pg. 8, tab. 1, fig. 1, 2; Pritch. Inf. pg. 848, tab. 6, fig. 10; Van H. Synops. tab. 98, fig. 2, 3; A. Schm. Atlas tab. 118, fig. 1—7; tab. 119, fig. 1—5; Denticella polymera E. Abh. 1844, pg. 266; Sill. Jour. Vol. 45, pg. 328, tab. 4, fig. 20. Zygoceros Tuomeyi Bail. Sill. Jour. 1843, pg. 138; fig. 3, 4.

Bory, Brémia, Nagy-Kürtös.

Var. **boryana** n. v. — Valvis elongatis, ad medium leniter constrictis, cum dissepimentis 4 crassis; cornua crassa; punctis 8 in 10 μ . in parte media valvae subradianibus et cum setis intermixtis, caeterum in lineas subrectas dispositis. — Long. 127 μ .; lat. ad medium 31 μ ., ad polos 5 μ ., lat. marginis 2 $\frac{1}{2}$ μ .

Bory.

Var. **elongata** Pant. Foss. Bac. Ung. I, pg. 51, tab. 30, fig. 311.

Nagy-Kürtös.

Var. **hungarica** n. v. tab. 18, fig. 290, tab. 19, fig. 301, 303. — Long. valvae 66 $\frac{1}{2}$ μ .; lat. 27 μ .; lat. marginis striolati 3 μ .

Bory, Brémia.

Biddulphia vasta n. s. tab. 22, fig. 338. — Valvis elongato-lanceolato-ovatis, ad polos obtusis, late marginatis, ad marginem 3 undulatis, disseminate-punctatis, in parte media cum duabus setis validis; dissepimenta 4 crassa, transversa; cornua valida, ad summum subtilissime punctata. — Long. 119 μ .; lat. ad medium 51 μ .; lat. marginis 4 μ .

Nagy-Kürtös.

ODONTELLA (AG.) GRUN.

Odontella boryana n. s. — Valvis convexis, ovato-rotundatis, radialiter punctatis, punctis 8 in 10 μ . crassis, cornubus validis, umbilico elevato nudo. Frustulis rectis, elevatis, valvis bicornutis, grosse punctatis, cornubus crassis obtusis, a membrana connectiva incisura lata nuda separatis; membrana

connectiva punctata; punctis 12 in 10, in lineas longitudinales ordinatis. — Diametros valvae longitudinalis 31—60 μ ; diametros transversalis 48 μ ; long. frustulae cum cornubus 57—76 μ ; lg. frust. in media parte 50—65 μ ; altitudo valvae cum cornubus 16—22 μ ; ad medium 12—16 μ ; altitudo membranae connectivae 21—26 μ ; latitudo frustulae 31—60 μ .

Bory.

Odontella neogradensis Pant. Foss. Bac. Ung. I, pg. 47, tab. 24, fig. 218.

Nagy-Kürtös.

TRICERATIUM E.

Triceratium abyssorum Grun. var. **saratovianum** n. v. tab. 6, fig. 99. — Recedit a specie angulis robustis obtusis subrotundatis. — Altitudo valvae 60 mmm., long. lateris 72 mmm.; lat. marginis 3 mmm.

Kusnétzk.

Triceratium (nankorense Grun. var ?) **acutangulum** Grun. in Van H. Synops. tab. 113, fig. 12.

Nagy-Kürtös.

Triceratium ananinense n. s. tab. 19, fig. 306. — Valvis triangularibus, convexis; lateribus rectis; angulis obtusis rotundatis; stromatibus subtiliter punctatis, punctis 8 in 10 mmm., in lineas radiatas ordinatis; structura granulata, granulis papillosis, disseminatis, ad marginem subsquamosis ad centrum elevatum carentibus. Altitudo 100 $\frac{1}{2}$ mmm.; long. lateris 114 mmm.; lat. marginis 3 mmm.

Ananino.

Triceratium antiquum Pant. Foss. Bac. Ung. I, pg. 51, tab. 13, fig. 115.

Nagy-Kürtös.

Triceratium archangelskianum O. Witt Simbirsk pg. 32, tab. 9, fig. 11, 12, 14; A. Schm. Atlas tab. 95; fig. 1.

Ananino.

Triceratium areticum Bright. M. J. 1853, pg. 250, tab. 4, fig. 11; A. Schm. Atlas tab. 79, fig. 5, 6, 10—13.

Nagy-Kürtös.

Triceratium arietinum A. Schm. Atlas tab. 96, fig. 19—21.

Ananino.

Triceratium balearicum Cleve Grun. N. L. K. Diat. pg. 25, tab. 6, fig. 73; A. Schm. Atlas tab. 98; fig. 20, 21.

Bory, Brenia, Nagy-Kürtös.

Triceratium biquadratum Janisch in A. Schm. Atlas tab. 98, fig. 4—6.

Bory, Nagy-Kürtös.

Triceratium blandum O. Witt Simbirsk pg. 32, tab. 11, fig. 7; A. Schm. Atlas tab. 111, fig. 8—13.

Ananino.

Triceratium (Grövei) Pant. var ?) **boryanum** n. s. — Valvis 4—5 gonis, lateribus concavis, angulis productis cornutis, cornubus obtusis; struc-

tura granulosa, granulis papillosis 4—5 in 10 μ ., in lineas rectas parallelas et radiatas ordinatis — Altitudo valvae 67—81 μ .; long. lateris 52—58 $\frac{1}{2}$ μ .

Bory.

Triceratium Brunii Pant. Foss. Bae. Ung. I, pg. 51, tab. 19, fig. 176, tab. 28, fig. 274.

Nagy-Kürtös.

Triceratium caudatum O. Witt Simbirsk pg. 32, tab. 11, fig. 4; A. Schm. Atlas tab. 111, fig. 18—23.

Ananino.

Triceratium cellulosum Grev. var. **simbirskiana** O. Witt Simbirsk pg. 32, tab. 12, fig. 8—10; A. Schm. Atlas tab. 95, fig. 28—32; tab. 111, fig. 30—33; tab. 142, fig. 4.

Ananino.

Triceratium conciliatum n. s. tab. 21, fig. 325. — Valvis quadrangularibus, convexis, angulis productis, cornutis, obtusis; lateribus concavis; structura granulosa; granulis 4 $\frac{1}{2}$ in 10 mm., in lineas radiantes ordinatis; centro laeve. — Altitudo 75 mm.; long. lateris 55 $\frac{1}{2}$ mm.

Ananino.

Var. **validior** tab. 21, fig. 327. — Angulis crassioribus minus productis, obtusioribus subrotundatis; granulis 5—6 in 10 mm.; crassioribus papillosis; ad centrum cum nonnullis setis. — Altitudo 31 mm.; long. lateris 38 mm.

Ananino.

Triceratium condecorum E. Monatsber. Berlin 1844, pg. 272; Bright. M. J. 1853, pg. 250, tab. 4, fig. 12; A. Schm. Atlas tab. 76, fig. 27; Pant. Foss. Bae. Ung. I, pg. 52, tab. 16, fig. 146.

Nagy-Kürtös.

Var. **neogradensis** Grun. in Pant. Foss. Bae. Ung. I, pg. 52, tab. 27, fig. 256.

Nagy-Kürtös.

Triceratium cūculatum n. s. tab. 14, fig. 251; tab. 22, fig. 333. — Valvis convexis, triangularibus, late-marginatis, angulis obtusis subrotundatis, cornutis; lateribus subrectis parum convexis; structura granulosa, granulis papillosis 6 in 10 mm., in lineas radiantes dispositis. — Altitudo valvae 92 mm.; long. lateris 100 mm.

Kusnetzk.

Var. **disseminato-punctata** tab. 14, fig. 249. — Minor; granulis papillosis disseminatis; centro nudo. — Altitudo valvae 67 mm.; long. lateris 75 mm.

Kusnetzk.

Var. **latior** tab. 22, fig. 336. — Validior; granulis in lineas subradiantes dispositis; cum setulis parvis intermixtis, centro nudo. — Altitudo valvae 127 $\frac{1}{2}$ mm.; long. lateris 139 mm.

Kusnetzk.

Triceratium curvato-vittatum A. Schm. Atlas tab. 95, fig. 22—26.

Ananino.

Triceratium Debesii n. s. tab. 9; fig. 300. — Triangularis, convexa, lateribus concavis, angulis productis crassis, rotundatis; stramineis granulosis; structura granulosa, granulis papillosis disseminatis; centro subnudo. — Altitudo valvae 82 $\frac{1}{2}$ mm.; long. lateris 99 mm.

Kusnetzk.

Triceratium? deformatum n. s. tab. 28, fig. 397. — Valvis triangularibus convexis; lateribus rectis late et elevato-inmarginatis; angulis acutis muricatis, productis; structura granulosa-sutulosa, granulis disseminatis. — Altitudo valvae 100 $\frac{1}{2}$ mm.; long. lateris 114 mm. — Melius ad Trinacrias enumorandum.

Kusnetzk.

Triceratium Dutertrei Pant. et Temp. n. s. Valvis quadrangularibus robustis, polygonae elevatis, late marginatis, arcuate-septatis; lateribus gibbosis; angulis rotundatis, cornutis, cornua valida; structura setuloso-granulata, granulis validis papillosis 2 in 10 mm., in lineas radiantes dispositis; septis marginalibus validis, abbreviatis arcuatis. — Altitudo valvae 151 $\frac{1}{2}$ mmm.; long. lateris 138 mmm.; lat. marginis 4 $\frac{1}{2}$ mmm.

Kusnetzk.

Triceratium elevatum n. s. tab. 22, fig. 334. — Frustulis triangularibus, a latere visis rectis, elevatis; angulis rotundatis, stromatibus crassis subtilissime punctatis; structura granulosa, granulis disseminatis. — Altitudo frustulae 180 μ ; lat. 28 μ .

Nagy-Kürtös, Szakal.

Triceratium exornatum Grev. T. M. S. 1865, pg. 9, tab. 2, fig. 25; O. Witt Simb. pg. 33, tab. 12, fig. 6; A. Schm. Atlas tab. 112, fig. 1, 2.

Ananino.

Var. **aninensis** n. v. tab. 22, fig. 330. — Recedit a specie, stromatibus minoribus, granulis densioribus 3—4 in 10 mmm., in lineas radiantes dispositis. — Altitudo valvae 102 mmm.; long. lateris 118 $\frac{1}{2}$ mmm.

Ananino.

Var. **robusta** O. W. in A. Schm. Atlas tab. 112, fig. 3.

Ananino.

Var. **simbirskiana** n. v. tab. 23, fig. 343. — Stromatibus validioribus, granulis ad centrum sparsis, disseminatis, margine latiore. — Altitudo valvae 115 $\frac{1}{2}$ mmm.; long. lateris 130 $\frac{1}{2}$ mmm.

Ananino.

Triceratium fasciatum n. s. tab. 21, fig. 317. — Triangularis, convexa, late marginata; angulis rotundatis, lateribus gibbosis, a dissepimentis crassis arcuatis divisis; structura setoso-granulosa, granulis papillosis disseminatis. — Altitudo valvae 69 mmm.; long. lateris 74 mmm.; lat. marginis 3 mmm.

Kusnetzk.

Triceratium Favus Ehrbg. Abh. 1839, tab. 4, fig. 10; Amerika tab. III. 7, fig. 10; Mikrogeol. tab. 19, fig. 17; Kg. Bac. pg. 139, tab. 18, fig. 11; W. Sm. Br. Diat. I. pg. 26, tab. 5, fig. 44; tab. 30, fig. 44; A. Schm. Atlas tab. 82, fig. 13, 14; Pritch. Inf. pg. 855, tab. 11, fig. 43; Janisch Guano pg. 15, tab. I. B, fig. 9; Janisch et Rab. Honduras pg. 14, tab. 3, fig. 10; Van H. Synops. tab. 107, fig. 1—4.

Nagy-Kürtös.

Triceratium fenestratum O. Witt Simbirsk pg. 33, tab. 10, fig. 10; A. Schm. Atlas tab. 95, fig. 21, tab. 112, fig. 5, 6.

Ananino.

Triceratium Flos E. Monatsb. 1855, pg. 301; O. Witt Simbirsk pg. 33, tab. 9, fig. 13; **Triceratium reticulum** Weisse (nec. E.) Simbirsk tab. 1, fig. 18; **Triceratium undulatum** Weisse (nec. E.) I. c. tab. 1, fig. 19; Biddulphia Flos Grun. Franz. Jos. L. Diat. pg. 59, tab. 2 B, fig. 19, tab. 5 E, fig. 59.

Ananino.

Var. **intermedia** Grun. in A. Schm. Atlas tab. 95, fig. 33, 34.

Ananino.

Triceratium (muricatum Brightw. var.?) fossile Grun. in Pant. Foss. Bac. Ung. I, pg. 52, tab. 26, fig. 240.

Nagy-Kürtös.

Triceratium grande Bright? forma **pentagona** Pant. Foss. Bac. Ung. I, pg. 52, tab. 4, fig. 33.

Nagy-Kürtös.

Triceratium Grovei Pant. Foss. Bac. Ung. I, pg. 52, tab. 22, fig. 196.

Nagy-Kürtös.

Triceratium Heibergii Grun. in Van H. Synops. tab. 112, fig. 9—11; O. W. Simb. pg. 33, tab. 11, fig. 3.

Ananino.

Triceratium horridum n. s. — Valvis triangularibus convexis; lateribus rectis; angulis rotundatis cornutis; cornua robusta truncata, granulata; structura granuloso-hispida, granulis 8 in 10 μ . in lineas spiraliter tortas dispositis, spinulis intermixtis robustis. — Altitudo valvae 160 μ .; long. lateris 480 μ .

Bory.

Forma **quadrigona** tab. 25, fig. 368. — Valvis quadrangularibus ad medium valvae cruciforme elevatis. — Altitudo valvae 143 μ .; long. lateris $109\frac{1}{2}$ μ .

Bory.

Triceratium hystric n. s. tab. 13, fig. 237. — Valvis triangularibus, convexis, late marginatis; angulis obtusis, cornutis; lateribus arcuatis; structura hispida; spinulis subradianibus ad centrum sparsissimis. — Altitudo valvae 71 mmm.; long. lateris 78 mmm.; latitudo marginis 3 mmm.

Kusnetzk.

Triceratium idoneum n. s. tab. 24, fig. 357. — Valvis triangularibus convexis; lateribus leniter concavis; angulis rotundatis, cornutis; structura granulosa; granulis papillosis 4—5 in 10 mmm.; in lineas radiantes dispositis; margine 3 mmm. lato, quasi squamato. — Altitudo valvae $58\frac{1}{2}$ mmm.; long. lateris $64\frac{1}{2}$ mmm.

Kusnetzk.

Triceratium junetum A. Schm. var. **fossilis** n. v. — Valvis 4—5 gonis, convexis, robustis, late-marginatis; lateribus concavis; angulis productis robustis, rotundatis, cornutis; structura squamoso-granulosa; granulis 3—4 in 10 μ . papillosis, in lineas radiantes ordinatis. Valva ad cornua cum lineis atris prominentibus notata, quae figuram 4—5 gonam constituunt. — Altitudo valvae $135\text{--}151\frac{1}{2}$ μ .; long. lateris $88\text{--}102\frac{1}{2}$ μ .; lat. marginis $4\frac{1}{2}$ μ .

Bory.

Triceratium Kidstonii n. s. tab. 24, fig. 359. — Triangularis, convexa, late-marginata; lateribus undulatis; gonis productis obtusis, a centro elevato, vittis latis, separatis; structura punctata, punctis 10 in 10 mmm. in lineas radiantes dispositis. — Altitudo valvae $20\frac{1}{2}$ — 21 mmm.; long. lateris $24\text{--}25$ mmm.

Ananino.

Triceratium Kinkerianum O. Witt Simbirsck pg. 33, tab. 8, fig. 10; A. Schm. Atlas tab. 95, fig. 45, 47, 48.

Ananino

Triceratium Kusnetzkianum n. s. tab. 6, fig. 116. — Valvis quadrigonis, robustis, convexis, late-marginatis; angulis parum productis, rotundatis, cornutis; cornibus robustis, truncatis; lateribus undulato-convexis; structura granuloso-hispida; granulis 2 in 10 mmm.,

papillosis, in lineas radiantes dispositis. — Altitudo valvae 113 mmm.; long. lateris 86 mmm.; lat. marginis 2 mmm.

Kusnetzk.

Triceratium (antillarum Clev. var.?) **laetum** Pant. Foss. Bac. Ung. I, pg. 52, tab. 22, fig. 200.

Bory, Bremia.

Triceratium Lahusenii n. s. tab. 7, fig. 124. — Valvis triangularibus robustis, convexis; lateribus convexis, cum septis brevibus arcuatis notatis; angulis subcapitatis, cornutis; cornubus robustis truncatis; structura granulosa, ad centrum cum corona spinularum; granulis 2 in 10 mmm., papillosis, in lineas arcuato-radiosas dispositis. — Altitudo valvae 142 $\frac{1}{2}$ mmm.; long. lateris 143 mmm.; lat. marginis 3 mmm.

Kusnetzk.

Triceratium lanceolatum n. s. — Valvis quadrigonis, convexis, lateribus concavis, angulis lanceolato-productis, structura granulosa, granulis tantum ad angula in lineas subrectas dispositis, caeterum valva tantum nonnullis granulis disseminatis notata. — Altitudo valvae inter cornua 106 $\frac{1}{2}$ mmm.; long. lateris 75 mmm.

Kusnetzk.

Triceratium latum Grev. T. M. S. 1865, pg. 102, tab. 9, fig. 20; A. Schm. Atlas tab. 77, fig. 38; Pant. Foss. Bac. Ung. I, pg. 53, tab. 23, fig. 210.

Nagy-Kürtös.

Triceratium (pentacerinus Wall. var.?) **Lóczyi** n. s. tab. 19, fig. 302. — Valvis 4—5 gonis, robustis convexis late-marginatis; lateribus concavis; angulis productis, rotundatis, cornutis; cornubus robustis, truncatis; structura cellulosa; cellulis 4—5 in 10 μ . papillosis subquadrangularibus, in lineas radiantes subconfluentes ordinatis. — Altitudo valvae 84—85 μ ; long. lateris 64—65 μ ; lat. lateris 3 $\frac{1}{2}$ μ .

Bory, Bremia.

Var. **confluens** tab. 23, fig. 232. — Cellulis magnis deformatis confluentibus, a portione centrali vitta circulari nuda interruptis. — Altitudo valvae 80 μ ; long. lateris 61 $\frac{1}{2}$ μ .

Bremia.

Triceratium lucidum Pant. Foss. Bac. Ung. I, pg. 53, tab. 5, fig. 41. *Nagy-Kürtös.*

Triceratium madagascarens Grun. in Van H. Synops. tab. 108, fig. 8; A. Schm. Atlas, tab. 81, fig. 8.

Nagy-Kürtös.

Triceratium Mereškovskii n. s. tab. 27, fig. 395. — Valvis triangularibus, robustis, late-marginatis; lateribus concavis, angulis productis, rotundatis, capitatis cum stromatibus punctatis ornatis; structura granulosa; granulis tantum in angulis disseminate dispositis. — Altitudo valvae 109 $\frac{1}{2}$ mmm.; long. lateris 147 mmm.; lat. marginis 3 mmm.

Kusnetzk.

Triceratium (Fripes Cleve var.?) **microtis** Grun. in Pant. Foss. Bac. Ung. I, pg. 53, tab. 27, fig. 254.

Nagy-Kürtös.

Triceratium Möllerii Pant. Foss. Bac. Ung. I, pg. 53, tab. 6, fig. 47. *Nagy-Kürtös.*

Triceratium mucronatum A. Schm. Atlas tab. III, fig. 4—2.

Ananino.

Triceratium nobile O. Witt Simbirsk pg. 34, tab. 10, fig. 3; tab. 12, fig. 4, 7; A. Schm. Atlas tab. III, fig. 26—29.

Ananino.

Triceratium Pantocsekii A. Schm. Atlas tab. 93, fig. 9; Pant. Foss. Bac. Ung. I, pg. 53, tab. 4, fig. 34.

Nagy-Kürtös.

Forma convexa Pant. I, c. pg. 54, tab. 5, fig. 40.

Nagy-Kürtös.

Triceratium Pethői n. s. — Valvis quadrangularibus marginatis, convexis; lateribus concavis; angulis productis cornutis; cornubus validis truncatis; structura cellulosa; cellulis 3—3½ in 10 μ. papillois rectangularibus, in lineas radiantes, confluentes, a lineis atris, longitudinibus separatis, ordinatis; centrum elevatum, tantum granulis disseminatis notatum. — Altitudo valvae 135 μ.; long. lateris 100½ μ.

Nagy-Kürtös.

Triceratium Petitii n. s. tab. 22, fig. 328. — Valvis triangularibus, late marginatis, convexis; lateribus parum concavis; angulis profundatis; a centro vittis transversis, obscuris separatis; structura granuloso-hispida; spinulae et granulae disseminate sparse. — Altitudo valvae 82½ mm.; long. lateris 96 mm.

Kusnetzk.

Triceratium Peragalloi n. s. — Valvis subcirculare-triangularibus, convexis, late marginatis; lateribus magis convexis, angulis subacutis cornutis; cornubus validis truncatis; structura punctata; punctis 8 in 10 mm. in lineas arcuate-radiantes dispositis; valvis ad centrum marginem et cornua tantum disseminate punctatis; vel iudicis ad marginem cum septis longioribus et brevioribus nota; — Altitudo valvae 90 mm.; long. lateris 88 mm.; lat. marginis 2 mm.

Kusnetzk.

Triceratium Pileus E. Abh. Berlin 1840, pg. 23; Mikrogeolog tab. 19, fig. 18; A. Schm. Atlas tab. 87, fig. 2, 3, 13—15; — **Triceratium spinosum** Bail. Sill. J. 1843, pg. 139, tab. 3, fig. 12; Pritch. Inf. pg. 1853, tab. 6, fig. 9; **Triceratium armatum** Rop. M. J. 1854, pg. 28, tab. 3, fig. 1; M. J. 1856, pg. 274, tab. 17, fig. 9; **Triceratium seiratum** Wall. M. J. 1858, tab. 12, fig. 1—3; **Triceratium setigerum** Bail. Sm. Contr. 1854, New. Spec. pg. 11, fig. 26.

Bory, Bremia, Nagy-Kürtös.

Var. **robustior** n. v. — Valvis 3—4 angulatis, convexis, marginatis; lateribus, leniter concavis; angulis obtusis, cornutis; cornubus crassis productis; structura spinuloso-granulosa; granulis crassis 5½ in 10 μ. in lineas spiraliter tortas ordinatis. — Altitudo valvae 67½—94½ μ.; long. lateris 67½—76½ μ.

Bory.

Triceratium protractum n. s. tab. 19, fig. 305. — Valvis triangularibus, convexis, marginatis; lateribus concavis; angulis productis obtusis; structura granulosa; granulis papil-

losis 3 in 10 mmm., irregulariter dispositis. — Altitudo valve 74 mmm.; long. lateris 99 mmm.; lat. marginis 3 mmm.

Kusnetzk.

Triceratium radiato-punctatum A. Schm. Atlas tab. 94, fig. 14; Pant. Foss. Bac. Ung. I, pg. 54, tab. 5, fig. 42—43.

Nagy-Kürtös.

Triceratium Rattrayi n. s. tab. 29, fig. 417. — Valvis triangularibus, convexis, late-marginatis; lateribus rectis; margine quasi squamuloso 6 mmm. lato; angulis obtusis cornutis; cornubus crassis elevatis; structura granuloso-hispida; granulis disseminatis, circulariter dispositis. — Altitudo valvae 136 mmm.; long. lateris 159 mmm.

Kusnetzk.

Triceratium renunciatum n. s. tab. 21, fig. 319. — Valvis triangularibus, convexis, late-marginatis; lateribus gibbosis; angulis rotundatis; structura granuloso-setulosa; granulis papillosis disseminatis; centro elevato nudo; margine $4\frac{1}{2}$ mmm. lato, cum granulis protractis, quasi squamoso. — Altitudo valvae 93 mmm.; long. lateris 90 mmm.

Kusnetzk.

Triceratium Rzehakii n. s. — Triangularis, convexa, late marginata, lateribus directis, angulis rotundatis stromatophoris; stromata crassa, rotundata subtilissime punctata; margine squamuloso; structura granulosa; granulis 4 in 10 μ . papillosis, in lineas radiantes ordinatis, confluentibus, et squamas elongatas constituentibus; angulis et lateribus a centro vittis transversis separatis, et sic centrum hexagone elevatum. — Altitudo valvae 69 μ ; long. lateris $88\frac{1}{2}$ μ .

Nagy-Kürtös; et in stratis marinis prope Polau Moraviae.

Triceratium saratovianum n. s. tab. 7, fig. 122. — Valvis triangularibus, convexis, late-marginatis, lateribus leniter arcuato-convexis, in media parte parum inflatis, septis duabus arcuato-conjugatis ornatis; angulis obtusis cornutis; cornubus crassis truncatis; structura granulosa, ad centrum spinulosa; granulis 3—4 in 10 mmm. papillosis, in lineas directas parallelas ordinatis. — Altitudo valvae 130 mmm.; long. lateris 138 mmm.; lat. marginis 2 mmm.

Kusnetzk.

Triceratium sarmaticum n. s. tab. 28, fig. 298. — Valvis triangularibus, convexis, late-marginatis, lateribus leniter concavis; angulis leuiter productis obtusis cornutis; structura granulosa, cum spinulis intermixtis; granulis in lineas radiantes ordinatis $4\frac{1}{2}$ in 10 mmm. — Altitudo valvae 69 mmm.; long. lateris 82 mmm.

Ananino.

Triceratium Semseyi n. s. tab. 23, fig. 339. — Valvis triangularibus convexis, late-marginatis, lateribus leniter convexis; angulis obtusis cornutis; structura granulosa ad centrum elevatum dense-hispida; granulis 4 in 10 mmm.; papillosis, in lineas radiantes dispositis — Altitudo valvae 108 mmm.; long. lateris 111 mmm.; lat. marginis punctata 3 mmm.

Kusnetzk.

Triceratium septum n. s. tab. 14, fig. 246. — Valvis triangularibus, convexis, late-marginatis, lateribus leniter arcuatis cum septis duabus validis directis notatis; angulis obtusis cornutis, cornubus crassis abruptis; structura granulosa, ad centrum disseminate-hispida; granulis 2, 3 in 10 mmm. papillosis, in lineas a cornibus et lateribus ad centrum directe et parallele percurrentes, dispositis. — Altitudo fragmenti 264 mmm.; long. lateris $271\frac{1}{2}$ lat. marginis $4\frac{1}{2}$ mmm.

Kusnetzk.

Triceratium simplicissimum O. Witt Simbirsk pg. 34, tab. 8; fig. 7.-9.

Ananino.

Triceratium Smithii n. s. — Valvis triangularibus, anguste-marginatis, ad centrum triangulariter elevatis; lateribus rectis; angulis rotundatis stromatophoris; stromata punctulata; structura granulosa, ad centrum disseminate-granuloso-hispida; granulis 6 in 10 mmm.; in lineas arcuato-radiantes dispositis. — Altitudo valvae 92 mmm.; long. lateris 103 mmm.; lat. marginis $1\frac{1}{2}$ mmm. — *Habitus* sticto-discoideus.

Kusnetzk.

Triceratium Soleniceros E. var. minor A. Schm. Atlas tab. 96; fig. 9, 10.

Ananino.

Triceratium squamatum n. s. tab. 9, fig. 164. — Valvis triangularibus, marginatis; lateribus leniter arcuatis, cum squamis 1 in 10 mmm., magnis, arcuatis, obliquis, ornatis; angulis rotundatis, stromatophoris; stromata crassa punctulata; structura granuloso-hispida; granulis magnis papillosum 4-5 in 10 mmm. in lineas arcuato-radiantes ordinatis. — Altitudo valvae 190 $\frac{1}{2}$ mmm.; long. lateris 198 mmm.

Kusnetzk.

Triceratium Stockesianum Grev. T. M. S. 1866, pg. 8, tab. 2, fig. 23; Cleve J. Q. M. Cl. 1885, pg. 169, tab. 12, fig. 5; Pant. Foss. Bac. Ung. I, pg. 54, tab. 10, fig. 87.

Nagy-Kürtös.

Var. *moravica* Grun. in A. Schm. Atlas tab. 112, fig. 19.

Nagy-Kürtös.

Triceratium Sturtii Pant. Foss. Bac. Ung. I, pg. 55, tab. 22, fig. 194.

Nagy-Kürtös.

Triceratium subcapitatum n. s. tab. 23, fig. 349. — Valvis triangularibus, convexis, late-marginatis; lateribus concavis; angulis productis subcapitatis; structura granuloso-hispida; granulis 10 in 10 mmm. papillosum, in lineas radiantes ordinatis, ad centrum elevatum dispersis. — Altitudo valvae 67 mmm.; long. lateris 84 mmm.; lat. marginis 3 mmm.

Kusnetzk.

Triceratium suborbicularare n. s. — Valvis suborbicularibus, convexis, tricornutis, late marginatis; lateribus cum margine margaritaceo ornatis; cornubus robustis truncatis punctatis; structura disseminate-granuloso-hispida; granulae papillose 3 in 10 μ . — Altitudo valvae 88 μ ; long. lateris 84 μ , lat. marginis 3 μ .

Nagy-Kürtös.

Triceratium tertiarium n. s. tab. 5, fig. 85. — Valvis triangularibus, convexis, marginatis; lateribus leniter concavis, cum septis abbreviatis arcuatis ornatis; angulis latis, rotundatis, cum stromatibus striolatis notatis; structura celluloso-hispida; cellulae rotundatae, ad marginem punctatae 1-2 in 16 mmm., in lineas radiantes dispositae, centrum elevatum subnudum. — Altitudo valvae 130 mmm.; long. lateris 145 mmm.; lat. marginis 6 mmm.

Ananino.

Triceratium tetragonum n. s. tab. 8, fig. 143. — Valvis quadrigonis, convexis, late-marginatis; lateribus concavis; angulis rotundatis, cornutis; structura granuloso-hispida; granulis 2 in 10 mmm., in lineas irregulares, radiantes dispositis. — Altitudo valvae 83 $\frac{1}{2}$ -88 $\frac{1}{2}$ mmm.; long. lateris 61 $\frac{1}{2}$ -66 $\frac{1}{2}$ mmm.; lat. marginis 3 mmm.

Kusnetzk.

Triceratium Thumii A. Schm. Atlas tab. 93, fig. 2; Pant. Foss. Bac. Ung. I, pg. 55, tab. 5, fig. 39.

Nagy-Kürtös.

Triceratium triascium n. s. Válvis triangularibus, convexis; lateribus rectis; angulis latiis, rotundatis; structura granulosa; granulis 6 in 10 mmm., papillosois, in lineas arcuato-radiantes ordinatis, ad centrum subnudum cum nonnullis spinulis. — Altitudo valvae 74 mmm.; long. lateris 86 mmm.

Kusnetzk.

Triceratium trisulcum Baily, in Pritch. Inf. pg. 854, tab. 8, fig. 24; A. Schm. Atlas tab. 78, fig. 5—8; tab. 412, fig. 17, 18.

Nagy-Kürtös.

Var. *hungarica* Pant. Foss. Bac. Ung. I, pg. 54, tab. 10, fig. 91.

Nagy-Kürtös.

Triceratium Truani n. s. tab. 48, fig. 296. — Válvis triangularibus convexis; lateribus concavis; angulis productis crassis, late rotundatis, a centro elevato vitta transversa nuda separatis; stromatibus crassis granulosis, granulis papillosois, in lineas obliquas dispositis; centrum elevatum cum granulis papillosois disseminatis, et lineis atris dichotomis ornatum. — Altitudo valvae 124½ mmm.; long. lateris 153½ mmm.; lat. anguli 51 mmm.

Kusnetzk.

Triceratium undatum n. s. tab. 19, fig. 299. — Válvis triangularibus convexis, latermarginatis; lateribus concavis ad medium leniter gibbosis; angulis crassis rotundatis, cornutis; cornubus crassis, truncatis; structura disseminate-hispido-granulosa. — Altitudo valvae 127½ mmm.; long. lateris 147 mmm.

Kusnetzk.

Triceratium undosum n. s. tab. 19, fig. 304. — Válvis triangularibus convexis, latermarginatis; lateribus undulatis; angulis parum productis subcapitatis, a centro septis transversis, nudis uti in *Hydroseris* separatis; structura disseminate-granuloso-hispida. — Altitudo valvae 82½ mmm.; long. lateris 93 mmm.

Kusnetzk.

Triceratium undulatum E. Berlin 1840, pg. 273; Bright. M. J. 1853, pg. 250; tab. 4, fig. 13; Van H. Synops. tab. 146, fig. 7; Pant. Foss. Bac. Ung. I, pg. 55, tab. 18, fig. 164. — *Ditylum*.

Nagy-Kürtös.

Triceratium ventriculosum A. Schm. Atlas tab. 141, fig. 3—7.

Ananino.

Triceratium venustum O. W. Simb. pg. 34, tab. 8, fig. 8. A. S. Atlas tab. 95, fig. 7—10. *Ananino.*

Triceratium vittatum n. s. tab. 21, fig. 318. — Triangularis, convexa, late-marginata, in angulis bivittata et cum centro elevato nudis. — Lateribus leniter concavis, ad marginem subtile punctatis, angulis attenuatis, obtusis cornutis; structura granulosa; granulis 8 in 10 mmm. in lineas radiantes dispositis; vittis angularibus arcuato-transversis 5 mmm. lati Altitudo valvae 47 mmm.; long. lateris 55 mmm.; latitudo marginis 2½ mmm.

Ananino.

Triceratium Weisseianum n. s. tab. 28, fig. 406. — Válvis triangularibus convexis, late-marginatis; lateribus leniter concavis, ad marginem cum granulis elongatis papillosois; angulis rotundatis; structura-granuloso-spinulosa; granulis 1—2 in 10 mmm. magnis, papillosois, in lineas subcirculares dispositis; centro elevato subnudo. — Altitudo valvae 141½ mmm.; long. lateris 157½ mmm.

Kusnetzk.

Triceratium Weissii Grun. in O. W. Simbirsk pg. 34, tab. 7, fig. 9, tab. 12, fig. 3; A. Schm. Atlas tab. 95, fig. 2—6, 11—12.

Ananino.

Triceratium Wittii Janisch in A. Schm. Atlas tab. 126, fig. 2. — **Triceratium Pantocsekii** Pant. (nec. A. Schm.) forma pentagona in Pant. Föss. Bác. Ung. I, pg. 54, tab. 4, fig. 36.

Nagy-Kürtös.

Forma **hexagona** Pant. — **Triceratium Pantocsekii** Pant. (nec. A. Schm.) forma hexagona loc. cit. pg. 54, tab. 4, fig. 37.

Nagy-Kürtös.

ENTOGONIA GREV.

Entogonia saratoviana n. s. tab. 6, fig. 105. — Valvis triangularibus, convexis, late-marginatis; lateribus parum convexis, cum squamis perlóngis arcuatis ad centrum elevatum percurrentibus ornatis; angulis rotundatis, cum stromatibus robustis punctatis ornatis; struc-tura granulosa; granulis 5 in 10 mmm. in lineas arcuato-radiantes dispositis. — Altitudo valvae 79 mmm.; long. lateris 85 mmm.; lat. marginis 5 mmm.; squamis 1 in 10 mmm.

Kusnetzk.

Entogonia Truanii n. s. tab. 13, fig. 223. — Valvis triangularibus, convexis, marginatis; lateribus directis late-squamatis, squamis 1 in 10 mmm., $2\frac{1}{2}$ mmm, altis arcuatis, brevioribus; angulis rotundatis; stromatibus subcapitatis, elevatis, robustis, punctatis; struc-tura granulosa; granulis 2—3 in 10 mmm. papillosis, in lineas arcuato-subradiantes ordinatis; centro subnudo. — Altitudo 124 $\frac{1}{2}$ mmm.; long. lateris 135 mmm.

Kusnetzk.

Entogonia Tchernovii n. s. tab. 2, fig. 24. — Valvis triangularibus, convexis, late-marginatis; lateribus leuiter convexis, squamatis, squamis 1— $1\frac{1}{2}$ in 10 mmm., brevioribus, arcuatis; angulis rotundatis; stromatibus validis, crassis, elevatis, capitatis; struc-tura cellulo-sa; cellulis 2—3 in 10 mmm. rotundis, papillosis in lineas perpulchre arcuato-radiantes ordinatis. — Altitudo valvae 210 mmm.; long. lateris 232 $\frac{1}{2}$ mmm.; lat. marginis 4 $\frac{1}{2}$ mmm.

Kusnetzk.

FAMILIA AULACODISCEAE.

CERATAULUS E.

Cerataulus boryanus n. s. — Valva subcircularis convexa, late-margi-nata; cornubus duobus dilatatis magnis; struc-tura punctata cum intermix-tis spinulis et duabus setis validis; punctis 11 in 10 μ . in lineas tortas dis-positis ad marginem in striolas radiantes transientibus et sic margo striolato-spinulosus. — Diamet. major valvae 80 μ .

Bory.

Cerataulus (Thunii A. Schm. var.?) **hungaricus** n. s. tab. 26, fig. 375. — Valvis subcircularibus convexis late-marginatis, cum duobus cornubus validis convexis disseminate-maculatis; struc-tura punctata; punctis 16 in 10 μ , in centro majoribus disseminatis; caeterum in lineis arcuato-radiantibus dis-positis; marge striolato, striis 16 in 10 μ . — Diamet. major 80 μ , minor 77 μ ; lat. marginis 4 μ .

Nagy-Kürtös.

Cerataulus Johnsonianus (Grev.) Cleve J. Q. M. C. 1885, pg. 171; A. Schm. Atlas tab. 115, fig. 15. — *Biddulphia Johnsoniana* Grev. T. M. S. 1866, pg. 6, tab. 2, fig. 14—15.

Nagy-Kürtös.

Cerataulus Kinkerii A. Schm. Atlas tab. 115, fig. 9.

Nagy-Kürtös.

Cerataulus polymorphus (Kg.) Grun. in Van H. Synops. tab. 104, fig. 3—4 etc. — *Ondontella polymorpha* Kg. Bae. pg. 138, tab. 29, fig. 90.

Nagy-Kürtös.

Cerataulus Thumii A. Schm. Atlas tab. 115, fig. 1. — *Valvis suborbicularibus convexis late marginatis, cornubus magnis validis; structura striosa; margine striolato* $7\frac{1}{2}$ μ . *lato.* — *Diamet.* 180 μ .

Kékkő, Nagy-Kürtös, Szent-Péter.

Cerataulus turgidus E. Monatsb. 1843, pg. 271; Pritch. Inf. pg. 846, tab. 6, fig. 9; Van H. Synops. tab. 104, fig. 1—2; A. Schm. Atlas tab. 115, fig. 12—14, tab. 116, fig. 1—3; — *Biddulphia turgida* W. Sm. Br. D. H. pg. 50, tab. 62, fig. 384.

Bory, Nagy-Kürtös.

Var. **hispidissima** n. s. — *Valvis ellipticis, convexis, late-marginatis, cum cornubus duobus validis; structura punctata cum spinulis per totam valvam intermixta et setis crassis tribus ad cornua sitis; punctis in lineas arcuatas dispositis.* 10—12 in 10 μ ; *margine striolato-spinuloso; striis* 10—12 in 10 μ . — *Diamet. major* 165 μ , *minor* 95 μ ; *lat. marginis* $4\frac{1}{2}$ μ .

Bory.

PSEUDOCERATAULUS NOV. GEN.

Valvis ellipticis vel rotundatis, cornibus injinis, elevatis, vel tantum volvis, inconspicue notatis. Structura hispidula, punctata, rare setosa.

Pseudocerataulus Kinkerii n. s. tab. 30; fig. 426. *Auliscus apedatus* Rattr. in J. Q. M. C. 1889, pg. 40; tab. 4, fig. 2. — *Valvis rotundatis convexis, late-marginatis, margine striolato* 2 *mmm.* *lato;* *cornubus tantum volvis arcuatis punctatis notatis;* *structura punctata, punctis in lineas arcuate-radiantes ordinatis, centrum elevatum punctis disseminatis tectum.* — *Diamet. major* 104 *mmm.*; *minor* 102 *mmm.*; *latitudo volvarum* 35 *mmm.*; *striolae marginales* 18 in 10 *mmm.*

Kusnétzk.

Pseudocerataulus Tempereii n. s. tab. 24; fig. 360. — *Valvis ellipticis, convexis, late marginatis, margine hyalino; cornubus duobus ocelliformibus, vix elevatis, nudis 12 μ . latis;* *structura punctata, punctis subtilissimis, in lineas anastomosante-arcuato-radiantibus, ad centrum cum 4 spinis validis.* *Diam. major* 53—69 μ , *minor* 36—50 μ .

Bory.

AULISCUS E.

Auliscus coelatus Bail. Smiths. Contrib. 1853, pg. 6, fig. 34; Ralfs in Pritch. Inf. pg. 845; Grey, T. M. S. 1863, pg. 44, tab. 2, fig. 4—7; A. S. Atlas tab. 32, fig. 14—15; Leud. Fortm. D. Ceyl. pg. 63, tab. 7, fig. 68;

Pant. Foss. Bac. Ung. I, pg. 55, tab. 19, fig. 173; Rattray Rev. gen. Auliscus pg. 26. — Auliscus Smithii Janisch Guano pg. 163, tab. 2, fig. 9; A. Gregori Janisch loc. cit. tab. 2, fig. 12.

Nagy-Kürtös.

Auliscus confluens Grun. in A. Schm. Atlas Próbétaf. fig. 1; tab. 31, fig. 16, tab. 67, fig. 4; Rattray Rev. of the genus Auliscus pg. 21.

Nagy-Kürtös.

Auliscus Hauckii Pant. Foss. Bac. Ung. I, pg. 56, tab. 80, fig. 304; A. Schm. Atlas tab. 108, fig. 8, 9; Rattray Rev. gen. Auliscus pg. 24.

Bory, Nagy-Kürtös.

Auliscus moronensis Grev. T. M. S. 1864, pg. 83, tab. 11, fig. 6; A. Schm. Atlas tab. 32, fig. 4, tab. 108, fig. 7; Pant. Foss. Bac. Ung. I, pg. 56, tab. 19, fig. 172; Rattray Rev. gen. Auliscus pg. 20.

Nagy-Kürtös.

Auliscus nanus A. Schm. Atlas tab. 32, fig. 27; Rattray Rev. gen. Auliscus pg. 24 *Ananino.*

Auliscus Normanianus Grev. T. M. S. 1864, pg. 82, tab. 11, fig. 11; A. Schm. Atlas tab. 32, fig. 3, tab. 117, fig. 5, tab. 107, fig. 8; Pant. Foss. Bac. Ung. I, pg. 56, tab. 30, fig. 314; Rattray Rev. gen. Auliscus pg. 7.

Nagy-Kürtös.

Auliscus punctatus Bail. Shmths. Contrib. 1853, pg. 5, fig. 9; Grev. Tr. M. S. 1863, pg. 49, tab. 3, fig. 15, 16; Ralfs in Pritch. Inf. pg. 845; A. Schm. Atlas tab. 67, fig. 7—8, tab. 89, fig. 16—17, tab. 108, fig. 10; Rattray Rev. gen. Auliscus pg. 9. — Auliscus pruinosus Pant. (nec. Bail.) Foss. Bac. Ung. I, pg. 56.

Nagy-Kürtös.

Auliscus punctulatus Grun. in A. Schm. Atlas tab. 30, fig. 10; Rattray Rev. gen. Auliscus pg. 6.

Ananino.

Auliscus sculptus Ralfs in Pritch. Inf. pg. 845, tab. 6, fig. 3; Grev. T. M. S. pg. 43, tab. 2, fig. 1—3; Janisch Guano pg. 163, tab. 1, fig. 5; tab. 2, fig. 10; Janisch et Rab. Honduras pg. 5, tab. 3, fig. 9; A. Schm. Atlas tab. 30, fig. 8; tab. 32, fig. 21, 22; Leudg. Förtm. Diat. Ceyl. pg. 62, tab. 7, fig. 66, 67; Van H. Sýnops. tab. 117, fig. 1, 2; Pant. Foss. Bac. Ung. I, pg. 56; Rattray Rev. gen. Auliscus pg. 23. — Aulacodiseus sculptus Bright. M. J. 1860, pg. 95, tab. 5, fig. 5; — Eupodiseus sculptus W. Sm. Br. Diat. I, pg. 25, tab. 4, fig. 42.

Nagy-Kürtös.

Auliscus Stoeckhardtii Janisch Guano pg. 163, tab. 1, fig. 4; A. Schm. Atlas tab. 30, fig. 11—13, tab. 67, fig. 6; Pant. Foss. Bac. I, pg. 57; Rattray Rev. gen. Auliscus pg. 7. — A. racemosus Ralfs T. M. S. 1863, pg. 46, tab. 2, fig. 9; A. constellatus Mills J. R. M. S. 1881, pg. 867, tab. 11, fig. 2—3.

Nagy-Kürtös.

PSEUDOCAULISCUS A. SCHM.

Pseudoauliscus Brunii n. s. — Valvis rotundatis, convexis, late-marginatis; margine a septis distantioribus quasi in loculamenta diviso; ocellis 2, 3, 4, magnis, ellipticis, cum figura striolarum anastomosante-conjunctarum notatis; structura punctata cum intermixtis spinulis, punctis disseminatis. — Diamet. valvae 54—68 mmm.; lat. marginis 3 mmm.

Ananino.

Pseudoauliscus pulvinatus (Cleve) Rattray in Rev. gen. Auliscus pg. 46; — Auliscus pulvinatus Cleve J. Q. M. C. 1885, pg. 171, tab. 12, fig. 9; Pant. Foss. Bac. Ung. I, pg. 56.

Forma **apiculata** Pant. Foss. Bac. Ung. I, pg. 56, tab. 19, fig. 177.

Forma **inermis** Pant. I. c. tab. 19, fig. 174, 175.

Nagy-Kürtös.

Pseudoauliscus Rattrayi n. s. tab. 20, fig. 311. — Pseudoauliscus pulvinatus Rattray in Rev. gen. Auliscus pg. 46; Auliscus pulvinatus Cleve var. ? Grun. in A. Schm. Atlas tab. 125, fig. 17. — Valvis rotundato-ellipticis, convexis, late-marginatis; margine striolato et ad ocellos setis validis tribus notato; ocellis 2, ellipticis magnis; structura punctulata; punctis subtilissimis, in lineas anastomosante-radiantes conjunctis; centro subnudo quasi areolato. — Diamet. major 89 mmm., minor 78 $\frac{1}{2}$ mmm.

Ananino.

Pseudoauliscus Schmidtii n. s. tab. 14, fig. 240. — Auliscus trigemis A. Schm. Atlas tab. 125, fig. 16; Pseudoauliscus trigemis Rattray Rev. gen. Auliscus pg. 45. — Valvis circularibus, convexis, late-marginatis; margine hyalino et cum corona striolarum interna cineto; ocellis 2—3 permagnis ellipticis, cum figura interna striolarum dichotome-conjunctarum ornatis; structura punctata; punctis disseminate dispositis, ad centrum cum 3—4 setis validioribus. — Diamet. valvae 77—107 mmm., ocelli 29 mmm.; lat. marginis 3 mmm.

Ananino.

RATTRAYELLA DE-TONI.

Debya Rattray 1888. in Rev. gen. Auliscus pg. 49. (nec Pantocsek 1886. in Foss. Bac. Ung. I, pg. 65.)

Valva circularis, convexa, cum ocellis marginalibus 3—12 rotundatis et apiculis 1—2 parvis inter ocella dispositis; structura subtilissime punctato-reticulata, punctis in lineas radiantes ordinatis.

Rattrayella oamaruensis (Grun.) De-Toni Notarisia 1889, pg. 691; Debya oamaruensis Rattr. I. c.; Eupodiscus oamaruensis Grun. in Bot. Centralblatt 1887, tom. XXI, pg. 133; *Glyphodiscus scintillans* Grov. et St. in J. Q. M. Cl. 1887, pg. 10; Eupodiscus simbirskianus Grun. Bot. Centralbl. 1887, pg. 135; *Glyphodiscus?* simbirskianus Grun. in A. Schm. Atlas tab. 125, fig. 18—19; *Glyphodiscus?* oamaruensis Grun. in A. Schm. Atlas tab. 125, fig. 20; — A. Schm. Atlas tab. 80, fig. 8 sine nomine. — Diamet. valvae 40—90 mmm.

Ananino.

CRASPEDOPORUS GREV.

Craspedoporus Truanii Pant. Foss. Bac. Ung. I, pg. 60, tab. 11, fig. 92. — Diamet. 180 μ .

Nagy-Kürtös.

Var. **squamosa** Pant. I. c. pg. 60.

Nagy-Kürtös.

AULACODISCUS E.

Aulacodiscus acutus Rattr. Rev. gen. Aulacodiscus pg. 32, J. Q. M. C. 1889, pg. 38, tab. III, fig. 4; tab. nostra 8, fig. 149. — Diamet. valvae 125 mmm., areae 12 mmm.; lat. marginis 3 mmm.; punctis 12 in 10 mmm.; appendiculis acutis et rimis 3, 5.

Ananino.

Aulacodiscus affinis Grun. in A. Schm. Atlas tab. 34, fig. 9—10, tab. 107, fig. 6; Pant. Foss. Bac. Ung. I, pg. 57; Rattray Rev. gen. Aulacodiscus pg. 23 pro part.

Nagy-Kürtös.

Aulacodiscus amoenus Grev. var. **hungarica** Pant. Foss. Bac. Ung. I, pg. 57, tab. 2, fig. 13; Rattray Rev. gen. Aulacodiscus pg. 22.

Nagy-Kürtös.

Aulacodiscus ananinensis n. s. tab. 20, fig. 309. — Valvis rotundis, convexis, granulatis, late-marginatis; margine cum corona punctorum et striolarum cincto; appendiculis minoribus 2, 3, 4, 5 area granulata cinctis; rimis 2, 3, 4, 5, ab areis appendicularibus ortis, ad aream centralem nudam percurrentibus minus distinctis; structura punctata; punctis ad medianam partem valvae majoribus 4¹/₂ in 10 mmm., ad marginem minoribus 8 in 10 mmm. omnibus in lineas radiantes longiores et breviores dispositis. — Diamet. 59—73 mmm.; lat. marginis 3 mmm.; striae et puncta marginalia 16 in 10 mmm.

Ananino.

Aulacodiscus antiquus n. s. tab. 18, fig. 291. — Valvis rotundatis, convexis, late-marginatis; margine striolato; appendiculis 3 minoribus, area nuda dilatata cinctis; rimis 3 ab areis appendicularibus ortis, ad aream centralem nudam percurrentibus distinctis; structura punctata; punctis 8, 9 in 10 mmm., minoribus, in lineas radiantes longiores et breviores ordinatis. — Diamet. 60—70 mmm.; lat. marginis 2 mmm.; striae marginales 16 in 10 mmm.

Ananino.

Aulacodiscus apedicellatus Rattray Rev. gen. Aulacodiscus pg. 13; A. Schm. Atlas tab. 103, fig. 4.

Ananino.

Aulacodiscus Archangelskianus O. W. Simbirsk pg. 18, tab. 6, fig. 11—12; A. Schm. Atlas tab. 101, fig. 7—11; Pant. Foss. Bac. Ung. I, pg. 60, tab. 10, fig. 83; Rattray Rev. gen. Aulacodiscus pg. 20.

Ananino.

Aulacodiscus boryanus n. s. — E. grege A. margaritacei, cum valvis rotundis, convexis, ad marginem hyalinum cum plica elevata circulari notatis, circumvallatis; appendiculis 5 majoribus a margine valde remotis, area nuda dilatata cinctis; rimis 5 ad arem centralem percurrentibus minus distinctis; structura cellulosa; cellulis 3—4 in 10 μ . papillosis ad marginem minoribus, omnibus in lineas radiantes longiores et breviores, ad marginem coiinfluentes ordinatis. — Diamet. 172¹/₂ μ ; lat. marginis 1¹/₂ μ .

Bory.

Aulacodiscus concinnus Kitton in Rattray Rev. gen. Aulacodiscus pg. 38, tab. 5, fig. 4; tab. nostra 6, fig. 111. — Diamet. valvae 100—133 minut.; lat. marginis 1¹/₂ mmm.; cellulæ 6—10 in 10 mmm.

Ananino.

Aulacodiscus cruciatus n. s. tab. 16, fig. 269. — Valvis. rotundis, convexis late-marginatis; margine punctulato-striolato, striolis 22 in 10 mmm.; appendiculis 4 minoribus,

crassis, area nuda cinctis; rimis 4 ad aream centralem circularem rotundam percurrentibus distinctis, ad formam crucis dispositis; structura punctata, punctis 10, 12, 14 in 10 mm. in lineas radiantes ad centrum abbreviatas et longiores et sic figuram nudam formae stellae constituentes ordinatis. — Diamet. valvae 57 mm.; lat. marginis $17\frac{1}{2}$ mm.

Ananino.

Aulaeodiscus Crux E. Monatsb. Ber. 1844, pg. 76; Mikrog. pg. 8, tab. 18, fig. 47; A. Schm. Atlas tab. 33, fig. 3, tab. 124, fig. 1; Eupodiscus erux Kg. Sp. alg. pg. 135.

Kékő, Nagy-Kürtös, Szent-Péter.

Var. **tenua** O. W. Simborsk pg. 19, tab. 6, fig. 10; **Aulacodiscus margaritaceus** Ralfs var. **tenua**, Rattray Rev. gen. **Aulacodiscus** pg. 17. — Probabiliter bona species. — Diamet. valvae 95—100 mm.

Ananino.

Aulacodiscus Darwinii n. s. tab. 15, fig. 254. — Tantum fragmenta vidi. — Valvis subplanis, ad marginem leniter convexe decadentibus, late-marginatis; margine 4 mm. lato, punctato-striolato; appendiculis marginalibus majoribus, crassis, area nuda circumdati; rimis distinctis; structura cellulosá, cellulis 6, 7, 8 in 10 mm.; transverse obliquis, compressis, ad marginem rotundatis, omnibus in lineas radiantes longiores et breviores ordinatis.

Kusnetzk.

Aulacodiscus Debyii Pant. Foss. Bac. Ung. pg. 58, tab. 25, fig. 226; A. margaritaceus Ralfs var. **Debyi** Rattray Rev. gen. **Aulacodiscus** pg. 15.

Nagy-Kürtös.

Aulacodiscus excavatus A. Schm. Atlas tab. 36, fig. 10; Rattray Rev. gen. **Aulacodiscus** pg. 31; — tab. nostra 23, fig. 345. Appendiculi validi 3, 4, 5. — Diamet. valvae 87—165 mm.; striolae marginales 10 in 10 mm.

Ananino.

Aulacodiscus Grunowii Cleve J. Q. M. Cl. 1885, pg. 171, tab. 12; Pant. Foss. Bac. Ung. I, pg. 58, tab. 11, fig. 93, 95; A. Schm. Atlas tab. 107, fig. 1—2; — A. Kinkierianus E. S. Nott. in Walker et Chase N. R. Diat. 1886, pg. 3, tab. 1, fig. 9; Rattray Rev. gen. **Aulacodiscus** pg. 35.

Nagy-Kürtös.

Var. **subsquamosa** Pant. Foss. Bac. Ung. I, pg. 58, tab. I, fig. 3, tab. 12, fig. 100; A. Schm. Atlas tab. 92, fig. 1; Rattray Rev. gen. **Aulacodiscus** pg. 36.

Nagy-Kürtös.

Var. **squamosa** Pant. I. c. pg. 59, tab. 1, fig. 4; Rattray Rev. gen. **Aulacodiscus** pg. 36.

Nagy-Kürtös.

Aulacodiscus Haynaldii n. s. tab. 30, fig. 429. — Tantum fragmenta vidi. — Valva ad marginem circumvallata. Structura cellulosá, cellulae 6 in 10 μ ; polygonae, transverse-compressae, in lineas radiantes, distantes, longiores et breviores dispositae; cellulae ad marginem quasi confluentes, et marginem cum corona dentata ornantes. — Interspacia valvae inter lineas cellularum granulosa.

Nagy-Kürtös.

Aulacodiscus hispidus n. s. tab. 3, fig. 33. — Valvis circularibus; ad marginem cum plicis validis quatuor in figura in quadrangonam repandam confluentibus; plicae ad peripheriam internam hispidissimae; appendiculis 4 robustis; a margine remotioribus, areis majoribus nudis circumdatais; rimis 4 profundis; structura cellulosa; cellulae 6—8 in 10 mmm. ad rimas maximae, in lineas radiantes longiores et breviores et in lineas subspirales dispositae; area centralis nuda parva. — Diamet. 108 mmm.

Ananino.

Aulacodiscus hungaricus Pant. Foss. Bac. Ung. I, pg. 57, tab. 25, fig. 231; A. Schm. Atlas tab. 105, fig. 7; A. angulatus Grev. var. hungarica Rattray Rev. gen. Aulacodiscus pg. 11.

Nagy-Kürtös.

Aulacodiscus hyalinus Pant. Foss. Bac. Ung. I, pg. 58, tab. 1, fig. 5; Rattray Rev. gen. Aulacodiscus pg. 6.

Nagy-Kürtös.

Aulacodiscus hystrix n. s. tab. 16; fig. 273. — Valvis circularibus, crassis; cum plicis 6 repande-confluentibus, figuram hexagonam elevatam constituentibus notatis, marginatis; margine 3 mmm. lato, striolato; striolae 12 in 10 mmm. subtilissime punctatae; appendiculis 6 majoribus, areis nudis, dilatatis cinctis; rimis 6 abbreviatis profundis; area centralis major, nuda, circularis; structura setulosa; setulae 3—4 in 10 mmm. in lineas fortas dispositae, ad centrum radiantes, centripetales; ad plicas arcuatae-ordinatae. — Diamet. valva 112½ mmm.

Ananino.

Aulacodiscus interruptus n. s. tab. 11, fig. 189. — Valvis circularibus, marginatis; margine 7 mmm. lato, exteriori undulato-dentato, inferne costato, costis 6 in 10 mmm.; appendiculis 3 robustis, a margine remotis; rimis profundis, dilatatis, ad centrum circulare nudum percurrentibus; structura cellulosa; cellulae 4 in 10 mmm. in lineas dentate-curvatas dispositis, a margine areis arcuatis 9 mmm. lati separatis, ad marginem tantum nonnullis cellulis notatis, ad appendiculos in lineas arcuate-adscendentis dispositis. — Diamet. valvae 229 mmm.

Kusnetzk.

Aulacodiscus Kellerii n. s. tab. 5, fig. 77, 79. — Valvis circularibus subplanis, marginalis, margine 4—7 mmm. lato, costato et undulato-serrato, costis marginalibus 6—8 in 10 mmm.; appendiculis 3—5, minoribus, marginalibus; rimis 3—5 profundis, dilatatis, ad centrum nudum rotundatum percurrentibus; structura cellulosae; cellulae papillose 4—5 in 10 mmm., in lineas arcuate-tortas ordinatae, a margine annulo hyalino 8½—9 mmm. lato interrupae. — Diamet. 74—120 mmm.

Kusnetzk.

Aulacodiscus Lahusenii O. W. Simbiersk pg. 20; tab. 6, fig. 9; tab. 7, fig. 5; A. S. Atlas tab. 101, fig. 4; Rattray Rev. gen. Aulacodiscus pg. 33.

Ananino.

Var. **marginalis** O. W. I. c. pg. 21; tab. 7, fig. 3. A. Schm. Atlas tab. 101, fig. 5; Rattray I. c. pg. 33.

Ananino.

Var. **partita** n. v. tab. 26, fig. 373. — Valva circularis, in media parte a centro disseminate-celluloso, annulo hyalino 6—10 mmm. lato, separata. Appendiculis submarginalibus 4—5. — Diamet. valvae 79—103½ mmm.

Ananino.

Var. **punctata** O. W. I. c. pg. 20, tab. 7, fig. 4; A. Schm. Atlas tab. 101, fig. 6; Rattray I. c. pg. 33.

Ananino.

Aulacodiscus Ledebourii n. s. — Valvis late-marginalis, margine lato inconspicue-striolato, appendiculis 5, majoribus, areis nudis cinctis; rimis 5 profundis ad centrum nudum

subangulatum percurrentibus, structura punctata, punctis 6—6½ in 10 mm., in lineas radian-tes ordinatis, ad rimis maximis, et hic discus elevato promines. — Diamet. 10½ mm.

Kusnetzk.

Aulacodiscus Lunyacekii Pant. forma **maxima** Pant. Foss. Bac. Ung. I, pg. 59, tab. 2, fig. 9, 10, tab. 25, fig. 225; — *Aulacodiscus* affinis Grun. var. *Lunyacekii* Rattray Rev. gen. *Aulacodiscus* pg. 24.

Forma **minor** Pant. l. c. pg. 59, tab. 1, fig. 2, tab. 25, fig. 229.

Nagy-Kürtös.

Aulacodiscus margaritaceus Ralfs var. **hungarica** n. v. — Circu-laris, convexa, marginata, vallo marginali elevato 7½ µ. lato cincta; margine hyalino; appendiculis 4—6 a margine remotis, robustis, areis nudis cinctis; rimis 4—6 profundis, brevioribus; area centralis parva, nuda; structura cel-lulosa, cellulae 2—3 in 10 µ. subpolygonae, papillosae, in lineas radiantes et spiraliter tortas ordinatae. — Diamet. 273—290 µ.

Nagy-Kürtös.

Aulacodiscus neogradensis Pant. Foss. Bac. Ung. I, pg. 59, tab. 25, fig. 227; *A angulatus* Grev. var. *neogradensis* Rattray Rev. gen. *Aula-codiscus* pg. 11.

Nagy-Kürtös.

Aulacodiscus notabilis n. s. — Valvis circularibus, hyalinis, subpla-nis, late-marginatis; margine punctato, punctis 6 in 10 µ.; plicis marginalibus tenuibus, arcuate-convexis; appendiculis submarginalibus 11, validioribus; rimis brevibus sat profundis; area centralis nuda, dilatata circularis; structura cellulosa, cellulae 3—5½ in 10 µ. ad medium valvae majores ad centrum et marginem decrescentes, hic in lineas confluentes, caeterum in lineas radiantes et circulares ordinatis. — Diamet. valvae 153½ µ.; lat. marginis 4½ µ.

Nagy-Kürtös, Szenk-Péter.

Aulacodiscus probabilis A. Schm. Atlas tab. 36, fig. 13—14, tab. 104, fig. 3—4; O. W. Simbirsk pg. 21, tab. 6, fig. 13—14; Rattray Rev. gen. *Aulacodiscus* pg. 4. — tab. nostra 28, fig. 404. — Appendiculis 3—5; — Diamet. 50—400 mm.

Ananino.

Aulacodiscus quadrans A. Schm. Atlas tab. 35, fig. 10. — tab. nostra 22, fig. 332. — Valvis circularibus late-marginatis; margine striolato; striolis 20 in 10 mm., punctatis; plicis profundis; appendiculis 4—5 majoribus areis nudis cingulatis; rimis 4—5 profundis usque ad centrum circulare nudum percurrentibus; structura cellulosa, cellulae 5—6 in 10 mm. polygonae, in lineas radiantes ordinatae. — Diamet. 78½—141 mm.

Ananino.

Aulacodiscus reticulatus Pant. Foss. Bac. Ung. I, pg. 60, tab. 1, fig. 1; Rattray Rev. gen. *Aulacodiscus* pg. 35.

Nagy-Kürtös.

Aulacodiscus Schmidtii O. Witt Simbirsk pag. 21, tab. 7, fig. 12; A. Schm. Atlas tab. 101, fig. 1—3; Rattray Rév. gén. *Aulacodiscus* pg. 19.

Ananino.

Var **quatuor-radiata** Rattray l. c. pg. 19; — *Aulacodiscus septus* forma *quatuor-radiata* Pant. Foss. Bac. Ung. I, pg. 60 tab. 10 fig. 84.

Ananino.

Aulacodiscus septus A. Schm. Atlas tab. 36, fig. 19—21; O. Witt Simbirsk pg. 22, tab. 7, fig. 11.

Ananino.

Aulacodiscus simbirskianus n. s. tab. 18, fig. 289. — Valvis circularibus subplanis, late-marginatis; margine 3 mmm. lato hyalino corona punctorum cincto; appendiculis 4—5 robustis, rimis 4—5 inconspicuis vel profundis, area centralis nuda major; structura cellulosa; cellulae 6—10 in 10 mmm., ad medium valvae disseminatae, ad marginem in lineas radiantes ordinatis. — Diamet. 74—112½ mmm.

Ananino.

Aulacodiscus Truanii n. s. tab. 4, fig. 61. — Valvis circularibus, centro elevatis, plicatis, late-marginatis; plicis profundis 6, arcuate-repando-confluentibus, margine hyalino, interne striolato 3 mmm. lato, striolis 24 in 10 mmm.; appendiculis 6 areis dilatatis nudis cinctis: rimis profundis 6 ad centrum nudum circulare percurrentibus; structura cellulosa; cellulae 8—10 in 10 mmm., in lineas radiantes, ad appendiculos in lineas arcuate-adscendentis dispositae. — Diamet. valvae 88 mmm.

Ananino.

Aulacodiscus subangulatus Pant. Foss. Bac. Ung. I, pg. 60, tab. 2, fig. 11, tab. 28, fig. 276; A. Schm. Atlas tab. 105, fig. 8; **Aulacodiscus angulatus** var. **neogradensis** Rattray Rev. gen. Aulac. pg. 11.

Nagy-Kürtös.

Aulacodiscus Tschechtovii n. s. — Valvis circularibus 3—4 plicatis, marginatis; margine hyalino, interne cum corona costarum arcuate-confluentium ornato, 4½—6 mmm. lato; plicis profundis arcuate-repandis et sic ad centrum valvae figuram repande 3—4 gonam elevatam constituentibus; appendiculis 3—4 minoribus, a margine remotis, area nuda circumdata; rimis 3—4, profundis, abbreviatis; area centralis dilatata, rotundata, nuda; structura, cellulosa; cellulae 2—3 in 10 mmm. papillosae, confluentes, in lineas radiantes et serrato-tortas ordinatae. — Diamet. 85—216 mmm.

Kusnetzk.

Aulacodiscus tuberculatus n. s. tab. 15, fig. 258. — Valvis circularibus, ad centrum pentagone elevatis, plicatis, late-marginatis; margine hyalino 3 mmm. lato, interne striolato, striolis 16 in 10 mmm.; plicis 5 profundissimis arcuate-repando conjunctis; appendiculis 5 minoribus submarginalibus, areis nudis cinctis; rimis profundis, usque ad aream centralem nudam dilatatam percurrentibus; structura punctata; puncta 5, 6, 8 in 10 in lineas parallelas et subradiantes, ad appendicula in lineas arcuate-ascendentis ordinata, omnibus a spinulis per totam valvam disseminate dispositis interrupta. — Diamet. valvae 216 mmm.

Ananino.

Aulacodiscus Weissflogii n. s. tab. 18, fig. 293. — Valvis circularibus, ad centrum ad formam stellae elevatis, late-marginatis; margine hyalino interne striolato; plicis profundis 7, arcuate repandis; appendiculis 7 submarginalibus minoribus, areis nudis dilatatis cinctis; rimis 7 profundis ad aream centralem dilatatam rotundatam nudam percurrentibus; structura punctata; punctis 4—5 in 10 mmm. in lineas radiantes et parallelas, ad appendiculos in lineas arcuate-adscendentis ordinatis. — Diamet. valvae 225 mmm.

Ananino.

FAMILIA HELIOPELTEAE.

ACTINOPTYCHUS E.

Actinoptychus amblyoceros (E.) A. Schm. Atlas tab. 1, fig. 25; tab. 76, fig. 3, 28; Pant. Foss. Bac. Ung. I, pg. 60, tab. 13, fig. 110; — Trice-

ratum amblyoceros E. Mikrogeol. tab. 18, fig. 51; Tric. marylandicum Bright. M. J. 1856, pg. 275, tab. 17, fig. 17.

Nagy-Kürtös.

Actinoptychus ananinensis n. s. tab. 12, fig. 209. — Valvis rotundata-hexagonis; segmentis 6, tribus primariis elevatis, appendiculatis et rima distineta ad aream centralem dilatatam nudam hexagonam percurrente notatis; tribus secundariis depresso, a segmentis primariis regulis 6 robustis radiantibus separatis; structura obscure-maculosa et punctata, punctis 12—14 in 10 mmm. in lineas rectas et oblique-decussatas dispositis. — Diamet. valvae 116 mmm.

Ananino.

Actinoptychus arculifer A. Schm. Atlas tab. 100, fig. 7—8.

Ananino.

Actinoptychus areolatus (E.) A. Schm. Atlas tab. 1, fig. 9; — Omphalopelta areolata E. Mikrogeol. tab. 35 A, 18, fig. 12, tab. 33, fig. 17; Van H. Synops. tab. 22, fig. 2.

Nagy-Kürtös.

Actinoptychus bifrons A. Schm. Atlas tab. 90, fig. 6; Pant. Foss. Bae. Ung. I, pg. 61, tab. 7, fig. 59.

Nagy-Kürtös.

Actinoptychus boliviensis Janisch in A. Schm. Atlas tab. 1, fig. 23, tab. 29, fig. 9, tab. 109, fig. 13.

Nagy-Kürtös.

Actinoptychus boryanus n. s. tab. 22, fig. 329. — Valvis circularibus late-marginatis cum segmentis 6; segmentis primariis 3 elevatis cum appendiculo parvo et rima inconspicua ad aream centralem nudam dilatatam hexagonam percurrente notatis; segmentis secundariis depresso; structura punctata; punctis 20 in 10 μ , in lineas rectas et oblique-decussatas dispositis, structura ad medium segmentis, a vitta arcuata transversa nigricante interrupta. — Diamet. valvae 36—48 μ .

Bory.

Actinoptychus Clevei A. Schm. Atlas tab. 91, fig. 1.

Nagy-Kürtös.

Actinoptychus dilatatus Pant. Foss. Bae. Ung. I, pg. 61, tab. 13, fig. 112.

Nagy-Kürtös.

Actinoptychus gemminus A. Schm. Atlas tab. 91, fig. 6—7.

Nagy-Kürtös.

Actinoptychus glabratus Grun. in Van H. Synops. tab. 120, fig. 6; — Act. splendens Sh. var. glabrata Pant. Foss. Bae. Ung. I, pg. 63, tab. 16, fig. 138.

Bory, Bremia, Nagy-Kürtös.

Var. andesitica n. v. — Rimis, in segmentis primariis inconspicue obscure maculatis, deficientibus. — Diamet. 82—94 μ ; puncta in lineas oblique-decussatas ordinata 14 in 10 μ .

Bory.

Actinoptychus Gründlerii A. Schm. Atlas tab. 1, fig. 22, tab. 100, fig. 3—4; Pant. Foss. Bac. Ung. I, pg. 61, tab. 12, fig. 106; — tab. nostra 25, fig. 365.

Nagy-Kürtös.

Actinoptychus heterostrophus A. Schm. Atlas tab. 29, fig. 2, tab. 109, fig. 9; O. Witt Simbirsk pg. 16, tab. 8, fig. 4;

Ananino.

Actinoptychus hungaricus Pant. Foss. Bac. Ung. I, pg. 61, tab. 21, fig. 187.

Nagy-Kürtös.

Actinoptychus intermedius A. Schm. Atlas tab. 91, fig. 2;

Nagy-Kürtös.

Actinoptychus Janischii Grun. in Van H. Synops. tab. 122, fig. 6; Pant. Foss. Bac. Ung. I, pg. 61, tab. 16, fig. 143; — Halionyx vicenarius E., Janisch Guanó pg. 10, tab. 1, fig. 2.

Nagy-Kürtös.

Actinoptychus kymatodes Pant. Foss. Bac. Ung. I, pg. 62, tab. 23, fig. 213.

Nagy-Kürtös.

Actinoptychus moronensis (Grev.) Cleve J. Q. M. Cl. 1885, pg. 172; A. Schm. Atlas tab. 132, fig. 23; Omphalopelta moronensis Grev. T. M. S. 1866, pg. 122, tab. 11, fig. 14.

Nagy-Kürtös.

Actinoptychus neogradensis Pant. Foss. Bac. Ung. I, pg. 62, tab. 7, fig. 55.

Nagy-Kürtös.

Actinoptychus Pethöii n. s. — Valvis circularibus, marginatis; margine hyalino, interne striolato 4 μ . lato; segmentis 20, ad regulas hispidas plicatis, cuneiformibus, ad marginem cum duobus poris rotundatis laevibus et appendiculo parvo ornatis; rimis minus distinctis; area centralis rotunda, magna, dilatata, laevis cum plicis 10 nudis notata, asteroidea; structura punctata, punctis 13 in 10 μ , in lineas obliquas, decussatas, dispositis. — Diamet. 163 μ .

Nagy-Kürtös.

Achtnoptychus Petitii n. s. — Valvis circularibus marginatis; segmentis 6, cuneiformibus, primariis 3 elevatis, secundariis 3 depressis, omnibus cum appendiculo minori marginali ornatis; rimis inconspicuis; regulis 6 stri-gulosis, ad polum superiorem area rotundata dilatata nuda; cinctis; ad aream nudam centralem hexagonam pennagnam percurrentibus; structura punctata; punctis 13 in 10 μ , in lineas rectas et oblique decussatas ordinatis. — Diamet. valvae 74—96 μ .

Bory.

Actinoptychus Schmidtii n. s. — Valvis circularibus, marginatis;

margine lato, dilatato; segmentis 6, primariis 3 elevatis cum appendiculo parvo area nuda cincto ornatis, secundariis 3 depresso, a primariis areis latis nudis ad regulas decurrentibus et ad centrum triangulariter confluentibus separatis; regulis 6 validis elevatis, strigulosis, ad aream centralem nudam dilatatam angulatam percurrentibus; structura punctata; punctis 16 in 10 μ . in segmentis primariis in lineas rectas et decussatas, in segmentis secundariis in lineas obliquas decussatas ordinatis. — Diamet. valvae 68—79 μ .

Bory.

Actinoptychus sculptilis A. Schm. Atlas tab. 100, fig. 1! non, fig. 2.

Nagy-Kürtös, Szakal.

Actinoptychus seductilis A. Schm. Atlas tab. 29, fig. 12, tab. 100, fig. 9—11; O. Witt Simbirsk pg. 16, tab. 8, fig. 9.

Ananino.

Actinoptychus Semseyi n. s. — Valvis circularibus, minoribus, marginatis; margine punctato; segmentis 16 cuneiformibus, primariis elevatis, secundariis depresso, in area centrali laevi circulari dilatata productis, omnibus a margine spacio hyalino lato separatis; appendiculis deficientibus; regulis 16 strigulosis, ad polum superiorem cum poro majore laevi ornatis; structura punctata; punctis in lineas obliquas et decussatas ordinatis, ad polum inferiorem plica laevi cuneiformi interruptis. — Diamet. 64 μ .

Nagy-Kürtös.

Actinoptychus simbirskianus A. Schm. Atlas tab. 29, fig. 11, tab. 109, fig. 3—8; O. Witt Simbirsk pg. 17, tab. 8, fig. 2. — tab. nostra 20, fig. 307.

Ananino.

Actinoptychus splendens Shab. in Pritch. Inf. pg. 840; Van H. Synops. tab. 119, fig. 1, 2, 4; Pant. Foss. Bae. Ung. I, pg. 63, tab. 116, fig. 140; — *Halionyx undenarius*, *bisenarius* E.; Janisch Guano tab. 1, fig. 1, tab. 1 A, fig. 6.

Nagy-Kürtös.

Var. **californica** Grun. in Van H. Synops. tab. 120, fig. 1.

Nagy-Kürtös.

Var. **Halionyx** Grun. in Van H. Synops. tab. 119, fig. 3, tab. 120, fig. 2—3.

Nagy-Kürtös.

Var. **nicobarica** Grun. in Van H. Synops. tab. 120, fig. 4.

Nagy-Kürtös.

Actinoptychus Staubii n. s. — Valvis circularibus, subplanis, marginatis; margine $1\frac{1}{2}$ μ . lato, corona dentium ornatus; segmentis 12 cuneiformibus, primariis 6 elevatis, cum appendiculo parvulo et maculis majoribus obscuris notatis, secundariis 6 depresso, ad marginem area transversa nuda, ad polum inferiorem cum plica nuda triquetra segmentum partente et in aream centralem transiente; area centralis dilatata asteroi deanuda; structura punctata, punctis 18—20 in 10 μ . in lineas oblique-decussatas ordinatis. — Diamet. 43—53 μ .

Nagy-Kürtös.

Actinoptychus Stellá A. Schm. Atlas tab. 90; fig. 1—2.

Nagy-Kürtös.

Var. **Thumii** A. Schm. Atlas tab. 90, fig. 3—5; tab. 100, fig. 6; Pant. Foss. Bae. Ung. I, pg. 63, tab. 8; fig. 65.

Nagy-Kürtös.

Actinoptychus Szontághii n. s. tab. 21, fig. 321. — Valvis rotundate-hexagonis, marginatis; margine hyalino; segmentis 6, primariis 3 elevatis cum appendiculo parvo intramarginali et rima totum segmentum ad aream centralem magnam dilatatam hexagonam pereurrente ornatis, secundariis 3 depressis; regulis 6 strigulosis, ad polos superiores in aream intramarginalem transientibus; areis intramarginalibus 6 rotundatis, dilatatis; structura duplice, superiori squamulosa, annulum intramarginalem latum, in segmenta autem reticulum formante, — inferiori punctata, punctis 12—14 in 10 μ . in lineas rectas et oblique-decussatas ordinatis. — Diamet. 174—241 $\frac{1}{2}$ μ ; long. squamatum marginalium 10—15 μ ; lat. 5—7 μ .

Bory.

Var. **minor** — Diamet. valvae 99—129 μ ., punctis densioribus 16 in 10 μ .

Bory.

Actinoptychus Tschestnovii n. s. tab. 17, fig. 283. — Valvis circularibus marginatis, margine hyalino; segmentis 6 cuneiformibus primaris 3 elevatis, cum appendiculo intramarginali spacio nudo cincto, duabus maculis et media parte vitta transversali nuda ornatis, secundariis 3 depressis, media parte cum spacio dilatato disseminate-punctato notatis; regulis 6. strigulosis ad aream centralem rotundatam dilatatam nudam perecurrentibus; structura punctata; punctis 8—10 in 10 mm. in lineas rectas et oblique-decussatas dispositis. — Diamet. 438 mm.

Ananino.

Actinoptychus undulatus (Kg.) Ralfs in Pritch. Inf. pg. 839, tab. 5, fig. 88; A. Schm. N. See Diat. tab. 3, fig. 29, 30; Atlas tab. 1, fig. 1—6; Van H. Synops. tab. 22^{bis}, fig. 14, tab. 122, fig. 1—4; *Actinoptychus biternarius*, *biternatus* E. Mikrog. tab. 18, fig. 20, tab. 35 A, 16, fig. 1 etc.; Janisch Guano pg. 157, tab. I. B, fig. 4; Janisch et Rab. Honduras pg. 3, tab. 3, fig. 12; — *Actinocyclus undulatus* Kg. Bae. pg. 132, tab. 1, fig. 24; Sm. Br. D. I, pg. 25, tab. 5, fig. 43;

Bory, *Brenia*, *Nagy-Kürtös*.

Var. **subtilis** n. v. — Areolae 4 in 10 μ . segmenti reticulati minores quam in specie; structura subtilior, punctis 20 in 10 μ ; margine dentato. — Diamet. 46 $\frac{1}{2}$ —79% μ .

Bory.

Actinoptychus vulgaris Schum. Preuss. Diat. Koenigsb. 1867, pg. 64; Van H. Synops. tab. 121, fig. 7—9.

Nagy-Kürtös.

DEBYA PANT.

Debya insignis Pant. Foss. Bae. Ung. I, pg. 65, tab. 29, fig. 298.

Bory.

PSEUDOTRICERATIUM GRUN.

Pseudotriceratium cinnamomeum (Grev.) Grun. Fr. Jos. L. Diat. pg. 83; Van H. Synops. tab. 126, fig. 1—2; *Triceratium cinnamomeum* Grév. T. M. S. 1863, pg. 232, tab. 10, fig. 12.

Nagy-Kürtös.

ACTINODICTYON NOV. GEN.

Valva circularis, cum segmentis primariis elevatis, et plica dilatata inflata nuda notatis et secundariis depresso cuncto tegumento reticulato testis, ad polum inferiorem cum plica nuda cuneata nuda in centrum nudum transientibus; centrum ob plicas asteroideum.

Actinodictyon antiquorum n. s. tab. 10, fig. 176. — Segmentis 16—18, primariis 8—9, secundariis 8—9. — Diámet. $79\frac{1}{2}$ — $88\frac{1}{2}$ mm.; anárgo hyalino 3 mm., látus.

Ananino.

WITTEA NOV. GEN.

Valvis circularibus, marginatis, cum plicis marginalibus arcuatis et appendiculis notatis. Centrum punctulatum a disco annulo laevi separatum. — Structura flammæa, ad marginem striolata.

Wittia insignis n. s. tab. 7, fig. 128. — Diámet. valvæ $107\frac{1}{2}$ mm.; lat. marginis hyalini 3 mm.; plicis et appendiculis 28.

Ananino.

LEPIDODISCUS O. WITT.

Lepidodiscus elegans O. Witt Simbirsk pg. 27, tab. 7, fig. 6; A. Schm. Atlas tab. 103, fig. 5; Pánt. Foss. Bact. Ung. I, pg. 45, tab. 20, fig. 182.

Ananino.

TSCHESTNOVIA NOV. GEN.

Valvis circularibus, ad marginem cum vallo elevato polygono cinctis, late marginatis; appendiculis mediocribus, cum figura alata cinctis.

Tschestnovia mirabilis n. s. tab. 1, fig. 10. — Marginis hyalino 3—4 mm. lato, appendiculis 5—8; structura ad centrum depresso 5—8 gonum, squamose-flammæa, ad marginem striolata, striolis in lineas decussatas ordinatis. — Diámet. 73—134 mm.

Ananino.

Var. *partita*. — Centrum depresso a vallo vitta nuda lata polygona separatum.

Ananino.

Var. *polygona*. — Valva polygona, margine inter appendiculos media parte exciso. *Ananino.*

FAMILIA ASTEROLAMPRÆAE

ASTEROLAMPRA E.

Asterolampra Marylandica E. Abh. 1844, pg. 16, fig. 10; M. J. 1860, pg. 94, tab. 5, fig. 3; T. M. S. 1860, pg. 47, tab. 2, fig. 13—14, pg. 108, tab. 3, fig. 1—4; T. M. S. 1862, pg. 44, tab. 7, fig. 1—3; Pritch. Inf. pg. 836, tab. 11, fig. 33; — *Asterolampra hexactis* E. Abh. 1873, pg. 148, tab. 9, fig. 1—2.

Börg, Bremia, Nagy-Kürtös.

Var. *fossilis* n. v. — Recedit a specie, structura subtiliori, punctis 25 in 10 μ .

Bory, Nagy-Kürtös.

ASTEROMPHALUS E.

Asteromphalus hungaricus n. s. — Valvis circularibus, umbilicatis, cum septis & centralibus, radio impari, longiori, et rimis & marginalibus notatis; spaciū inter rimas late-cuneatum punctatum, punctis 8 in 10-10 μ , in lineas radientes et spirales ordinatis; septis ramosis ad medium spaciū punctati percurrentibus; rimis abbreviatis dilatatis ad marginem obtusis; radio impari tenui usque ad umbilicum percurrente hic inflato, ad marginem denticulo signato. — Diamet: 40-50 μ .

Bremia.

Asteromphalus moronensis (Grey.) A. Schm. Atlas tab. 38, fig. 24; — *Asterolampra moronensis* Grév. M. J. 1863, pg. 230, tab. 9, fig. 30.

Nagy-Kürtös, Kőkő, Szent-Péter, Szakál.

TRUANIA PANT.

Truania archangelskiana Pant. Foss. Bac. Ung. I, pg. 45, tab. 20, fig. 178; *Ananino.*

FAMILIA ARACHNOIDISCÆ.

ARACHNOIDISCUS DEANE.

Arachnoidiscus Ehrenbergii Bail. in Wilk. Exped. 1838-42, pg. 174, tab. 9, fig. 9; W. Sm. Br. Diat. I, pg. 26, tab. 31, fig. 256; Janisch Guano pg. 158, tab. 24, fig. 3, 11; A. Schm. Atlas tab. 68, fig. 1-4, tab. 73, fig. 1; Pant. Foss. Bac. Ung. I, pg. 69, tab. 19, fig. 169.

Nagy-Kürtös.

Arachnoidiscus indicus Ehrbg. Mikrogeolog. tab. 36, fig. 34; A. Schm. Atlas tab. 68, fig. 6, tab. 73, fig. 2; O. Witt. Smirnysk pg. 17, tab. 8, fig. 4; Pant. Foss. Bac. Ung. I, pg. 69, tab. 19, fig. 171.

Nagy-Kürtös et Ananino.

Arachnoidiscus giganteus n. s. — Valvis circularibus, planis, late-marginatis, margine $7\frac{1}{2}$ mm, lato, septato, septis abbreviatis, longioribus et brevioribus, longioribus dilatatis, radiatis; structura cellulosa, cellulae rotundatae papillœ, ad medium valvae, majores distantiores 1-1 $\frac{1}{2}$ in 10 mm, ad marginem minores et densiores 3-3 $\frac{1}{2}$ in 10 mm, omnes in lineas radiatas et circulares dispositæ; area centralis magna nuda a corona cellularum majorum oblongarum et minorum rotundarum cincta. — Diamet. valvae 216-230 mm.; diamet. areæ centralis 12-15 mm.

Kusnetzk.

Arachnoidiscus ornatus Ehrbg. Pritch. Inf. pg. 842, tab. 15, fig. 18-21; Janisch Guano pg. 159, tab. 3, fig. 3; tab. 1 B, fig. 5; A. Schm. Atlas tab. 73, fig. 4-10; Truan-Witt Jérémie pg. 11, tab. 2, fig. 15; —

Arachnoidiscus nicobarnicus Ehrbg. *Mikrogeol.* tab. 36, fig. 35; *Arachnoidiscus japponicus* Shab; *Hemiptychus ornatus* Ehrbg.

Nagy-Kürtös.

Arachnoidiscus russicus n. s. — Recedit ab *Arachnoid.* indico E. area centrali nuda dilatata, nunquam disseminate-punctata; septis longioribus et brevioribus, radiantibus, ad marginem arcuate-conjunctis, longioribus usque ad aream centralem nudam percurrentibus; cellulis papillosis, majoribus $2-2\frac{1}{2}$ in 10 mmm. ad marginem densioribus 4 in 10 mmm., omnibus tantum in lineas radiantes et circulares dispositis, nunquam disseminatis. — Diamet. valvae $14\frac{1}{2}$ mmm., areae centralis 15 mmm.; lat. marginis $6\frac{1}{2}$ mmm.

Kusnetzk.

STICTODISCUS GREV.

Stictodiscus boryanus n. s. tab. 25, fig. 371. — Valvis rotundis ad centrum maxime elevatis, radiis brevioribus radiantibus; structura cellulosa, cellulis papillosis quadrigonis, ad centrum majoribus distantioribusque, ad marginem densioribus minoribus 5—8 in 10 μ.; Area cantralis dilatata cum corona spinularum et nonnullis maculis nota. — Diamet. valvae $33\frac{1}{2}$ — 34 μ., areae 4 μ.

Bory.

Stictodiscus californicus Grev. *T. M. S.* 1861, pg. 77, tab. 10, fig. 1; *A. Schm. Atlas* tab. 74, fig. 4—5.

Bory, Nagy-Kürtös.

Stictodiscus nankorensis Grun. *St. californicus* Grev. var. *nankorensis* Grun. *Novara* 1868, pg. 103, tab. A, fig. 23; *A. Schm. Atlas* tab. 74, fig. 2—3; *Pant. Foss. Bac. Ung. I*, pg. 68, tab. 6, fig. 49.

Nagy-Kürtös.

Stictodiscus Pantocsekii Tempère n. s. — Valvis rotundato-triangularibus, convexis; ad marginem cum plicis abbreviatis et areis hyalinis arcuatis notatis; structura cellulosa; cellulae papillosae ad centrum maiores ad marginem minores $4-5\frac{1}{2}$ in 10 mmm. in lineas radiantes longiores et abbreviatae dispositae ad centrum disseminatae. — Altitudo 93—100 mmm.; long. lateris 90—97 mmm.

Kusnetzk.

Stictodiscus parallelus (E. Grev.) Pant. forma **trigona** Pant. in *Foss. Bac. Ung. I*, pg. 68; *Triceratium obtusum* E. *Mikrogeol.* tab. 18, fig. 48; *Tric. parallelum* Grev. *T. M. S.* 1865, pg. 104; *A. Schm. Atlas* tab. 75, fig. 11—13, tab. 76, fig. 14—18.

Nagy-Kürtös.

Forma **quadrigona** Pant. loc. cit. pg. 68; tab. 6, fig. 51; — Amphi-tetras parallelala E. *Mikrog.* tab. 19, fig. 20 a-b; *Tric. parallelum* Grev. *T. M. S.* 1865, pg. 104, tab. 9, fig. 22; *A. Schm. Atlas* tab. 75, fig. 3—5.

Nagy-Kürtös.

Stictodiscus Wittii n. s. tab. 14, fig. 242. — Valvis circularibus, marginatis; plicis radiantibus, profundis, nudis, usque ad centrum disseminate-celluloso-punctatum percurrentibus et discum in segmenta cuneiformia ad marginem arcuata partientibus; structura cellulosa, cellulae 4 in 10 mmm. in lineas obliquas dispositae. — Diamet. 79 mmm.; diamet. areae centralis $4\frac{1}{2}$ mmm.; lat. marginis hyalini 2 mmm.

Ananino.

PSEUDOSTICTODISCUS. GRUN.

Pseudostictodiscus angulatus Grun. in A. Schm. Atlas tab. 74, fig. 24—30; O. W. Simbirsk pg. 29, tab. 6, fig. 15; — tab. nōstrā 29, fig. 410.

Ananino.

FAMILIA ACTINOCYLEAE.

ACTINOCYCLUS.

Actinocyclus boryanus n. s. — Discus cum ocello intramarginali, appendiculis minutis marginalibus 9 et radiis ab appendiculis ad centrum subnudum perecurrentibus notatus et sic in segmenta cuneata novem partitus; structura punctata; puncta 10 in 10 μ . ad radios in lineas radiantes, cacterum in lineas parallelas decrescentes ordinata. — Diamet. $30\frac{1}{2}$ μ .

Bory.

Actinocyclus bremianus n. s. tab. 3, fig. 39. — Discus convexus, late-marginatus, margo striolatus, striolis 25 in 10 μ . cum ocello intramarginali, appendiculis marginalibus minoribus 9—15 et radiis cuneiformibus dilatatis, ad centrum cum corona punctorum notatum perecurrentibus, sic in segmenta 9—15 cuneata partitus, et cum figura asteroidea notatus; structura punctata; puncta in lineas radiantes longiores et breviores et in lineas obliquas ordinata, ad centrum majora $7\frac{1}{2}$ —10 in 10 μ . ad marginem minoria et densiora $12\frac{1}{2}$ in 10 μ . — Diamet. 50—52 μ ; lat. marginis $1\frac{1}{2}$ —2 μ .

Bremia.

Actinocyclus disseminatus n. s. tab. 3, fig. 35. — Discus convexus late-marginatus, margo striolatus, striolis 20 in 10 μ ; appendiculis nullis, ocello magno a margine remoto, radiis inconspicuis; centrum circulare nudum dilatatum; structura granulosa, granulis in lineas subspirales ordinatis, ad centrum majoribus $7\frac{1}{2}$ —10 in 10 μ . ad marginem minoribus 12—15 in 10 μ . — Diamet. 40 μ ; lat. marginis $1\frac{1}{2}$ μ .

Bremia.

Actinocyclus Ehrenbergii Ralfs in Pritch. Inf. pg. 834; Van H. Synops. tab. 123, fig. 7.

Bory, Bremia.

Actinocyclus Ralfsii W. Sm. in Pritch. Inf. pg. 835, tab. 5, fig. 84; Van H. Synops. tab. 123, fig. 6; — *Eupodiscus Ralfsii* W. Sm. Br. D. II, pg. 86, *Eupodiscus sparsus* Greg. T. M. S. 1856, pg. 81, tab. 1, fig. 47.

Nagy-Kürtös.

Actinocyclus subtilis (Greg.) Ralfs in Pritch. Inf. pg. 835; Van H. Synops. tab. 124, fig. 7, tab. 125, fig. 9, 11; Pant. Foss. Bae. Ung. I, pg. 66, tab. 14, fig. 124; — *Eupodiscus subtilis* Greg. Diat. of Clyde pg. 501, tab. 29, fig. 50.

Bory.

COSMIODISCUS GREV.

Cosmiodiscus tenuis Grun. in Van H. Synops. tab. 125, fig. 13; — tab. nostra 4, fig. 55.
Kusnetzk.

STEPHANODISCUS E.

Stephanodiscus biharensis n. s. tab. 13, fig. 229 — Valvis rotundis, late-marginatis, subconvexis, margine punctato, punctis in lineas decussatas dispositis; radiis marginalibus abbreviatis; structura punctata, punctis 15 in 10 μ . in lineas radiantes fasciculatas dispositis. — Diamet. $28\frac{1}{2}$ μ .

Kavna.

Stephanodiscus Kanitzii Grun. et Pant. Foss. Bac. Ung. I, pg. 67, tab. 14, fig. 126.

Bory, Bremia.

Stephanodiscus (*Astrea* E. var.?) *matrensis* n. s. tab. 13, fig. 225.
 — *Coscinodiscus subtilis* Neupauer (nec. E.) Åsatag Diatom. tab. 3, fig. 58,
 (4 figurae ad dextram!). — *Valvis* circularibus convexis, late-marginatis;
 margine $1\frac{1}{2}$ —2 μ . lato, punctato, punctis $22\frac{1}{2}$ in 10 μ . in lineas decussatas
 dispositis; radiis dilatatis cuneatis; structura punctata, puncta $12\frac{1}{2}$ in 10 μ .
 in lineas radiantes, fasciculatas disposita. — Diamet. $34\frac{1}{2}$ — $50\frac{1}{2}$ μ .

Gyöngyös-Pata.

Stephanodiscus? minutus n. s. tab. 12, fig. 213. — *Discoideus*, cum margine hyalino $\frac{1}{2}$ μ . lato, radiis inconspicuis et structura subtilissime punctata; punctis 30 in 10 μ . in lineas radiantes ordinatis. — Diamet. 12 μ .

Erdőbénye.

FAMILIA COSCINODISCEAE

ENDICTYA. E.

Endictya boryana n. s tab. 26, fig. 384. — Valvis rotundis, late-mARGINATIS, margine 5 μ . lato elevato hyalino; structura cellulosa, cellulae 3 in 10 μ . papillosae polygonae, in lineas radiantes dispositae. — Diamet. 70 μ .

Bory.

Endictya Lunyacsekii n. s. — Valvis magnis rotundis late-marginalitis; margine 9 μ . lato, elevato cum cellulis elongatis ornato; structura cellulosae, cellulae 4 in 10 μ , polygonae papillosae in lineas excentricas ordinatae. — Diamet. $175\frac{1}{2}$ μ .

Nagy-Kürtös, Kékkő, Szent-Péter, Szakal.

Endictya minor A. Schm. Atlas tab. 69, fig. 14—16.

Nagy-Kürtös:

Endictya oceanica E. Mikrogeo. tab. 35 A, 18, fig. 6-7; Pritch. Inf. pg. 831, tab. 5, fig. 70; Weisse Guano tab. 2, fig. 34; A. Schm. Atlas

tab. 65, fig. 10; — *Orthosira oceanica* Bright. M. J. 1860, pg. 96; tab. 6, fig. 16.

Bory, Nagy-Kürtös.

Endictya Schmidtii n. s. — A. Schm. Atlas tab. 140, fig. 2 sine nomine! — Valvis rotundatis convexis, late-marginatis; margine 9-10 μ lato, elevato crenulato, cum cellulis elongatis distantioribus ornato; structura duplex, superiori subtilissime punctata, puncta in lineas decussatas disposita, inferiori cellulosa, cellulae 3' in 10 μ magnae rotundae papillosoe in lineas radiantes dispositae. — Diamet. $123\frac{1}{2}$ — 124 μ .

Nagy-Kürtös.

BRIGHTWELLIA RALFS.

Brightwellia russica n. s. tab. 27, fig. 389. — Valvis rotundatis, convexis, structura cellulosa, cellulae papillosoe hexagonalae ad medium valvae maxima 6 $\frac{1}{2}$ mm. longae, coronam prominentem constituentes, ad centrum et ad marginem minores 5 in 10 mm. in lineas spirales dispositae. — Diamet. 60—70 mm.

Kusnetzki.

STEPHANOPOXYXIS E.

Stephanopyxis appendiculata E. Monatb. 1855, pg. 302, Mikrogeol. tab. 18, fig. 4; — Pyxidicula appendiculata E. Berl. 1844, pg. 85; Weisse Simborsk tab. 1, fig. 17.

Ananino.

Var. **intermedia** Grun. in A. Schm. Atlas tab. 130, fig. 31.

Ananino.

Var. **parvispina** Grun. in A. Schm. Atlas tab. 130, fig. 24.

Ananino.

Stephanopyxis Corona (E.) Grun. in Van H. Synops. tab. 83^{ter}, fig. 10—11, Fr. Jos. L. Diat. pg. 38 (90); — *Systephania Corona* E. Monatb. 1844, pg. 272, Mikrogeo. tab. 33, 15, fig. 22.

Nagy-Kürtös.

Stephanopyxis delectabilis n. s. tab. 29, fig. 408, 409; — Valvis circularibus convexis maxime elevatis; margine lylalio interne dentato; structura cellulosa cum intermixta hamulis majoribus et minoribus, cellulis rotundatis ad latera confluentibus et sic quasi cristas spurias radiantes constituentibus; centro cum areae nuda dilatata, notho. — Altitudo valvae 37—39 mm.; diamet. valvae 53—59 mm., areae centralis 12 mm., areolae 3 in. 10 mm.

Ananino.

Stephanopyxis ferox (Grey) Ralfs in Pritch. Inf. pg. 826, tab. 5, fig. 75; — Grun. Fr. Jos. L. Diat. pg. 37, (89); — A. Schm. Atlas. tab. 130, fig. 27; — *Creswellia ferox* Grey. M. J. 1859, pg. 166, tab. 8, fig. 16, 17.

Ananino.

Stephanopyxis gyrata n. s. tab. 29, fig. 413; tab. 30, fig. 422; — Valvis rotundis cum margine elevato et centro depresso, vallum ad marginem externum undulatum spinulosum, caelerum nudum, structura ad centrum cellulosa, cellulæ rotundatae, deformae et gyratae confluentes, omnes ad marginem punctulatae. — Diamet. 53 mm.; cellulæ 4 in 10 mm.

Ananino.

Stephanopyxis russica n. s. tab. 27, fig. 391. — Valvis rotundis convexis late-marginatis, margine cum pluribus spinis valvularibus notato; structura cellulosa; cellulae papillosoe 11 $\frac{1}{2}$ in 10 mm. polygonae. — Diamet. valvae 121 mm.

Kusnetzki.

Stephanopyxis Turris (Grev.) Ralfs var. **genuina** Grun. Franz. Jos. L. Diat. pg. 36 (88); Van H. Synops. tab. 83^{ter}, fig. 12; Pritch. Inf. pg. 826, tab. 5, fig. 74; Cresswellia Turris Grev. in Greg. D. of Clyde pg. 64, tab. 14, fig. 109. — Stephanopyxis Niejahrrii E. Berlin 1872, tab. 2, fig. 2.

Nagy-Kürtös.

Var. **cylindrus** Grun. forma **paucispina** Grun. Fr. J. L. D. pg. 35, (87), tab. 5, fig. 7—9. Weisse Simbirsk tab. 1, fig. 16.

Ananino.

Forma **inermis** Grun. Fr. J. L. D. pg. 35, (87), tab. 5, fig. 10—13; — **Dicyopyxis Cylindrus** E. in Weisse Simbirsk tab. 1, fig. 15, (secundum E.) et Mikrog. tab. 33, 13, fig. 8. *Ananino.*

Var. **polaris** Grun. Fr. Jós. L. D. pg. 37, (89), tab. 5, fig. 19, 25. *Ananino.*

PYXIDICULA E.

Pyxidicula cruciata E. Amerika tab. 3, 7, fig. 6; Mikrog. tab. 18, fig. 2; Greg. D. of Clyde pg. 498, tab. 10, fig. 42.

Bory, Bremia, Nagy-Kürtös, Ananino et Kusnetzki.

PORODISCUS GREV.

Porodiscus ovalis Grev. T. M. S. 1863, tab. 4, fig. 5; **Porodiscus oblongus** Grev. l. c. pg. 65; **Craspedodiscus oblongus** Grun. in A. Schm. Atlas tab. 66, fig. 7—9; — tab. nostra 23, fig. 348.

Bory.

COSCINODISCUS E.

RADIATI Grun. Diat. Fr. József-Land pg. 70.

Cosecinodiscus radiatus E. Kreideth. tab. 3, fig. 1 *a-b-c*, Mikrogeol. tab. 39, 3, fig. 17, tab. 35 A, 17 fig. 6 etc.; Nordpol tab. 2, fig. 17; Kützg. Bac. pg. 132, tab. 1, fig. 18; W. Sm. Br. Diat. tab. 3, fig. 37; Pritch. Inf. pg. 830, tab. 11, fig. 39, 40; Janisch Guano pg. 5, tab. I, A, fig. 24; A. Schm. Atlas tab. 60, fig. 9; Nordsee Diat. tab. 3, fig. 34; Grun. Fr. József-Land. Diat. pg. 71, tab. 3, fig. 4, 7.

Bory, Bremia, Nagy-Kürtös.

Forma **heterosticta** Grun. Pant. Foss. Bac. Ung. I, pg. 70, tab. 20, fig. 184.

Nagy-Kürtös.

Var. **subaequalis** Grun. l. c. pg. 72, tab. 3, fig. 3.

Nagy-Kürtös.

Cosecinodiscus marginatus E. Mikrog. tab. 18, fig. 44; A. Schm. Atlas tab. 65, fig. 3—6.

Bory, Bremia, Nagy-Kürtös.

Cosecinodiscus fimbriato-limbatus E. Mikrogeol. tab. 19, fig. 4; A. Schm. Atlas tab. 113, fig. 2.

Nagy-Kürtös.

Cosecinodiscus fimbriatus E. Mikrog. tab. 22, fig. 2; **Cosecinodiscus radiolatus** A. Schm. Atlas tab. 60, fig. 11 (nec. E.); Van Hee Synops. tab. 131, fig. 2.

Nagy-Kürtös.

Cosecinodiscus robustus Grev. T. M. S. 1866, pg. 3, tab. 1, fig. 8; A. Schm. Atlas tab. 62, fig. 5—6; Truan et Witt Jérémie pg. 14, tab. 3, fig. 5.

Nagy-Kürtös.

Cosecinodiscus Argus E. Mikrogeo. tab. 21, fig. 2; A. Schm. Atlas tab. 113, fig. 7; — **Cosecinodiscus Woodwardii** A. Schm. (nec. Eulenst.) tab. 61, fig. 2.

Nagy-Kürtös.

Cosecinodiscus bulliens A. Schm. Atlas tab. 61, fig. 11, 12; Pant. Foss. Bac. Ung. I, pg. 70, tab. 17, fig. 149; — **Castracane** Challeng. pg. 159, tab. 5, fig. 1.

Nagy-Kürtös.

Cosecinodiscus crassus Bail. in Sill. J. 1856, pg. 4; A. Schm. Atlas tab. 61, fig. 19.

Nagy-Kürtös.

Cosecinodiscus bremianus n. s. tab. 13, fig. 226. — **Valvis rotundis**, convexis marginatis; margine striolato; structura cellulosa, cellulæ $3\frac{1}{2}$ in 10 μ . papillosae polygonæ, in lineas subradiantes ordinatae. — **Diamet.** 36 μ .

Bremia.

Cosecinodiscus entoleion Grun. in A. Schm. Atlas tab. 114, fig. 3.

Nagy-Kürtös.

Cosecinodiscus apiculatus E. Mikrogeol. tab. 18, fig. 43; A. Schm. Atlas tab. 64, fig. 5—9; Pant. Foss. Bac. Ung. I, pg. 70, tab. 15, fig. 129.

Nagy-Kürtös.

Cosecinodiscus Weissflogii n. s. tab. 24, fig. 356. — **Valvis** convexis bilivosis, late-marginatis; margine hyalino interne cum corona punctorum cineto 8 μ . lato; structura cellulosa, cellulæ rotundæ $3\frac{1}{2}$ —4—5 in 10 μ . papillosæ, in lineas radiantes et spirales ordinatae, ad centrum cum area parva nuda notatum maxima, ad marginem decrecentes et hie confluentes. — **Diamet.** 190. μ .

Nagy-Kürtös.

Cosecinodiscus Boeckhii n. s. — **Circularis**, late-marginatus convexus, margine subtiliter punctato; structura cellulosa, cellulæ polygonæ papillosæ conjunctæ, ad centrum maxima ad formam stellæ dispositæ, cæterum in lineas radiantes longiores et breviores spiralesque ordinatae. — **Diamet.** valvae 184 $\frac{1}{2}$ —225 μ ; cellulæ $2\frac{1}{2}$ —3 in 10 μ .

Bory.

Cosecinodiscus Oculus-Iridis E. Mikrog. tab. 18, fig. 42, tab. 19, fig. 2; A. S. Atlas tab. 63, fig. 6, 7; tab. 113, fig. 20; Grun. 1. c. pg. 77.

Bory, Bremia, Nagy-Kürtös.

Coscinodiscus asteromphalus E. Mikrog. tab. 18, fig. 45; A. Schm. Atlas tab. 63, fig. 12; Grün. I. c. pg. 78.

Bory, Bremia, Nagy-Kürtös.

Coscinodiscus Debylei n. s. tab. 26, fig. 378. — Valvis rotundis, convexis, marginatis; structura cellulosa, cellulae polygonae conjunctae, papillosae ad centrum semper separatae, omnes ad marginem subtilissime punctatae, in lineas radiantes longiores et breviores spiralesque dispositae. — Diamet. 80—88 μ ; lat. marginis 4 μ ; cellulae 5 in 10 μ .

Bory.

Coscinodiscus moraviensis Grün. in A. Schm. Atlas tab. 114, fig. 2. *Nagy-Kürtös, Kékkő, Szent-Péter, Szakal.*

FASCICULATEI Grün. I. c. pg. 80.

Coscinodiscus actinocyloides Pant. Foss. Bac. Ung. I, pg. 71, tab. 9, fig. 72;

Nagy-Kürtös.

Coscinodiscus Kochii Pant. Foss. Bac. Ung. I, pg. 71, tab. 22, fig. 197; — tab. nostra 29, fig. 412.

Nagy-Kürtös.

Coscinodiscus symbolophorus Grün. Fr. Jos. L. D. pg. 82, tab. 4, fig. 3—6; A. Schm. Atlas tab. 138; fig. 1—3; — Symbolophora spec. E.

Nagy-Kürtös, et Ananino.

Coscinodiscus curvatulus Grün. var. *inermis* Grün. Fr. J. L. D. pg. 82, tab. 4, fig. 11, 12; A. Schm. Atlas tab. 143, fig. 6.

Bory, Nagy-Kürtös.

Coscinodiscus simborskianus Grün. Fr. J. L. D. pg. 81; A. Schm. Atlas tab. 113, fig. 11, 12.

Ananino, Kusnetzk.

Abnormitas *irregularis* Pant. tab. 30, fig. 419. — Distinctus ob centrum nudum circulare dilatatum, tantum nonnullis punctis marginalibus notatum; cellulae 2½—3 in 10 mmm., polygonae, papillosae, conjunctae, in fasciculos et lineas radiantes dispositae. — Diamet. 105 mmm.

Ananino.

Coscinodiscus symmetricus Grév. J. M. S. 1861, pg. 68, tab. 8, fig. 2; — *Coscinodiscus Szontaghii* Pant. Foss. Bac. Ung. I, pg. 72, tab. 15, fig. 133; tab. 28, fig. 278.

Nagy-Kürtös.

ECCENTRICI.

Coscinodiscus eccentricus E. Amerika tab. 3: 7, fig. 5. Mikrogeol. tab. 21; fig. 6; tab. 18, fig. 32; Nordpol tab. 2, fig. 18; Kützg. Bac. pg. 131, tab. 1, fig. 9; W. Sin. Br. D. I. pg. 23, tab. 3, fig. 38; Janisch Guano pg. 4, tab. 14, fig. 7, tab. 1 B, fig. 1; A. Schm. Nordsee Diat. tab. 3, fig. 36—38; Atlas tab. 58, fig. 49; Grün. Fr. Jos. Land. Diat. pg. 84, tab. 4, fig. 7 var.; Van H. Synops. tab. 130, fig. 4, 7, 8.

Nagy-Kürtös.

CLIVOSI.

Cosecinodiscus clivosus Pant. Foss. Bac. Ung. I, pg. 72, tab. 2, fig. 16.
Nagy-Kürtös.

Cosecinodiscus spiraliter-punctatus n. s. tab. 15, fig. 266. — Circulatis cum margine punctulato et plieis concentricis duabus, centro depresso; peripheriam versus cum fascia concentrica laevi; structura punctata, punctis parvis ad marginem majoribus $7\frac{1}{2}$ in 10 μ . ad centrum decrescentibus 12 in 10 μ . omnibus in lineas radientes subspirales ordinatis. — Diamet. 101 μ .

Nagy-Kürtös, Felső-Esztergály.

LINEATI.

Cosecinodiscus lineatus E. Abhandl. 1840, pg. 66, tab. 3, fig. 4; Amerika tab. I, 3, fig. 20 etc.; Mikrogeol. tab. 18, fig. 33 etc.; Nordpol tab. 2, fig. 19; Kützg. Bacill. tab. 1, fig. 10; Janisch Guano pg. 4, tab. 1, fig. 10; A. Schm. Atlas tab. 59, fig. 26—32; Van H. Synops. tab. 131, fig. 3.

Nagy-Kürtös.

Cosecinodiscus Wittianus Pant. — **Cosecinodiscus lineatus** O. Witt (nec. E.) Simbirsk pg. 23, tab. 10, fig. 6; A. Selim. Atlas tab. 144, fig. 13. — Valvis circularibus, convexis, marginalis; margine subtiliter striolato; structura cellulosa, cellulae 3— $3\frac{1}{2}$ in 10 mmm. polygonae papillosoe in lineas rectas et decussatas ordinatae. — Diamet. 98—102 mmm.; lat. marginis 2 mmm.

Ananino.

Cosecinodiscus vigilans A. Schm. Atlas tab. 114, fig. 11, 12.

Ananino.

ELEGANTI.

Cosecinodiscus elegans Grev. T. M. S. 1860, pg. 3, tab. 1, fig. 6; A. Schm. Atlas tab. 58, fig. 7; — Pant. Foss. Bac. Ung. I, pg. 73, tab. 16, fig. 141, tab. 24, fig. 216. — **Cosecinodiscus gemmifer** E. Mikrogeol. tab. 35 A, 22, fig. 3?

Nagy-Kürtös.

Cosecinodiscus Lewisianus Grev. T. M. S. 1866, pg. 78, tab. 8, fig. 8—10; A. Selim. Atlas tab. 66, fig. 12; Pant. Foss. Bac. Ung. I, pg. 73, tab. 25, fig. 232.

Nagy-Kürtös.

Cosecinodiscus nitidus Greg. D. of. Clyde pg. 499, tab. 10, fig. 45; Pritch. Inf. pg. 831, tab. 8, fig. 18; A. Selim. N. See D. tab. 3, fig. 32, Atlas tab. 58; fig. 17—19; Van H. Synops. tab. Suppl. C, fig. 41; Pant. Foss. Bac. Ung. I, pg. 73, tab. 18, fig. 166.

Nagy-Kürtös.

Cosecinodiscus nitidulus Grun. in A. Schm. Atlas tab. 58, fig. 20—21; Van H. Synops. tab. 132, fig. 2; Pant. Foss. Bac. Ung. I, pag. 73, tab. 24, fig. 244.

Nagy-Kürtös.

GESTODISCI.

Cosecinodiscus Stockesianus (Grev.) Grun. — *Cestodiscus Stockesianus* Grev. 1866, pg. 123, tab. 11, fig. 4.

Cosecinodiscus (*Cestodiscus*) **pulchellus** (Grev.) Grun. var. **moravica** Grun. Pant. Foss. Bac. Ung. I, pg. 73, tab. 27, fig. 260.

Nagy-Kürtös.

Cosecinodiscus hungaricus Pant. Foss. Bac. Ung. I, pg. 73, tab. 9, fig. 73.

Nagy-Kürtös.

Cosecinodiscus armatus Pant. Foss. Bac. Ung. I, pg. 74, tab. 10, fig. 90.

Nagy-Kürtös.

Cosecinodiscus Grunowii Pant. Foss. Bac. Ung. I, pg. 74, tab. 9, fig. 74.

Bory.

Cosecinodiscus neogradensis Pant. Foss. Bac. Ung. I, pg. 74, tab. 2, fig. 18.

Nagy-Kürtös.

Cosecinodiscus intumescens Pant. Foss. Bac. Ung. I, pg. 74, tab. 2, fig. 17.

Bory, Bremia, Nagy-Kürtös.

Var. **interrupta** n. s. — *Discus cum fascia concentrica lata laevi intramarginali.*

Bory, Bremia.

Cosecinodiscus undatus (Cleve) Grun. — Pant. Foss. Bac. Ung. I, pg. 74, tab. 10, fig. 89, tab. 27, fig. 252; *Actinocyclus (alienus* Grun. var.?) *undatus* Cleve J. Q. M. Cl. 1885, pg. 174, tab. 13, fig. 14.

Bory, Bremia, Nagy-Kürtös.

HAYNALDIA NOV. GEN.

Valva circularis convexa, cum area centrali rotundata parva nuda et margine lato. Structura striolato-flammea, striolae in lineas radiantes ordinatae.

Haynaldia antiqua n. s. — *Cosecinodiscus strigillatus* O. Witt in A. Schm. Atlas tab. 138, fig. 20. — *Character generis.* — *Diamet. 135 μ.; lat. marginis nudi 3 μ.*

Bory, Élesd.



Index generum.

Pag.		Pag.		Pag.	
A chnanthes	56	Entogonia	97	Pleurosigma	55
Actinocyclus	113	Entopyla	67	Ploaria.	83
Actinodictyon.	110	Epithemia	59	Podosira	80
Actinoptychus	105	Ethmodiscus	81	Porodiscus.	116
Alloeoneis	55	Eunotogramma	82	Pseudoauliscus	100
Amphiprora	55	Fragilaria	65	Pseudocerataulus	98
Amphora	35	Gomphonema	56	Pseudostictodiscus	113
Arachnoidiscus	111	Goniothecium	74	Pseudotriceratium	110
Asterolampra	111	Grammatophora	67	Pyxidicula.	116
Asteromphalus	111	Gyrodiscus	75	Pyxilla	75
Aulacodiscus	101	Haynaldia	120	Rattrayella	100
Auliscus	98	Hemiallus.	82	Raphoneis	62
B erkeleya	55	Himantidium	61	Rhabdonema	68
Biddulphia.	85	Hyalodiscus	80	Rutilaria	74
Brightwellia	115	Hydrosera	82	Salacia	68
Campyloidiscus	70	Isthmia.	81	Scoliopleura	55
Centroporus	80	Keratophora	85	Staurosira	66
Cerataulus	97	Kentrodiscus	75	Stephanodiscus	114
Chaetoceros	74	Ktenodiscus	75	Stephanogonia	76
Cheloniodiscus	85	Lepidodiscus	110	Stephanopyxis	115
Clavicula	65	Mastogloia	41	Stictodiscus	112
Climacosphaenia	67	Mastogonia	75	Surirella	69
Coeconeis	57	Melosira	77	Syndendrium	74
Coscinodiscus	116	Navicula	41	Synedra	64
Cosmiodiscus	114	Nitzschia	71	Terpsinoë	81
Craspedoporus	100	Odontella	87	Triceratium	88
Cymatosira	66	Odontotropis	84	Trinaeria	83
Cymbella	40	Orthoneis	57	Tschestnovia	110
D ebya	109	Pantocsekia	81	Truania.	111
Dicladia	74	Paralia	79	Wittia	110
Dimeregramma	62	Periptera	74	Xanthiopyxis.	76
E ndictya	114	Plagiogramma	61	Zygomeres	84



Corrigenda.

Pagina 9 linea 4, 5 infér. pro Lóczii lege: Lóczyi
 » 11 » 21 » pnblicirle » publicirte.
 » 13 » 9 » Eirma » Firma.
 » 16 post Epithemia subsalsa sequitur: var. validior.
 » 16 linea 9 pro Fragillaria lege: Fragilaria.
 » 20 post Asterolampra Marylandica var. fossilis sequitur: Asteromphalus hungaricus n. s: Bremia et Asteroph. moronensis A. Schm. Bory, Nagy-Kürtös.
 » 21 » Aulacodiscus Lunyacsekii sequitur: Aulac. margaritaceus Ralfs var. hungarica Nagy-Kürtös.
 » 11 pro Auliscus pulvinatus Cleve lege: Pseudoauliscus pulvinatus Rattr.
 » 22 post Cerataulus polyinorphus sequitur: Cerataulus Thunii A. Schm. Nagy-Kürtös.
 » 22 delend. Coccoeis baldjikiána Grun.
 » 23 linea 5 infer. pro boryana lege: boryanum.
 » 24 » 21 pro boryanus n. s. » laevis E.
 » 27 » 7 » var. biseriata Grun. » var. genuina Grun. forma radiolata.
 » 27 » 21 » Pseudoauliscus » Pseudocerataulus.
 » 27 » 1 infer. pro Rutilaria » Rutilaria.
 » 28 » 1 » » » »
 » 29 » 29 » Ditylum » Ditylum.
 » 29 post Triceratium Sturtii sequitur Tric. suborbicularis n. s. Nagy-Kürtös
 » 30 » Aulacodisc. Truanni » Aulac. Tschestnovii n. s. Kusnetzk.
 » 31 » Entogonia Tschestnovii » Ethmodiscus russicus n. s. Kusnetzk.
 » 31 pro Hemiaul. polycystinorum var. siberica Grun. lege: Hemiaul. russicus Pant.
 » 31 post Hyalodisc. nobilis sequitur: H. russicus n. s. Kusnetzk.
 » 31 » Melosira sarmatica » M. Sol. Kg. Ananino, Kusnetzk.
 » 32 linea 8 pro Paralia ornata Grun. lege: Melosira ornata Grun.
 » 34 » 21 delend. Pantocsekia rossica.
 » 35 » 8 pro valve lege: valvae.
 » 35 » 4 infer. » striatis » striatis.
 » 36 » 30 » striolatis » striolatis.
 » 36 » 41 » striatis » striatis.
 » 37 » 5 » valve » valvae.
 » 37 » 15 » medias ubrecta » media subrecta.
 » 38 » 25 » Körtös » Kürtös
 » 38 » 40 » striatis » striatis.
 » 39 » 16 » percurrante » percurrente.
 » 40 » 14 » interrupthis » interruptis.
 » 42 » 14 » obtutis » obtusis.
 » 43 » 21 » hic » hinc.
 » 43 » ultima » valve » valvae.
 » 44 » 5 » valve » valvae.
 » 44 » 23 » polis » polos.
 » 46 » 7 » alternaltim » alternatim.
 » 46 » 18 » rotundatos » rotundatis.
 » 46 » 39 » Nanicula » Navicula
 » 47 » 13 » costatis-arcuato, radiantibus lege: costatis, arcuato-radiantibus.
 » 48 » 9 » valvis lege: valvae.
 » 49 » 2 » alternantim » alternatim.
 » 50 » 5 infer. » vita » vitta.
 » 52 » 9 » Neupaner » Neupauer.
 » 54 » 2 » lanceolata » lanceolata.
 » 54 » 19 » roduntatis » rotundatis.

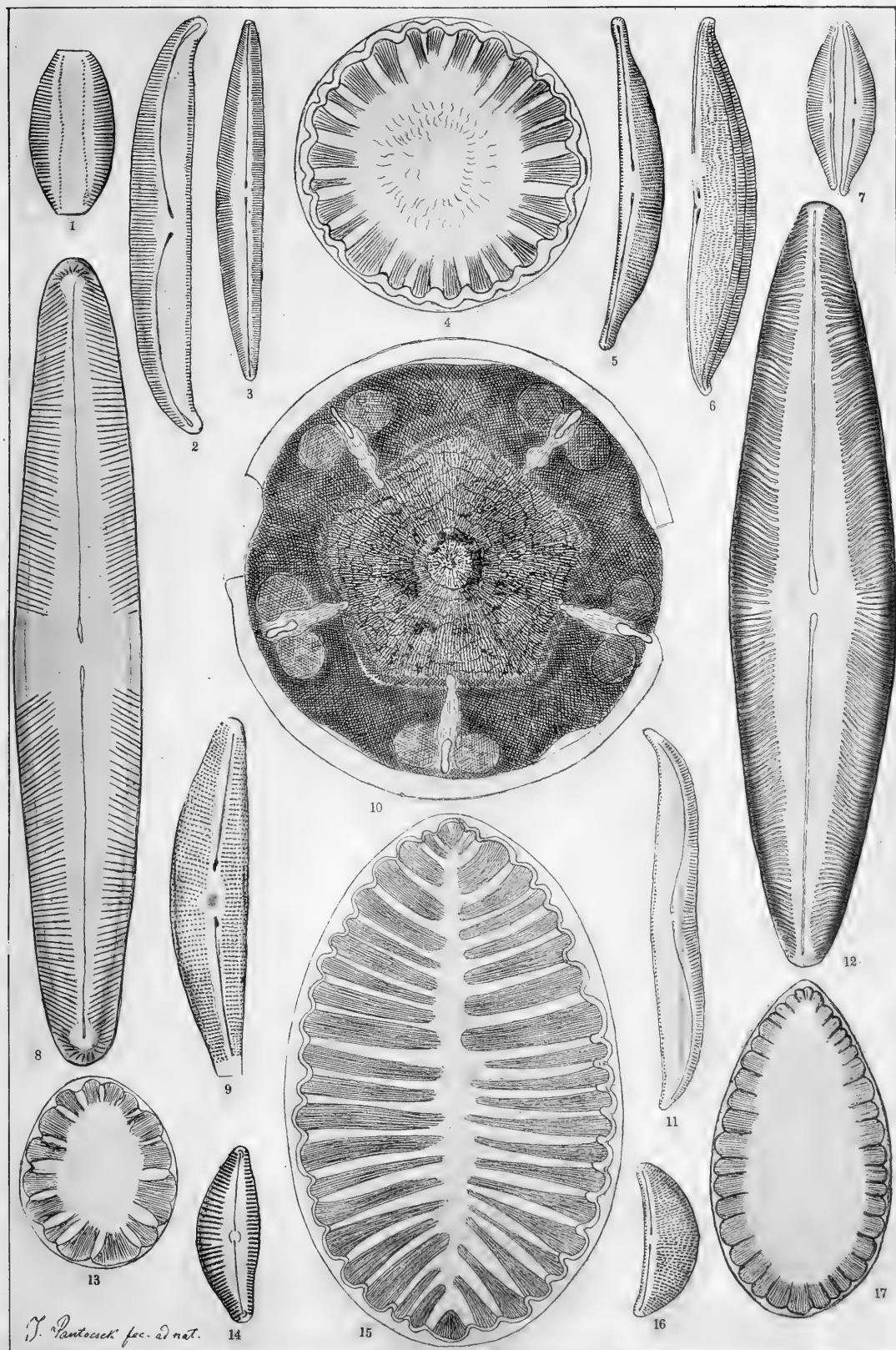
Pagina	56	linea	8	pro impressis	lege: impressis
»	57	»	19	»	nostatis
»	59	»	19	post var. fossilis n. v.	» notatis.
»	59	»	5	infer. pro latta	lege: lata.
»	60	»	9	pro alternantim	lege: alternatim.
»	60	»	26	post 86	sequitur: — tab. nostra 3, fig. 52.
»	61	»	3	pro uniserialiter	lege: uniserialiter.
»	61	»	4	infer. pro haut	lege: haud.
»	65	»	29	pro Discernede	lege: Discernendae.
»	66	»	24	post n. s.	sequitur: tab. 5, fig. 86.
»	69	»	7	infer. pro inconspicuus	lege: inconspicuus.
»	74	»	21, 22	» Gonithecium	» Goniothecium.
»	75	»	23	» connvexa	» convexa.
»	75	»	24	» inferioris	» inferioris.
»	75	»	28	» pectene	» pectine.
»	75	»	32	» pectenisi	» pectinis.
»	78; 79	pro	Galionella et Gailonella		Gallionella.
»	78	linea	5	pro tenerima	» tenerima.
»	78	»	23	» valva	» valvae.
»	78	»	1	infer. pro vita	» vitta.
»	80	»	21	» area	» areae.
»	82	»	6	» subtilisse	» subtilissime.
»	82	»	7	» transvera	» transversa.
»	82	»	12	» latera	» latera.
»	83	»	19	» cornuum	» cornuum.
»	86	»	11	» cornubus	» cornuum.
»	87	»	10	» puncta	» punctis.
»	89	»	18	» nonnullis	» nonnullis.
»	93	»	14	» longitudinalibus	» longitudinalibus.
»	93	»	20	» sparse	» sparsae.
»	94	»	1	» valve	» valvae.
»	95	»	30	» Kusnetzk	» Kusnetzk.
»	95	»	10	» punctatae	» punctatae.
»	96	»	6	» nonnullis	» nonnullis.
»	96	»	15	» transvera	» transversa.
»	97	»	27	» perpulchre	» perpulchre.
»	101	»	38	» arem	» aream
»	102	»	25	» striolae	» striolae.
»	103	»	3	» phaeriam	» pheriam.
»	103	»	20	» valva	» valvae.
»	104	»	2	» rimis	» rimas.
»	104	»	2	» prominens	» prominens.



Tafel I.

1. <i>Amphora bituminosa</i> n. s.	<i>Szurdok-Püspöki</i> ^{1213/1}
2. <i>Amphora fossilis</i> n. s.	<i>Gyöngyös-Pata</i>
3. <i>Amphora Eulensteinii</i> Grun. var. <i>fossilis</i>	<i>Czekeháza</i>
4. <i>Surirella rotunda</i> Pant.	<i>Szücsi</i>
5. <i>Amphora protracta</i> n. s.	<i>Gyöngyös-Pata</i>
6. <i>Amphora czekeházensis</i> n. s.	<i>Czekeháza</i>
7. <i>Amphora Neupauerii</i> n. s.	<i>Czekeháza</i>
8. <i>Navicula procera</i> n. s.	<i>Gyöngyös-Pata</i>
9. <i>Cymbella salina</i> n. s.	<i>Gyöngyös-Pata</i>
10. <i>Tscheestnovia mirabilis</i> n. g. et sp.	<i>Ananino</i>
11. <i>Amphora curvata</i> n. s.	<i>Gyöngyös-Pata</i>
12. <i>Navicula halionata</i> Pant.	<i>Gyöngyös-Pata</i> ^{600/1}
13. <i>Surirella rotunda</i> Pant. forma <i>minor</i>	<i>Gyöngyös-Pata</i>
14. <i>Cymbella hungarica</i> n. s.	<i>Gyöngyös-Pata</i>
15. <i>Surirella costata</i> Neup.	<i>Szücsi</i>
16. <i>Amphora minuta</i> n. s.	<i>Szurdok-Püspöki</i>
17. <i>Surirella Neupauerii</i> n. s.	<i>Gyöngyös-Pata</i>

Vergrösserung ^{846/1}

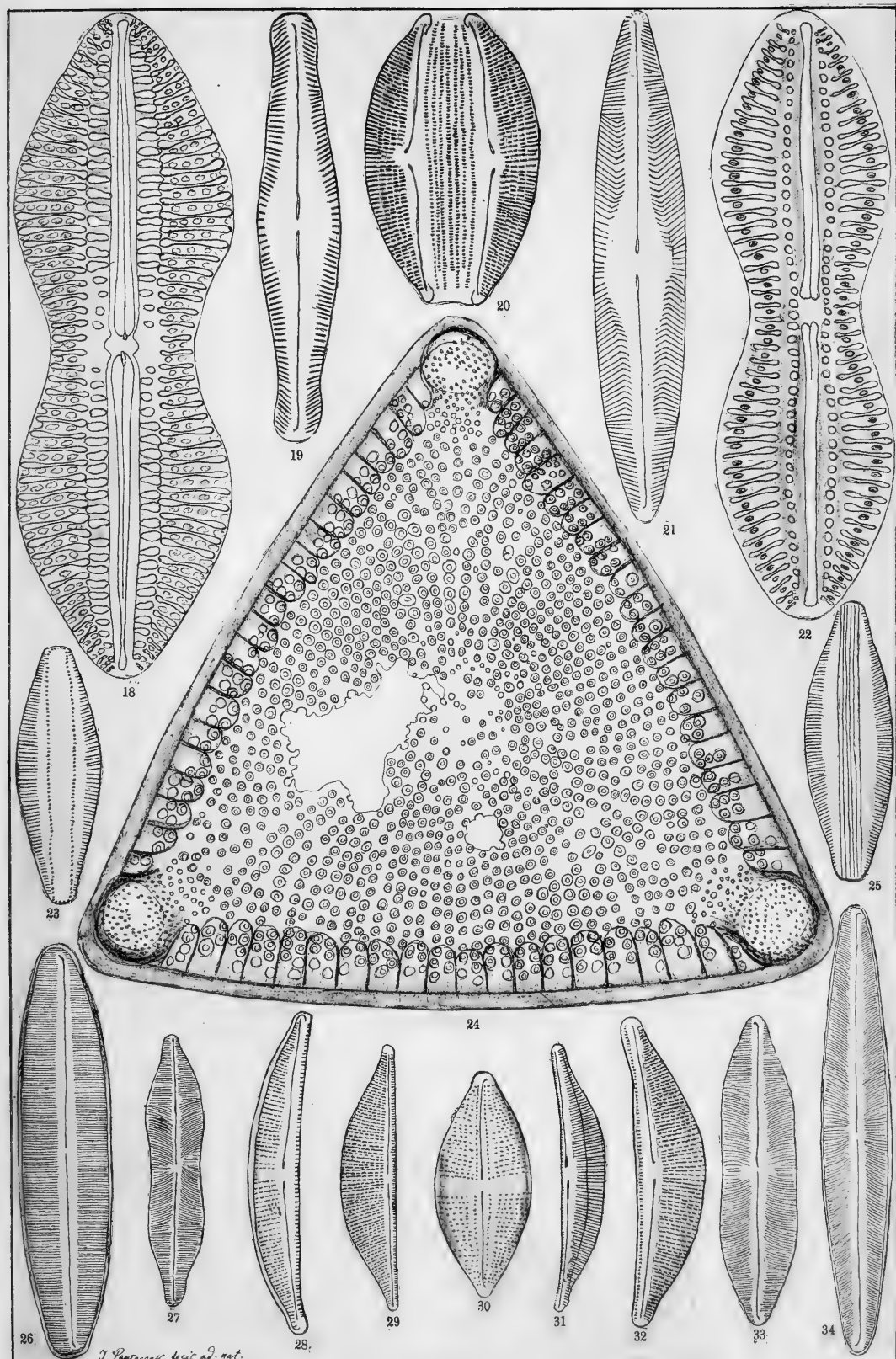




Tafel III.

18. <i>Navicula lacrimans</i> A. Sch. var. <i>fossilis</i> Pant.	<i>Szént-Péter</i>
19. <i>Navicula</i> (peregrina Ehrbg. var.?) <i>curtestriata</i> n. s.	<i>Gyöngyös-Pata</i>
20. <i>Amphora Szabói</i> n. s.	<i>Szurdok-Püspöki</i>
21. <i>Navicula grata</i> n. s.	<i>Szurdok-Püspöki</i>
22. <i>Navicula Crabro</i> Ehrbg.	<i>Szakal</i>
23. <i>Amphora bituminosa</i> n. s.	<i>Szurdok-Püspöki</i>
24. <i>Entogonia Tschestnovii</i> n. s.	<i>Kusnetzk</i> ^{400/1}
25. <i>Amphora striolata</i> n. s.	<i>Szurdok-Püspöki</i>
26. <i>Navicula parallelstriata</i> n. s.	<i>Czekeháza</i>
27, 33. <i>Navicula heteroflexa</i> n. s. <i>conscripta</i>	<i>Szurdok-Püspöki</i>
28. <i>Amphora libyea</i> Ehrbg. var. <i>interrupta</i>	<i>Szücs</i>
29. <i>Amphora acutiuscula</i> Kg. var. <i>fossilis</i>	<i>Czekeháza</i>
30. <i>Navicula menilitica</i> n. s.	<i>Gyöngyös-Pata</i>
31. <i>Amphora striata</i> n. s.	<i>Czekeháza</i>
32. <i>Amphora hevesensis</i> n. s.	<i>Gyöngyös-Pata</i>
34. <i>Navicula heteroflexa</i> n. s.	<i>Szurdok-Püspöki</i>

Vergrösserung 846/1

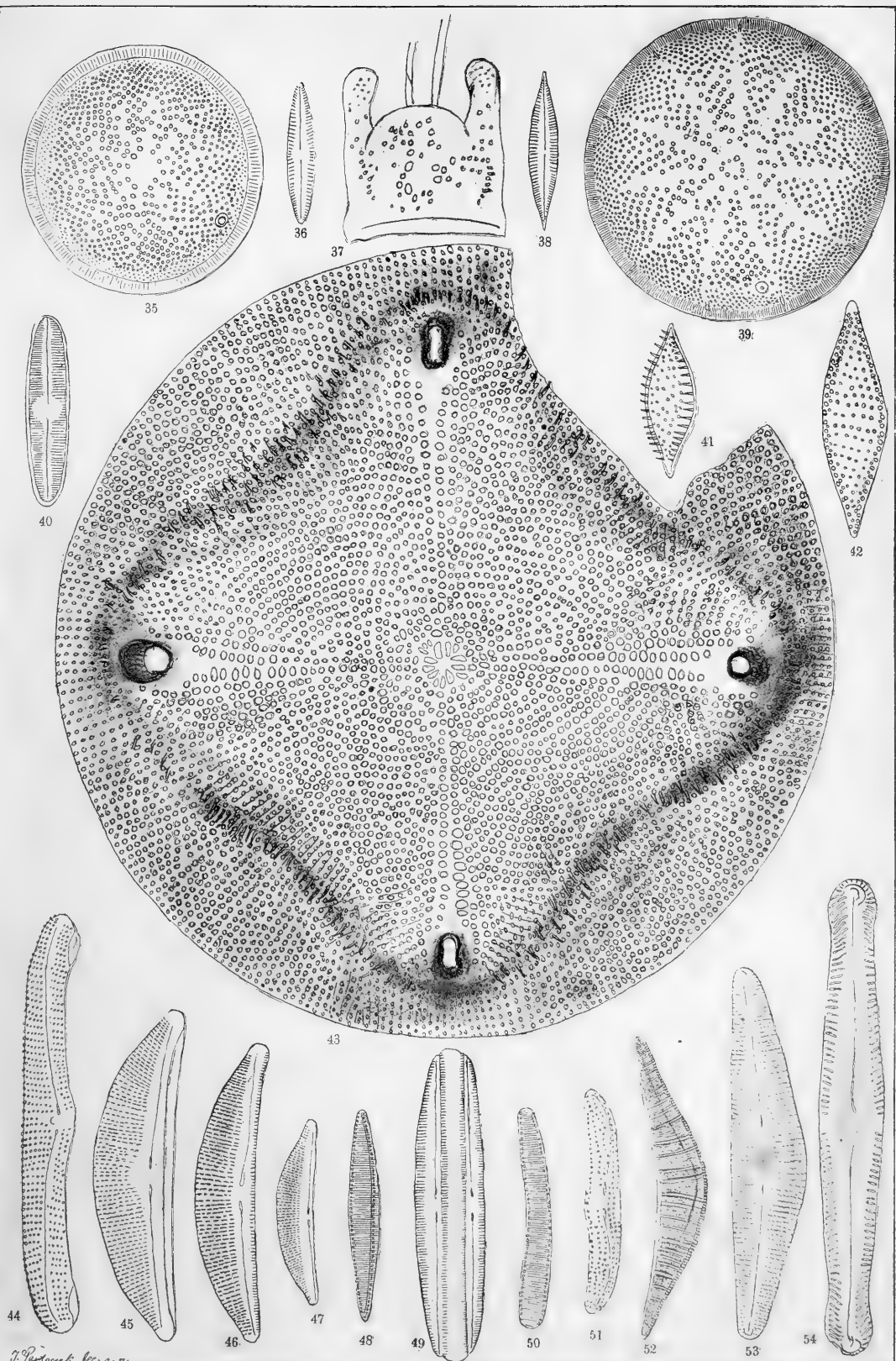




Tafel III.

35. <i>Actinoeyclus disseminatus</i> n. s.	<i>Bremia</i>
36. <i>Navicula inflexa</i> Greg. var. <i>biharensis</i> Pant.	<i>Bremia</i>
37. <i>Biddulphia élesdiana</i> n. s.	<i>Élesd</i>
38. <i>Navicula microrhynchus</i> Grun.	<i>Czékeháza</i>
39. <i>Actinoeyclus bremianus</i> n. s.	<i>Bremia</i>
40. <i>Navicula elongatula</i> n. s.	<i>Gyöngyös-Pata</i>
41, 42. <i>Cymatosira?</i> <i>biharensis</i> n. s.	<i>Bremia</i>
43. <i>Aulacodiscus hispidus</i> n. s.	<i>Anánia</i>
44. <i>Amphora crassa</i> Greg. var. <i>punctata</i> Grun.	<i>Bremia</i> ^{600/1}
45. <i>Amphora Wiesnerii</i> n. s.	<i>Szérdok-Püspöki</i>
46. <i>Amphora hevesensis</i> n. s.	<i>Szücs</i>
47. <i>Amphora salina</i> W. Sm. var. <i>fossilis</i>	<i>Gyöngyös-Pata</i>
48. <i>Nitzschia frustulum</i> (Kg.) Grun. var. <i>hungarica</i> Pant.	<i>Czékeháza</i>
49. <i>Amphora Eulensteini</i> Grun. var. <i>fossilis</i> Pant.	<i>Czékeháza</i>
50. <i>Nitzschia frustulum</i> (Kg.) Grun. var. <i>curvata</i> Pant.	<i>Czékeháza</i>
51. <i>Amphora crassa</i> Greg. var. <i>minor</i> Pant.	<i>Bremia</i>
52. <i>Epithemia gibberula</i> Kg. var. <i>protracta</i> Grun.	<i>Bremia</i>
53. <i>Cymbella hevesensis</i> n. s.	<i>Gyöngyös-Pata</i>
54. <i>Navicula</i> (gibba) Ehrbg. var. (?) <i>abaujensis</i> n. s.	<i>Czékeháza</i>

Vergrösserung 846/1

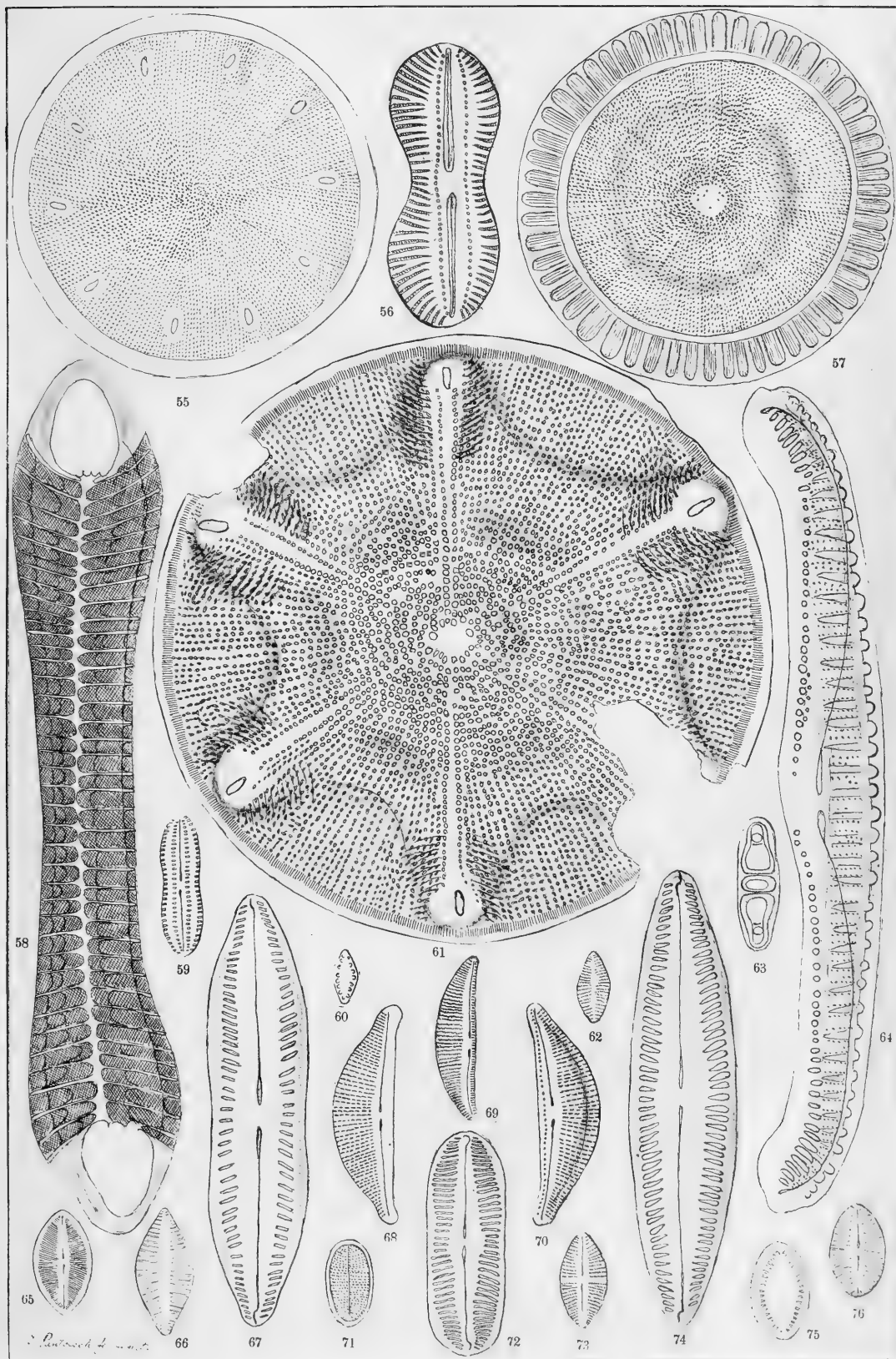




Tafel IV.

55. <i>Cosmiodiscus tenuis</i> Grun.	<i>Kisnetzk</i>
56. <i>Navicula</i> (suspecta A. Sch. var.?) <i>cekeházensis</i> n. s.	<i>Czekeháza</i>
57. <i>Centroporus crassus</i> n. g. et spec.	<i>Ananino</i>
58. <i>Entopyla hungarica</i> n. s.	<i>Szakal</i> ^{600/1} <i>Bremia</i>
59. <i>Navicula sejuneta</i> A. S. var. <i>baldjikiana</i>	<i>Szücs</i>
60. <i>Fragilaria</i> (lapponica Grun. var.?) <i>minuta</i> n. s.	<i>Ananino</i>
61. <i>Aulacodiscus Truanii</i> n. s.	<i>Szurdok-Püspöki</i>
62. <i>Staurosira venter</i> (Ehrbg.) Grun. var. <i>fossilis</i>	<i>Bremia</i>
63. <i>Grammatophora hungarica</i> n. s.	<i>Szakal</i>
64. <i>Amphora</i> (egregia Ehrbg. var.?) <i>neogradensis</i> n. s.	<i>Czekeháza</i>
65. <i>Cocconeis Pediculus</i> Ehrbg.	<i>Bremia</i>
66. <i>Achnanthes danica</i> (Flögel) Grun.	<i>Gyöngyös-Pata</i>
67. <i>Navicula hevesensis</i> n. s.	<i>Szurdok-Püspöki</i>
68. <i>Amphora hevesensis</i> n. s.	<i>Gyöngyös-Pata</i>
69. <i>Amphora coffeæformis</i> (Ag.) Kg. var. <i>fossilis</i>	<i>Szurdok-Püspöki</i>
70. <i>Amphora arcuata</i> n. s.	<i>Gyöngyös-Pata</i>
71. <i>Cocconeis californica</i> Grun. var. <i>menilitica</i>	<i>Szücs</i>
72. <i>Navicula Kochii</i> n. s.	<i>Szurdok-Püspöki</i>
73. <i>Cocconeis perpusilla</i> n. s.	<i>Bremia</i>
74. <i>Navicula Yarrensis</i> Grun. var. <i>bituminosa</i>	<i>Gyöngyös-Pata</i>
75, 76. <i>Cocconeis biharensis</i> n. s. var. <i>minor</i>	<i>Bremia</i>

Vergrösserung ^{846/1}

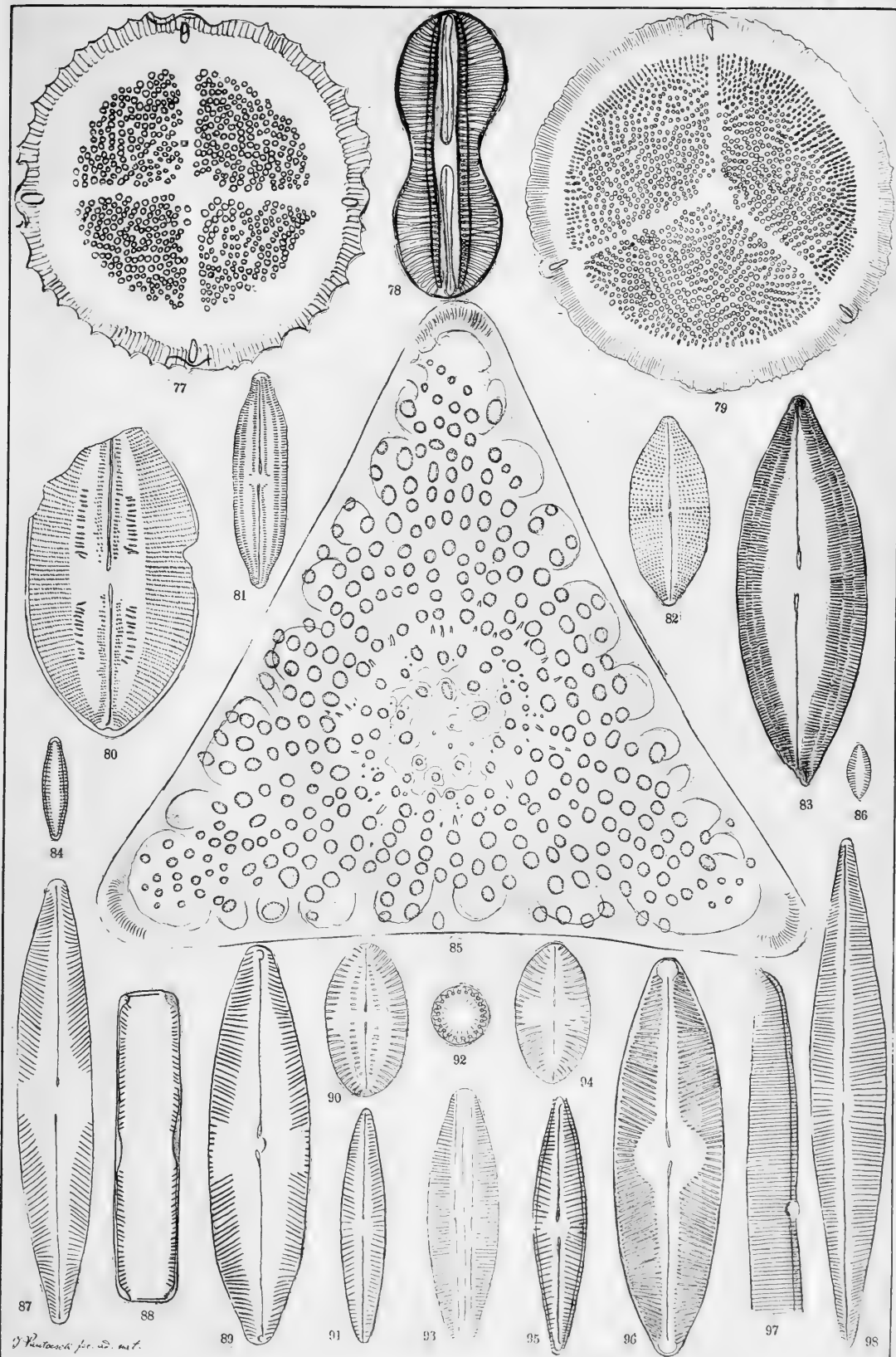




Tafel V.

77, 79. <i>Aulacodiscus Kellerii</i> n. s.	<i>Kusnetzk</i> 600/1, 400/1
78. <i>Navicula Gorjanoviéii</i> Pant. var. <i>minor</i>	<i>Czekeháza</i>
80. <i>Navicula bacillifera</i> n. s.	<i>Brémia</i>
81. <i>Navicula venusta</i> n. s.	<i>Bremia</i>
82. <i>Navicula brasiliensis</i> Grün. var. <i>fossilis</i>	<i>Bremia</i>
83. <i>Navicula (oregonica</i> Ehrbg. var.?) <i>bivittata</i> n. s.	<i>Gyöngyös-Pata</i> 666/1
84. <i>Synedra (parva</i> Kützg. var.?) <i>bremiana</i> n. s.	<i>Bremia</i>
85. <i>Triceratium tertiarium</i> n. s.	<i>Ananino</i> 600/1
86. <i>Staurosira kavnenensis</i> n. s.	<i>Bremia</i>
87, 88. <i>Navicula bituminosa</i> n. s. var. <i>staurophora</i>	<i>Gyöngyös-Pata</i>
89. <i>Navicula bituminosa</i> var. <i>valida</i>	<i>Gyöngyös-Pata</i>
90, 94. <i>Cocconeis biharensis</i> n. s.	<i>Bremia</i>
91. <i>Navicula tenella</i> Bréb. var. <i>fossilis</i>	<i>Szurdok-Püspöki</i>
92. <i>Melosira Lóczyi</i> n. s.	<i>Bremia</i>
93. <i>Amphora Lóczyi</i> n. s.	<i>Bremia</i>
95. <i>Navicula notabilis</i> n. s.	<i>Szücs</i>
96. <i>Navicula Chyzerii</i> n. s.	<i>Czekeháza</i>
97, 98. <i>Navicula ramphoides</i> n. s.	<i>Gyöngyös-Pata</i>

Vergrosserung 846/1

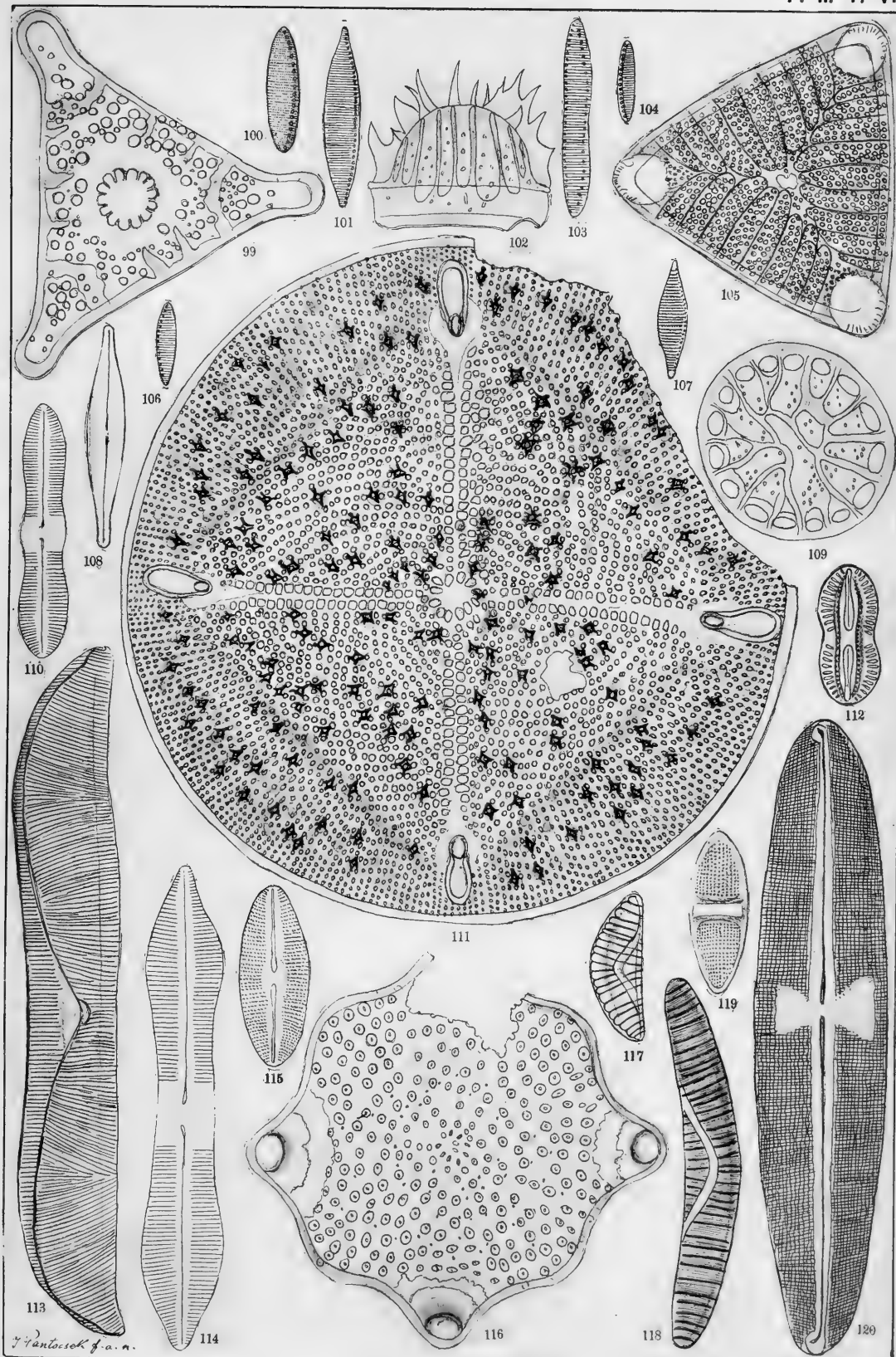




Tafel VI.

99. <i>Triceratium abyssorum</i> Grun. var. <i>polycystinorum</i>	<i>Kusnetzk</i> 600/1
100. <i>Nitzschia frustulum</i> (Kg.) Grun. var. <i>obtusa</i>	<i>Szurdok-Püspöki</i>
101. <i>Nitzschia frustulum</i> var. <i>producta</i>	<i>Gyöngyös-Pata</i>
102, 109. <i>Ktenodiscus hungaricus</i> n. g. et s.	<i>Szakal</i>
103. <i>Nitzschia frustulum</i> (Kg.) Grun. var. <i>constricta</i>	<i>Czekeháza</i>
104, 106. <i>Nitzschia frustulum</i> var. <i>minuta</i>	<i>Sz.-Püspöki, Szücs</i>
105. <i>Entogonia saratoviána</i> n. s.	<i>Kusnetzk</i> 400/1
107. <i>Nitzschia frustulum</i> (Kg.) Grun. var. <i>acuta</i>	<i>Czekeháza</i>
108. <i>Navicula nuda</i> n. s.	<i>Czekeháza</i>
110. <i>Navicula claviculus</i> Gregor.	<i>Bremia</i>
111. <i>Aulacodiscus concinnus</i> Kitton.	<i>Ananino</i>
112. <i>Navicula interrupta</i> Kg. var. <i>fossilis</i>	<i>Szücs</i>
113. <i>Amphora permagna</i> n. s.	<i>Czekeháza</i>
114. <i>Navicula Lóczyi</i> n. s.	<i>Bremia</i>
115. <i>Navicula ovalis</i> Näg. var. <i>fossilis</i>	<i>Czekeháza</i>
116. <i>Triceratium kusnetzkianum</i>	<i>Kusnetzk</i> 400/1
117. <i>Epithemia salina</i> n. s.	<i>Gyöngyös-Pata</i>
118. <i>Epithemia erucæformis</i> n. s.	<i>Gyöngyös-Pata</i>
119. <i>Plagiogramma salinaria</i> n. s.	<i>Bremia</i>
120. <i>Navicula Szabói</i> n. s.	<i>Gyöngyös-Pata</i> 666/1

Vergrösserung 846/1

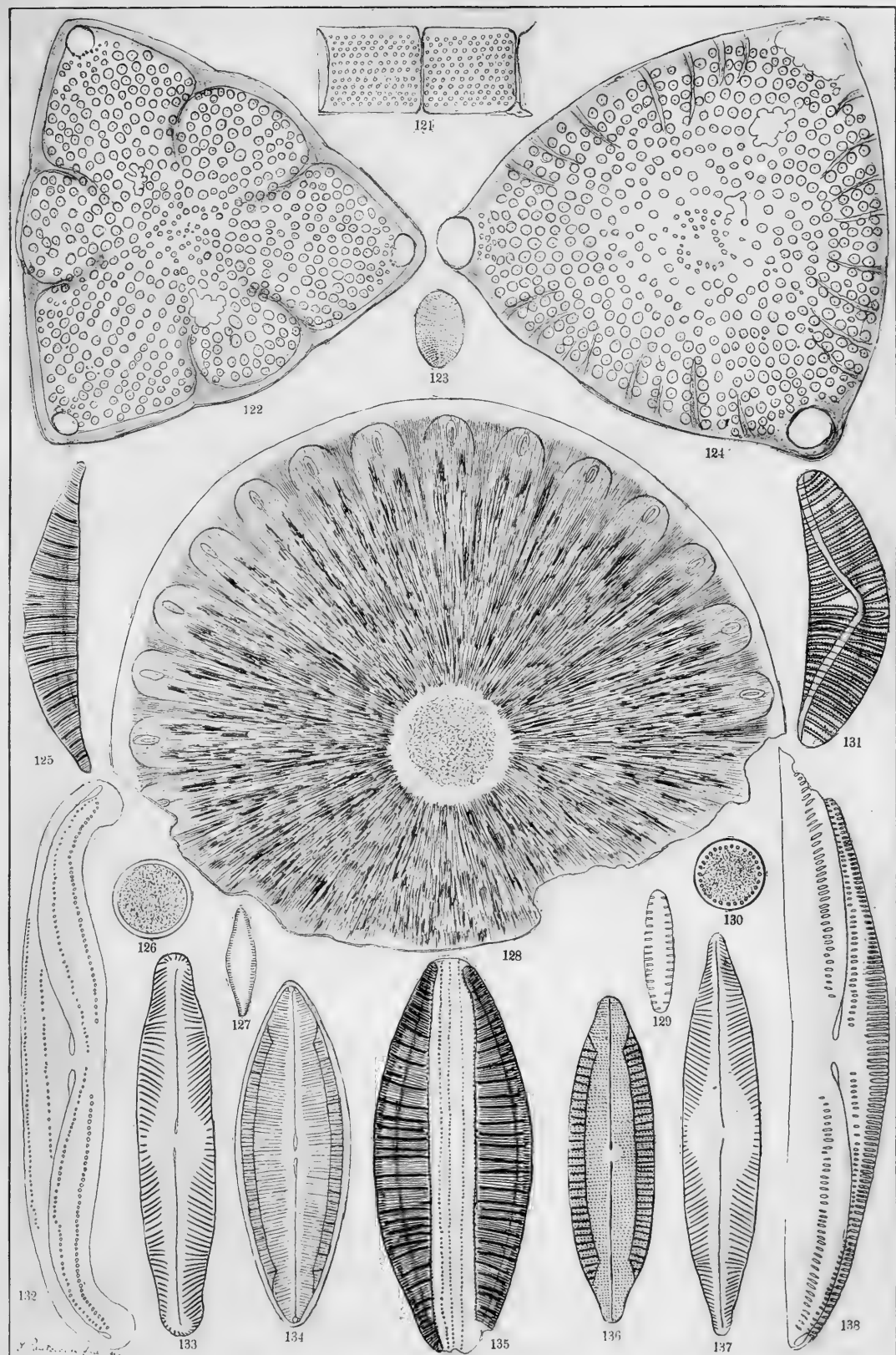




Tafel VIII.

121. <i>Melosira granulata</i> (Ehrbg.) Ralfs	<i>Czekeháza</i>
122. <i>Triceratium saratovianum</i> n. s.	<i>Kusnetzk</i> ⁴⁰⁰ / ₁
123. <i>Coccconeis californica</i> Grun. var. <i>menilitica</i>	<i>Gyöngyös-Pata</i>
124. <i>Triceratium Lahusenii</i> n. s.	<i>Kusnetzk</i> ⁴⁰⁰ / ₁
125. <i>Epithemia inflexa</i> n. s.	<i>Gyöngyös-Pata</i>
126. <i>Melosira menilitica</i> n. s.	<i>Gyöngyös-Pata</i> ¹¹⁸⁸ / ₁
127. <i>Fragilaria brevistriata</i> (Grun.) var. <i>fossilis</i>	<i>Erlőbénye</i>
128. <i>Wittia insignis</i> n. g. et spec.	<i>Anáinno</i>
129. <i>Fragilaria bituminosa</i> n. s. var. <i>minor</i>	<i>Erdőbénye</i>
130. <i>Melosira bituminosa</i> n. s.	<i>Szurdok-Püspöki</i>
131. <i>Epithemia salina</i> n. s.	<i>Gyöngyös-Pata</i>
132. <i>Amphora Gründleri</i> Grun. var. <i>trachytica</i>	<i>Szakal</i>
133. <i>Navicula bituminosa</i> n. s. var. <i>latecapitata</i>	<i>Gyöngyös-Pata</i>
134. <i>Mastogloia obtusa</i> n. s.	<i>Bremia</i>
135. <i>Epithemia multicostata</i> n. s.	<i>Gyöngyös-Pata</i>
136. <i>Mastogloia lanceolata</i> Thw. var. <i>hungarica</i>	<i>Czekeháza</i>
137. <i>Navicula bituminosa</i> n. s.	<i>Gyöngyös-Pata</i>
138. <i>Amphora Szontaghii</i> n. s.	<i>Szákál</i>

Vergrösserung ⁸⁴⁶/₁

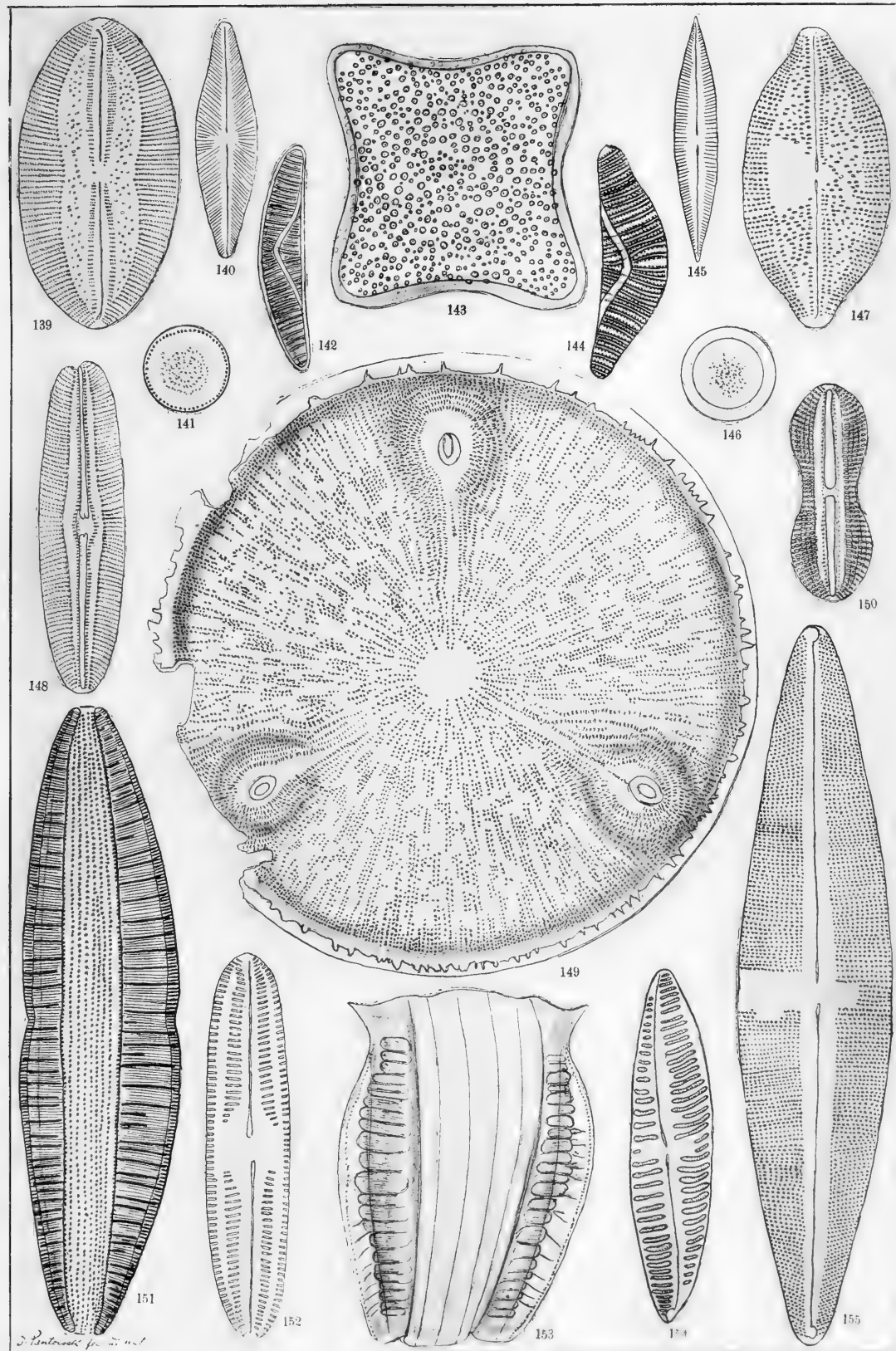




Tafel VIII.

139. <i>Navicula inhalata</i> A. Sch. var. <i>biharensis</i>	<i>Bremia</i>
140. <i>Navicula arenariæformis</i> n. s.	<i>Gyöngyös-Pata</i>
141. <i>Melosira bituminosa</i> n. s. var. <i>interrupta</i>	<i>Gyöngyös-Pata</i> ^{1186/1}
142. <i>Epithemia erucæformis</i> n. s.	<i>Czekeháza</i>
143. <i>Triceratium tetragonum</i> n. s.	<i>Kusnetzk</i> ^{600/1}
144. <i>Epithemia vittata</i> n. s.	<i>Gyöngyös-Pata</i>
145. <i>Navicula microrhinehus</i> Grun.	<i>Czekeháza</i>
146. <i>Melosira Dickiei</i> (Thw.) Kützg. var. <i>fossilis</i>	<i>Szücsi</i>
147. <i>Navicula irrorata</i> Grev. var. <i>fossilis</i>	<i>Bremia</i>
148. <i>Navicula parca</i> A. Sch. var. <i>produeta</i>	<i>Bremia</i>
149. <i>Aulaeodiscus acutus</i> Rattr.	<i>Ananino</i> ^{600/1}
150. <i>Navicula Hantkenii</i> n. s.	<i>Bremia</i>
151. <i>Epithemia Debyi</i> n. s.	<i>Gyöngyös-Pata</i>
152. <i>Navicula sectilis</i> A. Schm. var. <i>boryana</i>	<i>Bremia</i>
153. <i>Surirella costata</i> Neup.	<i>Szurdok-Püspöki</i> ^{400/1}
154. <i>Scoliopleura szakalensis</i> n. s.	<i>Szakal</i>
155. <i>Navicula Macraeana</i> n. s.	<i>Gyöngyös-Pata</i>

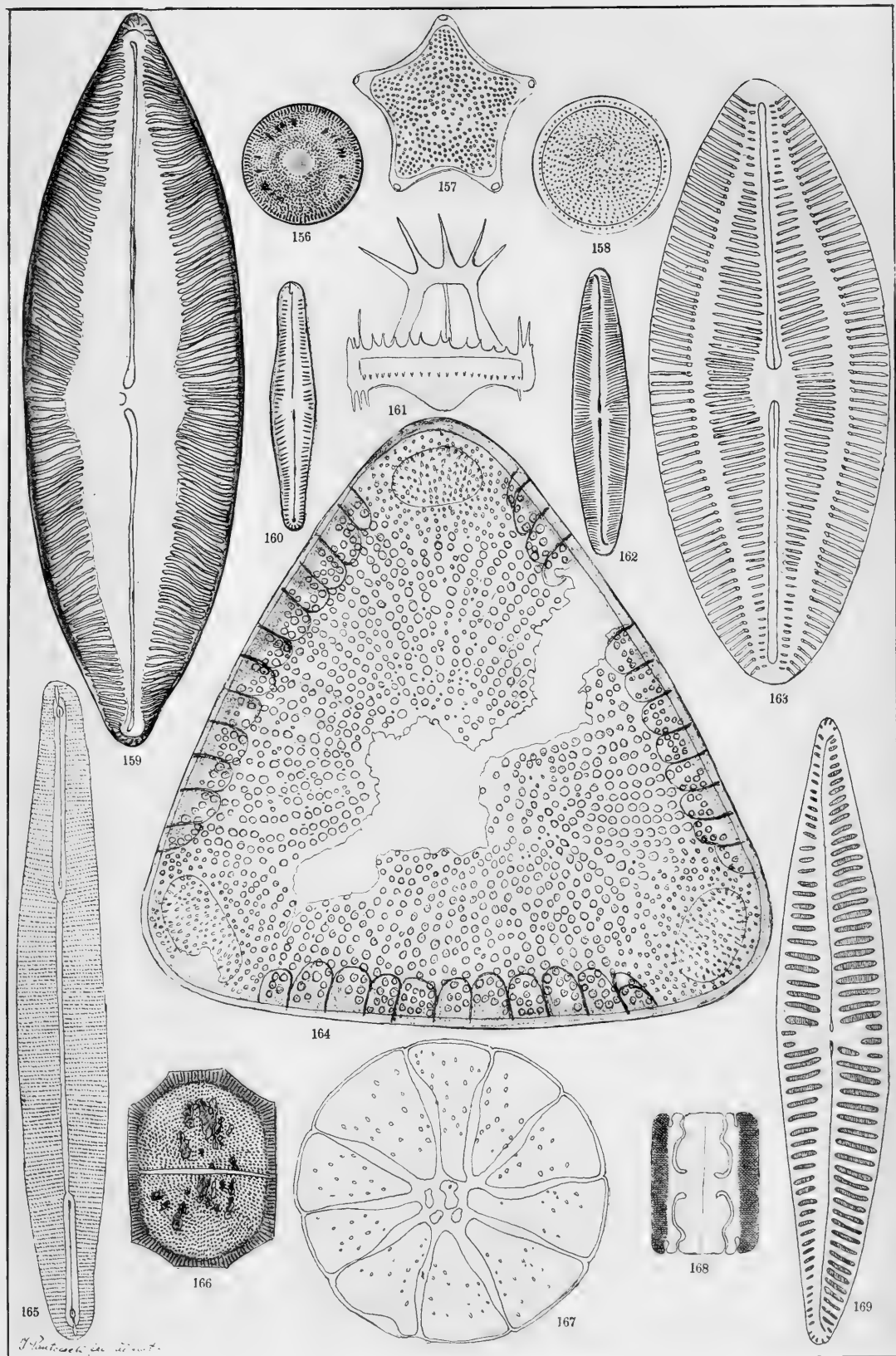
Vergrösserung ^{846/1}



Tafel IX.

156, 166. <i>Podosira hungarica</i> n. s.	<i>Erdőbénye</i>
157. <i>Triceratium lætum</i> Pant.	<i>Bremia</i>
158. <i>Melosira bituminosa</i> n. s. var. <i>dilatata</i>	<i>Szücsi</i>
159. <i>Navicula robusta</i> n. s.	<i>Gyöngyös-Páta</i>
160. <i>Gomphonema olivaceum</i> Ehrbg. var. <i>salinarum</i>	<i>Gyöngyös-Páta</i>
161. <i>Stephanogonia cincta</i> n. s.	<i>Szakal</i>
162. <i>Navicula heteroflexa</i> n. s. var. <i>minor</i>	<i>Szurdok-Püspöki</i>
163. <i>Navicula nitescens</i> Ralfs. var. <i>fossilis</i>	<i>Szakal</i>
164. <i>Triceratium squamatum</i> n. s.	<i>Kisnáterka</i>
165. <i>Berkeleyia hungarica</i> n. s.	<i>Szakal</i>
167. <i>Gyrodiseus hungaricus</i> n. s.	<i>Szakal</i>
168. <i>Grammatophora hungarica</i> n. s.	<i>Bremia</i>
169. <i>Navicula Kinkerii</i> n. s.	<i>Szakal</i>

Vergrösserung 8¹⁰/1

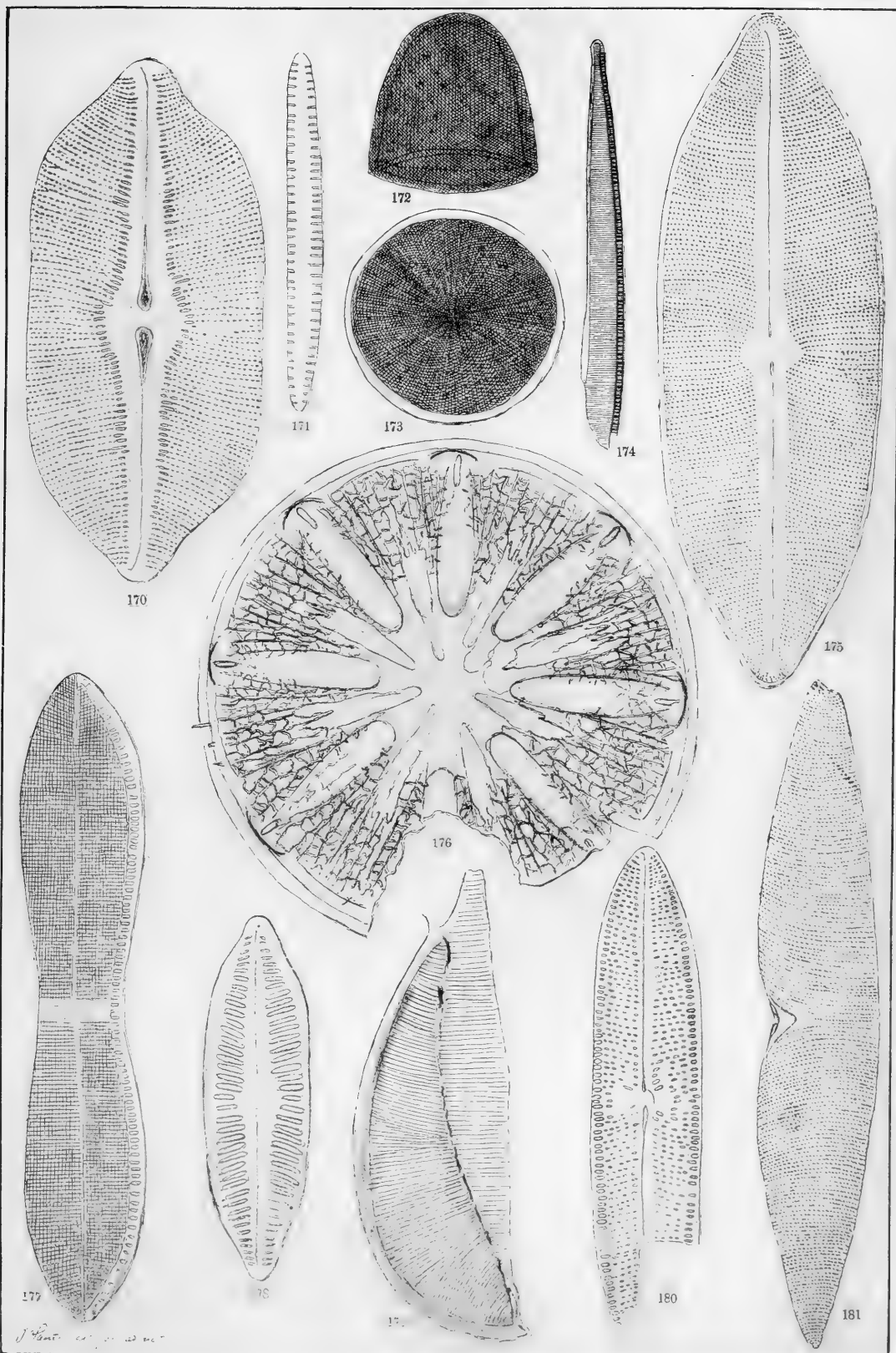




Tafel XX

170. <i>Navicula</i> (latissimā Greg. var.?) <i>Fuchsii</i> n. s.	<i>Bremia</i>
171. <i>Fragilaria bituminosa</i> n. s. var. <i>perlonga</i>	<i>Gyöngyös-Pata</i>
172, 173. <i>Podosira</i> <i>Lóczyi</i> n. s.	<i>Bremia</i>
174. <i>Nitzschia hevesensis</i> n. s.	<i>Gyöngyös-Pata</i>
175. <i>Navicula humerosa</i> Bréb. var. <i>elongata</i>	<i>Kékfű 900/1</i>
176. <i>Actinodictyon antiquorum</i> n. g. et spec.	<i>Ananino</i>
177. <i>Nitzschia</i> (panduriformis Greg. var.?) <i>Lóczyi</i> n. s.	<i>Bremia</i>
178. <i>Navicula Yarrensis</i> Grun.	<i>Szücsi</i>
179. <i>Amphiprora dilatata</i> n. s.	<i>Gyöngyös-Pata</i>
180. <i>Navicula aspera</i> Ehrbg. var. <i>hungarica</i>	<i>Bremia</i>
181. <i>Amphiprora</i> (elegans W. S. var.?) <i>Posewitzii</i> n. s.	<i>Bremia</i>

Vergrösserung: 8¹⁶/1

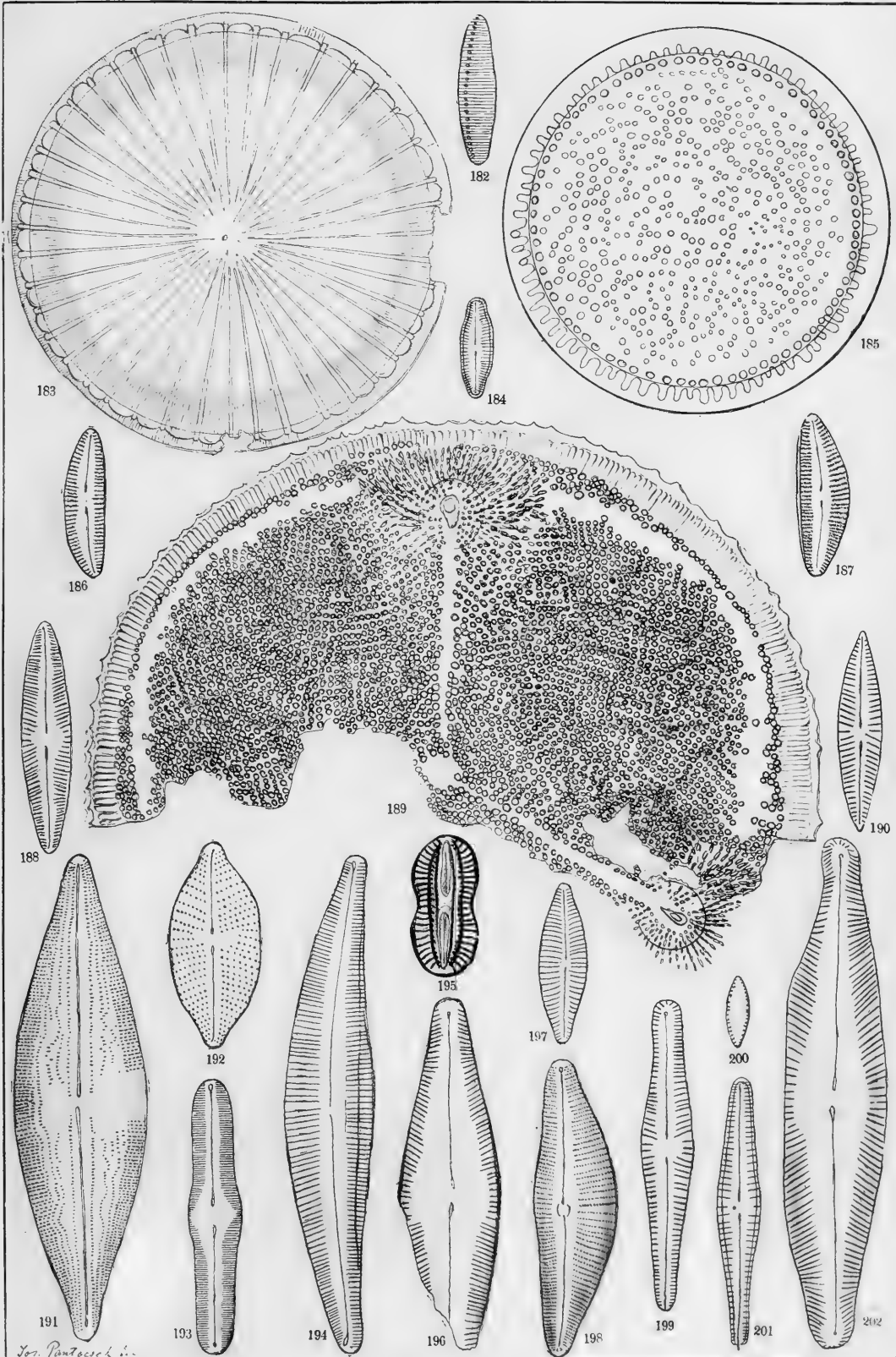




Tafel XI.

182. <i>Nitzschia frustulum</i> (Kg.) Grun. var. <i>obtusa</i>	<i>Szurdok-Püspöki</i>
183. <i>Melosira sarmatica</i> n. s.	<i>Kusnetzk</i>
184. <i>Navicula troglodytes</i> n. s.	<i>Erdőbénye</i>
185. <i>Melosira cristata</i> n. s.	<i>Ananino</i>
186. <i>Cymbella kavnensis</i> n. s.	<i>Kavna</i>
187. <i>Cymbella Neupauerii</i> n. s.	<i>Gyöngyös-Pata</i>
188. <i>Navicula (ammophila</i> Grun. var.?) <i>Beckii</i> n. s.	<i>Gyöngyös-Pata</i>
189. <i>Aulacodiscus interruptus</i> n. s.	<i>Kusnetzk</i> ^{400/1}
190. <i>Navicula ammophila</i> Grun. var. <i>intermedia</i>	<i>Czekeháza</i>
191. <i>Navicula sculpta</i> Ehrbg.	<i>Felménes</i>
192. <i>Navicula (gastrum</i> Ehrbg. var.?) <i>Galikii</i> n. s.	<i>Kavna</i>
193. <i>Navicula Hazslinszkyi</i> n. s.	<i>Erdőbénye</i>
194. <i>Cymbella Chyzerii</i> n. s.	<i>Erdőbénye</i>
195. <i>Navicula Heerii</i> n. s.	<i>Gyöngyös-Pata</i>
196. <i>Navicula cincta</i> n. s.	<i>Erdőbénye</i>
197. <i>Navicula hordeiformis</i> n. s.	<i>Felménes</i>
198. <i>Cymbella erdőbényiana</i> n. s.	<i>Erdőbénye</i>
199. <i>Gomphonema olivaceum</i> Ehrbg. var. <i>salinarum</i>	<i>Erdőbénye</i>
200. <i>Staurosira kavnensis</i> n. s.	<i>Kavna</i>
201. <i>Gomphonema intricatum</i> Kg. var. <i>fossilis</i>	<i>Felménes</i>
202. <i>Navicula bituminosa</i> n. s. var. <i>robusta</i>	<i>Erdőbénye</i>

Vergrösserung ^{846/1}

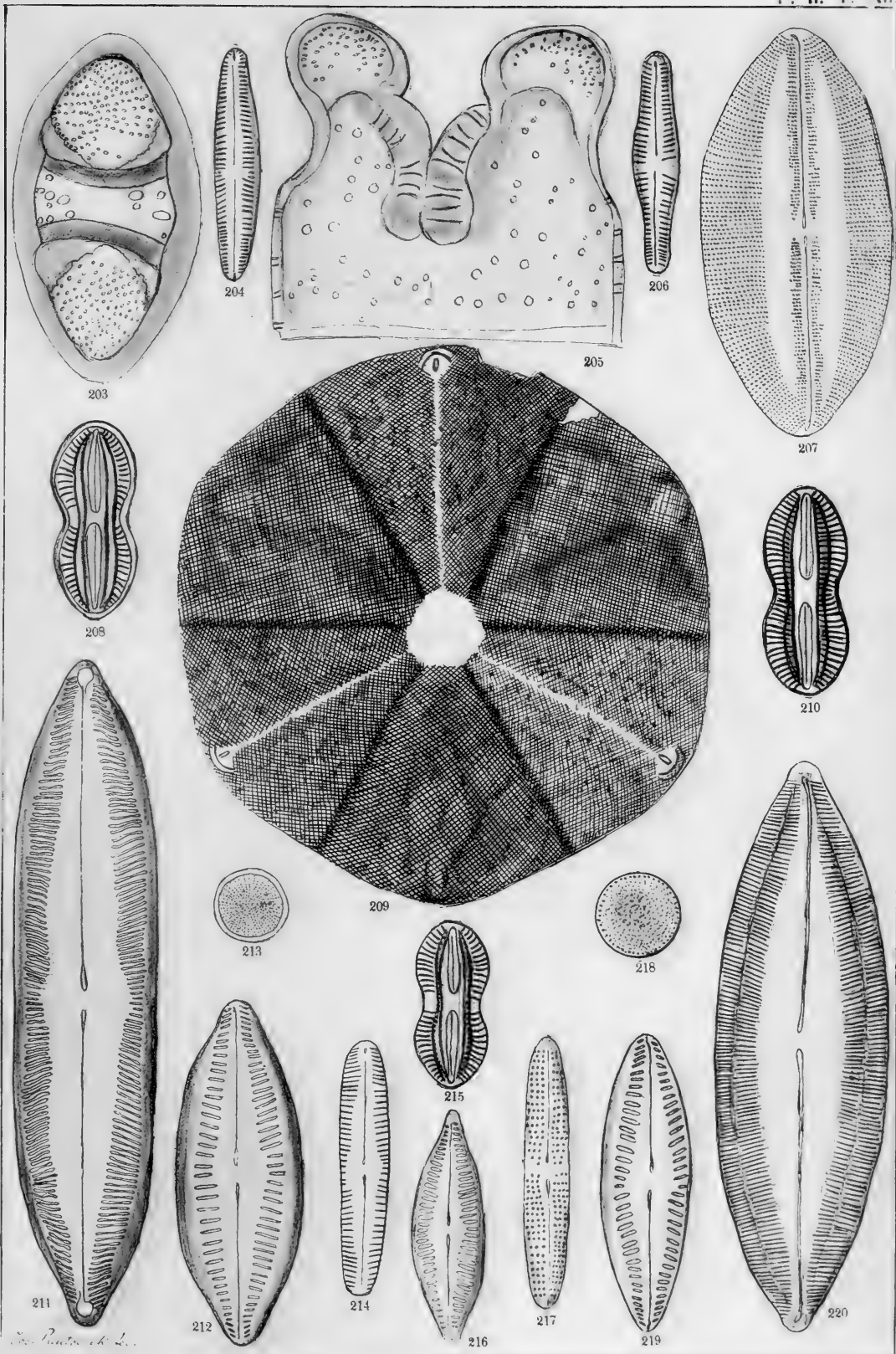




Tafel XII.

203, 205. <i>Biddulphia robusta</i> n. s.	<i>Ananino</i> $^{600}/_1$
204. <i>Gomphonema olivaceum</i> Ehrbg. var. <i>fossilis</i>	<i>Gyöngyös-Pata</i>
206. <i>Gomphonema olivaceum</i> Ehrbg. var. <i>staurophora</i>	<i>Gyöngyös-Pata</i>
207. <i>Navicula Henedyi</i> Sm. var. <i>fossilis</i>	<i>Bremia</i>
208, 215. <i>Navicula interrupta</i> Kg. var. <i>fossilis</i>	<i>Gyöngyös-Pata</i>
209. <i>Actinoptychus ananinensis</i> n. s.	<i>Ananino</i> $^{600}/_1$
210. <i>Navicula Heerii</i> n. s.	<i>Gyöngyös-Pata</i>
211. <i>Navicula halionata</i> Pant. var. <i>directa</i>	<i>Szurdok-Püspöki</i>
212. <i>Navicula Yarrensis</i> Grun. var. <i>valida</i>	<i>Szurdok-Püspöki</i>
213. <i>Stephanodiscus minutus</i> n. s.	<i>Erdőbénye</i>
214. <i>Navicula debilis</i> n. s.	<i>Erdőbénye</i>
216. <i>Navicula</i> (Yarrensis Grun. var. ?) <i>simbirskiana</i> n. s.	<i>Ananino</i> $^{600}/_1$
217. <i>Achnanthes</i> (subsessilis Ehrbg. var. ?) <i>Lóczyi</i> n. s.	<i>Bremia</i>
218. <i>Melosira bituminosa</i> n. s.	<i>Gyöngyös-Pata</i> $^{1186}/_1$
219. <i>Navicula Yarrensis</i> Grun.	<i>Gyöngyös-Pata</i>
220. <i>Navicula Vukotinovićii</i> Pant.	<i>Gyöngyös-Pata</i>

Vergrösserung $^{846}/_1$

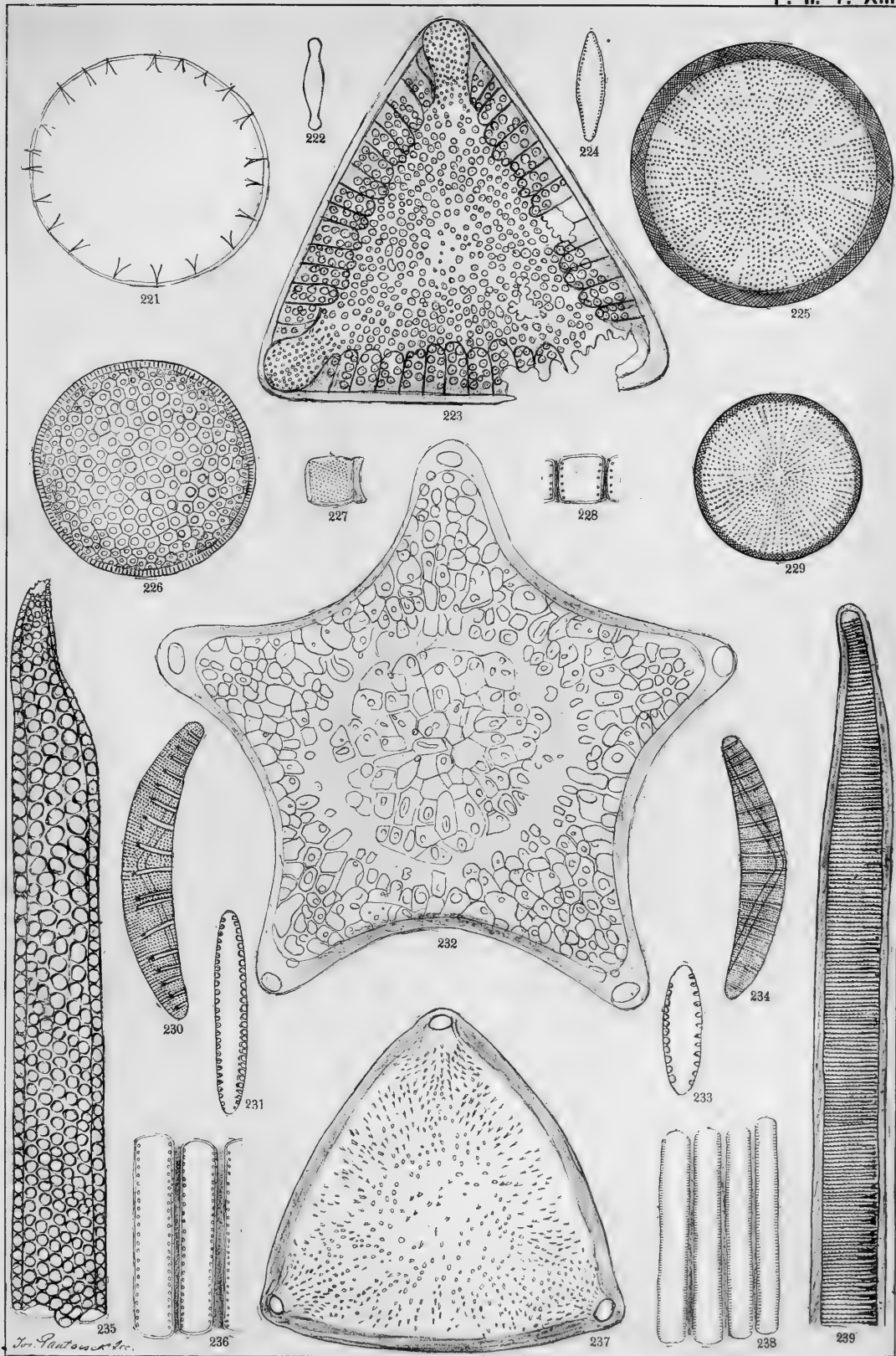




Tafel XIII.

221. <i>Stephanogonia aculeata</i> n. s.	<i>Szakal</i>
222. <i>Fragilaria microcephala</i> n. s.	<i>Szurdok-Püspöki</i>
223. <i>Entogonia Truanii</i> n. s.	<i>Kusnetzki</i> ^{400/1}
224. <i>Fragilaria brevistriata</i> Grun. var. <i>fossilis</i>	<i>Erdőbénye</i>
225. <i>Stephanodiscus</i> (<i>Astrea</i> E.) var. (?) <i>matrensis</i> n. s.	<i>Gyöngyös-Pata</i> ^{1186/1}
226. <i>Coscinodiscus bremianus</i> n. s.	<i>Brémia</i>
227. <i>Melosira crenulata</i> Kg. var. <i>fossilis</i>	<i>Czékeháza</i>
228. <i>Fragilaria bituminosa</i> n. s. var. <i>curta</i>	<i>Gyöngyös-Pata</i>
229. <i>Stephanodiscus biharensis</i> n. s.	<i>Kavnia</i>
230. <i>Epithemia subsalsa</i> n. s. var. <i>validior</i>	<i>Erdőbénye</i>
231, 233, 236. <i>Fragilaria bituminosa</i> n. s. var. <i>elongata</i>	<i>Gyöngyös-Pata</i>
232. <i>Tric. (pentaerinus</i> Wal. v.?) <i>Lóczyi</i> n. s. v. <i>confluens</i>	<i>Bremia</i>
234. <i>Epithemia erucæformis</i> n. s.	<i>Felinénes</i>
235. <i>Hemiaulus?</i> <i>saratovianus</i> n. s.	<i>Kusnetzki</i> ^{400/1}
237. <i>Triceratium hystrix</i> n. s.	<i>Kusnetzki</i> ^{600/1}
238. <i>Fragilaria pinnata</i> Ehrbg.?	<i>Erdőbénye</i>
239. <i>Nitzschia bituminosa</i> n. s.	<i>Gyöngyös-Pata</i>

Vergrösserung ^{816/1}

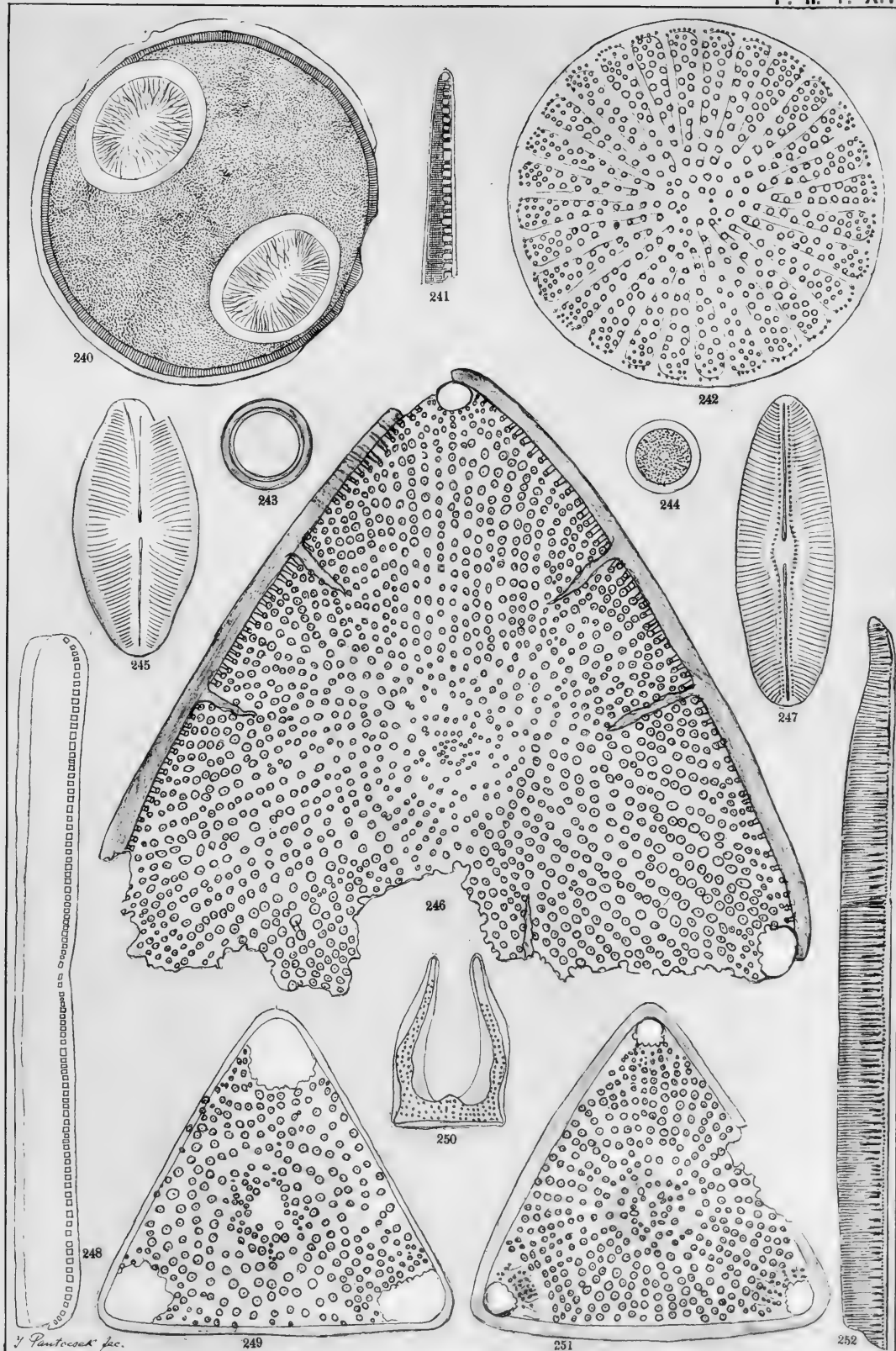




Tafel XXIV.

240. *Pseudoauliscus Schmidtii* n. s. *Ananino* ⁶⁰⁰/₁
 241. *Nitzschia andesitica* n. s. *Bremia*
 242. *Stictodiscus Wittii* n. s. *Ananino* ⁶⁰⁰/₁
 243, 244. *Melosira Dickiei* (Thw.) Kg. *Czekeháza; Szilási*
 245. *Navicula Hoffmannii* n. s. *Bremia*
 246. *Triceratium septum* n. s. *Kusnetzk* ³⁶⁸/₂
 247. *Navicula Dóczyi* n. s. *Bremia*
 248. *Nitzschia Kittlii* Grün. *Gyöngyös-Páta* ³⁶⁸/₁
 249. *Tric. eucullatum* n. s. var. *disseminatepunctata* *Kusnetzk* ⁶⁰⁰/₁
 250. *Hemiaulus Szabói* n. s. *Bremia* ⁶⁰⁰/₁
 251. *Triceratium eucullatum* n. s. *Kusnetzk* ⁴⁰⁰/₁
 252. *Nitzschia bituminosa* (n. s. var. *tenuior* *Gyöngyös-Páta*

Vergrösserung ⁸⁴⁶/₁

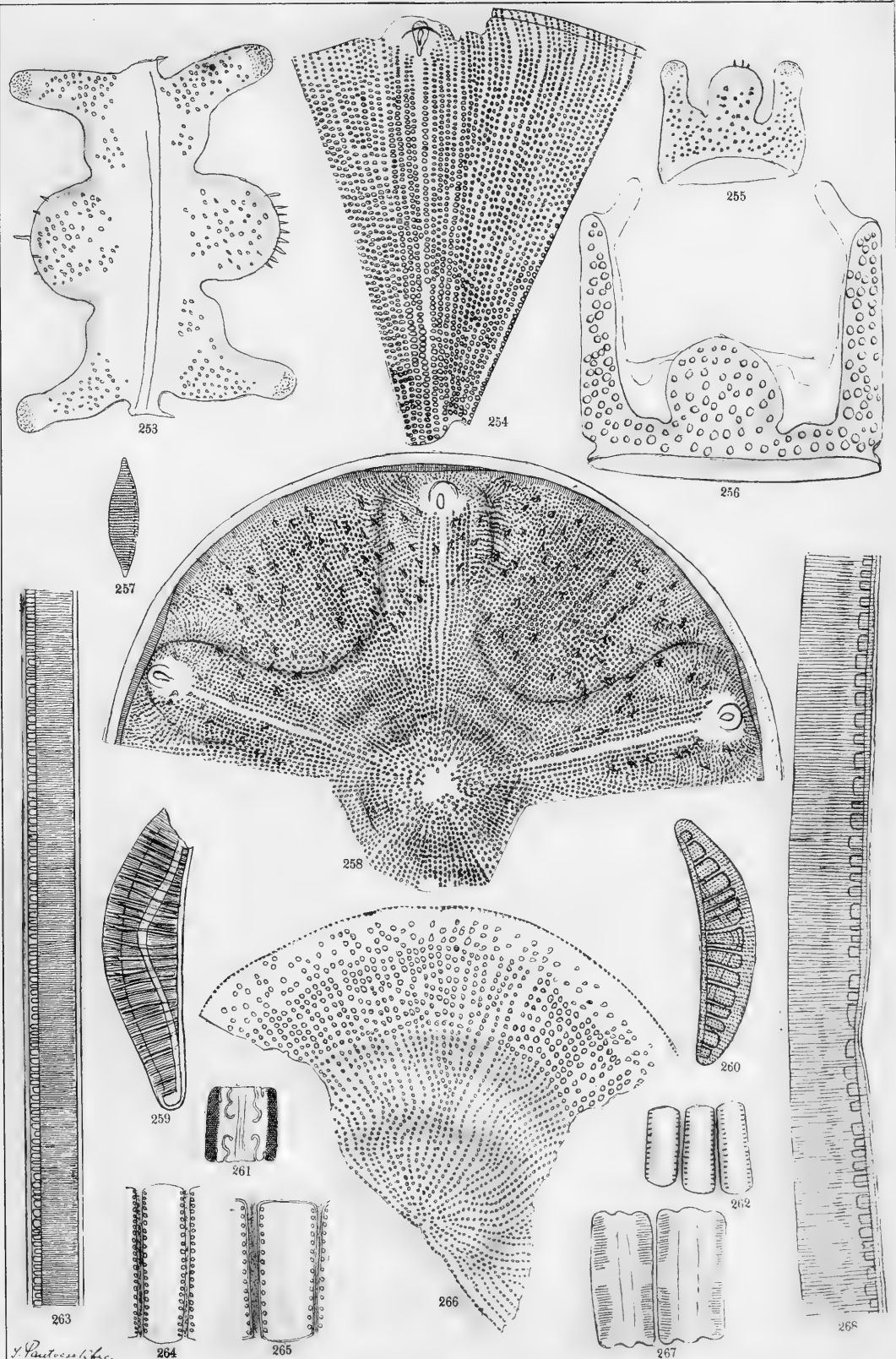




Tafel XXV.

253. <i>Biddulphia tridentata</i> Ehrbg.	<i>Bremia</i>
254. <i>Aulacodiscus Darwinii</i> n. s.	<i>Kusnetzk</i> 368/1
255. <i>Biddulphia Lóczyi</i> n. s.	<i>Bremia</i>
256. <i>Hemialulus Tschestnovii</i> n. s.	<i>Kusnetzk</i> 400/1
257. <i>Nitzschia frustulum</i> (Kg.) Grun. var. <i>acuta</i>	<i>Czekeháza</i>
258. <i>Aulacodiscus tuberculatus</i> n. s.	<i>Ananino</i> 400/1
259. <i>Epithemia erucæformis</i> n. s. var. <i>subcapitata</i>	<i>Szücsi</i>
260. <i>Epithemia subsalsa</i> n. s.	<i>Erdőbénye</i>
261. <i>Grammatophora hungarica</i> n. s.	<i>Bremia</i> 600/1
262. <i>Fragilaria brevistriata</i> Grun. var. <i>fossilis</i>	<i>Kavna</i> 1186/1
263. <i>Nitzschia Szabói</i> n. s.	<i>Gyöngyös-Pata</i>
264, 265. <i>Fragilaria bituminosa</i> n. s. var. <i>validior</i>	<i>Gyöngyös-Pata, Szücsi</i>
266. <i>Coseinodiscus spiraliterpunctatus</i> n. s.	<i>Felső-Esztergály</i>
267. <i>Plagiogramma salinaria</i> n. s.	<i>Bremia</i> 600/1
268. <i>Nitzschia Kittlii</i> Grun.	<i>Gyöngyös-Pata</i>

Vergrösserung 846/1

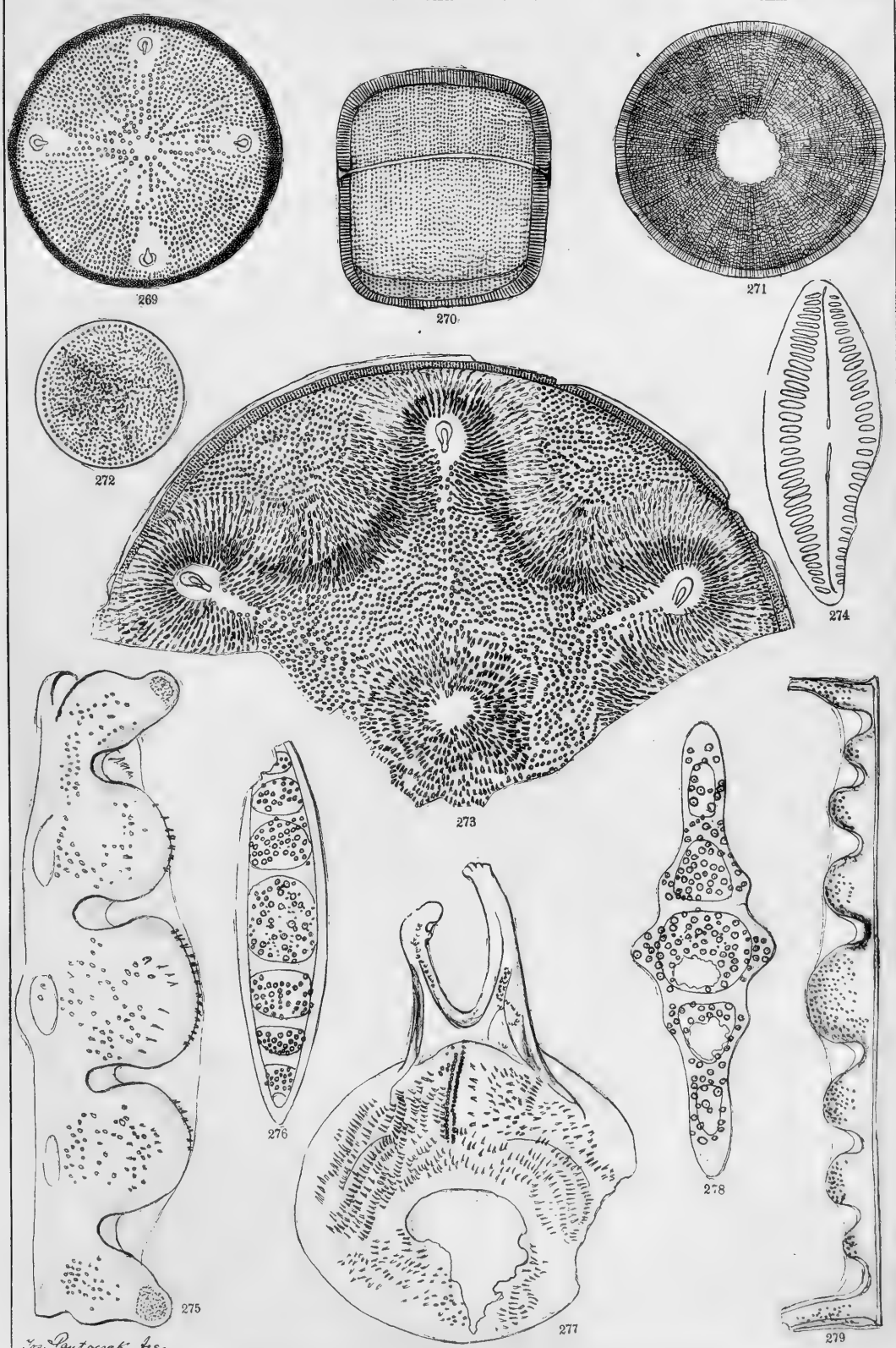




Tafel **XVI.**

269. *Aulacodiscus cruciatus* n. s. *Alnanello* ⁶⁰⁰/₁
270, 271. *Podosira robusta* n. s. *Gyöngyös-Pata*
272. *Melosira bituminosa* n. s. var. *dilatata* *Gyöngyös-Pata*
273. *Aulacodiscus hystrix* n. s. *Alnanello* ⁴⁰⁰/₁
274. *Navicula Yarrensis* Grun. *Bremia*
275. *Biddulphia capuzinæ* A. Schim. *Bremia*
276. *Biddulphia?* *saratoviana* n. s. *Kusnetzk* ⁴⁰⁰/₁
277. *Keratophora robusta* n. g. et. spec. *Kusnetzk* ⁴⁰⁰/₁
278. *Biddulphia elegantula* Grev. var. *polycystynica* *Kusnetzk* ⁴⁰⁰/₁
279. *Biddulphia elegantula* Grev. var. *polygibba* *Kusnetzk* ⁴⁰⁰/₁

Vergrösserung ⁸⁴⁶/₁

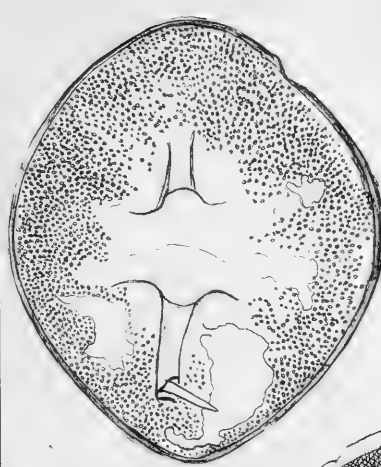




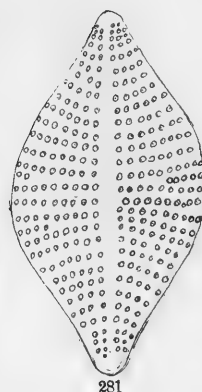
Tafel XXVIII.

280. <i>Keratophora nitida</i> n. s.	<i>Kusnetzk</i> 400/1
281. <i>Rhaphoneis gemmifera</i> Ehrbg. var. <i>biharensis</i>	<i>Bremia</i>
282. <i>Cheloniodiscus ananinensis</i> n. gen. et spec.	<i>Ananino</i> 600/1
283. <i>Actinoptychus Tschestnovii</i> n. s.	<i>Ananino</i> 600/1
284. <i>Rhaphoneis Fuchsii</i> n. s.	<i>Ananino</i> 600/1
285. <i>Gomphonema salsa</i> n. s.	<i>Erdőbénye</i>
286. <i>Odontotropis birostrata</i> n. s.	<i>Kusnetzk</i> 400/1
287. <i>Gomphonema olivaceum</i> Ehrbg. var. <i>salinarum</i>	<i>Gyöngyös-Pata</i>
288. <i>Synedra</i> (affinis Kg. var.?) <i>biharensis</i> n. s.	<i>Bremia</i> 600/1

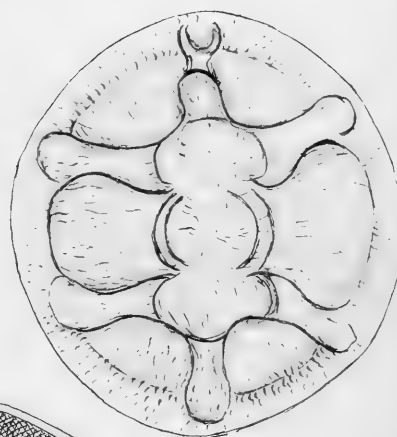
Vergrösserung 846/1



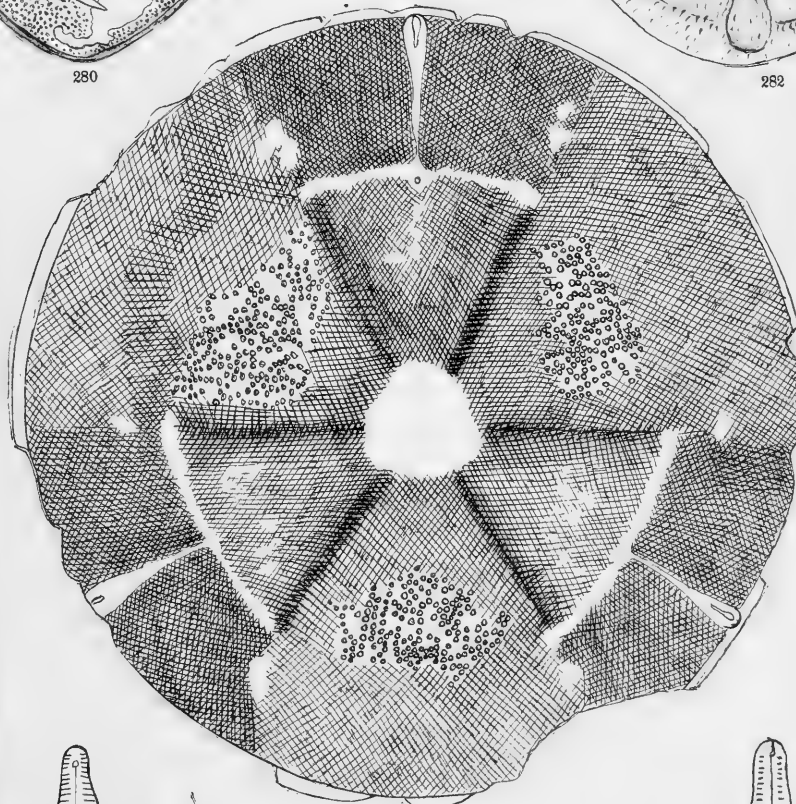
280



281



282



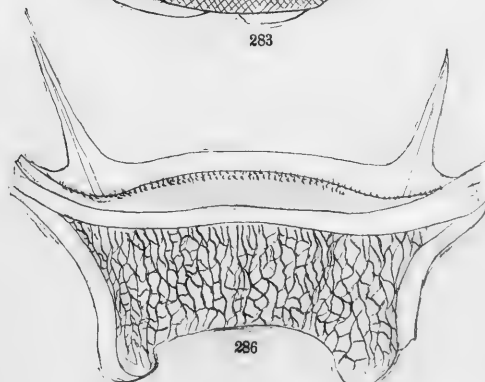
283



284



285



286



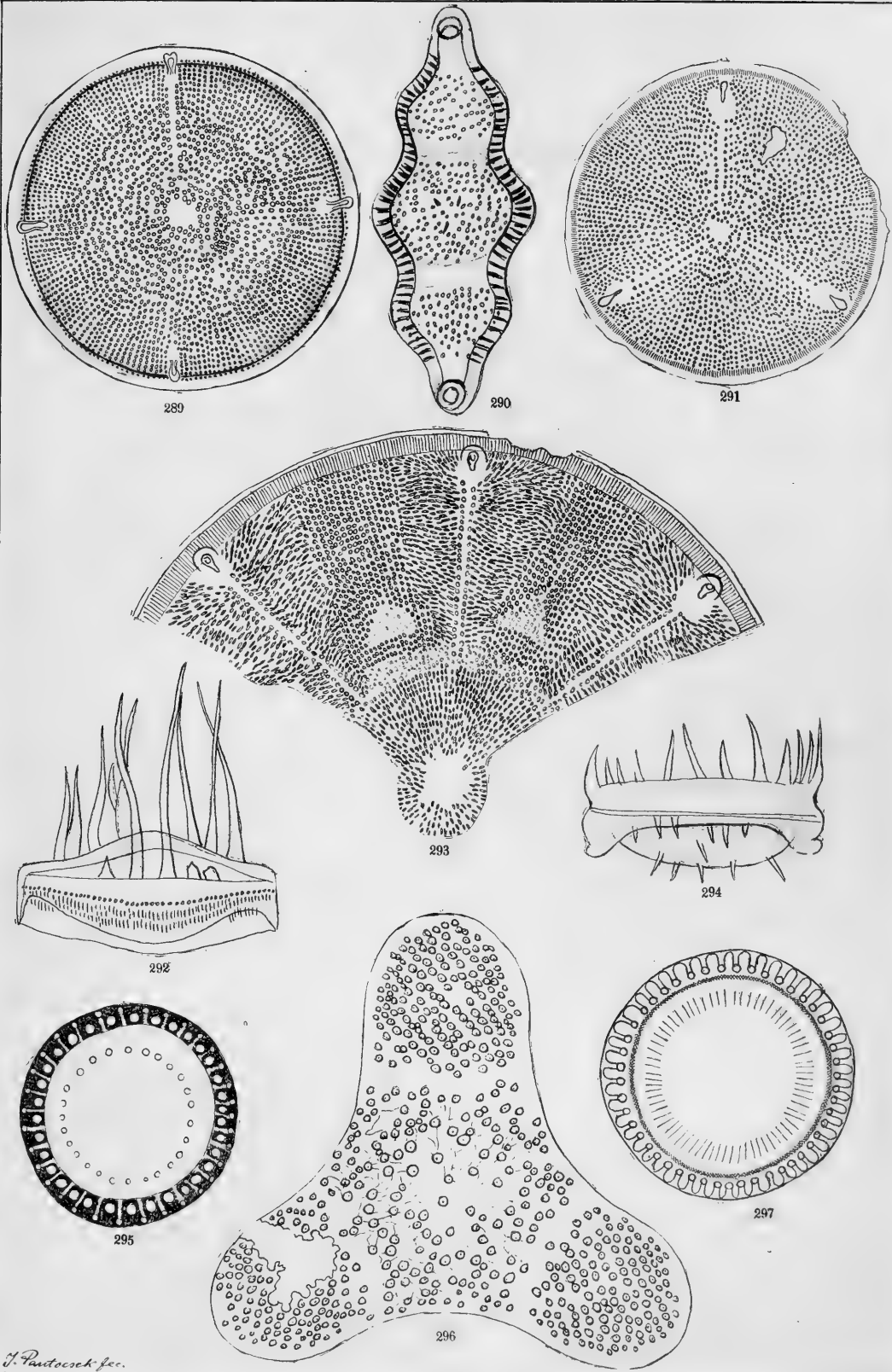
287

A vertical column of small, elongated structures, each with a dense pattern of small dots along its upper half, tapering to a point at both ends. They are arranged vertically along the right edge of the page.

Tafel **XVIII.**

289. <i>Aulacodiscus simbirskianus</i> n. s.	<i>Ananino</i> ⁶⁰⁰ / ₁
290. <i>Biddulphia Tuomeyi</i> Bail. var. <i>hungarica</i>	<i>Bremia</i>
291. <i>Aulacodiscus antiquus</i> n. s.	<i>Ananino</i> ⁶⁰⁰ / ₁
292. <i>Stephanogonia striolata</i> n. s.	<i>Szakal</i>
293. <i>Aulacodiscus Weissflogii</i> n. s.	<i>Ananino</i> ⁴⁰⁰ / ₁
294. <i>Stephanogonia Szontaghii</i> n. s.	<i>Szakal</i>
295. <i>Paralia sulcata</i> (E.) Kg. var. <i>hungarica</i>	<i>Bremia</i>
296. <i>Triceratium Truanii</i> n. s.	<i>Kusnetzk</i> ⁴⁰⁰ / ₁
297. <i>Paralia sulcata</i> (E.) Kg. var. <i>genuina</i> Grun. forma <i>radiolata</i> Grun.	<i>Bremia</i>

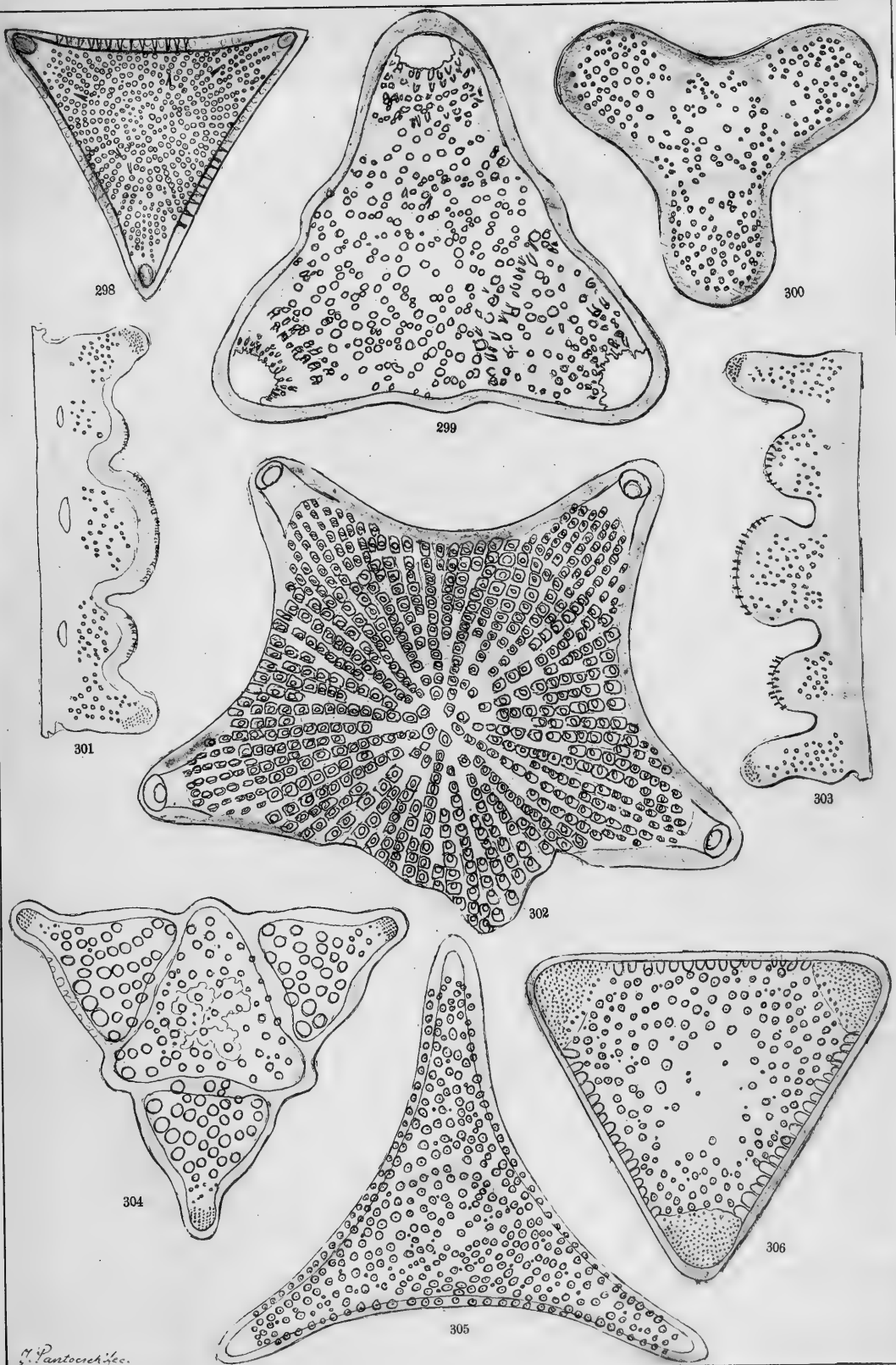
Vergrösserung ⁸⁴⁶/₁





Tafel **XIX.**

298. <i>Trinacia</i> Pachtii n. s.	<i>Andanino</i> 400/1
299. <i>Triceratum</i> undatum n. s.	<i>Kusnetzk</i> 400/1
300. <i>Triceratum</i> Debesii n. s.	<i>Kusnetzk</i> 400/1
301, 303. <i>Biddulphia</i> Tuomeyi Bail. var. <i>hungarica</i>	<i>Bremia</i> 816/1
302. <i>Triceratum</i> (pentacrinus Wal. var.?) Lóczyi n. s.	<i>Bremia</i> 816/1
304. <i>Triceratum</i> undosum n. s.	<i>Kusnetzk</i> 600/1
305. <i>Triceratum</i> protractum n. s.	<i>Kusnetzk</i> 600/1
306. <i>Triceratum</i> ananinense n. s.	<i>Araniino</i> 400/1

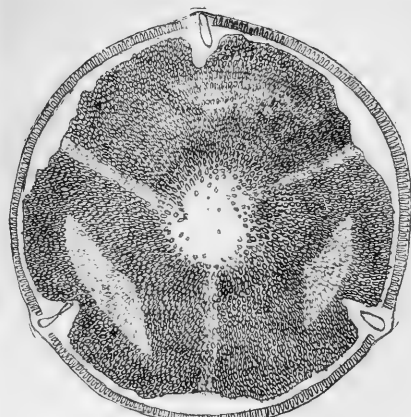




Tafel XXX.

307. <i>Actinoptychus simbirskianus</i> A. S.	<i>Ananinò</i> 600/1
308. <i>Navicula pinnata</i> n. s.	<i>Bremia</i>
309. <i>Aulacodiscus ananinensis</i> n. s.	<i>Ananinò</i> 600/1
310. <i>Navicula formosa</i> Gregor. var. <i>fossilis</i>	<i>Bremia</i>
311. <i>Pseudoaulicus Rattrayi</i> n. s.	<i>Ananinò</i>
312. <i>Entopyla Rinnböckii</i> n. s.	<i>Bremia</i>
313. <i>Gyrodiscus Vortex</i> O. W.	<i>Kusnetzk</i> 400/1
314. <i>Plagiogramma biharense</i> Pant.	<i>Bremia</i>
315. <i>Hemiaulus perlóngus</i> n. s.	<i>Kusnetzk</i> 400/1
316. <i>Biddulphia russica</i> n. s.	<i>Kusnetzk</i> 400/1

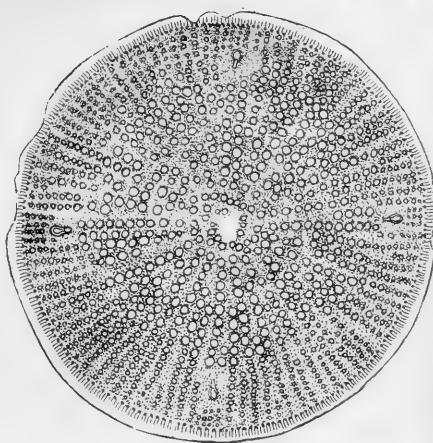
Vergrösserung 846/1



307



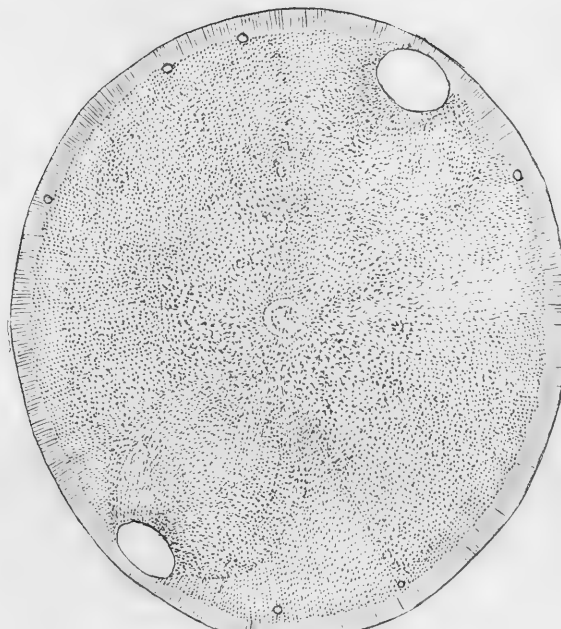
308



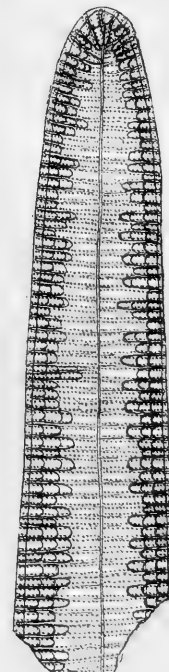
309



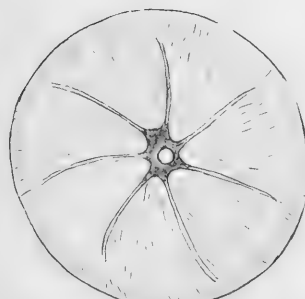
310



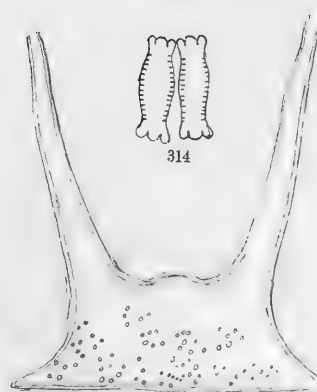
311



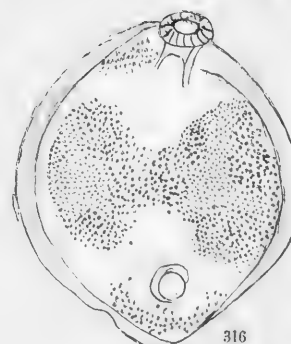
312



313



315



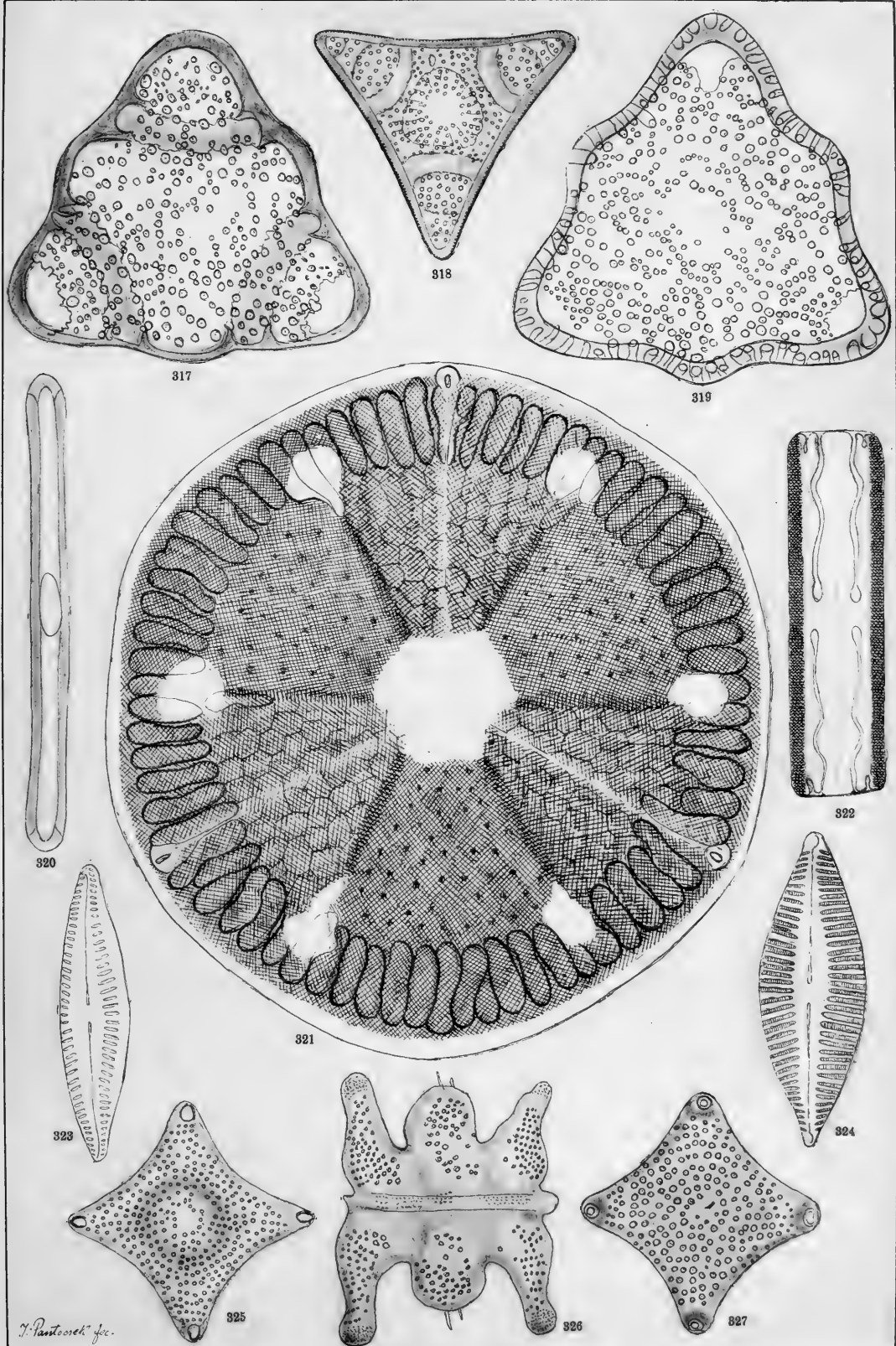
316



Tafel XXXI.

317. <i>Triceratium fasciatum</i> n. s.	<i>Kusnetzk</i> $600/1$
318. <i>Triceratium vittatum</i> n. s.	<i>Ananino</i> $600/1$
319. <i>Triceratium renunciatum</i> n. s.	<i>Kusnetzk</i> $600/1$
320, 322. <i>Grammatophora robusta</i> Dippel var. <i>gracilis</i>	<i>Bremia</i>
321. <i>Actinoptychus Szontaghii</i> n. s.	<i>Bory</i> $600/1$
323. <i>Navicula Yarrensis</i> Grun. var. <i>gracilior</i>	<i>Bory</i> $600/1$
324. <i>Navicula insignis</i> n. s.	<i>Szurdok-Püspöki</i>
325. <i>Triceratium conciliatum</i> n. s.	<i>Ananino</i> $400/1$
326. <i>Biddulphia tridentata</i> Ehrbg. forma <i>minor</i>	<i>Bremia</i>
327. <i>Triceratium conciliatum</i> n. s. var. <i>validior</i>	<i>Ananino</i> $600/1$

Vergrösserung $846/1$



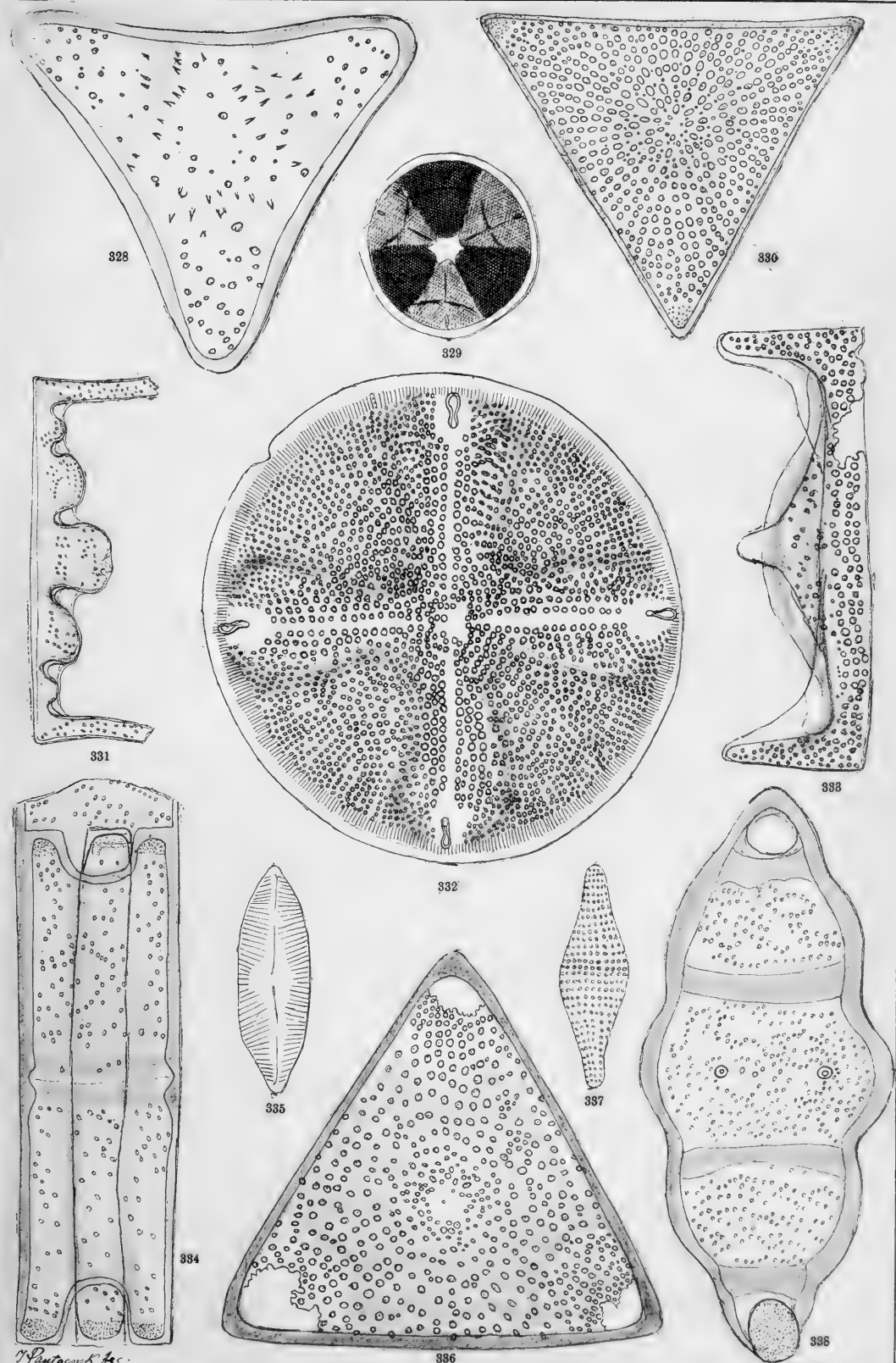




Tafel XXXII.

328. <i>Triceratium Petitii</i> n. s.	<i>Kusnetzk</i> $600/1$
329. <i>Actinoptychus boryanus</i> n. s.	<i>Bory</i> $600/1$
330. <i>Triceratium exornatum</i> Grev. var. <i>ananinensis</i>	<i>Ananino</i> $400/1$
331. <i>Biddulphia elegantula</i> Grev. var. <i>sarmatica</i>	<i>Kusnetzk</i> $400/1$
332. <i>Aulacodiscus quadrans</i> A. S.	<i>Ananino</i>
333. <i>Triceratium cucullatum</i> n. s.	<i>Kusnetzk</i> $400/1$
334. <i>Triceratium elevatum</i> n. s.	<i>Szakal</i>
335. <i>Navicula discernenda</i> n. s.	<i>Szurdok-Püspöki</i>
336. <i>Triceratium cucullatum</i> n. s. var. <i>latrix</i>	<i>Kusnetzk</i> $400/1$
337. <i>Rhaphoneis gemmifera</i> (Ehrbg.) var. <i>subtilior</i>	<i>Bremia</i>
338. <i>Biddulphia vasta</i> n. s.	<i>Nagy-Kürtös</i> $600/1$

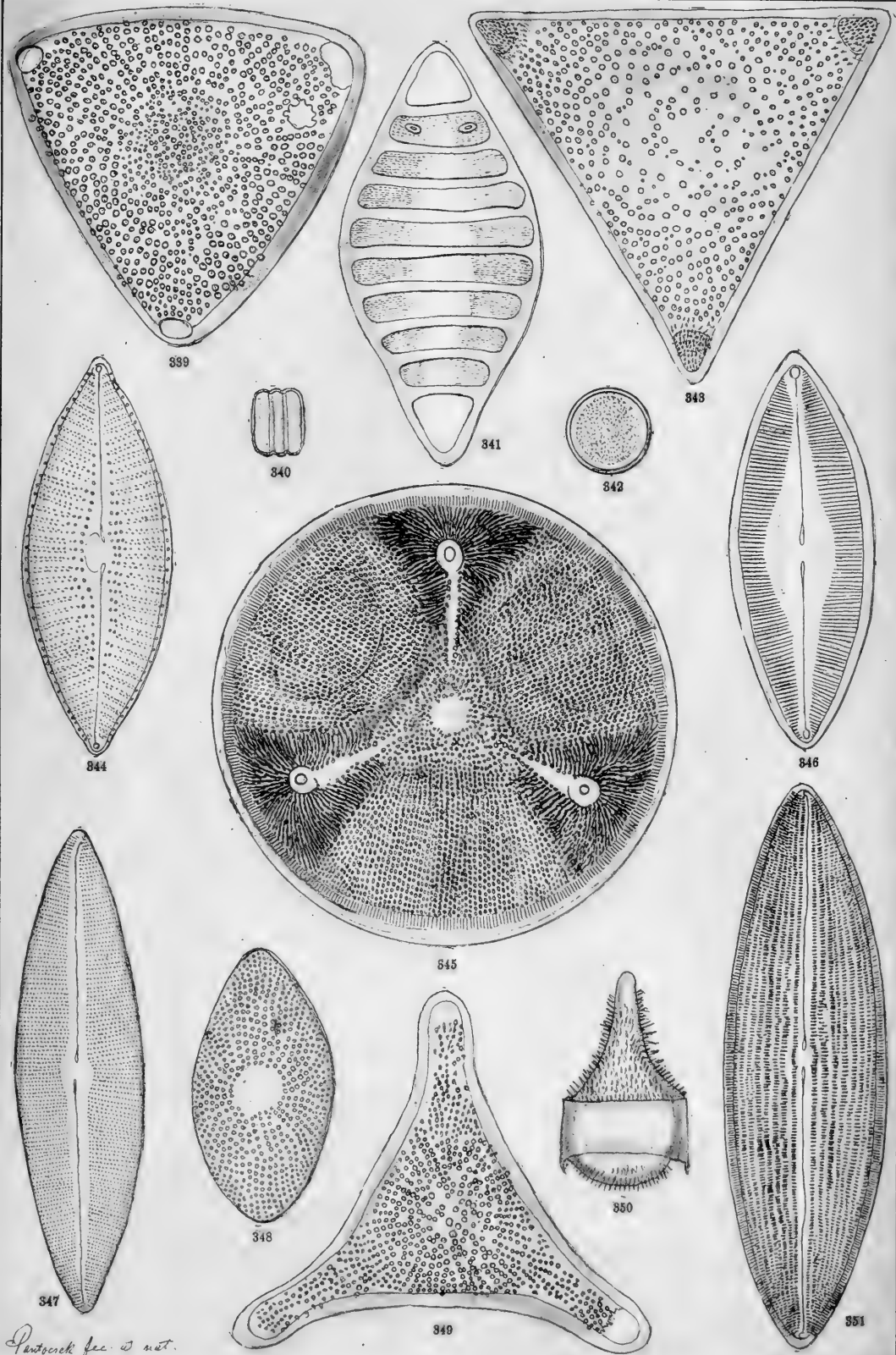
Vergrösserung $846/1$



Tafel XXXIII.

339. <i>Triceratium Semseyi</i> n. s.	<i>Kusnetzk</i> $^{400}/_1$
340, 342. <i>Melosira Dickiei</i> (Thw.) Kg.	<i>Szurdok-Püspöki</i>
341. <i>Salacia boryana</i> n. g. et spec.	<i>Bory</i>
343. <i>Triceratium exornatum</i> Grev. var. <i>simbirskianum</i>	<i>Ananino</i> $^{400}/_1$
344. <i>Alloeoneis Castracanei</i> n. s.	<i>Bory</i>
345. <i>Aulacodiscus excavatus</i> A. S.	<i>Ananino</i> $^{400}/_1$
346. <i>Navicula bimaculata</i> n. s.	<i>Bory</i>
347. <i>Navicula Bäumlerii</i> Pant.	<i>Bremia</i>
348. <i>Porodiscus ovalis</i> Grev.	<i>Ananino</i> $^{600}/_1$
349. <i>Triceratium subcapitatum</i> Grev. var. <i>russica</i> Pant.	<i>Kusnetzk</i> $^{600}/_1$
350. <i>Kentrodiscus</i> (<i>Dicladia</i> ?) <i>russicus</i> n. gen. et spec.	<i>Ananino</i> $^{600}/_1$
351. <i>Navicula Kellerii</i> n. s.	<i>Bory</i> $^{600}/_1$

Vergrösserung $^{816}/_1$

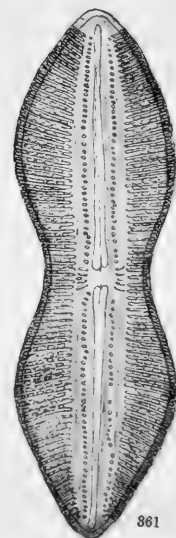
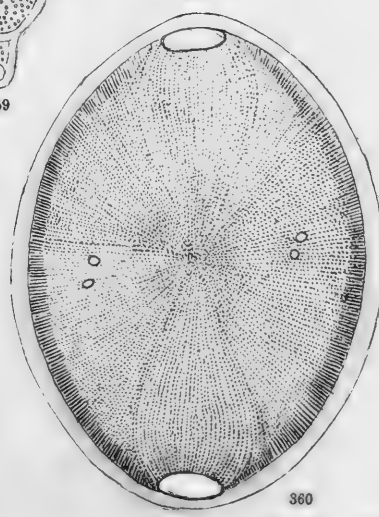
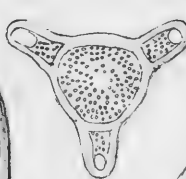
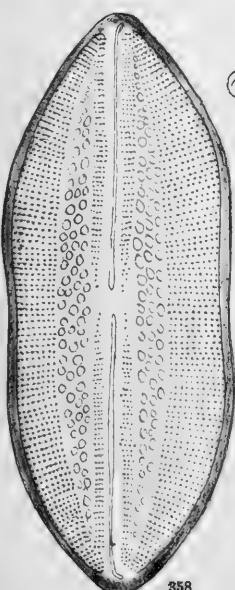
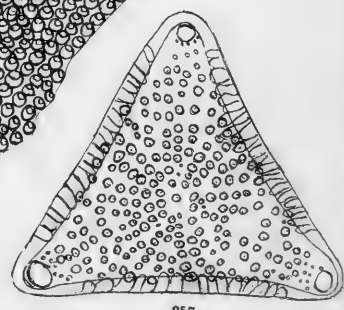
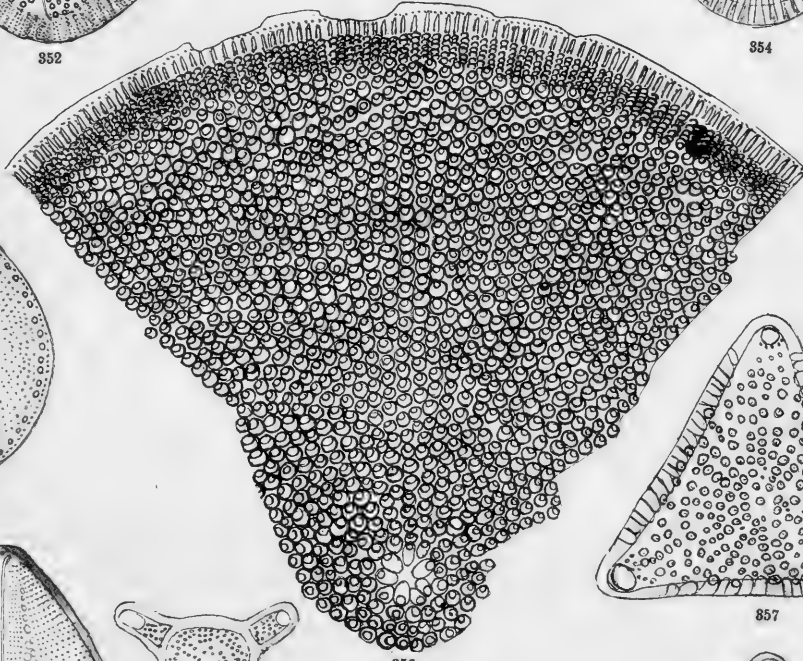
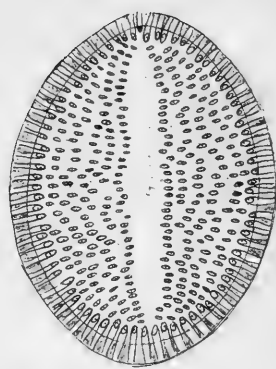
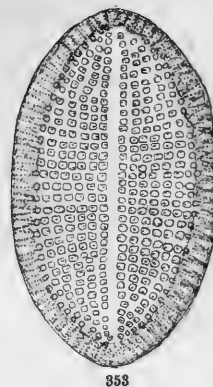
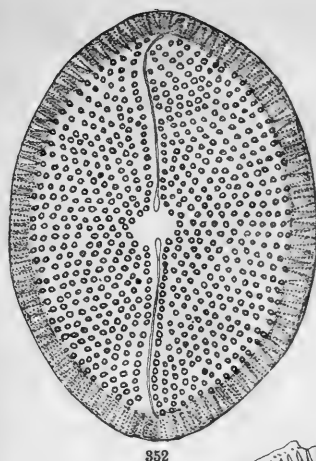




Tafel XXXIV.

352. <i>Orthoneis splendidá</i> (Grég.) Grün.	<i>Brémiá</i>
353. <i>Cocconeis scutellum</i> Ehrbg. var. <i>fossilis</i>	<i>Bremia</i>
354. <i>Cocconeis Raeana</i> n. s.	<i>Böry</i>
355. <i>Rutilaria szakalensis</i> n. s.	<i>Szakal</i>
356. <i>Coseinodiscus Weissflogii</i> n. s.	<i>Nagy-Kürtös</i> $^{600/1}$
357. <i>Triceratium idoneum</i> n. s.	<i>Kusnetzk</i> $^{600/1}$
358. <i>Navicula Le Tournerii</i> n. s.	<i>Böry</i>
359. <i>Triceratium Kidstonii</i> n. s.	<i>Ananino</i>
360. <i>Pseudocérataulus Tempéri</i> n. s.	<i>Böry</i>
361. <i>Navicula Haynaldii</i> n. s.	<i>Böry</i> $^{600/1}$

Vergrosserung $^{846/1}$

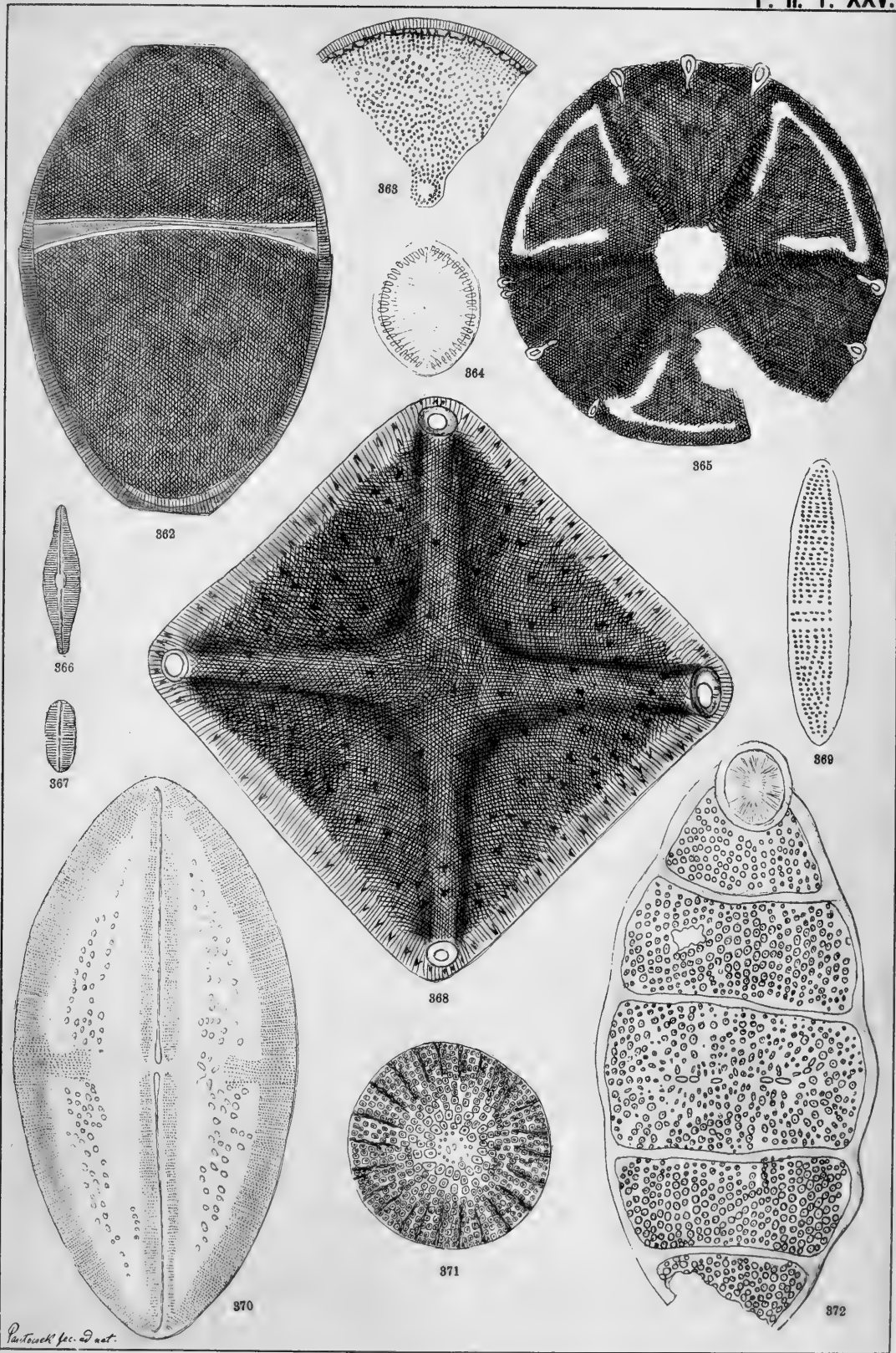




Tafel ~~XXV~~.

362. <i>Podosira boryana</i> n. s.	<i>Bory</i>
363. <i>Coscinodiscus hispidulus</i> n. s.	<i>Felső-Esztergály</i>
364. <i>Coccconeis Grunovii</i> n. s.	<i>Bory</i>
365. <i>Actinoptychus Gründlerii</i> A. S.	<i>Nagy-Kürtös</i> $^{600/1}$
366. <i>Navicula levigata</i> n. s.	<i>Kavna</i>
367. <i>Navicula ignobilis</i> n. s.	<i>Kavna</i>
368. <i>Triceratium horridum</i> n. s. forma <i>tetragona</i>	<i>Bory</i> $^{600/1}$
369. <i>Amphora cingulata</i> n. s.	<i>Brémia</i>
370. <i>Navicula O'Swaldii</i> A. S. var. <i>hungarica</i>	<i>Nagy-Kürtös</i> $^{600/1}$
371. <i>Stictodiscus (Kittonianus Grev. var.?) boryanus</i> n. s.	<i>Bory</i>
372. <i>Biddulphia permagna</i> n. s.	<i>Bory</i> $^{400/1}$

Vergrösserung $^{846/1}$

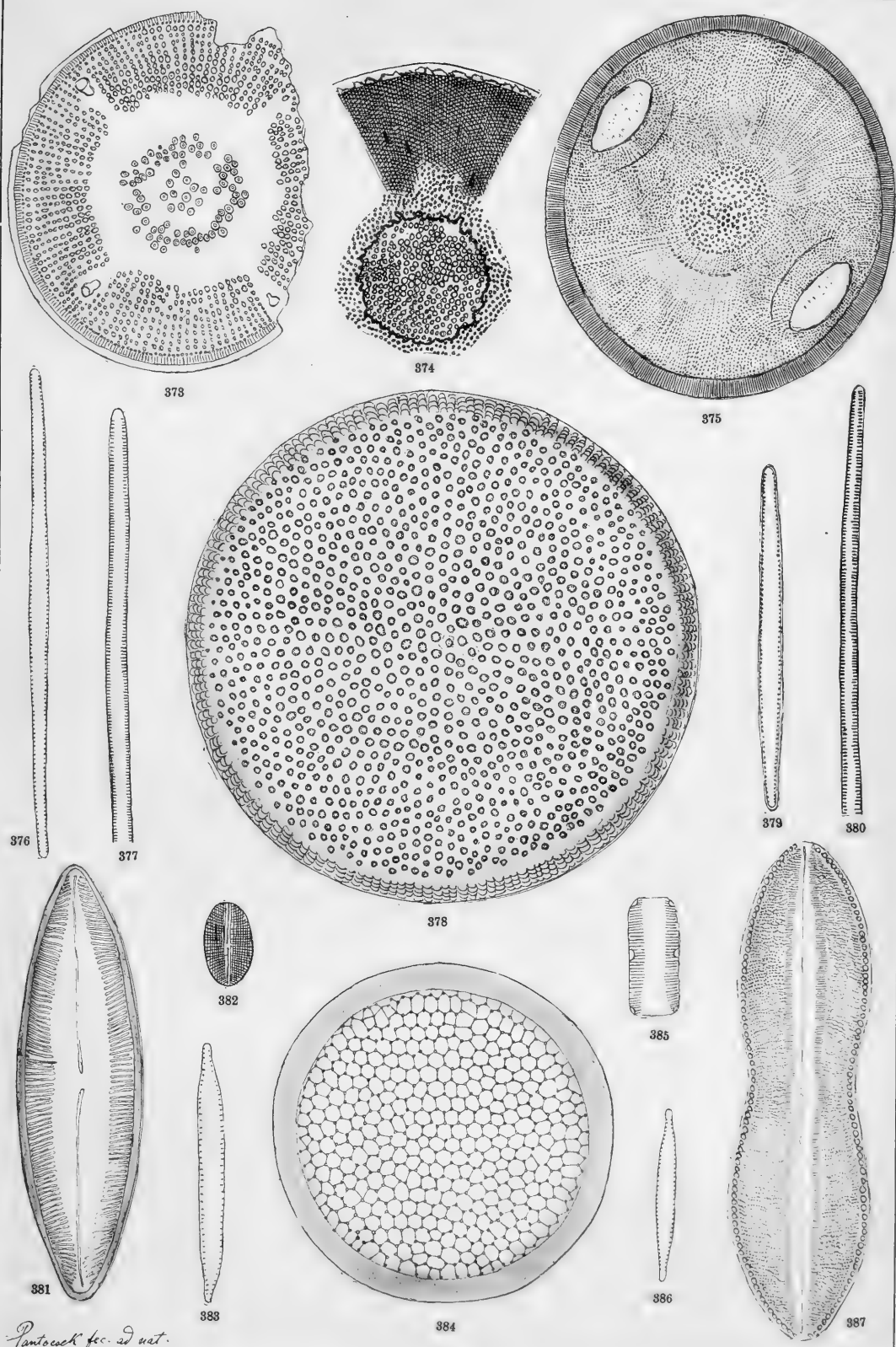




Tafel XXXVII.

373. <i>Aulacodiscus Lahusenii</i> O. W. var. <i>partita</i> Pant.	<i>Ananino</i> $\frac{1}{600}$
374. <i>Hyalodiscus nobilis</i> n. s.	<i>Ananino</i>
375. <i>Cerataulus</i> (Thunii A. S. var.?) <i>hungaricus</i> n. s.	<i>Nagy-Kürtös</i> $\frac{1}{600}$
376, 379. <i>Synedra salinarum</i> n. s.	<i>Czékeháza</i> ; <i>Arányos</i>
377, 380. <i>Synedra fasciculata</i> Kg. var. <i>obtusa</i> Pant.	<i>Czékeháza</i> ; <i>Kávna</i>
378. <i>Coscinodiscus Debyi</i> n. s.	<i>Bory</i>
381. <i>Navicula halionata</i> Pant. var. <i>minor</i>	<i>Bory</i> $\frac{1}{600}$
382. <i>Coccconeis californica</i> Grun.	<i>Kávna</i>
383, 386. <i>Synedra Demerarae</i> Grun.	<i>Kávna</i> , <i>Erdőbénye</i>
384. <i>Endictya boryana</i> n. s.	<i>Bory</i> $\frac{1}{600}$
385. <i>Navicula arenicola</i> Grun.	<i>Abauj-Szánitó</i>
387. <i>Navicula mastogloidea</i> Pant.	<i>Bory</i> $\frac{1}{600}$

Vergrösserung $\frac{1}{846}$

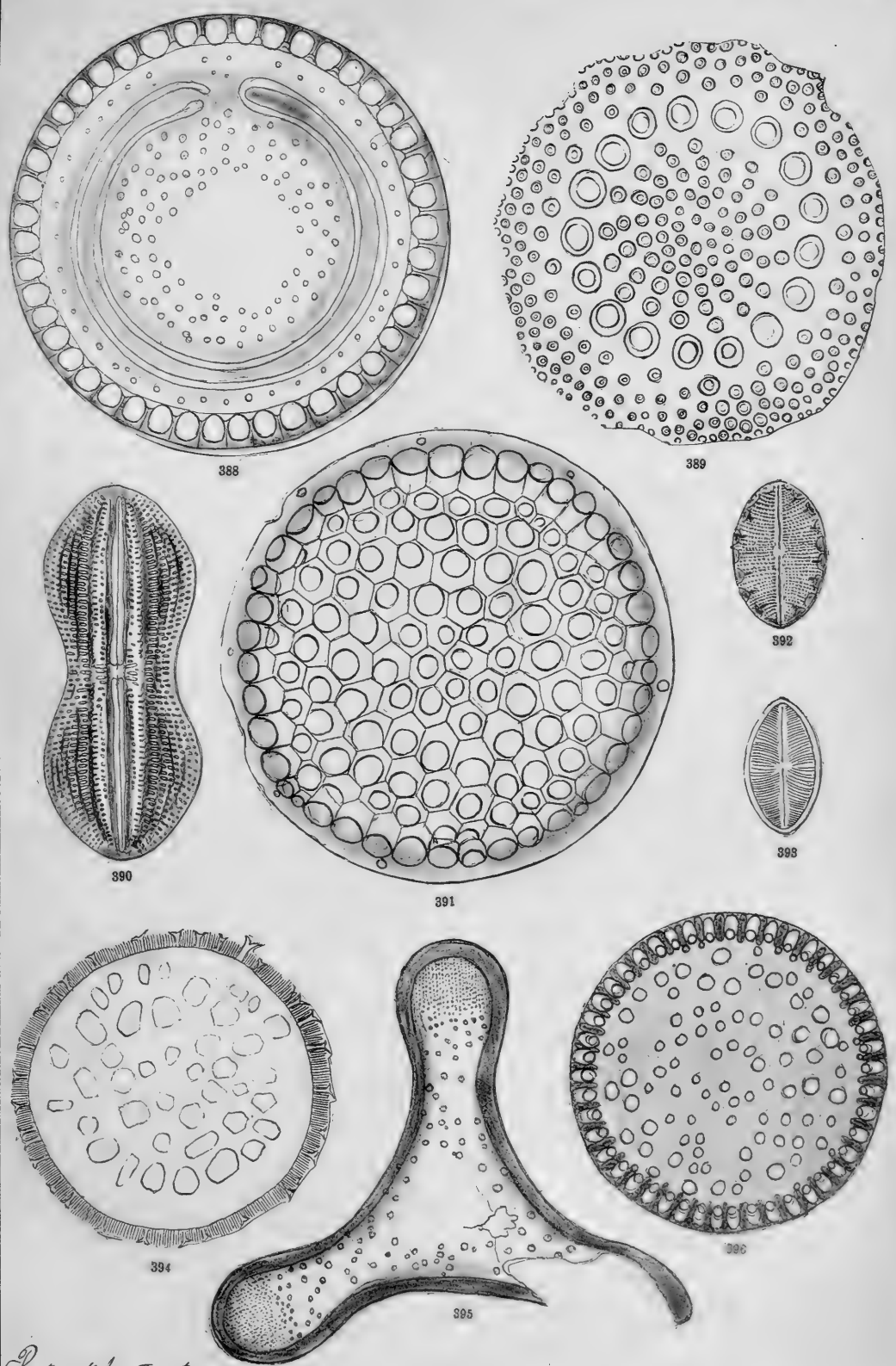




Tafel XXXVII.

388. *Melosira* (ornata Grun. var.?) *saratoviana* n. s. *Kusnetzk* 600/1
389. *Brightwellia russica* n. s. *Kusnetzk*
390. *Navicula* (didyma Kg. var.?) *andesitica* n. s. *Bory* 600/1
291. *Stephanopyxis* (Turris (Grev.) Grun. var.?) *russica* n. s. *Kusnetzk* 600/1
392. *Orthoneis notata* n. s. *Bory*
393. *Cocconeis pediculus* Ehrbg. var. *salinarum* *Abauj-Szántó*
394. *Melosira irregularis* n. s. *Kusnetzk* 600/1
395. *Triceratium Mereškovskii* n. s. *Kusnetzk* 400/1
396. *Paralia russica* n. s. *Kusnetzk* 600/1

Vergrößerung 840/1

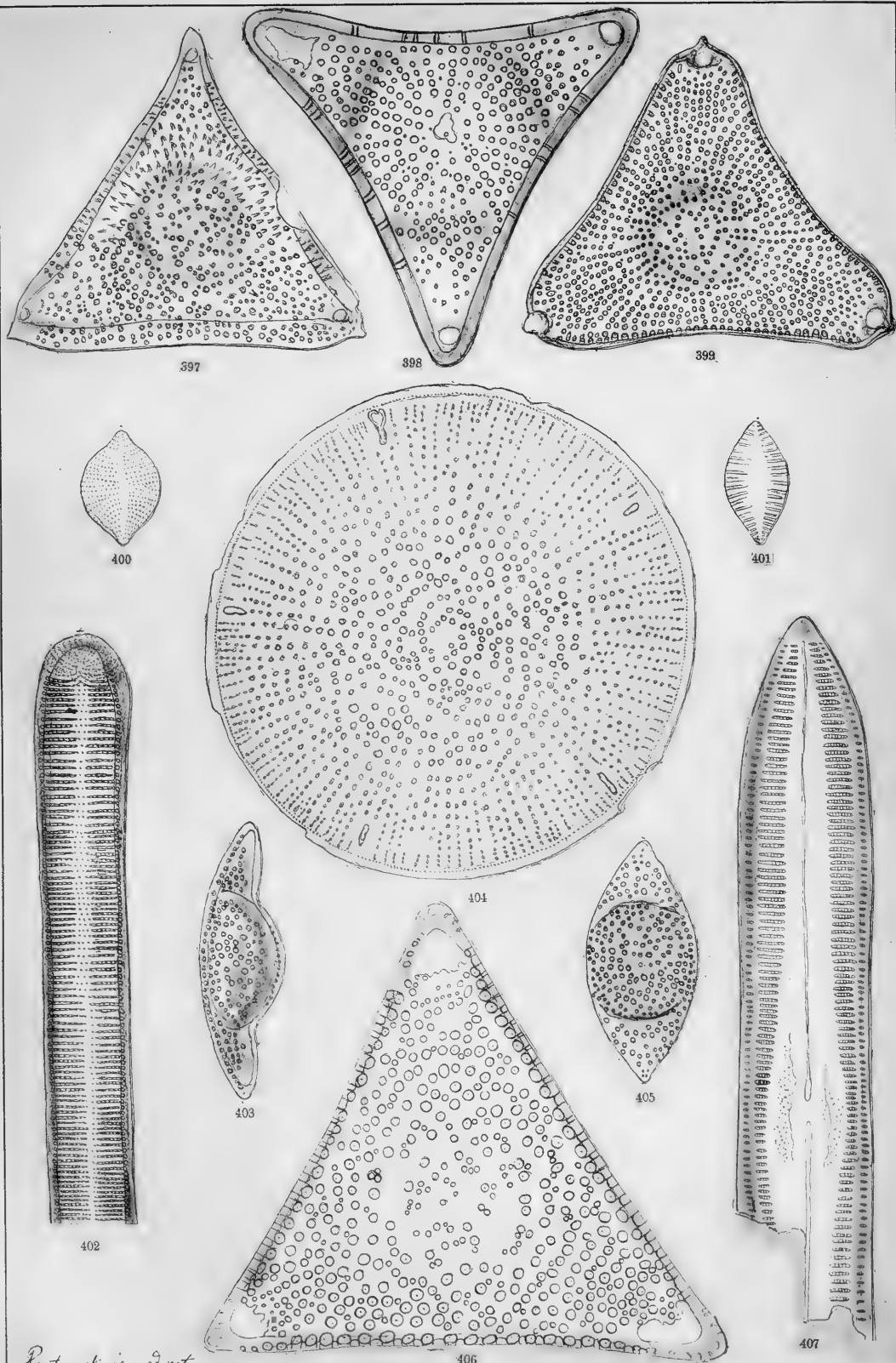




Tafel XXXVIII.

397. *Triceratium?* *deformatum* n. s. *Kusnetzk* ^{400/1}
398. *Triceratium* *sarmaticum* n. s. *Ananino* ^{600/1}
399. *Trinacria* *Wittii* Janich *Ananino* ^{400/1}
400. *Rhaphoneis* *boryana* n. s. *Bory* ^{600/1}
401. *Rhaphoneis?* *Lorenziana* Grun. var. *minor* *Bory*
402. *Synedra* *crystallina* W. S. var. *fossilis* *Bory*
403, 405. *Ploaria* *petasiformis* Pant. nov. gen. *Szakal*
404. *Aulacodiscus* *probabilis* A. S. *Ananino* ^{600/1}
406. *Triceratium* *Weisseianum* n. s. *Kusnetzk* ^{400/1}
407. *Navicula* *boryana* n. s. *Bory*

Vergrösserung ^{846/1}

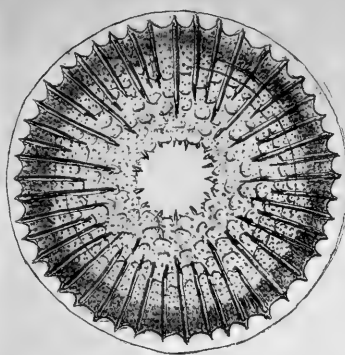




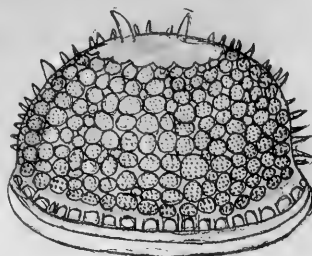
Tafel XXXIX

408, 409. <i>Stephanopyxis delectabilis</i> n. s.	<i>Ananino</i> $600/1$
410. <i>Pseudostictodiscus angulatus</i> Grun.	<i>Ananino</i>
411. <i>Stephanogonia actinoptychus</i> (Ehrbg.)	<i>Szakal</i>
412. <i>Cosecinodiscus Kochii</i> Pant.	<i>Szent-Péter</i>
413. <i>Stephanopyxis gyrata</i> n. s.	<i>Ananino</i> $600/1$
414, 415. <i>Mastogonia simbirskiana</i> n. s.	<i>Ananino</i> $600/1$
416. <i>Mastogloia Szontaghii</i> n. s.	<i>Bory</i>
417. <i>Triceratium Rattrayi</i> n. s.	<i>Kusnetzk</i> $400/1$
418. <i>Amphora megapora</i> n. s.	<i>Bory</i>

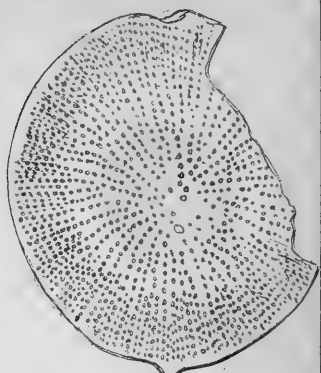
Vergrosserung $846/1$



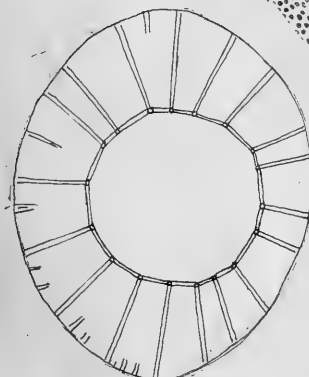
408



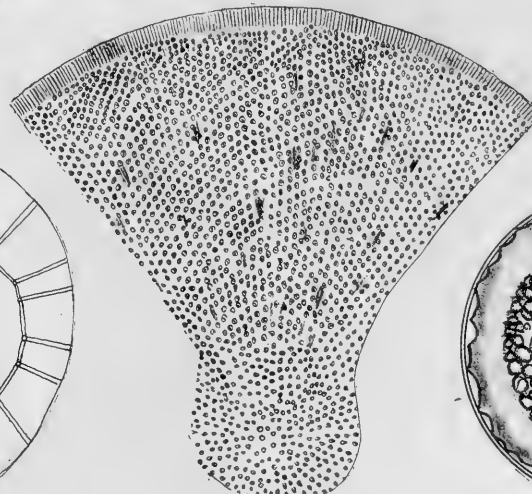
409



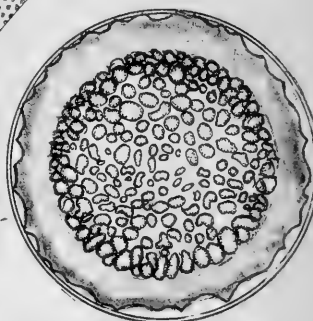
410



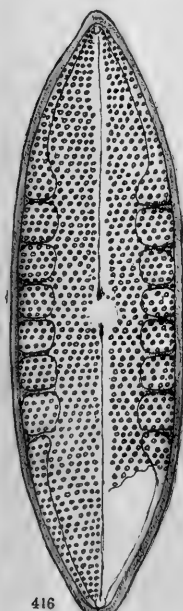
411



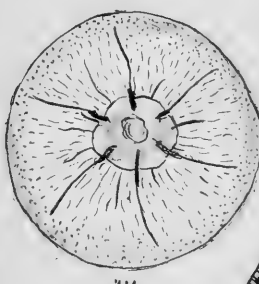
412



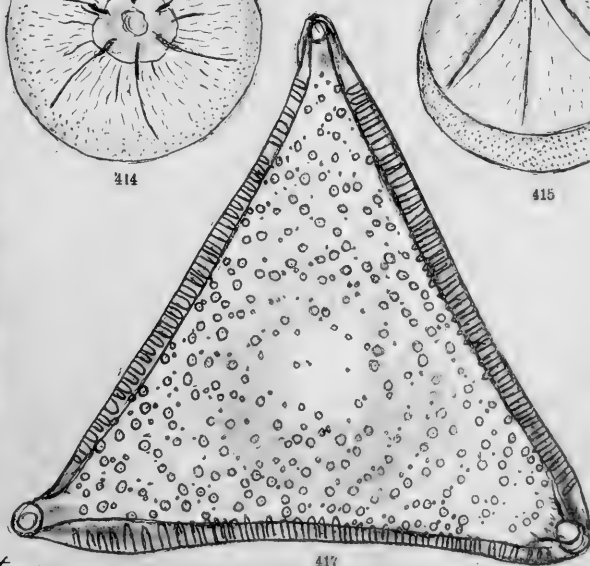
413



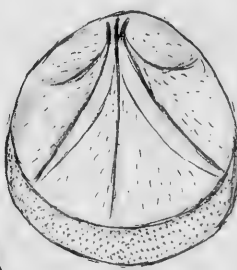
414



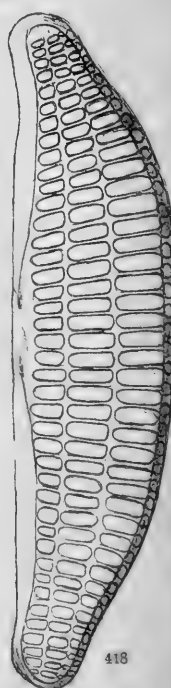
415



416



417



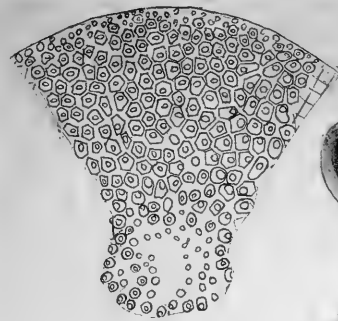
418



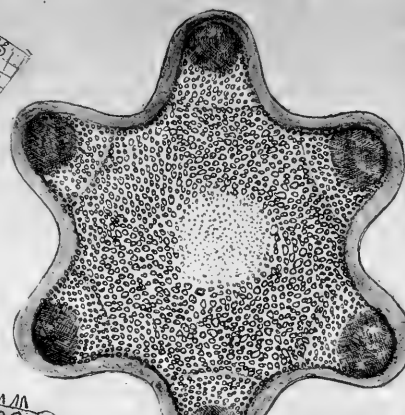
Tafel XXXX.

419. <i>Coscinodiscus simbirskianus</i> Gr. ab. <i>irregularis</i>	<i>Ananino</i>
420. <i>Hydrosera boryana</i> n. s. <i>forma hexagona</i>	<i>Bory</i>
421, 423. <i>Melosira Thumii</i> n. s.	<i>Ananino</i>
422. <i>Stephanopyxis gyrata</i> n. s.	<i>Ananino</i>
424. <i>Navicula irregularis</i> n. s.	<i>Bory</i>
425. <i>Pseudocerataulus Kinkerii</i> n. s.	<i>Ananino</i>
426. <i>Climacosphaenia moniligera</i> Ehrb. var. <i>hungarica</i>	<i>Bory</i>
427. <i>Navicula Rattrayi</i> n. s.	<i>Bory</i> ^{816/1}
428. <i>Hydrosera boryana</i> n. s.	<i>Bory</i>
429. <i>Aulacodiscus Haynaldii</i> n. s.	<i>Nagy-Kürtös</i>

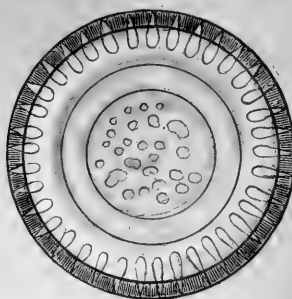
Vergrösserung 600/1



419



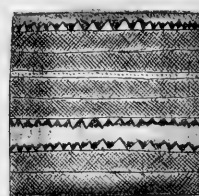
420



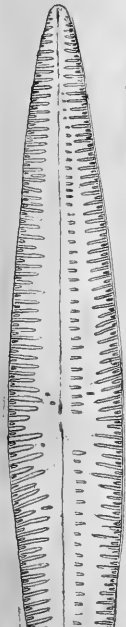
421



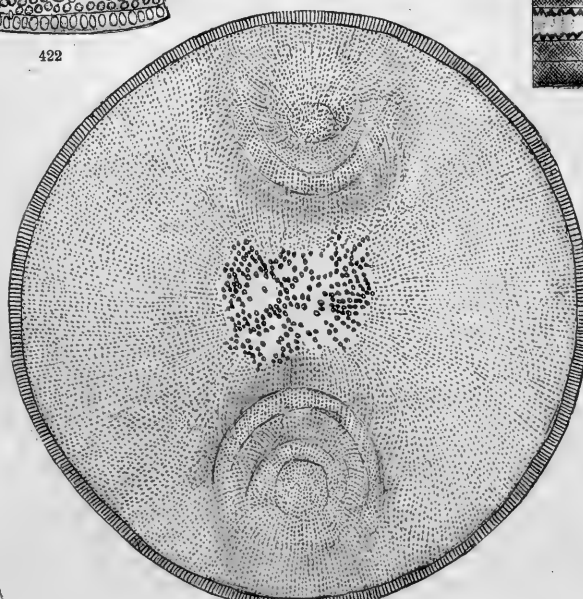
422



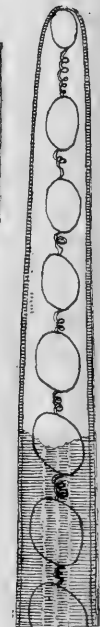
423



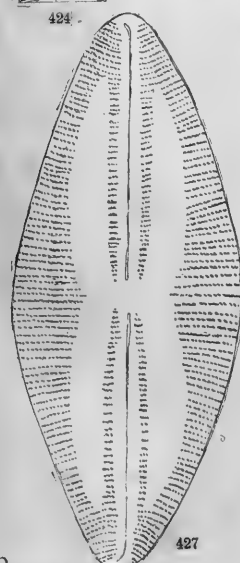
424



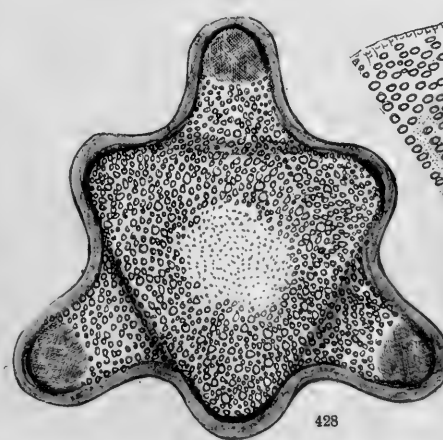
425



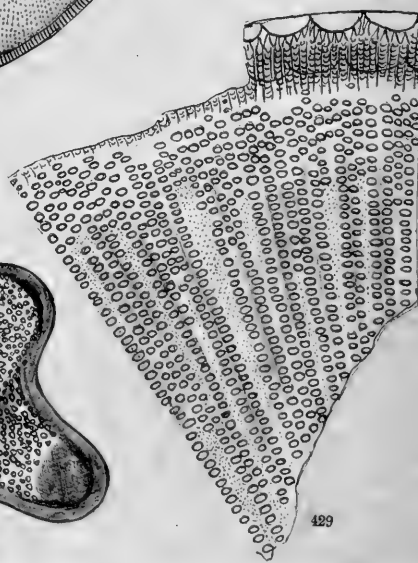
426



427



428



429







Date Due

3 2044 107 307 795

